

I
S
I
C
E

مجله کنترل

ISSN 2008-8345



دانشگاه صنعتی خواجه نصیرالدین طوسی

نشریه علمی - پژوهشی

انجمن مهندسان کنترل و ابزار دقیق ایران - دانشگاه صنعتی خواجه نصیرالدین طوسی

جلد ۴، شماره ۴، زمستان ۱۳۸۹

فهرست مقالات

۱

کنترل توزیع شده کلاس خاصی از رفتارهای جمعی در شبکه های چند عاملی

شهرام نصرتی، مسعود شفیعی

۱۴

طراحی رؤیت گر نمایی برای سیستم های غیر خطی بر اساس معادله ریکاتی وابسته به حالت (SDRE)

حسین ییک زاده، حمیدرضا تقی‌راد

۲۴

طراحی یک رویتگر مود لغزشی جدید برای سیستم های خطی با ورودی ناشناخته و تاخیر زمانی

علی اشرف مدرس، حمیدرضا مؤمنی

۳۲

کنترل تطبیقی مدل - مرجع یک ماهواره بر انعطاف پذیر با جرم محموله سنگین

ایمان غفاری، عبدالمجید خوشنود، جعفر روشنی یان

۳۹

ارائه روش‌هایی جدید برای تعیین عمق بیموشی

تکتم ذوقی، رضا بوستانی

۵۱

طراحی کنترل تطبیقی مقاوم به روش کلیدزنی با سرپرستی مبتنی بر نظریه فیدبک کمی و انتقال بدون پرس

امید نمکی شوستری، علی خاکی صدیق

۶۲

کنترل لغزشی - تطبیقی سیستم فوق آشوب لورنر با در نظر گرفتن عدم قطعیت، اغتشاش،

ورودی های کنترلی غیر خطی و ناشناخته بودن پارامترهای سیستم

علی ابویی، محمد رضا جاهد مطلق، محمد مهدی عارفی، زهرا رحمانی چراتی



نشریه علمی - پژوهشی، انجمن مهندسان کنترل و ابزار دقیق ایران - دانشگاه صنعتی خواجه نصیرالدین طوسی،

جلد ۴، شماره ۴، زمستان ۱۳۸۹

پست الکترونیکی: control@isice.ir

صاحب امتیاز: انجمن مهندسان کنترل و ابزار دقیق ایران

مدیر مسئول: پروفسور ایرج گودرزنا

سردبیر: پروفسور علی خاکی صدیق - تلفن: ۰۶۲۳۱۷-۸۴۰-۶۲۳۱۷ - پست الکترونیکی: sedigh@kntu.ac.ir

آدرس محل کار: خیابان دکتر شریعتی، پل سیدخدان، دانشکده برق دانشگاه صنعتی خواجه نصیرالدین طوسی

سمت: استاد دانشگاه

شورای سردبیری: پروفسور علی خاکی صدیق، دکتر حمید خالوزاده، دکتر علیرضا فاتحی

دیر اجرایی: دکتر حمید خالوزاده

هیأت تحریریه:

پروفسور علی خاکی صدیق (استاد) - پروفسور ایرج گودرزنا (استاد) - دکتر حمید خالوزاده (دانشیار) - پروفسور پرویز جبه دار مارالانی (استاد) - پروفسور

علی غفاری (استاد) - دکتر حمیدرضا مومنی (دانشیار) - پروفسور سید کمال الدین نیکروش (استاد) - پروفسور مسعود شفیعی (استاد) - پروفسور بهزاد مشیری

(استاد)

هیأت مشاوران:

دکتر حمیدرضا مومنی، پروفسور بهزاد مشیری، پروفسور مسعود شفیعی، پروفسور پرویز جبه دار مارالانی، پروفسور علی غفاری،

دکتر حمید خالوزاده، دکتر حمیدرضا تقی راد، دکتر کیوان مسرووری، دکتر محمد تقی بطحایی، دکتر محمد تقی بهشتی، دکتر فرزاد جعفر کاظمی، دکتر رویا

امجدی فرد، دکتر سید علی اکبر موسویان، دکتر محمد تشنہ لب، پروفسور محمد حایری، دکتر سید علی اکبر صفوی، پروفسور حسین سیفی، دکتر احمد

کاظمی، دکتر علیرضا فاتحی، دکتر محمدرضا اکبرزاده توتوچی، دکتر مسعود علی اکبر گلکار، دکتر ناصر پریز، دکتر مهرداد جوادی، دکتر جعفر حیرانی

نوبری، پروفسور فرامرز حسین بابایی، دکتر بیژن معاونی، دکتر مهدی علیاری شوره دلی، دکتر محمد عاروان، دکتر محمد توکلی بینا.

هیأت مدیره انجمن مهندسان کنترل و ابزار دقیق:

مهندس عباس شعری مقدم، پروفسور مسعود شفیعی، دکتر حمیدرضا مومنی، دکتر حمید خالوزاده، دکتر مهرداد جوادی، دکتر داود کریم زادگان، مهندس علی

کیانی.

تهران، خیابان انقلاب، میدان فردوسی، خیابان عباس موسوی (فرصت)، پلاک ۷۱، طبقه دوم، اتاق ۲۴۱

فاکس: ۰۲۴۹۷۹

تلفن: ۰۲۰۰۸۸۸۱

صندوق پستی: ۳۵۹۵-۱۵۸۱

www.isice.ir

نشریه علمی- پژوهشی (ISC) کنترل وابسته به ”انجمن مهندسان کنترل و ابزار دقیق ایران“ و ”دانشگاه صنعتی خواجه نصیر الدین طوسی“ تنها نشریه تخصصی در زمینه مهندسی کنترل و ابزار دقیق است.

این مجله که بصورت فصلنامه منتشر می شود و تا کنون ۹ شماره آن به چاپ رسیده، با استقبال فراوان جامعه علمی دانشگاهی و مهندسان شاغل در صنایع گوناگون روبرو شده است و هم اکنون از مجلات منظم و پریار تخصصی در سطح علمی محسوب می گردد. تعداد مقالات دریافتی جهت بررسی و چاپ از دانشگاهها و مراکز علمی- پژوهشی سرتاسر کشور به خوبی نمایانگر این مدعای است. جایگاه این مجله در زمینه های مختلف علمی و فن آوری داخل کشور به خوبی توسط محققان و اندیشمندان این حوزه ها شناخته شده است و بدیهی است که چاپ به هنگام و با کیفیت بالای این مجله تخصصی می تواند گام بلندی در راستای توسعه پایدار علمی کشور باشد.

در یازدهمین جشنواره تجلیل از پژوهشگران و فناوران برتر که در تاریخ هفتم دی ماه ۱۳۸۹ برگزار گردید، مجله کنترل به عنوان نشریه علمی برتر در زمینه فنی و مهندسی معرفی شد. خداوند علیم و حکیم را برای دست یابی به این رتبه علمی با وجود تعداد زیادی مجله‌ی علمی و پژوهشی در حوزه فنی و مهندسی در داخل کشور، شکر گزاریم. بدیهی است که چاپ به هنگام و با کیفیت بالای این مجله تخصصی می تواند گام بلندی در راستای توسعه پایدار علمی کشور باشد.

از آنجا که این نشریه برای داوری و چاپ مقالات هزینه ای را از ارسال کنندگان مقالات دریافت نمی نماید، لذا برای حفظ کیفیت و روند رو به رشد آن نیاز به حمایت مالی دارد که در این خصوص موسسات و شرکتهای زیر از جمله حامیان این شماره مجله بوده اند که در اینجا از ایشان تشکر و قدردانی بعمل می آید.

یاریگران این شماره

- شرکت پتروشیمی امیر کبیر
- شرکت پلیمر آریاساسول
- شرکت پتروشیمی لاله
- شرکت جابون
- شرکت پر迪س
- شرکت سپهر انرژی
- شرکت فریم کو
- شرکت مهندسی سنس

به نام خدا

فهرست مقالات

- ۱ کنترل توزیع شده کلاس خاصی از رفتارهای جمعی در شبکه های چند عاملی
شهرام نصرتی، مسعود شفیعی
- ۱۴ طراحی رؤیت‌گر نمایی برای سیستم‌های غیرخطی بر اساس معادله ریکاتی وابسته به حالت (SDRE)
حسین بیک زاده، حمیدرضا تقی‌راد
- ۲۴ طراحی یک رویتگر مود لغزشی جدید برای سیستم‌های خطی با ورودی ناشناخته و تاخیر زمانی
علی اشرف مدرس، حمیدرضا مؤمنی
- ۳۲ کنترل تطبیقی مدل-مرجع یک ماهواره بر انعطاف پذیر با جرم محموله سنگین
ایمان غفاری، عبدالالمجید خوشنود، جعفر روشنی یان
- ۳۹ ارائه روش‌هایی جدید برای تعیین عمق بیهوشی
تکتم ذوقی، رضا بوستانی
- ۵۱ طراحی کنترل تطبیقی مقاوم به روش کلیدزنی با سرپرستی مبتنی بر نظریه فیدبک کمی و انتقال بدون پوش
امید نمکی شوستری، علی خاکی صدیق
- ۶۲ کنترل لغزشی-تطبیقی سیستم فوق آشوب لورنر با در نظر گرفتن عدم قطعیت، اغتشاش،
ورودی‌های کنترلی غیرخطی و ناشناخته بودن پارامترهای سیستم
علی ابوبی، محمدرضا جاهدملحق، محمدمهدی عارفی، زهرا رحمانی چراتی

مجله کنترل، مجله‌ای علمی – پژوهشی است که در برگیرنده تازه‌ترین نتایج تحقیقات نظری و کاربردی در علوم مختلف مرتبط با مهندسی کنترل و ابزار دقیق می‌باشد. مقالات ارسالی به مجله کنترل می‌بایست به زبان فارسی و دارای چکیده انگلیسی باشند. از میان مباحث مورد نظر این مجله میتوان به موارد زیر اشاره نمود:

- (۱) مدلسازی، شناسایی، شبیه سازی و بهینه سازی سیستمها.
- (۲) تحلیل و طراحی سیستم‌های کنترل پیشرفته همچون سیستم‌های کنترل خطی و غیرخطی، سیستم‌های کنترل تطبیقی، کنترل مقاوم و کنترل بهینه، سیستم‌های کنترل هوشمند، سیستم‌های کنترل تصادفی، سیستم‌های کنترل گسسته پیشامد و ترکیبی، سیستم‌های ابعاد وسیع.
- (۳) مکاترونیک و رباتیک.
- (۴) ابزار دقیق و سیستم‌های ترکیب داده و اطلاعات سنسوری.
- (۵) اتوماسیون صنعتی همچون سیستم‌های کنترل گسترده، رابط انسان – ماشین، سیستم‌های ایمنی و تشخیص خطا، سیستم‌های زمان حقيقی و سیستم‌های کنترل سوپر وایزری.

کاربردهای مورد علاقه این مجله، وسیع بوده و می‌تواند در برگیرنده موارد زیر باشد:

- (۱) سیستم‌های هدایت و ناوبری.
- (۲) فرآیندهای صنعتی شامل فرآیندهای شیمیایی و بیوتکنولوژی.
- (۳) فرآیندهای استخراج و فراوری موارد معدنی.
- (۴) سیستم‌های حمل و نقل و خودروهای خودکار.
- (۵) تولید و توزیع نیروی برق.
- (۶) مهندسی محیط زیست و هواشناسی.
- (۷) مهندسی تکنولوژی تولید.
- (۸) سیستم‌های اقتصادی و مالی.
- (۹) سیستم‌های اطلاعاتی، مخابراتی و شبکه‌های صنعتی.
- (۱۰) مهندسی پزشکی.
- (۱۱) سیستم‌های آموزش هوشمند.

از کلیه پژوهشگران و کارشناسان فعال در زمینه‌های مرتبط با مهندسی کنترل و ابزار دقیق دعوت بعمل می‌آید تا مقالات و نتایج آخرین دستاوردهای علمی و پژوهشی خود را به این مجله ارسال نمایند. خواهشمند است مقالات خود را به صورت الکترونیکی به آدرس control@isice.ir ارسال فرمایید. برای کسب اطلاعات بیشتر و دریافت نحوه تهیه و ارسال مقالات می‌توانید به سایت مجله با آدرس www.isice.ir مراجعه نمایید.

شیوه تدوین

متن مقالات شامل چکیده، بدنه مقاله، مراجع و زیرنویسها باید با فونت ۱۲ Zar B و با فاصله double میان خطوط، در صفحات A4 یک ستونی و تحت نرم افزار Word تهیه گردد.

آدرس نویسنده‌گان

آدرس پستی کامل همه نویسنده‌گان همراه با شماره تلفن و دورنگار(فکس) و نشانی پیام‌نگار(email) نویسنده عهده‌دار مکاتبات در برگه مستقلی چاپ و به همراه مقاله ارسال گردد.

چکیده

هر مقاله باید شامل، عنوان (فارسی و انگلیسی)، چکیده (فارسی و انگلیسی) مقاله در حداکثر ۲۰۰ واژه، کلیدواژه (فارسی و انگلیسی) در حداکثر ۵ واژه باشد.

تصاویر و عکسها

در هنگام ارسال مقاله جهت داوری نیازی به ارسال اصل تصاویر و عکسها نمی‌باشد، ولی رونوشت ارسالی باید واضح باشد. پس از تایید مقاله، ارسال اصل تصاویر و عکسها جهت چاپ مقاله ضروری می‌باشد.

مراجع

به کلیه مراجع باید در متن ارجاع داده شده باشد. مراجع باید با شماره مشخص گردند و جزئیات آنها به شرح زیر در پایان مقاله به ترتیب حروف الفبای نویسنده‌گان ظاهر گردد:

مقالات: [شماره مرجع] نام خانوادگی و علامت اختصاری اول نام، سال انتشار یا تاریخ برگزاری، "عنوان مقاله"، نام کامل نشریه یا کنفرانس، شماره مجله یا شماره جلد، شماره صفحات.

کتابها: [شماره مرجع] نام خانوادگی و نام کامل همه نویسنده‌گان، عنوان کتاب، نام مترجم (در صورت وجود)، نام کامل ناشر، سال انتشار.

واحدها: کلیه مقالات باید از واحد استاندارد SI (متريک) در تمام بخش‌های مقاله استفاده نمایند. در کنار واحد SI می‌توان از واحد انگلیسی در داخل پرانتز نيز استفاده نمود.

طول مقالات

حداکثر حجم مقالات در هنگام چاپ ۱۵ صفحه می‌باشد که معادل حدود ۷۵۰۰ واژه می‌باشد. برای چاپ صفحات بیشتر و یا رنگی لازم است هزینه‌ای معادل ۲۵۰,۰۰۰ ریال (۲۵ دلار آمریکا) برای هر صفحه به حساب مجله واریز گردد.

فرایند ارسال مقاله

مقالات قابل چاپ در مجله شامل مقالات کامل پژوهشی، مقالات کوتاه و یادداشت‌های پژوهشی می‌باشد. مقالات ارسالی نباید در هیچ مجله داخلی و یا خارجی چاپ شده باشد و یا در حال داوری باشد.

- لازم است نسخه الکترونیکی مقاله به شکل pdf و word جهت داوری به نشانی مجله control@isice.ir ارسال شود.
- مقالات جهت داوری به داوران متخصص ارسال می‌گردد. در پایان تایید یا رد هر مقاله توسط هیئت تحریریه مجله انجام خواهد پذیرفت. سردبیر مجله نتیجه داوری را برای نویسنده عهده‌دار مکاتبات ارسال خواهد نمود.
- در صورتی که نیاز به تصحیح مقاله باشد، تصحیحات باید منحصراً محدود به موارد ذکر شده باشد. در سایر موارد نویسنده لازم است سردبیر را در جریان هر گونه تغییر و یا تصحیح دیگری قرار دهد. در هر صورت مسئولیت صحت و سقم مطالب بر عهده نویسنده خواهد بود.
- در صورتی که مقاله جهت چاپ پذیرفته شود، یک نسخه از مجله همراه با ۵ نسخه از مقاله به هر یک از نویسنده‌گان اهدای خواهد گردید.

حق کپی: در صورت تایید مقاله، نویسنده‌گان لازم است فرم انتقال حق انتشار آن به "انجمن مهندسان کنترل و ابزار دقیق ایران" را تکمیل و به همراه اصل مقاله ارسال نماید. نویسنده‌گان لازم است موافقت کتبی دارندگان حق کپی بخشایی از مقاله که از مراجع و منابع دیگر نسخه‌برداری شده است را دریافت و به دفتر مجله ارسال نمایند.

بدینوسیله از کلیه اساتید، پژوهشگران و کارشناسان مهندسی کنترل و ابزار دقیق جهت ارائه مقالات خود در این نشریه دعوت به عمل می‌آورد. خواهشمند است مقالات خود را به صورت الکترونیکی به آدرس control@isice.ir ارسال فرمایید. برای کسب اطلاعات بیشتر میتوانید به سایت: <http://www.isice.ir> مراجعه نمایید.

کنترل توزیع شده کلاس خاصی از رفتارهای جمعی در شبکه های چند عاملی

شهرام نصرتی^۱، مسعود شفیعی^۲

^۱ فارغ التحصیل دکتری مهندسی برق، گروه کنترل، دانشگاه صنعتی امیرکبیر، sh_nosrati@aut.ac.ir

^۲ استاد، دانشکده مهندسی برق، گروه کنترل، دانشگاه صنعتی امیرکبیر، mshafiee@aut.ac.ir

(تاریخ دریافت مقاله ۱۰/۸/۱۳۸۹، تاریخ پذیرش مقاله ۱۱/۵/۱۳۸۹)

چکیده: در این مقاله، کلاس خاصی از رفتارهای جمعی در شبکه های چند عاملی مورد بررسی قرار می گیرد. با استفاده از روش معروف معکوس ژاکوبین برای رباتهای مکانیکی افزونه، کنترل کننده متumer کری برای شبکه چند عاملی بمنظور تعقیب مسیر مطلوب در فضای رفتار جمعی، طراحی می شود. سپس با استفاده از پروتکلهای اجماع میانگین دینامیکی و جایگزینی متغیرهای جمعی کنترل کننده متumer کری با تخمین توزیع شده این متغیرها، کنترل کننده غیر متumer کری بدست می آید که بر روی هر گراف تعامل، توزیع شده است. در اینصورت، هر عامل شبکه برای محاسبه کنترل کننده خود، فقط نیاز به اطلاعات محلی خود و اطلاعات عاملهای همسایه خود دارد. شرائط کافی برای پایداری کنترل توزیع شده تعیین شده است. همچنین نتایج شبیه سازی برای کنترل توزیع شده آرایش گروهی از رباتهای سیار ارائه شده است.

کلمات کلیدی: کنترل توزیع شده، کنترل آرایش شبکه های رباتیک سیار، اجماع میانگین دینامیکی، معکوس ژاکوبین، طرح ریزی غیرمتumer کری مسیر.

Distributed Control of a Class Collective Behaviors in Multi-Agent Networks

Shahram Nosrati, Masoud Shafiee

Abstract: A class of collective behaviors is considered. Utilizing inverse jacobian method, a well known technique in redundant manipulators context, centralized controllers are synthesized for a multi-agent network to track desired paths in task space. These centralized controllers are dependent on global variables known as coordination variables. These global variables could be estimated by all the agents using some appropriate dynamic consensus protocols based upon local information which is available to each agent. The consensus protocols make the centralized controllers to be distributed over any interaction topology. Some sufficient conditions are identified to guarantee stability of the interconnection between the centralized controllers and the dynamic consensus estimators. An illustrative example is provided for formation control of a group of mobile agents using some inertial moments of the group.

Keywords: Distributed control, formation control of mobile robotic networks, dynamic average consensus, inverse jacobain, distributed path planning.

رفتار جمعی خاص می باشد. از جمله این رفتارهای جمعی می توان

موارد زیر را نام برد: همگام سازی در شبکه ای از نوسانسازها یا

شبکه ای از سیستمهای پریودیک [۱] و [۲]، آرایش الگوهای

- مقدمه

یکی از مسائل بسیار مهم در شبکه های چند عاملی، چگونگی سنتز

کنترل کننده های غیر متumer کری برای عاملهای شبکه بمنظور ظهور یک

[۲۴] شده است. در این روش، بردار سرعت ناشی از معکوس ژاکوبین متناظر با یک رفتار جمعی با اولویت پایین تر، در فضای پوچی بردار سرعت متناظر با رفتار جمعی با اولویت بالاتر تصویر می شود.

مرور پیشینه مسئله مورد بحث. در این قسمت مروری بر استفاده از روشهای بازوهای مکانیکی افزونه در کنترل آرایش رباتهای سیار خواهیم داشت. در [۲۰] و [۲۱]، روشهای معکوس ژاکوبین و کنترل معکوس مجازی در بازوهای مکانیکی افزونه مرور شده است. در [۲۲] و [۲۶]، از روش معکوس ژاکوبین و رفتار فضای پوچی برای تولید مسیرهای مرجع برای گروهی از عاملهای درجه اول برای کنترل مرکز جرم و واریانسهای گروه در حضور موضع محیطی و هدفهای ثانویه از جمله افزایش قابلیت مانور یک ربات خاص و کنترل هدینگ یک ربات خاص استفاده شده است. در [۲۳] و [۲۵]، کلاس خاصی از ماتریس ژاکوبین رفتار جمعی در نظر گرفته شده است بگونه ای که میزان تبادل اطلاعات بین عاملهای شبکه و کنترل کننده متتمرکز را کاهش می دهد. در [۲۶]، توابع جمعی توصیف کننده طیف نسبتاً گسترده ای از رفتارهای جمعی پایه در بازی فوتbal رباتها ارائه شده است و با استفاده از روش معکوس ژاکوبین و رفتار فضای پوچی، بصورت عملی، چنین رفتارهای جمعی بر روی گروهی از رباتهای سیار واقعی پایده سازی شده اند. در [۲۷]، کنترل مرکز جرم و واریانس گروهی از عاملهای درجه دوم بر اساس روش معکوس ژاکوبین بررسی شده است. رفتار با اولویت پایین، بصورت جلوگیری از تصادم با مانع محیطی و کنترل هدینگ کل گروه در نظر گرفته شده است. تمام الگوریتم های ارائه شده تاکنون در مورد روش معکوس ژاکوبین، الگوریتم های متتمرکز می باشند.

نوآوریهای مربوطه. کلاس خاصی از رفتارهای جمعی در نظر گرفته می شود و بصورت متتمرکز بر اساس روش معکوس ژاکوبین و حداقل مربیات میراء، کنترل کننده متتمرکز برای تحقق آن طراحی می شود. سپس تمام متغیرهای جمعی موجود در آن، توسط هر عامل شبکه و با استفاده از پروتکلهای اجماع میانگین دینامیکی تخمین زده می شود که منجر به توزیع شدگی کنترل متتمرکز می شود. هر عامل شبکه نسخه توزیع شده ای از آن را برای خود اجرا می کند. در این مورد، هم الگوریتم زمان-پیوسته و هم الگوریتم زمان-گستته ارائه شده و شرائط خوش تعریفی کنترل کننده ها و پایداری کراندار آنها تحلیل شده است. عنوان مثال، کنترل توزیع شده ای برای کنترل آرایش گروهی از رباتهای سیار توسط مانهای اینرسی ارائه شده است.

پریویدیک مطلوب برای ذرات با سرعت واحد [۲] و [۳]، کنترل آرایش سیستمهای چند رباتی [۴]، [۶]، و [۸]، تعقیب هدفهای متحرک توسط شبکه های حسگر سیار [۴] و [۷]، صفحه آرائی و چینش خاص حسگرها در یک محیط توزیع شده طوریکه گردایان تخمین زده شده جریان محیطی خاصی، پیشینه یا کمینه شود [۵]، مانیتورینگ مرزهای محیط [۱۴]، حرکت گروهی پرنده ها/ماشینها/رباتهای سیار [۹] و [۱۰]، جمع شدن در یک مکان [۱۱] و [۱۲]، پوشش بهینه محیط های محلب توسط شبکه های حسگر سیار [۱۳]، مسئله اجماع [۱۵]، [۱۶]، [۱۷]، و [۱۹]، فیلترهای کالمن توزیع شده [۱۷].

یکی از روشهای سنتز سیستماتیک کنترل کننده های توزیع شده، روش بازوهای مکانیکی افزونه [۲۷]-[۲۰] و [۱۸] یا روش معکوس ژاکوبین است که به تازگی در مورد شبکه های چند عاملی بخصوص در مورد مسئله کنترل آرایش شبکه های رباتیک سیار مورد توجه قرار گرفته است. روش معکوس ژاکوبین وقتی قابل استفاده است که رفتار جمعی مورد نظر بصورت یک کمیت جمعی، قابل اندازه گیری باشد، بعبارتی قابل توصیف با یک تابع هموار جمعی باشد، همانند مسئله کینماتیک در رباتیک یا نمایش آرایش گروهی از رباتها با استفاده از مانهای اینرسی [۶]. در اینصورت رفتار جمعی در شبکه چند عاملی همانند موقعیت و جهت نقطه اثر انتهایی بازوی مکانیکی خواهد بود و همانگونه که این موقعیت و جهت بر حسب متغیرهای مفصلی قابل توصیف است، در شبکه چند عاملی نیز رفتار جمعی مورد نظر بصورت تابعی از حالتهای تمام عوامل توصیف می شود. در این روش تاکید فقط بر کنترل خود رفتار جمعی است (یعنی کنترل کل گروه بعنوان یک شی) و سعی می شود که تابع جمعی یا همان رفتار جمعی گروه، مسیر مطلوب را در فضای حالت جمعی تعقیب کند. بر عکس روشهای گردایانی خالص، که از همان ابتدا مسیر عاملها بنوعی مشخص می باشد و اجازه داده می شود که مسیر رفتار جمعی بخودی خود در طول زمان ظهور پیدا کند، در این روش، از همان ابتدا مسیر مطلوب رفتار جمعی مشخص است و اجازه داده می شود که مسیر عاملها در طول زمان ظهور پیدا کند. اساس این روش، استفاده از افزونگی موجود در شبکه های چند عاملی و معکوس ژاکوبین تابع توصیف کننده رفتار جمعی است. از جمله مشکلات مهم این روش، استفاده از افزونگی موجود در شبکه های آن را نام بردا. تا به حال، پایده سازی توزیع شده چنین روشهایی در مورد شبکه های چند عاملی انجام نشده است. یکی از توانائی های این روش، قابلیت پایده سازی انواع رفتار جمعی در یک گروه بر اساس اولویت می باشد که منجر به شکل گیری روشی بنام روش رفتار فضای پوچی

اندازه ای از عملکرد شبکه چند عاملی در تحقق یک رفتار جمعی خاص می باشد. معمولاً در شبکه های چند عاملی تعداد عاملها یعنی n ، نسبت به بُعد فضای حالت رفتار جمعی یعنی m بزرگتر است. لذا شبکه چند عاملی در تحقق یک رفتار جمعی خاص دارای افزونگی ذاتی خواهد بود. این افزونگی دارای مزیت بسیار مهمی است که بعلت آن، شبکه چند عاملی می تواند خود را بگونه ای کنترل کند که رفتار جمعی مورد نظر را محقق کند در عین اینکه از انواع قیدهای محیطی دوری کند یا اهداف ثانویه و با اولویت کمتر را تحقق بیخشند.

$$\text{فرض می شود که تابع } \sigma = f(x) \text{ بصورت} \\ f(x) = [f_1(x) \ f_2(x) \ \dots \ f_m(x)]^T \\ f_k(x) = \frac{1}{n} \sum_{i=1}^n g_k(x_i), \quad k = 1, \dots, m \quad (1)$$

و تابع $\mathbb{R}^{q_k} \rightarrow \mathbb{R}^q$: g_k توابع پیوسته مشتق پذیر می باشد. مسیر مطلوب برای رفتار جمعی σ بصورت یک مسیر هموار σ_d با مشتق $\dot{\sigma}_d$ ، مفروض می باشد. این مسیرهای جمعی یا توسط یک کنترل کننده توزیع شده سطح بالاتر در یک ساختار سلسله مراتبی در درون عاملها تولید می شود، یا مقادیر نهایی مطلوب $(\sigma(t_f), \dot{\sigma}(t_f))$ و پارامترهای تولید مسیر σ_d ، توسط یک ناظر جمعی، فقط در لحظه ای قبل از زمان اولیه t_0 به تمام عاملها فرستاده می شود. بوضوح روشن است که در این روش، تأکید بر مسیر جمعی می باشد و نحوه انجام رفتار جمعی کاملاً می تواند کنترل شود تا اینکه تأکیدی بر مسیر تک تک عاملها باشد. حتی هنگامی که فقط مطلوب بودن $(\sigma(t_f))$ مدنظر باشد، می توانیم نحوه همگرانی به این مقدار مطلوب را نیز کنترل کنیم که در روشهای بر اساس گرادیان، امکان پذیر نیست. هنگامی هم که یک رفتار جمعی متغیر با زمان مطلوب می باشد، با این روش همواره می توان کیفیت مطلوب را در انجام رفتار جمعی کنترل کرد که باز هم توسط روشهای بر اساس گرادیان امکان پذیر نیست.

مسیر مطلوب σ_d در فضای حالت رفتار جمعی را در نظر بگیرید. مسیرهای فضای حالت جمعی، یعنی x_d ، که باعث ظهور چنین مسیر در فضای رفتار جمعی می شوند، با توجه به افزونگی فضای حالت جمعی نسبت به فضای حالت رفتار جمعی، بیشمار می باشد. برای حل معادله غیر خطی $\dot{x}_d = f(x_d) - \sigma_d$ بمنظور تعیین مسیرهای مطلوب برای عاملها یعنی x_d ، از معکوس ژاکوبین تابع رفتار جمعی استفاده می شود.

$$\text{با توجه به } x = f(\sigma), \quad \dot{x} = J(x)\dot{\sigma} \quad (2)$$

۲- سنتز کنترل کننده های مرکز برای کلاس خاصی از رفتارهای جمعی

عامل دینامیکی را در نظر می گیریم که دینامیک آنها بصورت انتگرالگیر ساده زیر است.

$$\dot{x}_i = u_{ic}, \quad i \in \mathcal{V} = \{1, \dots, n\}$$

متغیر $x_i \in \mathbb{R}^q$ ، موقعیت عامل i می باشد. تعامل محلی بین عاملها، بصورت یک گراف غیرجهت دار $(\mathcal{E}, \mathcal{V}) = G$ مدل می شود. منظور از تعامل در اینجا، معنی توانائی ارتباط بین عاملها برای انتقال اطلاعات لازم است. محدوده تعامل بین عاملها، محدود به R می باشد، بگونه ای که وجود لینک $e \in \mathcal{E}$ معادل این است که $\|x(i) - x(j)\|_2 \leq R$. در نتیجه گراف تعامل $(\mathcal{E}, \mathcal{V}) = G$ یک گراف واپسی به حالت است و در جین تکامل شبکه، متغیر خواهد بود. مجموعه همسایگی عامل i بصورت $\mathcal{N}_i = \{j \in \mathcal{V} | \|x(i) - x(j)\|_2 \leq R\}$ است. ملاحظه می شود که شبکه چند عاملی مورد بحث، مشتمل از سیستمهای دینامیکی است که هیچ کوپل فیزیکی بین آنها وجود ندارد و تنها کوپل دینامیکی بین عاملهای شبکه، بمنظور تحقق یک رفتار جمعی بوجود می آید که خود را بصورت یک جریان اطلاعات بین عاملهای شبکه نشان می دهد.

همچنین فرض می کنیم که رفتار جمعی مورد نظر را می توان توسط یک تابع پیوسته مشتق پذیر مانند $\sigma = f(x) \in \mathbb{R}^m$ نشان دهیم که در آن، $x = [x_1^T \ x_2^T \ \dots \ x_n^T]^T$ است. فضای متغیر σ را فضای حالت رفتار جمعی، فضای متغیرهای x_i را فضای حالت محلی، و فضای x را فضای حالت جمعی می نامیم. تابع رفتار جمعی $f(x)$ ، در واقع اندازه ای از عملکرد شبکه چند عاملی در تحقق یک رفتار جمعی خاص می باشد. معمولاً در شبکه های چند عاملی تعداد عاملها یعنی n ، نسبت به بُعد فضای حالت رفتار جمعی یعنی m بزرگتر است. لذا شبکه چند عاملی در تحقق یک رفتار جمعی خاص دارای افزونگی ذاتی خواهد بود. این افزونگی دارای مزیت بسیار مهمی است که بعلت آن، شبکه چند عاملی می تواند خود را بگونه ای کنترل کند که رفتار جمعی مورد نظر را محقق کند در عین اینکه از انواع قیدهای محیطی دوری کند یا اهداف ثانویه و با اولویت کمتر را تحقق بیخشند.

همچنین فرض می کنیم که رفتار جمعی مورد نظر را می توانیم توسط یک تابع پیوسته مشتق پذیر مانند $\sigma = f(x) \in \mathbb{R}^m$ نشان دهیم که در آن، $x = [x_1^T \ x_2^T \ \dots \ x_n^T]^T$ است. فضای متغیر σ را فضای حالت رفتار جمعی، فضای متغیرهای x_i را فضای حالت محلی، و فضای x را فضای حالت جمعی می نامیم. تابع رفتار جمعی $f(x)$ ،

رفتار جمعی σ_d توسط شبکه تحقق پیدا کند، یعنی $\sigma_d \rightarrow \sigma$ ، که دلیل آن نیز از سیستم خطای (۴) روشن است. اگر کنترل کننده سطح پایین عاملها، بصورت رگولاسیون موقعیت باشد، با انگرالگیری از (۵)، سیگنال مرجع لازم برای این کنترل کننده ها بدست می آید. در اینصورت، دینامیک (۵)، از دریفتهای عددی ناشی از انگرالگیری نیز جلوگیری می کند. ایراد مهم معکوس ژاکوبین $J = J^T (JJ^T)^{-1}$ ، $J^\dagger = J^T (JJ^T)^{-1}$ سینگولار شدن ماتریس JJ^T می باشد. در نقاطی از فضای حالت جمعی که ماتریس JJ^T رتبه کامل نداشته باشد، دینامیک (۵) منجر به بردارهای سرعت بی کران می شود که از لحظه عملی کاملاً نامطلوب است. هر چند دور از نقاط سینگولار، بردارهای سرعت بهینه با کمترین تُرم ممکن را برای شبکه تعیین می کند. با توجه به اینکه $n \geq m$ است، تُرم ماتریس JJ^T ، رتبه ماتریس ژاکوبین J است. برای عبور نرم از نقاط سینگولار ماتریس ژاکوبین، از روش حداقل مربعات میرا بصورت زیر استفاده می شود.

$$\dot{x} = J^T (JJ^T + \lambda^2 I_m)^{-1} (\dot{\sigma}_d + \Lambda(\sigma_d - \sigma)) \quad (6)$$

که در آن، $\lambda > 0$ ، یک ضریب میرانی است. استفاده از روش فوق، هر چند باعث عبور بی خطر با بردارهای سرعت کراندار از نقاط سینگولار می شود، اما باعث ایجاد خطای تعقیب کراندار غیر صفر نیز می شود و باعث می شود که σ ، مسیر رفتار جمعی مطلوب σ_d را بصورت دقیق تعقیب نکند. بهمین خاطر، روشهای تطبیقی بسیاری برای تنظیم بهینه ضریب میرانی λ^2 توسعه داده شده است، بدینصورت که سیستم هر چه به نقاط سینگولار ماتریس ژاکوبین نزدیکتر می شود، مقدار λ^2 بزرگتر انتخاب می شود و در نقاط دور، مقدار آن صفر انتخاب می شود. با این حال، پیاده سازی این روشهای بصورت کاملاً توزیع شده برای سیستم های چند عاملی هنوز در جایی مورد بررسی قرار نگرفته است.

۳- تحلیل همگرائی سیستم متتمرکز (۶)

برای تحلیل اثر ضریب میرانی λ^2 در ویژگیهای پایداری سیستم کاملاً متتمرکز (۶)، از تعزیزه SVD ماتریس ژاکوبین استفاده می کنیم. ماتریس ژاکوبین J می تواند بصورت زیر نوشته شود

$$J = U \Sigma V^T = \sum_{i=1}^r \bar{\sigma}_i u_i v_i^T \quad (7)$$

که در آن، $r \leq m$ ، $U_{m \times m}$ ماتریس ارتوگرمال بردارهای سینگولار خروجی v_i ، u_i ماتریس ارتوگرمال بردارهای سینگولار ورودی v_i ، u_i و $\Sigma_{m \times nq} = [S_{nq \times nq}]$ که در آن، زیر ماتریس قطری $S_{m \times m}$ شامل مقادیر سینگولار $\bar{\sigma}_i$ ماتریس J می باشد. بردار سرعت جمعی \dot{x} که منجر به

که در آن، ماتریس $(x) J$ ، ماتریس ژاکوبین رفتار جمعی و وابسته به پیکربندی گروه می باشد. چون $n \geq m$ است از معکوس حداقل مربعات خطای بصورت زیر استفاده می شود

$$\dot{x}_d = J^T (JJ^T)^{-1} \dot{\sigma}_d \quad (2)$$

مسئله فوق همان مسئله کینماتیک معکوس در بازوهای رباتیک افزونه می باشد. اما این راه حل، یک جواب حلقه باز برای مسئله کینماتیک معکوس است و در فضای رفتار جمعی، پایداری یا همگرائی خاصی را به مسیر رفتار جمعی مطلوب برای خطای تعقیب در فضای رفتار جمعی بصورت $e_\sigma = \sigma_d - \sigma$ باشد. که در آن، σ ، مقدار واقعی تابع رفتار جمعی در نقطه x می باشد. انواع دینامیک خطی یا غیرخطی را می توان به خطای تعقیب e_σ نسبت داد بگونه ای که ویژگیهای مطلوب یک سیستم پایدار مجانبی جامع را داشته باشد. با توجه به اینکه در اینجا، دینامیک عاملها از درجه اول است، و هدف تعیین بردار سرعت مطلوب آنها است، دینامیک درجه اول برای خطای تعقیب کافی است. اگر دینامیک عاملها از درجه دوم باشد و هدف تعیین بردار شتاب مطلوب برای آنها باشد، حتماً باید دینامیک درجه دوم برای خطای تعقیب در نظر گرفته شود. با توجه به دینامیک عاملها که بصورت $\dot{x}_{ic} = u_{ic}$ می باشد، فرض می کنیم که دینامیک خطای تعقیب، یک سیستم درجه اول بصورت زیر باشد

$$\dot{e}_\sigma + \Lambda e_\sigma = 0 \quad (4)$$

که در آن، ماتریس Λ یک ماتریس مثبت معین است. واضح است که تنها نقطه تعادل سیستم فوق، که مبدأ می باشد، پایدار مجانبی جامع است. لذا، با این سیستم خطای، هر مسیر مطلوب (و پیوسته مشتق پذیر) σ_d در فضای حالت رفتار جمعی، پایدار مجانبی جامع است. در اینصورت دینامیک σ بصورت زیر است.

$$\dot{\sigma} = \Lambda(\sigma_d - \sigma) + \dot{\sigma}_d$$

از (۲) داریم $\dot{x} = J \dot{\sigma} = \dot{x}$. لذا برای تعیین بردار سرعت جمعی بهینه که دارای کمترین تُرم باشد از معکوس ژاکوبین (۳) استفاده می کنیم. لذا داریم

$$\dot{x} = J^\dagger (\dot{\sigma}_d + \Lambda(\sigma_d - \sigma)) \quad (5)$$

بردار سرعت جمعی فوق در فضای حالت جمعی، بردار سرعت مطلوب را برای تمام عاملهای شبکه مشخص می کند. با اعمال کنترل کننده (۵) توسط عاملهای شبکه، با شروع از هر نقطه کرانداری در فضای حالت جمعی، عاملهای شبکه بگونه ای حرکت می کنند که مسیر

خروجی اول یعنی بردارهای u_1, \dots, u_r پویش می شود و فضای پوچی ماتریس J یک فضای $n-r$ -بعدی است که توسط بردار سینگولار ورودی آخر یعنی v_{r+1}, \dots, v_n پویش می شود. با توجه به اینکه فضای حالت رفتار جمعی یک فضای m -بعدی است، همواره داریم $\dot{u}_d + \Lambda(\sigma_d - \sigma) = \sum_{i=1}^m \alpha_i u_i$ ، که در آن، $\alpha_i \in \mathbb{R}$ است. در اینصورت، با توجه به (۷)، داریم

$$\begin{aligned}\dot{x} &= J^T (JJ^T + \lambda^2 \mathbf{I}_m)^{-1} (\dot{\sigma}_d + \Lambda(\sigma_d - \sigma)) = \sum_{i=1}^r \frac{\bar{\sigma}_i \alpha_i}{\bar{\sigma}_i^2 + \lambda^2} v_i \\ \dot{\sigma} &= \sum_{i=1}^r \frac{\bar{\sigma}_i^2 \alpha_i}{\bar{\sigma}_i^2 + \lambda^2} u_i\end{aligned}\quad (11)$$

مالحظه می شود که اگر $\dot{\sigma}_d, \sigma_d$ بگونه ای باشند که در این نقطه سینگولار، $\dot{\sigma}_d = 0$ باشد، آنگاه $\dot{x} = 0$ و $\dot{\sigma} = 0$ خواهد بود و سیستم در این نقطه سینگولار، باقی می ماند. اما اگر $\dot{\sigma}_d, \sigma_d$ بگونه ای باشند که حداقل یکی از مقادیر $\alpha_1, \dots, \alpha_r$ غیر صفر باشند، آنگاه سیستم از این نقطه سینگولار عبور می کند. معمولاً برای یک تابع رفتار جمعی معین، آرایشهای فضایی حالت جمعی که منجر به سینگولار شدن ماتریس ژاکوبین آن می شود، قابل تعیین و شناسایی است. لذا توانایی ماتریس ژاکوبین مثبت معین Λ در اینکه باعث شود عبارت $\dot{\sigma}_d + \Lambda(\sigma_d - \sigma)$ ، (وقتی آرایش سینگولار مدنظر نیاشد) همواره دارای مولفه غیر صفری در امتداد حداقل یکی از بردارهای سینگولار خروجی داشته باشد، قابل بررسی است. با فرض $W = \frac{1}{2} e_\sigma^T e_\sigma$ ، مشتق آن در راستای پاسخهای سیستم خطای (۹) عبارت است از

$$\dot{W} = -e_\sigma^T \sum_{i=1}^r \frac{\bar{\sigma}_i^2}{\bar{\sigma}_i^2 + \lambda^2} u_i u_i^T \Lambda(e_\sigma) + e_\sigma^T \sum_{i=1}^m \frac{\lambda^2}{\bar{\sigma}_i^2 + \lambda^2} u_i u_i^T \dot{\sigma}_d$$

با فرض $e_\sigma = \sum_{i=1}^m \beta_i u_i$ ، داریم

$$\dot{W} = -\sum_{i=1}^r \frac{\bar{\sigma}_i^2 \beta_i}{\bar{\sigma}_i^2 + \lambda^2} u_i^T \Lambda e_\sigma + e_\sigma^T \sum_{i=1}^m \frac{\lambda^2}{\bar{\sigma}_i^2 + \lambda^2} u_i u_i^T \dot{\sigma}_d$$

لذا در نقاط سینگولار، اگر Λe_σ دارای مولفه غیر صفر در راستای حداقل یکی از بردارهای سینگولار خروجی قابل تحقیق باشد، بعنوان مثال در راستای بردار u_i بازی ژاکوبین r ، $i \in \{1, \dots, r\}$ آنگاه داریم

$$\dot{W} \leq -\|\Lambda\| \frac{\bar{\sigma}_i^2}{\bar{\sigma}_i^2 + \lambda^2} \|e_\sigma\|^2 + \|e_\sigma\| \|\dot{\sigma}_d\|$$

در اینصورت، با توجه به حالتی که $r=m$ بود، می توان نتیجه گرفت که اگر در نقاط سینگولار ماتریس ژاکوبین، Λe_σ دارای مولفه غیر صفر در راستای حداقل یکی از بردارهای سینگولار خروجی قابل تحقیق باشد، آنگاه سیستم (۸) پایدار ورودی-به-حالت جامع است. اگر چنین تضمینی وجود نداشته باشد، فقط می توان گفت که سیستم (۸) در

بردار سرعت صفر در فضای حالت رفتار جمعی می شود بردار سرعت فضای پوچی نامیده می شود. بردار سرعت $\dot{\sigma}$ در فضای حالت رفتار جمعی که می تواند توسط بردار سرعت جمعی ممکن، تولید شود، بردار سرعت قابل تحقق در فضای حالت رفتار جمعی نامیده می شود. از سیستم (۶) داریم

$$\dot{\sigma} = J \dot{x} = JJ^T (JJ^T + \lambda^2 \mathbf{I}_m)^{-1} (\dot{\sigma}_d + \Lambda(\sigma_d - \sigma)) \quad (8)$$

لذا دینامیک خطای تعقیب در فضای رفتار جمعی بصورت زیر است

$$\dot{e}_\sigma = -JJ^T (JJ^T + \lambda^2 \mathbf{I}_m)^{-1} \Lambda(e_\sigma) + (I - JJ^T (JJ^T + \lambda^2 \mathbf{I}_m)^{-1}) \dot{\sigma}_d \quad (9)$$

با توجه به (۷)، داریم $.JJ^T (JJ^T + \lambda^2 \mathbf{I}_m)^{-1} = \sum_{i=1}^r \frac{\bar{\sigma}_i^2}{\bar{\sigma}_i^2 + \lambda^2} u_i u_i^T$. با در نظر گرفتن تابع $W = \frac{1}{2} e_\sigma^T e_\sigma$ بعنوان تابع لیپاپنوف کاندید، مشتق آن در امتداد پاسخهای سیستم خطای (۹) بصورت زیر خواهد بود

$$\begin{aligned}\dot{W} &= -e_\sigma^T JJ^T (JJ^T + \lambda^2 \mathbf{I}_m)^{-1} \Lambda(e_\sigma) \\ &\quad + e_\sigma^T (I - JJ^T (JJ^T + \lambda^2 \mathbf{I}_m)^{-1}) \dot{\sigma}_d\end{aligned}$$

فرض می کنیم که ماتریس ژاکوبین تمام رتبه باشد، یعنی $r=m$ باشد. در اینصورت داریم

$$\begin{aligned}\dot{W} &\leq -\|\Lambda\| \frac{\bar{\sigma}_m^2}{\bar{\sigma}_m^2 + \lambda^2} \|e_\sigma\|^2 + \|e_\sigma\| \|\dot{\sigma}_d\| \\ &\text{که در آن، } \bar{\sigma}_m \text{ کوچکترین مقدار سینگولار غیر صفر ماتریس } J \\ &\text{است. فرض می کنیم } 0 < \theta < 1, 0 < c < \delta, \text{ و } \\ &\|\dot{\sigma}_d\| \leq c \|\Lambda\| \frac{\bar{\sigma}_m^2}{\bar{\sigma}_m^2 + \lambda^2} \|e_\sigma\|^2, \text{ باشد. در اینصورت داریم}\end{aligned}$$

$$\begin{aligned}\dot{W} &\leq -c \|e_\sigma\|^2 + \delta \|e_\sigma\| = -(1-\theta)c \|e_\sigma\|^2 - \theta c \|e_\sigma\|^2 + \delta \|e_\sigma\| \\ &\leq -(1-\theta)c \|e_\sigma\|^2, \quad \text{when } \|e_\sigma\| \geq \frac{\delta}{\theta c}\end{aligned}$$

لذا با استفاده از لم مقایسه، می توان نتیجه گرفت که

$$\|e_\sigma(t)\| \leq \exp(-(1-\theta)c(t-t_0)) \|e_\sigma(t_0)\| + \frac{\delta}{\theta c}, \quad t \geq t_0 \quad (10)$$

و قوی که $\dot{\sigma}_d = 0$ باشد، خطای حالت ماندگار در فضای حالت رفتار جمعی، صفر خواهد شد. بنابراین وقتی ماتریس ژاکوبین تمام رتبه باشد، دینامیک (۸) در فضای حالت رفتار جمعی، پایدار ورودی-به-حالت جامع است. اما برای نتیجه گیری در مورد کراندار بودن حالت جمعی x ، لازم است که تابع جمعی σ نسبت به حالت جمعی، سره یا بصورت شعاعی نامحدود باشد.

اکنون فرض می کنیم که ماتریس J در بعضی نقاط در حین تکامل شبکه، سینگولار می شود، یعنی $r < m$ می شود. در اینصورت فضای قابل تحقق برای بردارهای سرعت فضای حالت رفتار جمعی، یک فضای r -بعدی است که توسط r بردار سینگولار

$$\text{پروتکل بصورت } n \frac{\partial g_i(x_i)}{\partial x_i} \frac{\partial g_h^T(x_i)}{\partial x_i} \text{ خواهد بود که کاملاً توسط آن}$$

قابل اندازه گیری و محاسبه است. فرض می کنیم که در نهایت، تخمین عامل تام از ماتریس JJ^T بصورت $(JJ^T)_i$ باشد. همچنین برای پیاده سازی (۶)، هر عامل باید بتواند تخمین درستی از کمیتهای رفتار جمعی نیز داشته باشد، یعنی $f(x) = f(\sigma)$. با توجه به فرم خاص $f(x) = f(\sigma)$ در (۱)، این مقادیر نیز می توانند با برپائی پروتکلهای اجماع میانگین دینامیکی بصورت توزیع شده محاسبه شوند. بعنوان مثال، برای پروتکل متناظر برای تخمین کمیت $f_k(x) = \frac{1}{n} \sum_{i=1}^n g_i(x_i)$ ، ورودی عامل تام به این پروتکل، بصورت $(x_i)_k$ خواهد بود. در نهایت فرض می کنیم که تخمین عامل تام از $f(x) = f(\sigma)$ ، بصورت $\hat{\sigma}_i$ باشد. لذا مشاهده می شود، که با نهادن پروتکلهای اجماع میانگین دینامیکی، تمام عاملها فقط بر اساس اطلاعات محلی در دسترس، می توانند مسیرهای مطلوب خود را تولید کنند بگونه ای که با تعقیب این مسیرها، رفتار جمعی مطلوب محقق خواهد شد. در اینصورت، پیاده سازی توزیع شده کنترل کننده (۶) برای عامل تام، بصورت زیر خواهد بود.

$$\dot{x}_i = \left[\begin{array}{c} \left(\frac{\partial g_1(x_i)}{\partial x_i} \right)^T \\ \left(\frac{\partial g_2(x_i)}{\partial x_i} \right)^T \\ \vdots \\ \left(\frac{\partial g_m(x_i)}{\partial x_i} \right)^T \end{array} \right] \left((JJ^T)_i + \lambda^2 \mathbf{I}_m \right)^{-1} (\sigma_d + \Lambda(\sigma_d - \hat{\sigma}_i)), \quad i = 1, \dots, n \quad (14)$$

۵- الگوریتم توزیع شده زمان-گسسته و تحلیل همگرائی آن

اگر دینامیک عاملها بصورت زمان-بیوسته، بصورت $\dot{x}_i = u_{ic}$ باشد و تولید بردار کنترلی u_{ic} در زمانهای گسسته $\{t_0 + k\Delta T | k \in \mathbb{Z}_{\geq 0}\}$ انجام شود، روش فوق بصورت زیر پیاده سازی می شود. فرض می شود که بصورت متنابض، در یک لحظه پروتکلهای اجماع میانگین دینامیکی اجرا شوند، و بعد از محاسبه توزیع شده متغرهای جمعی لازم و در نتیجه محاسبه بردار کنترلی لازم، در لحظه بعد، بردارهای کنترلی محاسبه شده اعمال شوند. لذا اگر در لحظه t_c ، پروتکلهای اجماع میانگین دینامیکی اجرا شوند، فرض می شود که در فاصله زمانی ΔT برای همگرائی است. همچنین فرض می شود که فاصله زمانی ΔT برای همگرائی پروتکلهای اجماع میانگین به مقدار مطلوب، در بدترین شرایط همبندی شبکه ارتباطی و شرایط اولیه شبکه، کافی است. برای همگرائی در زمان محدود ΔT ، می توان از پروتکلهای غیر خطی استفاده کرد. در اینصورت در انتهای فاصله زمانی $[t_c, t_c + \Delta T]$ ، تمام عاملهای شبکه، متغرهای جمعی لازم را برای پیاده سازی (۶) بصورت توزیع شده

فضای حالت رفتار جمعی منهای نقاط سینگولار ماتریس ژاکوبین تابع رفتار جمعی، پایدار ورودی به حالت است.

۴- غیرمتمنه کرزا سازی سیستم (۶)

دینامیک (۶) یک رابطه کاملاً متمرکز می باشد و اگر قرار باشد هر عامل شبکه، مسیر مطلوب خود را، خود محاسبه نماید باید به تمام حالتهای تمام عاملهای شبکه دسترسی داشته باشد. بنظر پیاده سازی توزیع شده کنترل کننده فوق، با شکل خاصی که برای $f(x) = f(\sigma)$ در (۱) فرض کرده ایم، می توانیم از پروتکلهای اجماع میانگین دینامیکی توسعه داده شده در [۱۹] استفاده کنیم. برای ژاکوبین σ داریم:

$$J = \frac{1}{n} \begin{bmatrix} \frac{\partial g_1(x_1)}{\partial x_1} & \frac{\partial g_1(x_2)}{\partial x_2} & \dots & \frac{\partial g_1(x_n)}{\partial x_n} \\ \frac{\partial g_2(x_1)}{\partial x_1} & \frac{\partial g_2(x_2)}{\partial x_2} & \dots & \frac{\partial g_2(x_n)}{\partial x_n} \\ \vdots & \vdots & \ddots & \vdots \\ \frac{\partial g_m(x_1)}{\partial x_1} & \frac{\partial g_m(x_2)}{\partial x_2} & \dots & \frac{\partial g_m(x_n)}{\partial x_n} \end{bmatrix} \quad (12)$$

که در آن، $\frac{\partial g_j(x_i)}{\partial x_i} = \left[\begin{array}{c} \frac{\partial g_j(x_i)}{\partial x_i^1} \\ \vdots \\ \frac{\partial g_j(x_i)}{\partial x_i^q} \end{array} \right]$ در اینصورت عبارت است از JJ^T

$$JJ^T = \frac{1}{n^2} \begin{bmatrix} \sum_{i=1}^n \frac{\partial g_1(x_i)}{\partial x_i} \frac{\partial g_1^T(x_i)}{\partial x_i} & \dots & \sum_{i=1}^n \frac{\partial g_1(x_i)}{\partial x_i} \frac{\partial g_m^T(x_i)}{\partial x_i} \\ \vdots & \ddots & \vdots \\ \sum_{i=1}^n \frac{\partial g_m(x_i)}{\partial x_i} \frac{\partial g_1^T(x_i)}{\partial x_i} & \dots & \sum_{i=1}^n \frac{\partial g_m(x_i)}{\partial x_i} \frac{\partial g_m^T(x_i)}{\partial x_i} \end{bmatrix} \quad (13)$$

هر عامل شبکه برای محاسبه بردار سرعت مطلوب متناظر خود، باید بتواند ماتریس فوق را محاسبه کند. اما المانهای ماتریس فوق وابسته به حالت جمعی شبکه است و هر عامل شبکه مجاز به ارسال اطلاعات محلی خود به عاملهای همسایه و در نتیجه، دریافت اطلاعات محلی همسایه های خود می باشد. با توجه به این جریان اطلاعات بر روی یک شبکه ارتباطی وابسته به حالت و نوع المانهای ماتریس فوق که بصورت جمع توابعی از متغیرهای مستقل می باشند، می توان از پروتکل اجماع میانگین دینامیکی برای محاسبه المانهای ماتریس فوق استفاده کرد. لذا با پیاده سازی یک پروتکل اجماع میانگین دینامیکی متناظر به هر المان، هر عامل می تواند تخمینی از المانهای این ماتریس داشته باشد. ماتریس فوق یک ماتریس متقارن m در m است لذا دارای $m(m+1)/2$ المان مستقل می باشد. بنابراین به تعداد $m(m+1)/2$ پروتکل اجماع میانگین دینامیکی لازم داریم. بعنوان مثال، برای پروتکل متناظر برای تخمین المان در ماتریس JJ^T ، ورودی عامل تام به این

معین بودن ماتریس Λ ، لازم و کافی است که مقادیر ویژه Λ کوچکتر از $T/2\Delta T$ باشند. در اینصورت، بازای خطای تقریب کراندار $\|\delta\| \leq K$ ، خطای تعقیب در فضای حالت رفتار جمعی، پایدار کراندار خواهد بود، یا عبارتی، سیستم خطای تعقیب رفتار جمعی (۱۹)، پایدار ورودی-به-حالت خواهد بود. حالت $\lambda^2 > 0$ برای سیستم زمان-پیوسته (۶) بررسی خواهد شد که شبیه همان مراحل تحلیل می تواند در مورد سیستم (۱۸) نیز انجام شود که در نهایت نشان دهنده پایدار ورودی-به-حالت سیستم (۱۷) می باشد. یکی از مزایای الگوریتم (۱۷)، این است که ویژگیهای پایداری آن از ویژگیهای پروتکلهای اجماع میانگین مستقل است. ملاحظه می شود که هر چه فاصله زمانی ΔT کوچکتر باشد، خطای تقریب δ کوچکتر خواهد شد، ولذا خطای تعقیب نیز طبق (۱۹) کوچکتر خواهد شد.

۶- تحلیل همگرائی سیستم توزیع شده (۱۴)

در این قسمت، به تحلیل سیستم توزیع شده (۱۴) خواهیم پرداخت.

با نمایش ماتریس J_i بصورت زیر

$$J_i = \left[\begin{array}{c} \left(\frac{\partial g_1(x_i)}{\partial x_i} \right)^T \\ \left(\frac{\partial g_2(x_i)}{\partial x_i} \right)^T \\ \dots \\ \left(\frac{\partial g_m(x_i)}{\partial x_i} \right)^T \end{array} \right]^T \quad (20)$$

سیستم (۱۴) را می توان بصورت زیر بازنویسی کرد

$$\dot{x}_i = J_i^T ((JJ^T)_i + \lambda^2 \mathbf{I}_m)^{-1} (\dot{\sigma}_d + \Lambda(\sigma_d - \hat{\sigma}_i)), i = 1, \dots, n \quad (21)$$

و معادله $\dot{\sigma}$ بصورت زیر خواهد بود

$$\dot{\sigma} = \sum_{i=1}^n J_i J_i^T ((JJ^T)_i + \lambda^2 \mathbf{I}_m)^{-1} (\dot{\sigma}_d + \Lambda(\sigma_d - \hat{\sigma}_i)) \quad (22)$$

فرض می کنیم که ورودیهای پروتکل اجماع میانگین دینامیکی برای محاسبه توزیع شده JJ^T ، بصورت ماتریسهای $J_1 J_1^T, \dots, J_n J_n^T$ باشد، عبارتی دیگر،

$$U_e = \left[(J_1 J_1^T)^T \quad \dots \quad (J_n J_n^T)^T \right]^T \quad (23)$$

خطای تخمین عامل λ در محاسبه JJ^T را با ماتریس E_i نشان می دهیم. در اینصورت داریم

$$(JJ^T)_i = JJ^T + E_i \quad (24)$$

و ماتریس خطای کل را بصورت $E = [E_1^T \quad \dots \quad E_n^T]^T$ نشان می دهیم. در اینصورت با توجه به نتایج ارائه شده در [۱۹] می توان نتیجه گرفت که با فرض شرائط اولیه صفر برای تمام تخمینگرهای بازی یک ثابت مثبت c_e داریم

$$\|E_i\| \leq \|E\| \leq c_e \|U_e\| \quad (25)$$

می دانند، لذا می توانند بردار سرعت مطلوب خود را از رابطه زیر محاسبه کنند. این بردار سرعت در فاصله زمانی $[t_c + \Delta T, t_c + 2\Delta T]$ معتبر خواهد بود.

$$\dot{x}_i = \left[\begin{array}{c} \left(\frac{\partial g_1(x_i)}{\partial x_i} \right)^T \\ \left(\frac{\partial g_2(x_i)}{\partial x_i} \right)^T \\ \dots \\ \left(\frac{\partial g_m(x_i)}{\partial x_i} \right)^T \end{array} \right]^T \quad (15)$$

$$\left((JJ^T + \lambda^2 \mathbf{I}_m)^{-1} \left[\begin{array}{c} \sigma_d(t_c + 2\Delta T) - \sigma_d(t_c + \Delta T) \\ + (\Delta T) \Lambda(\sigma_d(t_c + \Delta T) - \sigma(t_c + \Delta T)) \end{array} \right] \right)$$

$$i = 1, \dots, n$$

در رابطه فوق، فرض شده است که خطای محاسبات توزیع شده ناشی از اجرای پروتکلهای اجماع میانگین، بسیار ناچیز و قابل چشم پوشی است که با بکار بردن پروتکلهای همگرای زمان-محفوظ، فرض درستی است. در اینصورت بردار سرعت جمعی شبکه در فاصله زمانی $[t_c + \Delta T, t_c + 2\Delta T]$ بصورت زیر خواهد بود

$$\dot{x} = J^T(t_c + \Delta T) \left(J(t_c + \Delta T) J^T(t_c + \Delta T) + \lambda^2 \mathbf{I}_m \right)^{-1} \times$$

$$\left(\sigma_d(t_c + 2\Delta T) - \sigma_d(t_c + \Delta T) \right. \\ \left. + (\Delta T) \Lambda(\sigma_d(t_c + \Delta T) - \sigma(t_c + \Delta T)) \right) \quad (16)$$

دینامیک فوق را می توان در زمان-گستته، با استفاده از اندیس k ، بصورت زیر بازنویسی کرد

$$x(k+1) - x(k) = J^T(k) \left(J(k) J^T(k) + \lambda^2 \mathbf{I}_m \right)^{-1} \times$$

$$\left(\sigma_d(k+1) - \sigma_d(k) + (\Delta T) \Lambda(\sigma_d(k) - \sigma(k)) \right) \quad (17)$$

لذا داریم

$$J(k)(x(k+1) - x(k)) = J(k) J^T(k) \left(J(k) J^T(k) + \lambda^2 \mathbf{I}_m \right)^{-1} \times$$

$$\left(\sigma_d(k+1) - \sigma_d(k) + (\Delta T) \Lambda(\sigma_d(k) - \sigma(k)) \right)$$

با توجه به $\dot{x} = J\dot{x}$ ، فرض می کنیم

$$(\sigma(k+1) - \sigma(k)) = J(k)(x(k+1) - x(k)) + \delta(k+1)$$

که با توجه به پیوسته بودن ماتریس ژاکوبین J ، خطای تقریب کراندار خواهد بود، لذا فرض می شود که بازی یک

باشد، در اینصورت خواهیم داشت $\|\delta\| \leq K$ ، $K > 0$

$$\sigma(k+1) - \sigma(k) = J(k) J^T(k) \left(J(k) J^T(k) + \lambda^2 \mathbf{I}_m \right)^{-1} \times$$

$$\left(\sigma_d(k+1) - \sigma_d(k) + \Lambda(\sigma_d(k) - \sigma(k)) \Delta T \right) + \delta(k+1) \quad (18)$$

برای تحلیل ویژگیهای همگرائی سیستم گستته فوق، فرض

می کنیم که $\lambda^2 = 0$ باشد. در اینصورت خواهیم داشت

$$\sigma(k+1) - \sigma(k) = \sigma_d(k+1) - \sigma_d(k) +$$

$$(\Delta T) \Lambda(\sigma_d(k) - \sigma(k)) + \delta(k+1)$$

بنابراین دینامیک بردار خطای تعقیب، $e_\sigma = \sigma_d - \sigma$ ، بصورت زیر خواهد بود

$$e_\sigma(k+1) = (I - (\Delta T) \Lambda) e_\sigma(k) - \delta(k+1) \quad (19)$$

لذا برای اینکه خطای تعقیب، پایدار باشد باید مقادیر ویژه ماتریس

$I - (\Delta T) \Lambda$ درون دایره واحد قرار داشته باشند، که با توجه به مثبت

است). لذا با توجه به اینکه ماتریس $JJ^T + \lambda^2 \mathbf{I}_m$ ، غیر سینگولار است، شرط کافی برای اینکه ماتریس $JJ^T + \lambda^2 \mathbf{I}_m + E_i$ معکوس پذیر باشد این است که

$$\|E_i\| < 1/\|(JJ^T + \lambda^2 \mathbf{I}_m)^{-1}\| \quad (30)$$

با توجه به (۷)، داریم $\|(JJ^T + \lambda^2 \mathbf{I}_m)^{-1}\| \leq 1/\lambda^2$. لذا اگر بازی

یک $\varepsilon < 0$ ، فرض کنیم که

$$\|E_i\| \leq \varepsilon \lambda^2 \quad (31)$$

آنگاه شرط (۳۰) برآورده می شود. با برقراری شرط (۳۰)، سیستم

(۲۸) را می توان بصورت زیر نوشت

(۳۲)

$$\begin{aligned} \dot{x}_i = & J_i^T (JJ^T + \lambda^2 \mathbf{I}_m)^{-1} (\dot{\sigma}_d + \Lambda(\sigma_d - \sigma)) + \\ & + J_i^T (JJ^T + \lambda^2 \mathbf{I}_m)^{-1} \Lambda e_i + \\ & + J_i^T \left(\sum_{k=1}^{\infty} (-1)^k \left((JJ^T + \lambda^2 \mathbf{I}_m)^{-1} E_i \right)^k \right) (JJ^T + \lambda^2 \mathbf{I}_m)^{-1} \times \\ & (\dot{\sigma}_d + \Lambda(\sigma_d - \sigma)) + J_i^T \left(\sum_{k=1}^{\infty} (-1)^k \left((JJ^T + \lambda^2 \mathbf{I}_m)^{-1} E_i \right)^k \right) \times \\ & (JJ^T + \lambda^2 \mathbf{I}_m)^{-1} \Lambda e_i \end{aligned} \quad , i = 1, \dots, n$$

با توجه به فرض $\|E_i\| \leq \varepsilon \lambda^2$ و شرط (۳۰)، می توان نتیجه گرفت

که

$$\left\| \sum_{k=1}^{\infty} (-1)^k \left((JJ^T + \lambda^2 \mathbf{I}_m)^{-1} E_i \right)^k \right\| \leq \frac{\varepsilon}{1 - \varepsilon} \quad (33)$$

با فرض $\|\Lambda\| = K$ از (۳۲) داریم

$$\|\dot{x}_i\| \leq \frac{b}{\lambda^2} \frac{1}{1 - \varepsilon} (\|\dot{\sigma}_d\| + K \|e_\sigma\| + K c'_e b \|\dot{x}\|), \quad i = 1, \dots, n \quad (34)$$

لذا داریم

$$\|\dot{x}\| \leq \sqrt{n} \frac{b}{\lambda^2} \frac{1}{1 - \varepsilon} (\|\dot{\sigma}_d\| + K \|e_\sigma\| + K c'_e b \|\dot{x}\|) \quad (35)$$

لذا با فرض $\frac{\sqrt{n} K c'_e b^2}{\lambda^2 (1 - \varepsilon)} \leq \gamma_1$ ، داریم

$$\|\dot{x}\| \leq \gamma_1 \|\dot{x}\| + \sqrt{n} \frac{b}{\lambda^2} \frac{1}{1 - \varepsilon} (\|\dot{\sigma}_d\| + K \|e_\sigma\|) \quad (36)$$

باید $\gamma_1 < 1$ باشد که در اینصورت خواهیم داشت

$$\|\dot{x}\| \leq \sqrt{n} \frac{b}{\lambda^2} \frac{1}{1 - \varepsilon} \frac{1}{1 - \gamma_1} (\|\dot{\sigma}_d\| + K \|e_\sigma\|) \quad (37)$$

با برقراری شرط (۳۰)، دینامیک خطای e_σ برای سیستم (۲۹) را می توان بصورت زیر نوشت.

$$\begin{aligned} \dot{e}_\sigma = & -M_1 (\dot{\sigma}_d + \Lambda e_\sigma) - M_2 + \\ & M_3 (JJ^T + \lambda^2 \mathbf{I}_m)^{-1} (\dot{\sigma}_d + \Lambda e_\sigma) + M_4 + \dot{\sigma}_d \end{aligned} \quad (38)$$

که در آن،

$$\text{برای } \frac{d}{dt} J_i J_i^T \text{ داریم } \left[\frac{\partial^2 \sigma}{\partial x_i^2} J_i^T + J_i \left(\frac{\partial^2 \sigma}{\partial x_i^2} \right)^T \right] \dot{x}_i$$

توجه به شکل خاص (۱) برای $f(x) = \sigma$ ، فرض می کنیم که بیشترین

$$\text{مقدار } \left\| \frac{\partial^2 \sigma}{\partial x_i^2} J_i^T + J_i \left(\frac{\partial^2 \sigma}{\partial x_i^2} \right)^T \right\| \text{ در فضای کاری مورد نظر در فضای}$$

حالت محلی، باندازه a باشد، یعنی

$$\max_{\text{workspace of } x_i} \left\| \frac{\partial^2 \sigma}{\partial x_i^2} J_i^T + J_i \left(\frac{\partial^2 \sigma}{\partial x_i^2} \right)^T \right\| = a \quad (26)$$

در اینصورت برای \dot{U}_e داریم $\|\dot{U}_e\| \leq a \|\dot{x}\|$

$$\|E_i\| \leq \|E\| \leq c_e \|\dot{U}_e\| \leq a c_e \|\dot{x}\| \quad (27)$$

همچنین فرض می کنیم ورودیهای پروتکلهای اجماع میانگین دینامیکی برای محاسبه توزیع شده σ ، بصورت بردارهای زیر باشند.

$$u_{1e} = [g_1(x_1) \dots g_m(x_1)]^T, \dots, u_{ne} = [g_1(x_n) \dots g_m(x_n)]^T$$

همچنین فرض می شود که $U'_e = [u_{1e}^T \dots u_{ne}^T]^T$. خطای تخمین

عامل ثام در محاسبه σ را با بردار e_i نشان می دهیم. در اینصورت داریم

$$\hat{\sigma}_i = \sigma - e_i \quad (28)$$

و بردار خطای کل را بصورت $e = [e_1^T \dots e_n^T]^T$ نشان می دهیم.

با فرض شرائط اولیه صفر برای تمام تخمینگرهای، بازی یک ثابت مثبت

c'_e داریم

$$\|e_i\| \leq \|e\| \leq c'_e \|\dot{U}'_e\| \quad (25)$$

برای $\dot{x}_i = J_i \dot{x}_i$ ، فرض می کنیم

$$\max_{\text{workspace of } x_i} \|J_i(x_i)\| = b \quad (26)$$

در اینصورت، داریم

$$\|e_i\| \leq \|e\| \leq c'_e b \|\dot{x}\| \quad (27)$$

با توجه به (۲۸) و (۲۴)، سیستمهای (۲۱) و (۲۲) را می توانیم

برحسب خطاهای تخمین پروتکلهای اجماع میانگین دینامیکی بصورت

زیر نویسیم.

$$\dot{x}_i = J_i^T (JJ^T + \lambda^2 \mathbf{I}_m + E_i)^{-1} (\dot{\sigma}_d + \Lambda(\sigma_d - \sigma) + \Lambda e_i) \quad , i = 1, \dots, n \quad (28)$$

$$\dot{\sigma} = \sum_{i=1}^n J_i J_i^T (JJ^T + \lambda^2 \mathbf{I}_m + E_i)^{-1} (\dot{\sigma}_d + \Lambda(\sigma_d - \sigma) + \Lambda e_i) \quad (29)$$

مشکل عمده سیستم های فوق بعلت حضور خطاهای تخمین، در

عبارت $(JJ^T + \lambda^2 \mathbf{I}_m + E_i)^{-1}$ خود را نشان می دهد. ماتریس

$JJ^T + \lambda^2 \mathbf{I}_m$ ، همواره معکوس پذیر است اما حضور ماتریس خطای

E_i که باعث انحراف این ماتریس می شود ممکن است باعث

سینگولار شدن ماتریس مذکور شود، چون هیچ نوع ویژگی خاصی

برای ماتریسهای خطای E_i مترتب نیست (جز اینکه $\sum_{i=1}^n E_i = 0$)

در اینصورت از (۳۷) می توان نتیجه گرفت که

$$\|\dot{x}\| \leq \sqrt{n} \frac{b}{\lambda^2} \frac{1}{1-\varepsilon} \frac{1}{1-\gamma_1} \left(\delta + K \frac{c_4}{\theta c_1} \right) \quad (46)$$

لذا برای برقراری (۴۱)، باید داشته باشیم

$$\sqrt{n} \frac{b}{\lambda^2} \frac{1}{1-\varepsilon} \frac{1}{1-\gamma_1} \left(\delta + K \frac{c_4}{\theta c_1} \right) \leq \frac{\varepsilon \lambda^2}{ac_e} \quad (47)$$

لذا شرایطی که باید برقرار باشد تا پایداری کراندار سیستم خطای

تعقیب در فضای حالت رفتار جمعی (۳۸) تضمین شود عبارتند از

$$\frac{\bar{\sigma}_m^2 K}{\bar{\sigma}_m^2 + \lambda^2} > \frac{b^2 \varepsilon K}{\lambda^2 (1-\varepsilon)} \quad (48)$$

$$\sqrt{n} \frac{b}{\lambda^2} \frac{1}{1-\varepsilon} \frac{1}{1-\gamma_1} \left(\delta + K \frac{c_4}{\theta c_1} \right) \leq \frac{\varepsilon \lambda^2}{ac_e}$$

-۷- کنترل آرایش گروهی از رباتهای سیار توسط

کنترل توزیع شده ممانهای اینرسی آرایش

ممانهای اینرسی یک گروه می توانند بعنوان مدلی برای آرایش

گروه در نظر گرفته شود. در اینجا، ممانهای اینرسی اول و دوم در فضای

دو بعدی بعنوان نمونه ارائه می شود. در اینصورت تابع $f(x)$ بصورت

زیر خواهد بود.

$$f(x) = \begin{bmatrix} \mu_1 \\ \mu_2 \\ \sigma_1^2 \\ \sigma_2^2 \\ \sigma_{12} \end{bmatrix} = \begin{bmatrix} \frac{1}{n} \sum_{i=1}^n x_i^1 \\ \frac{1}{n} \sum_{i=1}^n x_i^2 \\ \frac{1}{n} \sum_{i=1}^n (x_i^1 - \mu_1)^2 \\ \frac{1}{n} \sum_{i=1}^n (x_i^2 - \mu_2)^2 \\ \frac{1}{n} \sum_{i=1}^n (x_i^1 - \mu_1)(x_i^2 - \mu_2) \end{bmatrix} \quad (49)$$

ماتریس ژاکوبین محلی J_i در (۲۰) عبارت است از

$$J_i = \begin{bmatrix} \frac{1}{n} & 0 \\ 0 & \frac{1}{n} \\ \frac{2(n-1)}{n^2} (x_i^1 - \mu_1) & 0 \\ 0 & \frac{2(n-1)}{n^2} (x_i^2 - \mu_2) \\ \frac{(n-1)}{n^2} (x_i^2 - \mu_2) & \frac{(n-1)}{n^2} (x_i^1 - \mu_1) \end{bmatrix} \quad (50)$$

و ماتریس ژاکوبین J عبارت است از $J = [J_1 \ J_2 \ \dots \ J_n]$ و

ماتریس JJ^T بصورت زیر است

(51)

$$M_1 = JJ^T \left(JJ^T + \lambda^2 \mathbf{I}_m \right)^{-1}$$

$$M_2 = \sum_{i=1}^n J_i J_i^T \left(JJ^T + \lambda^2 \mathbf{I}_m \right)^{-1} \Lambda e_i$$

$$M_3 = \sum_{i=1}^n J_i J_i^T \left(\sum_{k=1}^{\infty} (-1)^{k+1} \left(\left(JJ^T + \lambda^2 \mathbf{I}_m \right)^{-1} E_i \right)^k \right)$$

$$M_4 = \sum_{i=1}^n \left[J_i J_i^T \left(\sum_{k=1}^{\infty} (-1)^{k+1} \left(\left(JJ^T + \lambda^2 \mathbf{I}_m \right)^{-1} E_i \right)^k \right) \times \left(JJ^T + \lambda^2 \mathbf{I}_m \right)^{-1} \Lambda e_i \right]$$

با در نظر گرفتن تابع $W = \frac{1}{2} e_\sigma^T e_\sigma$ بعنوان تابع لیاپانوف کاندید،

مشتق آن در راستای پاسخهای سیستم (۳۸) بصورت زیر خواهد بود

(۴۹)

$$\dot{W} = -e_\sigma^T M_1 \Lambda e_\sigma - e_\sigma^T M_1 \dot{\sigma}_d - e_\sigma^T M_2 + e_\sigma^T M_3 \left(JJ^T + \lambda^2 \mathbf{I}_m \right)^{-1} \dot{\sigma}_d + e_\sigma^T M_3 \left(JJ^T + \lambda^2 \mathbf{I}_m \right)^{-1} \Lambda e_\sigma + e_\sigma^T M_4 + e_\sigma^T \dot{\sigma}_d$$

فرض می کنیم که در حین تکامل شبکه، ماتریس ژاکوبین، تمام

رتبه باقی می ماند، لذا $\|M_1\| \geq \bar{\sigma}_m^2 / (\bar{\sigma}_m^2 + \lambda^2)$. همچنین داریم

$$\|M_4\| \leq b^2 \varepsilon K \|e\| / (\lambda^2 (1-\varepsilon)) \quad , \quad \|M_2\| \leq b^2 K \|e\| / \lambda^2$$

$$\text{لذا برای } \dot{W}, \text{ می توان نوشت} \quad \|M_3\| \leq b^2 \varepsilon / (1-\varepsilon)$$

(۴۰)

$$\dot{W} \leq - \underbrace{\left(\frac{\bar{\sigma}_m^2 K}{\bar{\sigma}_m^2 + \lambda^2} - \frac{b^2 \varepsilon K}{\lambda^2 (1-\varepsilon)} \right)}_{c_1} \|e_\sigma\|^2 + \underbrace{\|e_\sigma\| \left(\underbrace{\left(\frac{b^2 K}{\lambda^2} + \frac{b^2 \varepsilon K}{\lambda^2 (1-\varepsilon)} \right)}_{c_2} \|e\| + \underbrace{\left(\frac{b^2 \varepsilon}{\lambda^2 (1-\varepsilon)} - \frac{\bar{\sigma}_m^2}{\bar{\sigma}_m^2 + \lambda^2} + 1 \right)}_{c_3} \|\dot{\sigma}_d\| \right)}_{c_4}$$

از (۲۷) داریم $\|e\| \leq c'_e b \|\dot{x}\|$. همچنین فرض شده است که

$$\|E_i\| \leq ac_e \|\dot{x}\| \quad . \quad \text{لذا باید داشته باشیم} \quad \|E_i\| \leq \varepsilon \lambda^2$$

$$\|\dot{x}\| \leq \varepsilon \lambda^2 / (ac_e) \quad (41)$$

در اینصورت $\|e\| \leq c'_e b \varepsilon \lambda^2 / (ac_e)$ خواهد بود. همچنین برای

اینکه ضرب $c_1 > 0$ باشد، باید داشته باشیم

$$\frac{\bar{\sigma}_m^2 K}{\bar{\sigma}_m^2 + \lambda^2} > \frac{b^2 \varepsilon K}{\lambda^2 (1-\varepsilon)} \quad (42)$$

در اینصورت از (۴۰) خواهیم داشت

$$\dot{W} \leq -c_1 \|e_\sigma\|^2 + \|e_\sigma\| \left(c_2 \frac{c'_e b \varepsilon \lambda^2}{ac_e} + c_3 \|\dot{\sigma}_d\| \right) \quad (43)$$

همچنین فرض می کنیم که $\|\dot{\sigma}_d\| \leq \delta$ باشد. در نتیجه داریم

$$\dot{W} \leq -c_1 \|e_\sigma\|^2 + \underbrace{\left(c_2 \frac{c'_e b \varepsilon \lambda^2}{ac_e} + c_3 \delta \right)}_{c_4} \|e_\sigma\| \quad (44)$$

در اینصورت خطای تعقیب e_σ کراندار خواهد بود، طوریکه اگر

شرط اولیه خطای تعقیب e_σ صفر باشد آنگاه بازی $\dot{\sigma}_d < \theta < 0$

خواهیم داشت

$$\|e_\sigma\| \leq c_4 / (\theta c_1) \quad (45)$$

شده است، یا بعبارتی این بردار ویژه، بیشترین اطلاعات را درباره مجموعه داده A بدست می دهد. ماتریس $A^T A$ بصورت زیر است

$$A^T A = n \begin{bmatrix} \sigma_1^2 & \sigma_{12} \\ \sigma_{12} & \sigma_2^2 \end{bmatrix} \quad (55)$$

معادله مشخصه ماتریس فوق بصورت

$$\lambda^2 - n(\sigma_1^2 + \sigma_2^2)\lambda + n^2\sigma_1^2\sigma_2^2 - n^2(\sigma_{12})^2 = 0$$

که اگر $\sigma_{12} = \pm\sqrt{\sigma_1^2\sigma_2^2}$ باشد، در اینصورت، مقادیر ویژه ماتریس $A^T A$ ، بصورت $\lambda_1 = 0, \lambda_2 = n(\sigma_1^2 + \sigma_2^2)$ است. ملاحظه می شود متناظر با $\sigma_{12} = \sqrt{\sigma_1^2\sigma_2^2}$ است، وقتی $\sigma_{12} = n(\sigma_1^2 + \sigma_2^2)$ است، عبارت است از $\lambda^2 - n(\sigma_1^2 + \sigma_2^2)x^2 - \mu_2 = \sqrt{\sigma_2^2/\sigma_1^2}(x^1 - \mu_1)$ کشیده شده است (در فضای دو بعدی (x^1, x^2)). در اینصورت تمام داده ماتریس A ، در راستای خط اینصورت تمام داده ماتریس A ، در راستای خط $x^2 - \mu_2 = -\sqrt{\sigma_2^2/\sigma_1^2}(x^1 - \mu_1)$ کشیده شده است (در فضای دو بعدی (x^1, x^2)). در اینصورت مقدار α در (۵۳) عبارت است از $\alpha = \sqrt{\sigma_2^2/\sigma_1^2}\alpha$. بردار ویژه متناظر با $\lambda_2 = n(\sigma_1^2 + \sigma_2^2)$ ، وقتی $\sigma_{12} = -\sqrt{\sigma_1^2\sigma_2^2}$ است، عبارت است از

اینصورت تمام داده ماتریس A ، در راستای خط $x^2 - \mu_2 = -\sqrt{\sigma_2^2/\sigma_1^2}(x^1 - \mu_1)$ کشیده شده است (در فضای دو بعدی (x^1, x^2)). در اینصورت مقدار α در (۵۳) عبارت است از $\alpha = -\sqrt{\sigma_2^2/\sigma_1^2}\alpha$. تعبیر هندسی آن بدینصورت است که اگر در فضای دو بعدی (x^1, x^2) ، مبدأ مختصات را نقطه (μ_1, μ_2) در نظر بگیریم، وقتی $\sigma_{12} > 0$ باشد، عاملهای شبکه بیشتر در ربع اول و سوم توزیع خواهند شد و وقتی $\sigma_{12} < 0$ باشد، بیشتر عاملها در ربع دوم و چهارم توزیع خواهند شد. در واقع σ_{12} ، راستای کشیدگی آرایش و میزان توزیع شدگی عاملها در این راستا را مشخص می کند. همچنین برای تعیین محدوده مجاز قابل تحقق برای σ_{12} ، بصورت زیر اقدام می کنیم.

$$\text{با فرض بردار } v_1 = [x_1^1 - \mu_1 \quad \dots \quad x_n^1 - \mu_1]^T, \quad v_2 = [x_1^2 - \mu_2 \quad \dots \quad x_n^2 - \mu_2]^T, \quad \|v_1\|^2 = n\sigma_1^2, \quad \|v_2\|^2 = n\sigma_2^2, \quad \text{داریم } v_1 \cdot v_2 = \|v_1\| \|v_2\| \cos \angle(v_1, v_2) = n\sigma_{12}. \quad \text{لذا محدوده مجاز قابل تحقیق برای } \sigma_{12} \text{ بصورت زیر است}$$

$$-\sqrt{\sigma_1^2\sigma_2^2} \leq \sigma_{12} \leq \sqrt{\sigma_1^2\sigma_2^2} \quad (56)$$

لذا در اولین قدم در تحقیق چنین رفتار جمعی، باید بتوانیم آرایش موردنظر را توسط پارامترهای آماری درست مدلسازی کنیم. متناظر با یک آرایش مطلوب، انتخاب مقادیر مطلوب μ_1, μ_2 به آسانی انجام می شود؛ پارامترهای مطلوب برای μ_1, μ_2 ، همان مراکز نقل آرایش موردنظر است. اما انتخاب پارامترهای $\sigma_1^2, \sigma_2^2, \sigma_{12}$ خیلی روشن نیست. درست است که پارامترهای σ_1^2, σ_2^2 مستقل هستند، اما σ_{12} وابسته به

$$JJ^T = \begin{bmatrix} \frac{1}{n} & 0 & 0 & 0 & 0 \\ 0 & \frac{1}{n} & 0 & 0 & 0 \\ 0 & 0 & \frac{4(n-1)^2}{n^3}\sigma_1^2 & 0 & \frac{2(n-1)^2}{n^3}\sigma_{12} \\ 0 & 0 & 0 & \frac{4(n-1)^2}{n^3}\sigma_2^2 & \frac{2(n-1)^2}{n^3}\sigma_{12} \\ 0 & 0 & \frac{2(n-1)^2}{n^3}\sigma_{12} & \frac{2(n-1)^2}{n^3}\sigma_{12} & \frac{(n-1)^2}{n^3}(\sigma_1^2 + \sigma_2^2) \end{bmatrix}$$

ملاحظه می شود که هر عامل با تخمین $f(x)$ می تواند ماتریس JJ^T را نیز محاسبه کند. لذا، برای این رفتار جمعی خاص، فقط نیاز به اجرای ۵ پروتکل اجماع میانگین دینامیکی می باشد که در مورد شبکه های بزرگ با تعداد زیادی ریاضیات، استفاده از آن کاملا از لحاظ مقیاس پذیر بودن جریان اطلاعات در شبکه نسبت به اندازه شبکه، توجیه پذیر و بصرفة است.

اگر تخمین عامل λ از متغیرهای جمعی $\mu_1, \mu_2, \sigma_1^2, \sigma_2^2, \sigma_{12}$ برتریب بصورت $\mu_1^i, \mu_2^i, \sigma_1^{2,i}, \sigma_2^{2,i}$ باشد، ورودیهای آن به پروتکلهای اجماع میانگین متناظر، بصورت زیر خواهد بود

$$\left\{ x_i^1, x_i^2, (x_i^1 - \mu_1^i)^2, (x_i^2 - \mu_2^i)^2, (x_i^1 - \mu_1^i)(x_i^2 - \mu_2^i) \right\} \quad (52)$$

در ادامه سینگولاریتهای کینماتیکی ماتریس ژاکوبین آرایش مورد نظر را بررسی می کنیم. با توجه به شکل ماتریس J در (۵۰)، ماتریس ژاکوبین J ، فقط وقتی رتبه از دست می دهد که شرط زیر بازی ایک برقرار باشد

$$x_i^2 - \mu_2 = \alpha(x_i^1 - \mu_1), \quad i=1, \dots, n \quad (53)$$

در اینصورت $\alpha = \sqrt{\sigma_2^2/\sigma_1^2}$ است. تعبیر هندسی شرط فوق بدینصورت است که همه عاملهای شبکه بر روی یک خط مستقیم قرار داشته باشند. بنابراین وقتی عاملهای شبکه بر روی یک خط مستقیم قرار گیرند، ماتریس ژاکوبین سینگولار می شود و یک رتبه از دست می دهد.

در ادامه نحوه انتخاب مقادیر مطلوب برای پارامترهای $\mu_1, \mu_2, \sigma_1^2, \sigma_2^2, \sigma_{12}$ بمنظور تحقیق یک آرایش مطلوب ارائه می شود. ماتریس $A_{m \times 2}$ را بصورت زیر تعریف می کنیم

$$A = \begin{bmatrix} x_1^1 - \mu_1 & x_1^2 - \mu_2 \\ \vdots & \vdots \\ x_n^1 - \mu_1 & x_n^2 - \mu_2 \end{bmatrix} \quad (54)$$

که ستونهای آن، موقعیتهای نسبی عاملها نسبت به مرکز ثقل گروه می باشد. بردارهای ویژه متعدد ماتریس $A^T A$ ، بردارهای اصلی مجموعه داده A نامیده می شوند. بردار ویژه متناظر با بزرگترین مقدار ویژه ماتریس A ، برداری است که بیشترین داده در امتداد آن کشیده

باعث ایجاد اعوجاج و انحراف در مشخصه های عملکردی و سرعت همگرایی آنها خواهد شد. بررسی چگونگی و میزان تغییر این مشخصه های عملکردی در حین غیرمتمرکر سازی، مجال دیگری را می طلبد. اما، بصورت کیفی می توان ادعا نمود که اگر ثابت زمانی پروتکلهای اجماع خیلی کوچکتر از ثابت زمانی کنترل کننده های متمرکر باشد (کوچکتر از یک دهم)، قطعاً مشخصه های عملکردی و کارائی کنترل کننده های متمرکر تا حد قابل قبول در نوع غیرمتمرکر آنها، بازیافت می شود. بعنوان نمونه، نتایج شبیه سازی مثال قیلی با کنترل کننده های متمرکر، با دقت بسیار خوبی بر نتایج شبیه سازی نشان داده شده در شکلهای ۱ الی ۴ منطبق شده است. لذا اگر پروتکلهای اجماع در قیاس با سرعت مطلوب انجام رفتار جمعی، بتواند تخمینهای درست و موقع از متغیرهای جمعی مورد نظر را در اختیار عاملهای شبکه قرار دهد، کارائی کنترل کننده های متمرکر، در حین اجرای کنترل کننده های غیرمتمرکر، حفظ خواهد شد. با این جداسازی و لحاظ کیفیت تعقیب پروتکلهای اجماع (که وابسته به شرایط همبندی شبکه و محدودیت پهنهای باند لینکهای شبکه است [۱۹]) می توان به بهینه سازی کارائی انجام رفتار جمعی در حالت متمرکر آن پرداخت.

روش ارائه شده، بعنوان گونه ای از روش معکوس ژاکوبین، در قیاس با روش های دیگر، که عمدها بصورت گرادیانی می باشند، وارث مزایای اساسی روش معکوس ژاکوبین است که در مقدمه به آنها اشاره شده است.

۹- نتیجه گیری

در این مقاله، کلاس خاصی از رفتارهای جمعی در شبکه های چند عاملی در نظر گرفته شده است. بر اساس پروتکلهای اجماع میانگین دینامیکی و روش معکوس ژاکوبین، دو الگوریتم زمان-گسته و زمان-پیوسته برای طرح ریزی غیرمتمرکر مسیر برای عاملهای شبکه بمنظور تحقق مسیرهای مطلوب در فضای رفتار جمعی ارائه و تحلیل شده است. روش ارائه شده بر روی هر گراف تعاملی، توزیع شده می باشد و فقط در ابتدای مانور جمعی، پارامترهای مسیر مطلوب رفتار جمعی باید در اختیار تمام عاملهای شبکه قرار گیرد.

است. مقادیر مطلوب برای σ_1^2, σ_2^2 همان واریانسهاي آرایش مورد نظر می باشند. بعد از انتخاب مقادیر مطلوب برای σ_1^2, σ_2^2 ، بر اساس بحثی که در مورد ماتریس داده A در (۵۴) داشتیم، باید تعیین کنیم که بیشترین عاملهای شبکه در آرایش مورد نظر، در چه راستائی کشیده خواهند شد. بر این اساس و با توجه به قید (۵۶)، مقدار مطلوب برای σ_{12} تعیین می شود.

نتایج شبیه سازی کنترل کننده توزیع شده (۲۱) برای تحقق آرایش مطلوب برای یک گروه ۵۰ تائی از ریشهای سیار در فضای دو بعدی، در شکلهای ۱ الی ۴ نشان داده شده است. پروتکل اجماع میانگین دینامیکی مورد استفاده، نمونه پروتکل طراحی شده در [۱۹] و بصورت زیر می باشد.

$$\begin{cases} \dot{\mathbf{x}}_{ci}(t) = \mathbf{A}_c \sum_{j \in \mathcal{N}_i(\mathcal{G})} (\mathbf{x}_{ci}(t) - \mathbf{x}_{cj}(t)) + \mathbf{B}_c \sum_{j \in \mathcal{N}_i(\mathcal{G})} (w_i(t) - w_j(t)) \\ \quad + \mathbf{B}_c \sum_{j \in \mathcal{N}_i(\mathcal{G})} (u_{ie}(t) - u_{je}(t)) \\ \dot{w}_i(t) = -\mathbf{C}_c \sum_{j \in \mathcal{N}_i(\mathcal{G})} (\mathbf{x}_{ci}(t) - \mathbf{x}_{cj}(t)) - d_c \sum_{j \in \mathcal{N}_i(\mathcal{G})} (w_i(t) - w_j(t)) \\ \quad - d_c \sum_{j \in \mathcal{N}_i(\mathcal{G})} (u_{ie}(t) - u_{je}(t)) - \beta w_i(t) \\ y_i(t) = w_i(t) + u_{ie}(t), \quad i=1,\dots,n \end{cases}$$

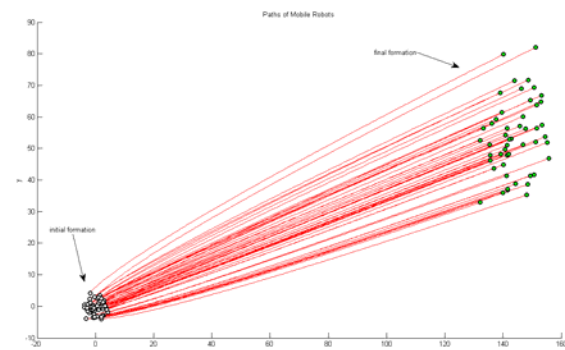
که در آن، u_{ie} سیگنال ورودی مختص عامل نام، $w_i \in \mathbb{R}$, $\mathbf{x}_{ci} \in \mathbb{R}^2$ حالتهای درونی عامل نام، y_i خروجی مختص عامل نام، \mathcal{G} گراف ارتباطی غیرجهت دار همبند، $\beta = 3.8$ ، و $\mathbf{A}_c = \begin{bmatrix} 0 & 1 \\ 0 & 0 \end{bmatrix}$, $\mathbf{B}_c = \begin{bmatrix} 0 \\ 161.57 \end{bmatrix}$, $\mathbf{C}_c = [196.22 \quad 14.83]$, $d_c = 78.94$

است. سیگنالهای خروجی پروتکل فوق، یعنی y_i ها، میانگین سیگنالهای ورودی، یعنی $\frac{1}{n} \sum_{i=1}^n u_{ie}$ را تعقیب می کنند. در شبیه سازی، گراف تعامل بین عاملهای، بصورت یک گراف تصادفی همبند انتخاب شده است. شرایط اولیه پروتکلها نیز بصورت تصادفی انتخاب شده اند.

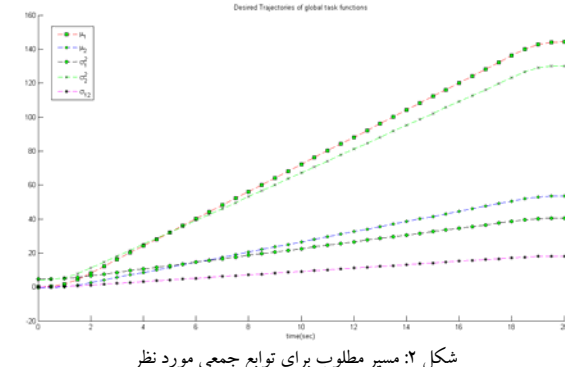
۸- مقایسه با روش های موجود

با توجه به اینکه کنترل توزیع شده ارائه شده در این مقاله، برای اولین بار از تلفیق روش معکوس ژاکوبین با پروتکلهای اجماع استفاده می کند، بهترین حالت برای مقایسه، قطعاً مقایسه با کنترل کننده های متمرکر بر اساس روش معکوس ژاکوبین می باشد. در واقع نوآوری اساسی ارائه شده در این مقاله، ارائه راهکاری در راستای غیرمتمرکر سازی کنترل کننده های متمرکر فوق، با درنظر گرفتن مشکلات اساسی روش معکوس ژاکوبین می باشد. قطعاً استفاده از پروتکلهای اجماع برای غیرمتمرکر سازی کنترل کننده های متمرکر،

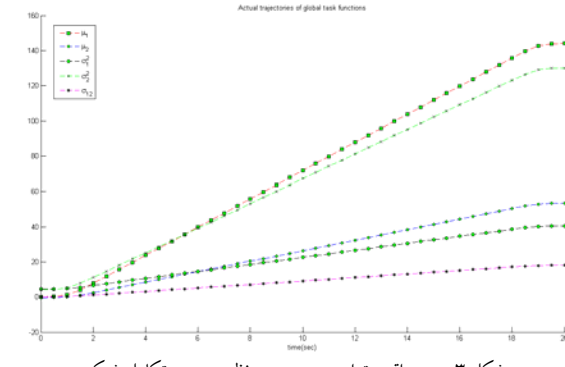
- [2] R. Sepulchre, D. Paley, and N. Leonard, "Stabilization of planar collective motion with limited communication", *IEEE Transaction on Automatic Control*, 2008.
- [3] Derek A. Paley, Naomi E. Leonard, Rodolphe Sepulchre, and Daniel Grunbaum, "Oscillator models and collective motion: spatial patterns in the dynamics of engineered and biological networks", *CSM spatial issue on complex networked control systems*, Dec. 2005.
- [4] Peng Yang, Randy A. Freeman, Kevin M. Lynch, "Multi-agent coordination by decentralized estimation and control", *IEEE Transaction on Automatic Control*, 2009.
- [5] Petter Ogren, Edward Fiorelli, and Naomi Ehrich Leonard, "Cooperative control of mobile sensor networks: adaptive gradient climbing in a distributed environment", *IEEE Transaction on Automatic Control*, vol. 49, no. 8, pp. 1292-1302, Aug. 2004.
- [6] C. Belta and V. Kumar, "Abstraction and control for groups of robots," *IEEE Transactions on Robotics*, vol. 20, no. 5, pp. 865-875, Oct. 2004.
- [7] R. Olfati Saber, "Distributed tracking for mobile sensor networks with information-driven mobility", *ACC* 2007.
- [8] J. A. Fax and R. M. Murray, "Information flow and cooperative control of vehicle formations," *IEEE Transactions on Automatic Control*, vol. 49, no. 9, pp. 1465-1476, Sep 2004.
- [9] R. Olfati Saber, "Flocking for multi-agent dynamic systems: algorithms and theory", *Technical report CIT-CDS 2004-005*, Caltech.
- [10] A. Jadbabaie, J. Lin, and A. S. Morse, "Coordination of groups of mobile autonomous agents using nearest neighbor rules," *IEEE Transactions on Automatic Control*, vol. 48, no. 6, pp. 988-1001, Jun 2003.
- [11] J. Cortes, S. Martinez, and F. Bullo, "Analysis and design tools for distributed motion coordination," *ACC 2005*, pp. 1680-1685.
- [12] J. Lin, A. S. Morse, and B. D. O. Anderson, "The multi-agent rendezvous problem," *CDC 2003*, pp. 1508-1513.
- [13] J. Cortes, S. Martinez, T. Karatas, and F. Bullo, "Coverage control for mobile sensing networks," *IEEE Transactions on Robotics and Automation*, vol. 20, no. 2, pp. 243-255, 2004.
- [14] S. Susca, S. Martinez, and F. Bullo, "Monitoring environmental boundaries with a robotic sensor network," *ACC 2006*.
- [15] R. Olfati-Saber and R. Murray, "Consensus problems in networks of agents with switching topology and time-delays," *IEEE Transactions on Automatic Control*, vol. 49, no. 9, pp. 1520-1533, Sep 2004.
- [16] D. P. Spanos, R. Olfati-Saber, and R. M. Murray, "Dynamic consensus on mobile networks," *IFAC 2005*.
- [17] R. Olfati Saber, "Distributed kalman filtering and sensor fusion in sensor networks," *Technical Report, Dartmouth College, Thayer School of Engineering*, 2006
- [18] Bradley E. Bishop, "On the use of redundant manipulator techniques for control of platoon of cooperating robotic vehicles", *IEEE Transactions*



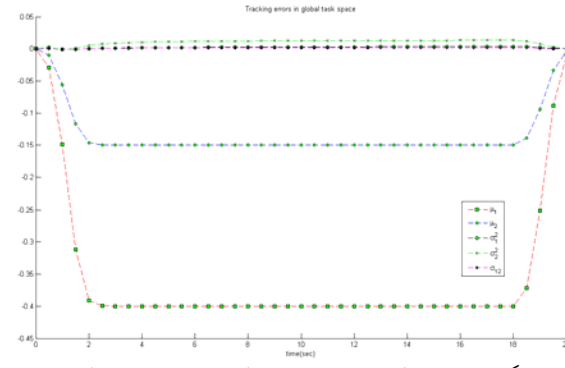
شکل ۱: مسیر رباتها در حین تکامل شبکه و آرایش اولیه و نهایی



شکل ۲: مسیر مطلوب برای تابع جمعی مورد نظر



شکل ۳: مسیر واقعی تابع جمعی مورد نظر در حین تکامل شبکه



شکل ۴: نمودار خطای تعقیب در فضای حالت رفتار جمعی مورد نظر در حین تکامل شبکه

مراجع

- [1] L. Scardovi and R. Sepulchre, "Collective optimization over average quantities," *IEEE CDC 2006*.

- [24] Arrichiello F., “Coordinated control of multiple mobile robots”, *PhD Thesis*, Nov 2006
- [25] D. J. Stilwell, B. E. Bishop, and Caleb A. Sylvester, “Redundant manipulator techniques for partially decentralized path planning and control of a platoon of autonomous vehicles”, *IEEE Trans. Syst., Man, Cyber- Part B*, Vol. 35, No. 4, 2005.
- [26] B. E. Bishop, “On the use of redundant manipulator techniques for control of platoon of cooperating robotic vehicles”, *IEEE Trans. Syst., Man, Cyber- Part A*, Vol. 33, No. 5, 2003.
- [27] Nasser Sadati and Ehsan Elhamifar, “Semi-decentralized control of multi-agent systems based on redundant manipulator optimization methods”, *IEEE, AMC'06-Istanbul, Turkey*, 2006
- [19] Nosrati sh., Shafiee M., M.B. Menhaj, “Synthesis and analysis of robust dynamic linear protocols for dynamic average consensus estimators”, *IET Control Theory & Applications*, Vol. 3 – Issue 11, pp. 1499-1516, 2009.
- [20] B. Siciliano, “Kinematic control of redundant robot manipulators: a tutorial,” *J. Intell. Robot. Syst.*, vol. 3, pp. 201–212, 1990.
- [21] C. A. Klein and C.-H. Huang, “Review of pseudoinverse control for use with kinematically redundant manipulators,” *IEEE Trans. Syst., Man, Cybern.*, vol. SMC-13, no. 3, pp. 245–250, 1983.
- [22] B. E. Bishop and D. J. Stilwell, “On the application of redundant manipulator techniques to the control of platoons of autonomous vehicles,” *IEEE CCA 2001*, pp. 823–828.
- [23] D. J. Stilwell and B. E. Bishop, “Redundant manipulator techniques for path planning and control of a platoon of autonomous vehicles,” *IEEE CDC 2002*, pp. 2093–2098.



طراحی رؤیت‌گر نمایی برای سیستم‌های غیرخطی بر اساس معادله ریکاتی (SDRE) وابسته به حالت

حسین بیکزاده، حمید رضا تقی‌راد

گروه رباتیک ارس، دانشکده مهندسی برق و کامپیوتر، دانشگاه صنعتی خواجه نصیرالدین طوسی، taghirad@kntu.ac.ir

(تاریخ دریافت مقاله ۱۳۸۹/۱۱/۱۰، تاریخ پذیرش مقاله ۱۳۸۹/۱۲/۱۷)

چکیده: در این مقاله روشی نوینی برای طراحی رؤیت‌گر برای سیستم‌های غیرخطی بر اساس معادله ریکاتی وابسته به حالت (SDRE) ارائه شده است. علیرغم اینکه استفاده از رؤیت‌گر SDRE در مسائل کاربردی توسعه قابل توجهی پیدا نموده است، توسعه تئوری این نوع رؤیت‌گرها کمتر طرف توجه قرار گرفته و مسائلی از قبیل تحلیل پایداری و همگرایی آنان مغفول مانده است. در این مقاله پایداری رؤیت‌گر SDRE بر اساس تئوری لیاپانوف مورد تحلیل قرار گرفته و شرایط لازم برای پایداری نمایی دینامیک خطی رؤیت‌گر تعیین می‌شود. همچنین با شیوه سازی یک سیستم غیرخطی مرتبه دو که شرایط تضمین پایداری را اوضاع می‌نماید، عملکرد مطلوب آن به تصویر کشیده می‌شود. در پایان با ارائه شیوه سازیهای انجام شده بر روی یک موتور القایی که دارای دینامیک غیرخطی قابل توجهی می‌باشد، عملکرد رؤیت‌گر پیشنهادی مورد بررسی قرار خواهد گرفت.

کلمات کلیدی: رؤیت‌گر غیرخطی، نمایش SDC، تحلیل پایداری، پایداری نمایی، شرایط لیپ شیتز، موتور القایی.

Exponential Nonlinear Observer Design Based on Differential State-Dependent Riccati Equation

Hossein Beikzadeh, Hamid Reza Taghirad

Abstract: This paper presents a new technique for nonlinear continuous-time observer design based on the differential state-dependent Riccati equation (SDRE) filter, with guaranteed exponential stability. Although impressive results have rapidly emerged from the use of SDRE designs for observers and filters, the underlying theory is yet scant and there remain many unanswered questions such as stability and convergence. In this paper, Lyapunov stability analysis is used to obtain the required conditions for exponential stability of the estimation error dynamics. Furthermore, through a simulation study of a second order nonlinear model, which satisfies the stability conditions, the promising performance of the proposed observer is demonstrated. Finally, in order to examine the effectiveness of the proposed method, it is applied to highly nonlinear flux and angular velocity estimation problem for induction machines. The simulation results verify how effectively the modification proposed in this paper can increase the region of attraction and the observer error decay rate.

Keywords: SDRE technique, SDC representation, nonlinear observer, stability analysis, Lipschitz conditions, PM synchronous motor.

در این مقاله، با ایجاد یک تغییر در ساختار رؤیت گر SDDRE زمان پیوسته، یک رؤیت گر غیرخطی حاصل می‌شود که خطای تخمن آن به صورت نمایی به سمت صفر میل خواهد کرد. به کمک تحلیل پایداری لیپانوف، مجموعه‌ای از شرایط کافی که پایداری نمایی رؤیت گر پیشنهادی را تضمین می‌کنند، بدست می‌آیند. این شرایط مستلزم هیچ-گونه تکنیک خاص نمایش SDC یا فرض سادگی ماتریس‌های وابسته به حالت، نظر آنچه در [۱۲] تحمیل شده، نبوده و آسان‌تر از شرایط مبتنی بر شبیه‌سازی بدست آمده در [۸] و [۱۴]، تحقق می‌یابند. به علاوه، با استفاده از نتایج جالب توجه‌ای که در [۱۳] ارائه شده است، یک تعریف جدید از پارامتریزه کردن SDC آشکارپذیر معرفی شده، و ارتقابی نزدیک میان آشکارپذیری یکنواخت سیستم غیرخطی وجود پاسخ‌های کراندار و مثبت معین برای معادله ریکاتی دیفرانسیلی وابسته به حالت (SDDRE) برقرار شده است. بدین ترتیب، شکل جدیدی از رؤیت گرهای غیرخطی با پایداری نمایی تضمین شده عرضه می‌گردد، که ویژگی‌های ممتاز رؤیت گرهای SDRE را نیز به ارث برده و افزون بر آن، نشان داده شده است که تحت شرایط خاصی، تغییر ایجاد شده در ساختار رؤیت گر این امکان را فراهم می‌سازد که درجه پایداری رؤیت گر و ثابت زمانی دینامیک خطای تخمن می‌تواند از قبل تخصیص داده شود. شبیه‌سازی‌ها عملکرد برتر و افزایش حوزه جذب رؤیت گر پیشنهادی نسبت به رؤیت گرهای SDRE مرسوم را آشکار می‌سازند.

این مقاله به صورت زیر مرتب شده است. در ادامه و در بخش دوم مقدمات ریاضی لازم به منظور تعریف رؤیت گر ارائه شده است. در بخش سوم با انتخاب یک تابع لیپانوف مناسب نشان می‌دهیم که رؤیت گر پیشنهادی تحت شرایط معینی، یک رؤیت گر نمایی خواهد بود. همچنین، نقش آشکارپذیری یکنواخت در این زمینه مطرح می‌شود. در ادامه با شبیه‌سازی یک مدل غیرخطی مرتبه دوم، که شرایط پایداری را حفظ می‌کند، عملکرد نویدبخش رؤیت گر پیشنهادی به نمایش گذاشته شده است. گذشته از این، به منظور آزمودن سودمندی عملی تکنیک پیشنهادی، از آن برای حل مساله تخمن سرعت زاویه‌ای و شار یک موتور القایی استفاده کرده‌ایم. نتایج شبیه‌سازی نشان می‌دهند که این تکنیک می‌تواند باعث افزایش حوزه جذب و همین‌طور بالا بردن نرخ کاهش خطای تخمن در مقایسه با تکنیک‌های SDRE مرسوم گردد. نتایج بدست آمده در بخش پایانی جمع‌بندی شده است.

۲- معرفی رؤیت گر پیشنهادی

نمایش کلی سیستم‌های غیرخطی افاین را در نظر بگیرید.

$$\begin{aligned} \dot{x} &= A(x)x + B(x)u \\ y &= C(x)x \end{aligned} \quad (1)$$

که در آن حالت $x \in R^n$ غیرخطی، ورودی کنترل $u \in R^m$ و همچنین $y \in R^p$ ، $x(0) \in R^n$ و $u(0) = 0$ می‌باشد. برای سادگی

۱- مقدمه

برخلاف تئوری طراحی رؤیت گر برای سیستم‌های خطی، تئوری رؤیت گر ایک سیستم غیرخطی از ساختاری یکپارچه برشوردار نیست. در واقع، روش‌های طراحی متعددی برای کلاس‌های مختلف سیستم‌های غیرخطی موجود است، که بیشتر آنها گستره کاربرد ویژه خود را دارند. برخی از روش‌های شناخته شده طراحی رؤیت گر غیرخطی عبارتند از: خطی‌سازی فیدبک [۱]، تکنیک‌های ساختار متغیر [۲]، رؤیت گر مد لغزشی [۳]، روش‌های طراحی بر پایه تئوری لیپانوف [۴]، رؤیت گرگاهی بهره بala [۵]، فیلتر کالمون توسعه یافته [۶] و تکنیک‌های طراحی براساس معادله ریکاتی وابسته به حالت [۷]. یکی از روش‌های نوین تخمن حالت سیستم‌های غیرخطی، روش‌های فیلتر کردن براساس حل معادله ریکاتی وابسته به حالت (SDRE) می‌باشد. برخلاف روش EKF، فیلتر SDRE محاسبات ژاکوبین را شامل نمی‌شود، بلکه مستلزم پارامتریزه کردن مستقیم دینامیک غیرخطی است. به طور خلاصه، این روش غیرخطی‌گری‌های سیستم را به طور کامل در طراحی وارد کرده و سیستم غیرخطی را به کمک پارامتریزه کردن در یک ساختار خطی با ضرایب وابسته به حالت قرار می‌دهد.

به طور کلی، دو رهیافت متعارف برای تکنیک فیلتر کردن SDRE وجود دارد. رهیافت نخست که اولین بار توسط Mracek و همکارانش در [۸] پیشنهاد شده است، در اصل با در نظر گرفتن مسالة دوگان روش شناخته شده کنترل غیرخطی SDRE [۹] بنا شده است. فیلتر حاصل دارای ساختاری مشابه فیلتر کالمون خطی حالت ماندگار است که بهره کالمون آن با حل یک معادله ریکاتی جبری وابسته به حالت بدست می‌آید. به همین دلیل در مراجعي همچون [۱۰] از این فیلتر با نام رؤیت گر SDARE یاد شده است. رهیافت دوم ساختاری مشابه فیلتر کالمون خطی دارد [۱۱]. ایده اصلی این روش حذف فرض بعد زمان محدود و حل یک معادله ریکاتی دیفرانسیلی وابسته به حالت به جای معادله ریکاتی جبری است. در [۱۲]، با در نظر گرفتن شرایط رؤیت یزدیری و شرط لیپشیت معینی روی نمایش SDC و با تکنیک هریک از ماتریس‌های و یک المان افزایشی وابسته به حالت، همگرایی محلی رؤیت گر SDARE زمان-پیوسته تحلیل شده است. اما نتایج بدست آمده در این مرجع ذاتاً محلی بوده و مستلزم فرضیات سادگی و کراندار بودن خاصی روی المان‌های افزایشی مزبور در یک همسایگی مبدأ می‌باشد که برآورده شدن آنها برای بسیاری از سیستم‌های عملی امکان‌پذیر نیست. البته این مجموعه شرایط به طور کامل وابسته به نتایج شبیه‌سازی بوده و در ضمن محدود به سیستم‌های بدون ورودی می‌باشند. به این ترتیب ملاحظه می‌شود که تاکنون پیشرفت‌های تئوری ناچیزی درباره فیلتر SDRE صورت گرفته و پرسش‌های بدون پاسخ بسیاری همچنان بر جای مانده است. این مقاله به بررسی عمیق‌تر تئوری فیلتر SDRE به منظور دستیابی به پاسخ‌هایی مناسب برای پرسش‌های موجود می‌پردازد.

$$\dot{e}(t) = [A(\hat{x}(t)) - K(t)C(\hat{x}(t))]e(t) + \varphi(x(t), \hat{x}(t), u(t)) - K(t)\chi(x(t), \hat{x}(t)) \quad (9)$$

که در آن

$$\varphi(x, \hat{x}, u) = [A(x(t)) - A(\hat{x}(t))]x(t) + [B(x(t)) - B(\hat{x}(t))]u(t) \quad (10)$$

$$\chi(x(t), \hat{x}(t)) = [C(x(t)) - C(\hat{x}(t))]x(t) \quad (11)$$

برای تحلیل دینامیک خطای دو تعريف زیر نیاز داریم.

تعریف ۱ - نقطه تعادل $e(t) = 0$ برای معادله (۹) پایدار نمایی

محلي است، اگر ثابت‌های $\varepsilon, \eta, \theta > 0$ وجود داشته باشند به نحوی

که

$$\|e(t)\| \leq \eta \|e(0)\| \exp(-t/\theta) \quad (12)$$

برای هر $t \geq 0$ و هر پاسخ $e(\cdot)$ از معادله (۹) که از یک حالت اولیه

$$B_\varepsilon = \{e \in R^n \mid \|e\| < \varepsilon\} \quad (13)$$

بخش ۵، صفحه ۱۴۲

تعریف ۲ - رؤیت‌گر پیشنهادی داده شده با معادلات (۳) تا (۵)

یک رؤیت‌گر نمایی است، اگر معادله دیفرانسیل (۹) یک نقطه تعادل

پایدار نمایی محلی در $e(t) = 0$ داشته باشد [۱۵].

۳- تحلیل پایداری نمایی

در این بخش، یک دسته شرایط کافی که پایداری نمایی رؤیت‌گر پیشنهادی را تضمین می‌کند، بدست می‌آید. توجه کنید که در آنچه در پیش روت نامساوی ماتریسی $\Omega \leq \Delta - \Delta \leq 0$ بدین معنی است که ماتریس $\Delta - \Omega$ منفی نیمه معین است.

قضیه ۱ - سیستم زمان-پیوسته غیرخطی (۱) که در نمایش SDC

(۲) قرار گرفته را به همراه رؤیت‌گر مبتنی بر SDRE پیشنهادی (۳) تا (۵)

مد نظر قرار دهدیم. اجازه دهد تا فرضیات زیر ارضاء شوند:

(۱) ماتریس وابسته به حالت متغیر با زمان $C(x(t))$ از بالا کراندار

باشد:

$$\|C(x(t))\| \leq \bar{c} \quad (13)$$

که $\bar{c} > 0$ یک عدد حقیقی است.

(۲) فرض کنید اعداد $\sigma, \rho > 0$ وجود دارند به گونه‌ای که برای هر

$t \geq 0$ داشته باشیم

$$\|x(t)\| \leq \sigma, \|u(t)\| \leq \rho \quad (14)$$

فرض شده است که ورودی مستقیماً بر روی خروجی اثر نمی‌گذارد. با پارامتریزه کردن مستقیم، می‌توان توابع غیرخطی $x(t)$, $u(t)$, $f(x)$, $g(x)$ و $h(x)$ را با استفاده از نمایش SDC به فرم زیر نمایش داد.

$$\begin{aligned} \dot{x} &= A(x)x + B(x)u \\ y &= C(x)x \end{aligned} \quad (15)$$

توجه کنید که ماتریسهای $B(x)$ و $C(x)$ نیز همچون $A(x)$ در (۲) منحصر به فرد نمی‌باشند. حال فرض کنید در نظر است رؤیت‌گری با ساختار زیر استخراج کنیم

$$\begin{aligned} \dot{\hat{x}}(t) &= A(\hat{x}(t))\hat{x}(t) + B(\hat{x}(t))u(t) + \\ &K(t)[y(t) - C(\hat{x}(t))\hat{x}(t)] \end{aligned} \quad (16)$$

که $\hat{x}(t)$ معرف بردار تخمین حالت بوده و بهره رؤیت‌گر، $K(t)$ ، یک ماتریس متغیر با زمان $n \times p$ -بعدی است. بهره رؤیت‌گر با معادله زیر داده می‌شود

$$K(t) = P(t)C^T(\hat{x}(t))R^{-1} \quad (17)$$

که $P(t) \in R^{n \times n}$ متقابران بوده و توسط معادله ریکاتی دیفرانسیل وابسته به حالت (SDDRE) زیر، با یک عدد حقیقی مثبت $\alpha > 0$ و ماتریس-

های مثبت معین $Q \in R^{p \times p}$ و $R \in R^{p \times n}$ محاسبه می‌شود

$$\begin{aligned} \dot{P}(t) &= (A(\hat{x}(t)) + \alpha I)P(t) + P(t)(A^T(\hat{x}(t)) + \alpha I) \\ &+ P(t)C^T(\hat{x}(t))R^{-1}C(\hat{x}(t))P(t) + Q \end{aligned} \quad (18)$$

شایان توجه است که (۱۸) به جز در ترم جمع شونده αI مشابه معادله Rیکاتی مورد استفاده برای رؤیت‌گر SDDRE معمول است.

نکته ۱: اسکالر α یک پارامتر طراحی است که به طور غیرمستقیم نرخ کاهش خطای داده در رؤیت‌گر پیشنهادی را نمایان می‌سازد. این حقیقت به همراه تابع پاسخ α در قسمت بعد توضیح داده خواهد شد.

خطای تخمین رؤیت‌گر را تعريف می‌کنیم

$$e(t) = x(t) - \hat{x}(t) \quad (19)$$

کم کردن معادله (۱۹) از معادله حالت در (۱) دینامیک خطای نتیجه می‌دهد

$$\begin{aligned} \dot{e}(t) &= A(x(t))x(t) + B(x(t))u(t) - A(\hat{x}(t))\hat{x}(t) - \\ &B(\hat{x}(t))u(t) + K(t)[y(t) - C(\hat{x}(t))\hat{x}(t)] \end{aligned} \quad (20)$$

با اضافه و کم کردن $A(\hat{x}(t))x(t)$ به کل معادله و اضافه و کم کردن $C(\hat{x}(t))x(t)$ به داخل برآخت داریم

$$\begin{aligned} \dot{e}(t) &= A(\hat{x}(t))x(t) - A(\hat{x}(t))\hat{x}(t) + A(x(t))x(t) - \\ &A(\hat{x}(t))x(t) + [B(x(t)) - B(\hat{x}(t))]u(t) - \\ &K(t)[C(\hat{x}(t))x(t) - C(\hat{x}(t))\hat{x}(t) + C(x(t))x(t) - \\ &- C(\hat{x}(t))x(t)] \end{aligned} \quad (21)$$

بنابراین، دینامیک خطای عبارت است از

جلوگیری از رؤیت‌نایدیری، می‌تواند در برآوردن نامساوی‌های (۱۶) تا (۱۸) نیز مفید واقع شود.

نکته ۴: روشن است که ثابت‌های لیپشیتز k_A , k_B و k_C به صورت تحلیلی از دینامیک سیستم استخراج می‌شوند. کران‌های r و q را نیز پس از طراحی ماتریس‌های R و Q می‌توان بدست آورد. همچنین، σ را توجه به حد اشباع عملگرهای، هرچند به صورت محافظه‌کارانه، و σ و \bar{C} به طور تحلیلی تعیین می‌شوند. کران‌های \underline{p} و \bar{p} برای ماتریس کوواریانس $P(t)$ نیز بر اساس شرایط رؤیت‌پذیری و کنترل‌پذیری سیستم قابل محاسبه هستند (بخش بعد را ببینید). به این ترتیب، مشاهده می‌شود که برقراری نامساوی (۱۹) را می‌توان از قبل تصدیق نمود.

نکته ۵: صرف نظر از جزئیات، نامساوی (۱۹) به این معنی است که α باید به اندازه کافی بزرگ انتخاب گردد. به طور شگفت‌آوری، این موضوع موقوف با هدف بهبود عملکرد است که یک ثابت زمانی کوچک‌تر را ایجاد می‌کند.

نکته ۶: می‌توان نشان داد مادامی که خطای تخمین همچنان پایدار نمایی باقی بماند، شرط نامساوی (۱۹) مرتفع می‌شود مشروط بر آن که نامساوی‌های (۱۶) تا (۱۸) با شرایط لیپشیتز محدودتری با توان دو، مثلاً $\|A(x_1) - A(x_2)\| \leq k_A \|x_1 - x_2\|^2$ ، جایگزین شوند. به آسانی می‌توان اثبات قضیه ۱ را برای این حالت اصلاح کرد

برای اثبات قضیه، لم زیر را بیان می‌کنیم.

لم ۱ - ماتریس مثبت معین و $p \times p$ -بعدی R را با فرض $R \geq \underline{r}I$ در نظر بگیرید. فرض کنید که ماتریس $K(t)$ و غیرخطی‌گری‌های $\varphi(x(t), \hat{x}(t), u(t))$ و $\chi(x(t), \hat{x}(t))$ به ترتیب با معادلات (۴)، (۱۰) و (۱۱) داده می‌شوند. آنگاه تحت فرضیات قضیه ۱، اعداد حقیقی $\varepsilon, \kappa > 0$ وجود دارند به نحوی که ماتریس $\Pi(t) = P^{-1}(t)$ برای هر $\|x - \hat{x}\| \leq \varepsilon$ ، نامساوی زیر را برآورده سازد:

$$(x - \hat{x})^T \Pi \varphi(x, \hat{x}, u) - (x - \hat{x})^T \Pi K \chi(x, \hat{x}) \leq \kappa \|x - \hat{x}\|^2 \quad (20)$$

اثبات - به کارگیری نامساوی مثالی، $\Pi P = I$ و $K = PC^T R^{-1}$ منجر می‌شود به

$$\begin{aligned} & \|(x - \hat{x})^T \Pi \varphi(x, \hat{x}, u) - (x - \hat{x})^T \Pi K \chi(x, \hat{x})\| \leq \\ & \|(x - \hat{x})^T \Pi \varphi(x, \hat{x}, u)\| + \|(x - \hat{x})^T C(\hat{x})^T R^{-1} \chi(x, \hat{x})\| \end{aligned} \quad (21)$$

با توجه به فرض لیپشیتز بودن ماتریس‌های $A(x)$ ، $B(x)$ و $C(x)$ و با استفاده از نامساوی (۱۴) داریم

$$\begin{aligned} \|\varphi(x, \hat{x}, u)\| & \leq \|A(x) - A(\hat{x})\| x + \|B(x) - B(\hat{x})\| u \\ & \leq (k_A \sigma + k_B \rho) \|x - \hat{x}\| \\ \|\chi(x, \hat{x})\| & = \|C(x) - C(\hat{x})\| x \leq k_C \sigma \|x - \hat{x}\| \end{aligned} \quad (22)$$

۳ پاسخ $(P(t))$ برای معادله ریکاتی دیفرانسیلی (۶) برای اعداد حقیقی مثبت $0 < \underline{p}, \bar{p} < 0$ به صورت زیر کاراندرا باشد

$$\underline{p}I \leq P(t) \leq \bar{p}I \quad (15)$$

۴ نمایش SDC به گونه‌ای انتخاب شود که ماتریس‌های $A(x)$ ، $B(x)$ و $C(x)$ لیپشیتز محلی باشند. به عبارت دیگر اعداد ثابت $k_A, k_B, k_C > 0$ موجود باشند به نحوی که نامساوی‌های:

$$\|A(x_1) - A(x_2)\| \leq k_A \|x_1 - x_2\| \quad (16)$$

$$\|B(x_1) - B(x_2)\| \leq k_B \|x_1 - x_2\| \quad (17)$$

$$\|C(x_1) - C(x_2)\| \leq k_C \|x_1 - x_2\| \quad (18)$$

برای $x_1, x_2 \in \mathcal{E}_A$ و به ترتیب با $\|x_1 - x_2\| \leq \varepsilon_A$ صادق باشند. آنگاه رؤیت-گر پیشنهادی یک رؤیت‌گر نمایی است، به شرطی که پارامتر طراحی α نامساوی زیر را برآورده کند

$$\alpha > \frac{\bar{c} k_C \sigma p}{r} + k_A \sigma + k_B \rho - \frac{qp}{2 \bar{p}^2} \quad (19)$$

که در آن $\underline{r} = \lambda_{\min}(R)$ و $\underline{q} = \lambda_{\min}(Q)$ می‌باشد.

اجازه دهدید قبل از اثبات قضیه نکات زیر را در خصوص شرایط پایداری فوق بیان نماییم.

نکته ۱: نامساوی‌های (۱۳) و (۱۴) شرایط سخت گیرانه‌ای نیستند. به طور مشخص، در بسیاری از کاربردها متغیرهای حالت، که اغلب نماینده کمیت‌های فیزیکی هستند، کراندار بودن و رودی کنترل نیز یک فرض بدینهی به نظر می‌رسد. بنابراین، نامساوی‌های (۱۴) به آسانی برآورده می‌شوند. وانگهی، اگر $C(x)$ را برای هر مقدار معقول از بردار حالت ارضا کند، بدون از دست دادن کلیت مساله، می‌توانیم فرض کنیم که (۱۳) نیز در حالت کلی صادق است.

نکته ۲: نامساوی (۱۵) که به نظر شرط کلیدی در تحلیل پایداری است، به طور نزدیکی به خصوصیات رؤیت‌پذیری و آشکاری‌پذیری سیستم تحت مشاهده ارتباط پیدا می‌کند. این موضوع در بخش بعد بحث شده است.

نکته ۳: فرض شرایط لیپشیتز (۱۶) تا (۱۸) بسیار مرسوم است و در [۱۲] و بسیاری دیگر از مقالات نیز در نظر گرفته شده‌اند. در نتیجه، در مقایسه با مطالعات قبلی بر روی رؤیت‌گرهای SDRE هیچ شرط محدود کننده جدیدی برای نمایش SDC انتخابی تحمیل نشده است. در ضمن، درجات آزادی اضافی که در هر تکیک مبتنی بر SDRE فراهم می‌گردد، علاوه بر به کارگیری در بهبود عملکرد، پرهیز از تکینگی یا

$$\dot{V}(e(t), t) \leq -2\alpha e^T(t)\Pi(t)e(t) + 2\kappa \|e(t)\|^2 - e^T(t)[\Pi(t)Q\Pi(t) + C^T(\hat{x}(t))R^{-1}C(\hat{x}(t))]e(t) \quad (31)$$

کوچکترین مقدار ویژه ماتریس مثبت معین Q را با \underline{q} نشان داده‌ایم. پس داریم $\underline{q}I < Q$. این نامساوی به همراه کران‌های (۱۵) برای $P(t)$ ، نامساوی زیر را به دنبال دارد

$$\dot{V}(e(t), t) \leq -2\alpha V(e(t), t) - \left(\frac{\underline{q}}{\bar{p}^2} - 2\kappa \right) \|e(t)\|^2 \quad (32)$$

با توجه به نامساوی (۲۶) می‌توان نوشت

$$-\|e(t)\|^2 \leq -\underline{p}V(e(t), t) \leq -\frac{\underline{p}}{\bar{p}}\|e(t)\|^2 \quad (33)$$

لذا، با جایگذاری (۳۲) در (۳۳) برای $\|e(t)\| \leq \varepsilon$ داشت:

$$\dot{V}(e(t), t) \leq -\left(2\alpha + \frac{\underline{q}\bar{p}}{\bar{p}^2} - 2\kappa \underline{p} \right) V(e(t), t) \quad (34)$$

بنابراین اگر $2\alpha + \frac{\underline{q}\bar{p}}{\bar{p}^2} - 2\kappa \underline{p} > 0$ باشد، آنگاه نتیجه می‌شود که

$\dot{V}(e(t), t)$ به صورت محلی منفی معین است. به این ترتیب، با بهره بردن از نتایج متداول در مورد روش مستقیم لیپانوف (به عنوان مثال [۱۴، ۳-۵] را ببینید)، استبطان می‌شود که معادله دیفرانسیل (۴) یک نقطه تعادل پایدار مجانی یکنواخت در مبدأ دارد. افزون بر این، با جداسازی متغیرها و انتگرال‌گیری خواهیم داشت

$$V(e(t), t) \leq V(e(0), 0) \exp\left(-\left[2\alpha + \frac{\underline{q}\bar{p}}{\bar{p}^2} - 2\kappa \underline{p}\right]t\right) \quad (35)$$

که به انضمام نامساوی (۲۶) منجر می‌شود به

$$\|e(t)\| \leq \sqrt{\bar{p}/\underline{p}}\|e(0)\| \exp\left(-\left[\alpha + \frac{\underline{q}\bar{p}}{2\bar{p}^2} - \kappa \underline{p}\right]t\right) \quad (36)$$

به عبارت دیگر، نامساوی (۱۳) با $\eta = \sqrt{\bar{p}/\underline{p}}$ و $\theta^{-1} = \alpha + \underline{q}\bar{p}/2\bar{p}^2 - \kappa \underline{p}$ معتبر خواهد بود. این نکته اثبات قضیه ۱ را به پایان می‌رساند.

نکته ۷: به ازای $\alpha = 0$ رؤیت‌گر SDRE دیفرانسیلی استاندارد (همان SDDRE) حاصل می‌شود که، با توجه به قضیه فوق، یک رؤیت‌گر نمایی است اگر نامساوی زیر برقرار باشد.

$$\frac{\underline{q}\bar{p}}{2\bar{p}^2} - \kappa \underline{p} > 0 \quad (37)$$

نکته ۸: بدیهی است که برآوردن (۱۹) بسیار آسان‌تر از (۳۷) است که بسیاری از پارامترهای آن در اختیار ما نیست. به این ترتیب، نه تنها یک رؤیت‌گر غیرخطی با پایداری نمایی تضمین شده پیشنهاد شده، بلکه پایداری رؤیت‌گر SDDRE زمان-پیوسته در یک قالب جدید تحلیل شده است.

با در نظر گرفتن نامساوی‌های (۲۲)، $\|\Pi\| \leq 1/\underline{p}$ و $\|C\| \leq \bar{c}$ ، $\varepsilon = \min(\varepsilon_A, \varepsilon_B, \varepsilon_C)$ با $\|x - \hat{x}\| \leq \varepsilon$ برای $\|R^{-1}\| \leq 1/\underline{r}$ داشت:

$$\begin{aligned} & \|(x - \hat{x})^T \Pi \varphi(x, \hat{x}, u) - (x - \hat{x})^T \Pi K \chi(x, \hat{x})\| \leq \\ & \|x - \hat{x}\| \frac{(k_A \sigma + k_B \rho)}{\underline{p}} \|x - \hat{x}\| + \|x - \hat{x}\| \frac{\bar{c} k_C \sigma}{\underline{r}} \|x - \hat{x}\| \end{aligned} \quad (38)$$

به این ترتیب، نامساوی (۱۹) بلافضله با

$$\kappa = \frac{(k_A \sigma + k_B \rho)}{\underline{p}} + \frac{\bar{c} k_C \sigma}{\underline{r}} \quad (39)$$

نتیجه می‌شود.

اثبات قضیه ۱ - معادله دیفرانسیل (۹) برای خطای تخمین را در نظر می‌گیریم و با در نظر گرفتن تابع لیپانوف زیر، پایداری نمایی آن را ثابت می‌کنیم

$$V(e(t), t) = e^T(t)\Pi(t)e(t) \quad (40)$$

که در آن $\Pi(t) = P^{-1}(t)$ می‌باشد. به دلیل برقراری نامساوی (۱۵) کران‌های زیر را برای تابع لیپانوف داریم

$$\frac{1}{\bar{p}}\|e(t)\|^2 \leq V(e(t), t) \leq \frac{1}{\underline{p}}\|e(t)\|^2 \quad (41)$$

این معادله بیان می‌دارد که $V(e(\cdot), \cdot)$ مثبت معین و کاهنده بوده و لذا، یک تابع کاندید لیپانوف مناسب است. مشتق زمانی تابع لیپانوف به صورت زیر است:

$$\dot{V}(e(t), t) = \dot{e}^T(t)\Pi(t)e(t) + e^T(t)\dot{\Pi}(t)e(t) + e^T(t)\Pi(t)\dot{e}(t) \quad (42)$$

با جایگذاری $\dot{e}(t)$ از معادله دیفرانسیل (۹) و بعد از اندکی مرتب‌سازی جملات، خواهیم داشت

$$\begin{aligned} \dot{V}(e(t), t) &= \dot{e}^T(t)\dot{\Pi}(t)e(t) + \\ &+ e^T(t)[A(\hat{x}(t)) - K(t)C(\hat{x}(t))]^T e(t) \\ &+ e^T(t)\Pi(t)[A(\hat{x}(t)) - K(t)C(\hat{x}(t))]e(t) \\ &+ 2e^T(t)\Pi(t)[\varphi(x(t), \hat{x}(t), u(t)) - K(t)\chi(x(t), \hat{x}(t))] \end{aligned} \quad (43)$$

با استناد به لم ۱ به همراه مدل نظر قراردادن معادله (۴) خواهیم داشت:

$$\begin{aligned} \dot{V}(e(t), t) &\leq e^T(t)[\dot{\Pi}(t) + \Pi(t)A(\hat{x}(t)) + A^T(\hat{x}(t))\Pi(t) \\ &- 2C^T(\hat{x}(t))R^{-1}C(\hat{x}(t))]e(t) + 2\kappa\|e(t)\|^2 \end{aligned} \quad (44)$$

که در آن $\varepsilon = \|e(t)\| \leq \varepsilon$ و $\kappa = \max(\varepsilon_A, \varepsilon_B, \varepsilon_C)$ است. در نظر گرفتن رابطه زیر

$$\dot{\Pi}(t) = -\Pi(t)\dot{P}(t)\Pi(t) \quad (45)$$

به همراه معادله ریکاتی دیفرانسیلی (۵) نتیجه می‌دهند

- ۱) ماتریس طراحی Q مثبت معین و ماتریس سیستم $A(x)$
 θ محدود داشته باشد، یعنی $\|A\| \leq \infty$
- ۲) نمایش SDC به گونه‌ای انتخاب شود که زوج $\{C(x), A(x) + \alpha I\}$ بر طبق تعریف ۳ آشکارپذیر یکنواخت باشد،
- ۳) شرط اولیه $P(0)$ در معادله ریکاتی دیفرانسیلی (۵) مثبت معین باشد.

آنگاه $P(t)$ نامساوی (۱۵) را برآورده می‌کند.

اثبات- این لم که مستقیماً از [۱۳، قضایای ۴ و ۷] نتیجه می‌شود، در پیوست آمده است.

به طور خلاصه، لم فوق نشان می‌دهد که نامساوی (۱۵) می‌تواند با شرطی با معنی فیزیکی در مورد آشکارپذیری یکنواخت سیستم جایگزین گردد. این موضوع یک نکته بسیار مهم را یادآوری می‌کند.

نکته ۱۱: در صورتی که سیستم غیرخطی داده شده با (۱) با تعییر آشکارپذیر یکنواخت باشد، آنگاه، زوج $\{C(x), A(x) + \alpha I\}$ نیز برای همانتابع ماتریسی کراندار آشکارپذیر یکنواخت خواهد بود، به شرطی که $\gamma > \alpha$ باشد. می‌توان نشان داد که عکس این مطلب نیز مواره صحیح است.

۵- نتایج شبیه‌سازی

۱-۵ مدل غیرخطی درجه دوم

سیستم غیرخطی بدون ورودی و زمان-پیوسته زیر را با بردار حالت $x = [x_1(t) \quad x_2(t)]^T$ در نظر بگیرید

$$\begin{cases} \dot{x}_1(t) = 0.01x_1(t) - x_2(t) \\ \dot{x}_2(t) = x_1(t) - 0.003x_2^2(t) \end{cases} \quad (۴۹)$$

$$y(t) = x_1(t) \quad (۴۰)$$

این مدل را می‌توان به صورت زیر پارامتریزه نمود

$$\begin{aligned} \dot{x}(t) &= A(x)x \\ y(t) &= C(x)x \end{aligned} \quad (۴۱)$$

که در آن،

$$A(x) = \begin{bmatrix} 0.01 & -1 \\ 1 & -0.003x_2 \end{bmatrix} \quad (۴۲)$$

و $C(x) = [1 \quad 0]$ یک ماتریس ثابت است. ماتریس رؤیت‌پذیری وابسته به حالت عبارت است از

نکته ۹: اگر $\frac{qp}{2\bar{p}^2} - \kappa \underline{P} > 0$ ، در واقع اگر رؤیت‌گر SDDRE اصلی

پایدار نمایی باشد، آنگاه ثابت زمانی θ برای کاهش نمایی خطای نامساوی (۱۲)، $\alpha^{-1} < \theta < \alpha$ را برآورده می‌کند. در این وضعیت، با انتخاب یک مقدار مناسب $\alpha < 0$ و با استفاده از $\alpha^{-1} < \theta < \alpha$ مشاهده می‌شود که ثابت θ در (۱۲) می‌تواند از بیش اختصاص یابد. به عبارت دیگر یک رؤیت‌گر با درجه پایداری تعیین شده خواهیم داشت.

۴- آشکارپذیری نمایش SDC

با توجه به معادله (۱۵)، برای اثبات همگرایی خطای تخمین نیازمند اعمال کرانهایی بر روی پاسخ $P(t)$ در معادله ریکاتی دیفرانسیلی (۵) هستیم. نتایج جالب توجهی درباره رابطه بین رؤیت‌پذیری سیستم غیرخطی و وجود پاسخ‌های مثبت معین و کراندار برای معادلات ریکاتی دیفرانسیلی، در [۱۳] ارائه گردیده است. همچنین به کمک حل مسائل کنترل بهینه دوگان، کرانهای بالا و پائین برای کوواریانس خطای $P(t)$ ، بدست آمده‌اند.

در [۱۶]، یک رؤیت‌گر زمان-گسسته مبتنی بر SDRE در نظر گرفته شده و کرانهایی برای معادله ریکاتی حاصل شده‌اند. این کرانها از یک شرط رؤیت‌پذیری یکنواخت استنتاج می‌شوند. اما در آن تحقیق، سیستم غیرخطی مشابه یک سیستم خطی غیرمتغیر با زمان تلقی شده و واقعیت وابستگی به حالت نادیده گرفته شده است. در این قسمت، بر اساس نتایج نشان شده در [۱۳]، بحث می‌کنیم که چگونه مفهوم آشکارپذیری یکنواخت زیر به کراندار بودن پاسخ $(P(t))$ در معادله زمان-پیوسته (۵) مرتبط می‌گردد.

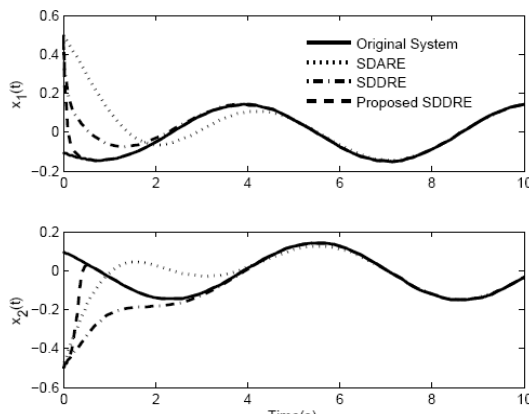
تعریف ۳- زوج $\{C(x), A(x)\}$ یک پارامتریزه کردن SDC آشکارپذیر یکنواخت برای سیستم (۱) نامیده می‌شود، اگر یک تابع ماتریسی کراندار همچون $\Lambda(x)$ و عدد حقیقی $\gamma > 0$ وجود داشته باشند به گونه‌ای که برای هر $w \in R^n$ ، رابطه زیر تحقق یابد

$$w^T [A(x) + \Lambda(x)C(x)] w \leq -\gamma \|w\|^2 \quad (۴۸)$$

علت معرفی تعریف ۳- به اثبات لم ۲- بر می‌گردد.

نکته ۱۰: شرط کنترل‌پذیری نقطه‌ای لزوماً معادل کنترل‌پذیری غیرخطی نیست. همین مطلب در مورد شرط آشکارپذیری یکنواخت ارائه شده در تعریف ۳ و رؤیت‌پذیری غیرخطی سیستم نیز صادق است.

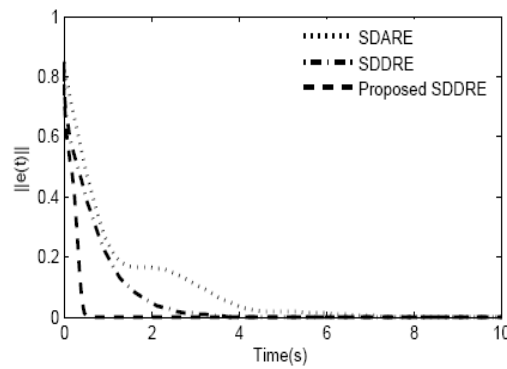
لم ۲- سیستم غیرخطی پایدارپذیر توصیف شده با معادله (۱) را به همراه پاسخ $(P(t))$ از معادله ریکاتی دیفرانسیلی (۵) را نظر بگیرید. فرض کنید که شرایط زیر برقرار باشند.



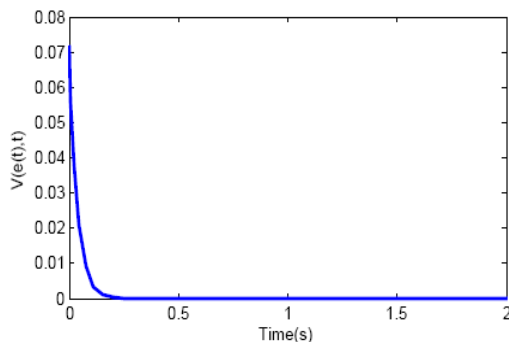
شکل ۱: حالت واقعی ($x(t)$) و حالت تخمینی ($\hat{x}(t)$) حاصل از رؤیت‌گرهای SDDRE، SDARE و رؤیت‌گر پیشنهادی

به منظور انجام مقایسه، رؤیت‌گرهای SDDRE و SDARE را استاندارد را نیز از شرایط اولیه یکسان و با مقدار مشابه برای ماتریس‌های وزنی R و Q شبیه‌سازی شده‌اند. شکل ۱ حالت‌های واقعی و تخمینی بدست آمده از این سه رؤیت‌گر را نشان می‌دهد و شکل ۲ نُرم خطای در تخمین‌ها را به تصویر می‌کشد. همان‌گونه که مشاهده می‌شود، رؤیت‌گر پیشنهادی در مقایسه با دو رؤیت‌گر دیگر، به مراتب بهتر عمل می‌کند.

شکل ۳ تابع لیپانوف (۲۵) را برای رؤیت‌گر پیشنهادی نمایش می‌دهد. مشاهده می‌شود که برای همه زمانهای $t > 0$ ، تابع $V(e(t), t)$ مثبت معین و کاهشی است. این موضوع همگرایی و پایداری رؤیت‌گر پیشنهادی را تأیید می‌کند.



شکل ۲: نُرم خطای تخمین برای سه رؤیت‌گر مبتنی بر SDRE متفاوت



شکل ۳: مقادیر زمانی تابع لیپانوف ($V(e(t), t)$) برای رؤیت‌گر پیشنهادی

$$O(x) = \begin{bmatrix} C(x) \\ C(x)A(x) \end{bmatrix} = \begin{bmatrix} 1 & 0 \\ 0.01 & -1 \end{bmatrix} \quad (43)$$

چون $O(x)$ در سرتاسر R^2 رتبه کامل است، سیستم رؤیت‌پذیر نقطه‌ای است. همچنین، می‌توان تصدیق کرد که این ماتریس‌ها شرط آشکاری‌پذیری یکنواخت در تعریف ۳ را با تابع ماتریسی کراندار زیر

$$\Lambda(x) = \begin{bmatrix} -(0.01+a) + 0.003x_2 \\ (b-1) + 0.003(-a + 0.003x_2) \end{bmatrix} \quad (44)$$

و برای اعداد حقیقی مثبت a و b برآورده می‌کنند. زوج $\{C(x), A(x) + \alpha I\}$ نیز با تابع ماتریسی داده شده در (۴۴) آشکاراً پذیری یکنواخت است، اگر نامساوی زیر برقرار باشد

$$2\alpha < a < \frac{\alpha^2 + b}{\alpha} \quad (45)$$

توجه کنید که لازم است $\alpha < \sqrt{b}$ باشد. برای یک پارامتر طراحی معین $\alpha > 0$ ، همواره می‌توان مقدار $0 < a, b < 0$ را به گونه‌ای انتخاب کرد که نامساوی فوق تامین شود. بنابراین، با توجه به لم ۲ معادله ریکاتی دیفرانسیلی (۵) یک پاسخ کراندار و مثبت معین خواهد داشت.

آشکاراً، ماتریس خروجی C یک ماتریس لیپشیتز بوده و نامساوی (۱۸) را با هر عدد حقیقی مثبت k_A برآورده می‌سازد. از (۴۲) نتیجه می‌شود که برای هر $x, \tilde{x} \in R^2$

$$\|A(x) - A(\tilde{x})\| \leq k_A \|x - \tilde{x}\| \quad (46)$$

که در آن $k_A = 0.003$. حال سیستم را از حالت اولیه $x_0 = [-0.1 \ 0.1]^T$ شبیه‌سازی می‌کنیم. رؤیت‌گر SDDRE پیشنهادی نیز با استفاده از (۳) تا (۵) و با حالت اولیه $\hat{x}_0 = [0.5 \ -0.5]^T$ پیاده سازی شده است. پارامترهای طراحی را به صورت $R = 1$, $Q = 10I_2$, $P(0) = 10I_2$, $\alpha = 10$, $k_B = 0$, $\rho = 0$ و $\sigma = 0.1$ مقدار p , \bar{p} , r , \bar{r} , q و σ نیز محاسبه شده و در جدول ۱ آورده شده‌اند. همان‌گونه که در این جدول مشاهده می‌شود نامساوی (۱۹) برآورده شده است. بنابراین، در این مثال مادامی که در این $t \rightarrow \infty$ ، $e(t)$ به صورت نمایی به صفر می‌خواهد کرد. توجه کنید که در این مثال $k_B \rho = 0$ است. اگرچه، به راحتی می‌توان نشان داد که در این مثال شرایط مذکور در نکته ۱۰ تامین می‌شود و لذا، نامساوی (۱۹) به طور خودکار صادق خواهد بود.

جدول ۱: مقادیر کرانهای مختلف در قضیه ۱ و برای مدل غیرخطی درجه دوم

Bound	\bar{c}	\underline{p}	\bar{p}	\underline{r}	\underline{q}
Value	1	10	84.6	1	10
Bound	σ	k_A	k_C	α	$\alpha - \frac{\bar{c}k_C \sigma p}{\underline{r}} - k_A \sigma + \frac{qp}{2\bar{p}^2}$
Value	0.149	0.003	0.1	10	9.86

(۴۹) و (۵۰) راحت نبوده و مستلزم اندکی محاسبه است. برای هر $x, \hat{x} \in R^5$ در مورد $B(x)$ می‌توان نوشت:

$$\begin{aligned} \|B(x) - B(\hat{x})\| &= \\ &\sqrt{(x_1 - \hat{x}_1)^2 + (x_2 - \hat{x}_2)^2 + (x_3 - \hat{x}_3)^2 + (x_4 - \hat{x}_4)^2} \quad (52) \\ &\leq k_B \|x - \hat{x}\| \end{aligned}$$

که k_B می‌تواند هر عدد حقیقی مثبتی باشد. بنابراین (۱۷) نیز صادق است. همچنین، در مورد $A(x)$ داریم

$$\|A(x) - A(\hat{x})\| = \max \left(|x_3 - \hat{x}_3|, |x_5 - \hat{x}_5|, \frac{|x_3 - \hat{x}_3|, |x_5 - \hat{x}_5|}{k_5 \sqrt{(x_3 - \hat{x}_3)^2 + (x_4 - \hat{x}_4)^2}} \right) \quad (53)$$

بنابراین، کمیت $\|A(x) - A(\hat{x})\|$ بسته به موقعیت نسبی بردارهای x و \hat{x} و همین‌طور مقدار پارامتر k_5 متفاوت بوده، و یکی از مقادیر داخل پرانتز را اختیار می‌کند. با این وجود، می‌توان گفت که نامساوی (۱۶) نیز به ازای $k_A = \max(1, k_5) = \max(1, k_5)$ برقرار خواهد بود. بعلاوه، کراندار بودن ماتریس $C(x)$ در (۵۱) نیز امری آشکار است. به همین ترتیب، به موجب محدود بودن کمیت‌های فیزیکی همچون دامنه و فرکانس ولتاژ استاتور و گشتاور بار، و با توجه به پایدارسازی سیستم توسط ورودی‌های کنترل می‌توان صحت نامساوی‌های (۱۵) را تأیید نمود. همچنین، می‌توان نشان داد که نمایش SDC داده شده با ماتریس‌های (۴۹) تا (۵۱)، شرط آشکارپذیری نقطه‌ای و در نتیجه شرط آشکارپذیری یکنواخت در لم ۲ را تأمین می‌کند. بنابراین، کراندار و مشتمل معنی بودن پاسخ معادله ریکاتی (۵) نیز نتیجه می‌شود.

برای انجام شبیه‌سازی‌ها، مقدار پارامترهای موتور را به صورت $k_4 = -0.234$, $k_3 = 0.225$, $k_2 = 0.178$, $k_1 = -0.186$, $k_8 = -4.448$, $k_7 = 4.643$, $k_6 = -0.018$, $k_5 = -0.081$ قرار می‌دهیم، و بردار ورودی را $u(t) = [1 \ 1 \ 0]^T$ فرض می‌کنیم.

ابتدا وضعیتی متناظر با یک خطای اولیه کوچک را در نظر می‌گیریم. برای این منظور، حالت اولیه سیستم و رؤیت‌گر را به ترتیب $x(0) = [0.2 \ -0.6 \ -0.4 \ 0.1 \ 0.3]^T$ و $\hat{x}(0) = [0.3 \ -0.3 \ 0.2 \ 0 \ 0.7]^T$ قرار می‌دهیم. به منظور انجام مقایسه، رؤیت‌گرهای SDARE و SDDRE را نیز برای حالت‌های اولیه یکسان شبیه‌سازی کرده‌ایم. جدول ۲ پارامترهای طراحی را برای هر یک از این دو رؤیت‌گر و همین‌طور برای رؤیت‌گر پیشنهادی نشان می‌دهد.

جدول ۲: پارامترهای طراحی رؤیت‌گرهای SDDRE، SDARE و رؤیت‌گر نمایی در مثال موتور القایی SDRE

Design Parameter	Q	R	P_0	α
Observer Type				
SDARE	I_5	$10I_2$	-	-
SDDRE	I_5	I_2	I_2	-
Proposed SDRE	I_5	I_2	$10I_2$	2

مقادیر واقعی و تخمینی بدست آمده از این سه رؤیت‌گر برای اولین متغیر حالت (یکی از مولفه‌های شار استاتور)، (x_1, t) ، و پنجمین متغیر حالت (سرعت زاویه‌ای)، (x_5, t) ، به ترتیب در شکل‌های ۴ و ۵

۲-۵ موتور القایی

برای نشان دادن کارایی روش پیشنهادی، از آن برای تخمین شار و سرعت زاویه‌ای ماشین‌های القایی استفاده می‌کنیم (به عنوان مثال [۱۸، ۱۷] را ببینید). معادلات حالت نرم‌البله شده یک ماشین القایی سه قاز متقاضان به صورت زیر ارائه شده اند:

$$\begin{aligned} \dot{x}_1(t) &= k_1 x_1(t) + u_1(t) x_2(t) + k_2 x_3(t) + u_2(t) \\ \dot{x}_2(t) &= -u_1(t) x_1(t) + k_1 x_2(t) + k_2 x_4(t) \\ \dot{x}_3(t) &= k_3 x_1(t) + k_4 x_3(t) + (u_1(t) - x_5(t)) x_4(t) \quad (47) \\ \dot{x}_4(t) &= k_3 x_2(t) - (u_1(t) - x_5(t)) x_3(t) + k_4 x_4(t) \\ \dot{x}_5(t) &= k_5 (x_1(t) x_4(t) - x_2(t) x_3(t)) + k_6 u_3(t) \end{aligned}$$

که x_1, x_2, x_3, x_4 و x_5 به ترتیب مولفه‌های شار استاتور و روتور در صفحه عمود بر معود چرخش هستند و u_1 به عنوان فرکانس ولتاژ استاتور، u_2 به عنوان دامنه ولتاژ استاتور و u_3 به عنوان گشتاور بار معرفی می‌شوند. k_1, \dots, k_6 پارامترهای ثابتی هستند که به ساختمان ماشین و سیستم درایو در نظر گرفته شده بستگی دارند. معادله مشاهده سیستم را رابطه زیر داده می‌شود

$$\begin{aligned} y_1(t) &= k_7 x_1(t) + k_8 x_3(t) \quad (48) \\ y_2(t) &= k_7 x_2(t) + k_8 x_4(t) \end{aligned}$$

که در آن، k_7 و k_8 پارامترهای تعریف شده توسط کاربر بوده، و لذا $y_1(t)$ و $y_2(t)$ جریان‌های استاتور نرم‌البله شده می‌باشند.

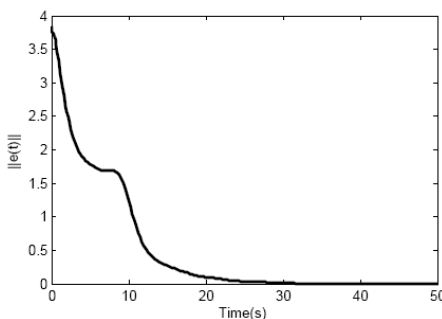
نمایش SDC زیر برای (۴۷) و (۴۸) را در نظر بگیرید که در آن پارامتر t حذف شده است.

$$A(x) = \begin{bmatrix} k_1 & 0 & k_2 & 0 & 0 \\ 0 & k_1 & 0 & k_2 & 0 \\ k_3 & 0 & k_4 & -x_5 & 0 \\ 0 & k_3 & 0 & k_4 & x_3 \\ k_5 x_4 & -k_5 x_3 & 0 & 0 & 0 \end{bmatrix} \quad (49)$$

$$B(x) = \begin{bmatrix} x_2 & 1 & 0 \\ -x_1 & 0 & 0 \\ x_4 & 0 & 0 \\ -x_3 & 0 & 0 \\ 0 & 0 & k_6 \end{bmatrix} \quad (50)$$

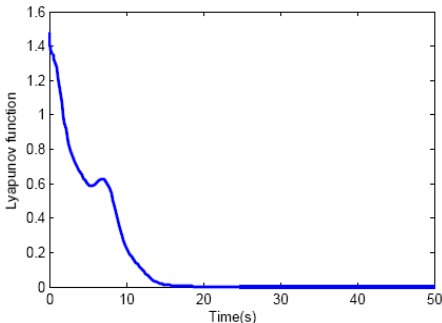
$$C(x) = \begin{bmatrix} k_7 & 0 & k_8 & 0 & 0 \\ 0 & k_7 & 0 & k_8 & 0 \end{bmatrix} \quad (51)$$

دلیل اصلی به کارگیری نمایش فوق از میان انتخاب‌های ممکن متعدد، در ساده‌تر برآورده کردن شرایط لیپ‌شیت (۱۶) تا (۱۸) نهفته است. بدیهی است که، نامساوی (۱۸) با ماتریس خروجی (۵۱) بلافاصله برآورده می‌گردد. اما، بررسی لیپ‌شیت بودن ماتریس‌های



شکل ۷: نُرم خطای تخمین برای رؤیت گر SDRE پیشنهادی به ازای خطای اولیه بزرگ

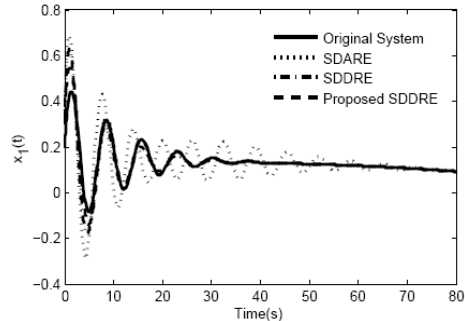
همان‌گونه که در شکل ۶ ملاحظه می‌گردد، خطای تخمین برای رؤیت گر پیشنهادی به صفر می‌کند، در حالی که برای رؤیت گر SDDRE و اگرا می‌شود. به طور کلی، شبیه‌سازی‌های بیشتر نشان می‌دهند که رؤیت گر پیشنهادی معمولاً حوزه جذب بزرگ‌تری از رؤیت گر استاندارد دارد. به عبارت دیگر، خطای تخمین اولیه می‌توان بزرگ‌تر باشد. البته، انتخاب مقدار آزاد α و $P(0)$ می‌تواند موجب ایجاد نوسانات نامطلوبی شود. شکل ۷ نُرم خطای بین حالت واقعی و حالت تخمینی را برای رؤیت گر مبتنی بر SDRE پیشنهادی به تصویر می‌کشد. مقدارتابع لیاپانوف (۲۵) نیز در شکل ۸ آورده شده است. همان‌طور که دیده می‌شود، در طول بازه زمانی کوتاهی تابع لیاپانوف $V(e(t), t)$ افزایش پیدا می‌کند. این نکته تاییدی بر کافی بودن شرایط بدست آمده در قضیه ۱ دارد.



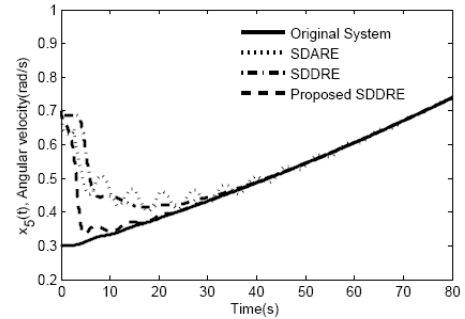
شکل ۸: تابع لیاپانوف $V(e(t), t)$ برای رؤیت گر SDRE پیشنهادی به ازای خطای اولیه بزرگ

قابل ذکر است که نتایج این قسمت تنها شرایط کافی برای تضمین همگرایی نمایی خطای تخمین به سمت صفر را فراهم می‌کند و شرط لازم و کافی نمی‌باشد. همان‌گونه که در مثال مربوط به مشین القایی مشاهده شده است، از آنجایی که کران‌های بدست آمده با استفاده از عملگرهای نُرم محافظه‌کارانه می‌باشند، تأمین این شرایط کافی در برخی از کاربردها آسان نخواهد بود. تنظیم پارامتر آزاد α و حالت اولیه $P(0)$ در معادله ریکاتی دیفرانسیلی (۵) تأثیر بسیاری بر عملکرد رؤیت گر پیشنهادی دارد. مخصوصاً زمانی که شرایط کافی مذکور در قضیه ۱ برآورده نشوند یا تأیید صحت آنها به سادگی امکان‌پذیر نباشد، این موضوع حساس‌تر می‌شود. در چنین مواردی، برای جلوگیری از ایجاد نوسانات نامطلوب در خروجی رؤیت گر

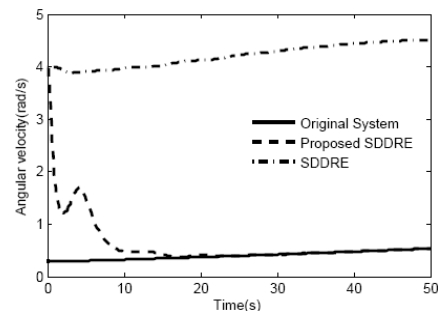
نمایش داده شده‌اند. مشاهده می‌شود که با برآورده شده شرایط قضیه ۱، تخمین‌های حالت حاصل از رؤیت گر پیشنهادی به سمت مقادیر واقعی متناظرشان همگرا می‌شوند. بعلاوه، همچون مثال مدل درجه دوم، رؤیت گر SDRE نمایی عملکرد بهتری را به دنبال دارد.



شکل ۹: حالت واقعی ($x_1(t)$) و مقادیر تخمینی بدست آمده از رؤیت گرها SDARE، SDDRE و رؤیت گر پیشنهادی به ازای خطای تخمین اولیه کوچک



شکل ۱۰: سرعت زاویه‌ای واقعی و مقادیر تخمینی بدست آمده از سه رؤیت گر مبتنی بر SDRE متفاوت به ازای خطای تخمین اولیه کوچک
اکنون، با همان حالت اولیه قبلی برای سیستم و حالت اولیه $[0.5 \quad 0.1 \quad 0.3 \quad -0.2]$ برای رؤیت گر، وضعیتی متناظر با یک خطای اولیه بزرگ را متصور می‌شویم. رؤیت گر پیشنهادی با مقادیر $P(0)=100I_2$ ، $R=I_2$ ، $Q=I_5$ ، $\alpha=1$ شیوه‌سازی شده است. رؤیت گر SDDRE معمول نیز با فرض $P(0)=10I_2$ ، $R=I_2$ ، $Q=10I_5$ و به ازای حالت اولیه یکسان شیوه‌سازی می‌شود و شکل‌های ۶ تا ۸ نتایج شبیه‌سازی را نشان می‌دهند.



شکل ۱۱: سرعت زاویه‌ای ($x_5(t)$) برای سیستم اصلی، رؤیت گر SDDRE مرسوم و رؤیت گر پیشنهادی به ازای خطای تخمین اولیه بزرگ

- [7] C. P. Mracek, J. R. Cloutier, and C. A. D'Souza, "A new technique for nonlinear estimation," Proc. of the 1996 IEEE Int. Conf. on Control Applications, Dearborn, MI, pp. 338-343, 1996.
- [8] C. M. Ewing, "An analysis of the state-dependent Riccati equation nonlinear estimation technique," In Proceedings of the AIAA Guidance, Navigation and Control Conference, Denver, CO, 2000
- [9] J. R. Cloutier, "State dependent Riccati equation techniques: An overview," In Proc. of the American Control Conference, Albuquerque, New Mexico, pp. 932-936, 1997.
- [10] D. Haessig and B. Friedland, "State dependent differential Riccati equation for nonlinear estimation and control," IFAC 15th Triennial World Congress, Barcelona, Spain, 2002.
- [11] R. R. Harman and I. Y. Bar-Itzhack, "Pseudolinear and state-dependent Riccati equation filters for angular rate estimation," Journal of Guidance, Control, and Dynamics, vol. 22, no. 5, pp. 723-725, 1999.
- [12] H. T. Banks, B. M. Lewis, and H. T. Tran, "Nonlinear feedback controllers and compensators: a state-dependent Riccati equation approach", Computational Optimization and Applications, vol. 39, no. 2, pp. 177-218, March 2009.
- [13] J. S. Baras, A. Bensoussan, and M. R. James, "Dynamic observers as asymptotic limits of recursive filters: Special cases," SIAM Journal on Applied Mathematics, vol. 48, no. 5, pp. 1147-1158, Oct. 1988.
- [14] M. Vidyasagar, Nonlinear Systems Analysis, 2nd ed., Englewood Cliffs, NJ: Prentice Hall, 1993.
- [15] S. R. Kou, D. L. Elliot, and T. J. Tarn, "Exponential observers for nonlinear dynamic systems," Information and Control, vol. 29, pp. 204-216, 1975.
- [16] C. Jaganath, A. Ridley, and D. S. Bernstein, "A SDRE-based asymptotic observer for nonlinear discrete-time systems," Proc. of American Control Conference, Portland, pp. 3630-3635, 2007.
- [17] L. Salvatore, S. Stasi, and L. Tarchioni, "A new EKF-based algorithm for flux estimation in induction machines," IEEE Trans. on Industrial Electronics, vol. 40, no. 5, pp. 496-504, Oct. 1993.
- [18] M. Karabacak, H. Ibrahim Eskikurt, "Speed and current regulation of permanent magnet synchronous motor via nonlinear and adaptive backstepping control", Mathematical and Computer Modelling, Available online 31 January 2011.

پیشنهادی، لازم است تا این پارمترها با صرف وقت بیشتری انتخاب شوند.

۸- نتیجه‌گیری

در این مقاله، برای مشکل رویت‌نپذیری فاصله دو هواپیما از تصاویر دوربین در موارد ناشناخته‌بودن ابعاد هواپیمای پیشرو، الگوریتمی ارائه شده است که با اعمال مانور در قالب شتاب مشخص به هواپیمای تعقیب-کننده، ابعاد هواپیمای پیشرو را تخمین می‌زند. با در اختیار داشتن ابعاد هواپیمای پیشرو، محاسبه فاصله دو هواپیما از تصاویر دوربین، به سادگی امکان‌پذیر خواهد بود. این روش برای اهداف شتابدار نیز تخمین مناسی از فاصله به دست داده است. در ادامه الگوریتم تخمین کالمن به عنوان یک الگوریتم بر مبنای روینگر با فرضیات ساده، فاصله دو هواپیما را به خوبی تخمین زد. این الگوریتم با فرض شتاب برای هواپیمای پیشرو با مشکل همگرایی مواجه می‌شود. مشکل ناشناخته‌بودن شتاب هواپیمای پیشرو از تصاویر دوربین و همچنین تاثیرات نامطلوب باد به کمک کنترل کننده مدل‌گذشی طراحی شده در این مقاله بطرف شده است. این کنترل کننده برخلاف سایر کنترل کننده‌های مورد استفاده در بررسی‌های مشابه، در عین سادگی در طراحی، عملکردی مقاوم در برابر شتاب ناشناخته هواپیمای پیشرو و اثرات نامطلوب باد، از خود نشان داده است. نتایج شبیه‌سازی نشان می‌دهد که کنترل کننده مدل‌گذشی طراحی شده در این مقاله، توانسته است اهداف ریدایی را با سیگنال کنترل هموار با انژی کم، برآورده کند.

مراجع

- [1] A. J. Krener and W. Respondek, "Nonlinear observer with linearizable error dynamics," SIAM J. Control & Optim., vol. 23, pp. 197-216, 1985.
- [2] B. L. Walcott, M. J. Corless, and S. H. Zak, "Comparative study of nonlinear state-observation technique," International Journal of Control, vol. 45, no. 6, pp. 2109-2132, June 1987.
- [3] E. Yaz and A. Azemi, "Sliding mode observer for nonlinear models with unbounded noise and measurement uncertainties," Dynamics and Control, vol. 3, pp. 217-235, 1993.
- [4] E. Yaz and A. Azemi, "Observers design for discrete and continuous nonlinear stochastic systems," International Journal of Systems Science, vol. 24, no. 12, pp. 2289-2302, 1993.
- [5] G. Bornard and H. Hammouri, "A high gain observer for a class of uniformly observable systems," Proc. of 30th IEEE CDC, pp. 1494-1496, 1991.
- [6] A. Gelb, Applied Optimal Estimation, The M.I.T Press, Cambridge, 2001.

طراحی یک رویتگر مود لغزشی جدید برای سیستم های خطی با ورودی ناشناخته و تاخیر زمانی

علی اشرف مدرس^۱، حمیدرضا مؤمنی^۲

^۱ فارغ التحصیل دکتری مهندسی برق، گروه کنترل، دانشکده مهندسی برق و کامپیوتر، دانشگاه تربیت مدرس، modarres@mapna.com

^۲ دانشیار، گروه کنترل، دانشکده مهندسی برق و کامپیوتر، دانشگاه تربیت مدرس، momeni_h@modares.ac.ir

(تاریخ دریافت مقاله ۱۳۸۹/۹/۲۱، تاریخ پذیرش مقاله ۱۳۸۹/۱۲/۱۳)

چکیده: در این مقاله یک رویتگر مود لغزشی جدید برای تخمین حالت های سیستم های خطی دارای تاخیر زمانی نامعین متغیر با زمان و در حضور ورودی ناشناخته ارائه شده است. روش طراحی ارائه شده مبتنی بر توسعه رویتگر مود لغزشی ژاک (ak) برای سیستم های با ورودی ناشناخته است. در این روش سادگی قابل ملاحظه ای در فرآیند طراحی در مقایسه با روش مود لغزشی مشابه ایجاد می شود. با انتخاب تابعی لیاپانوف-کراسوفسکی مناسب و تضمین پایداری خطای تخمین حالات سیستم، پارامترهای رویتگر پیشنهادی از طریق حل نامساوی های ماتریسی خطی به دست می آیند. همچنین به منظور دست یابی به نرخ همگرایی دلخواه، تحلیل دینامیک رویتگر مورد توجه قرار گرفته است. در پایان با ارائه یک مثال عددی کارآیی، سادگی و سرراستی روش نشان داده می شود.

کلمات کلیدی: رویتگر مود لغزشی، تاخیر زمانی، ورودی ناشناخته، نامساوی های ماتریسی خطی (LMIs).

A New Sliding Mode Observer Design for Linear System with Unknown Input and Time-varying Delay

Ali Ashraf-Modarres, Hamid-Reza Momeni

Abstract: In this paper, a new sliding mode observer (SMO) for state estimation of linear systems with unknown time-varying delay, and in the presence of unknown input is presented. This method is an extension on well known unknown input SMO, proposed by Zak. In our approach, the design procedure is very simplified in comparison with the other similar SMO. With an adequate choice of a Lyapunov-Krasovskii functional, sufficient conditions are obtained in LMIs terms to guarantee asymptotic stability of the state estimation errors. In order to reach a guaranteed convergence rate, the dynamic properties of observer are also analyzed. The effectiveness, simplicity, and straight-forwardness of method are shown by simulation of a numerical example.

Keywords: Sliding Mode Observer, Time-delay, Unknown input, LMIs.

می دانیم مقدار دقیق تاخیر در سیاری از کاربردها شناخته شده و قابل

- مقدمه

اندازه گیری نیست. در حال حاضر مراجع اندکی در رابطه با طراحی رویتگر برای سیستم های دارای تاخیر زمانی که در ساختار آن نیاز به دانستن مقدار دقیق تاخیر و تغییرات آن نیست وجود دارد [۱، [۲، [۳، [۴، [۵، [۶]. در این مقالات رویکرد به کار رفته در طراحی رویتگر برای H سیستم های خطی دارای تاخیر زمانی، تضمین کارآیی فیلتر

مساله طراحی رویتگر حالت برای سیستم های خطی دارای تاخیر با مقدار نامعین و متغیر با زمان همچنان یکی از مسائل مورد توجه و علاقه محققین است. در بیشتر پژوهش های ارائه شده پیشین، مقدار تاخیر زمانی معلوم و عمده تأثیت فرض شده است [۱]. این در حالی است که

روش مذکور است. همچنین در این مقاله شرایط کافی برای نیل به پاسخ مطلوب و تضمین نرخ همگرایی خطای تخمین مورد توجه قرار گرفته است.

در ادامه به منظور ساده سازی مساله، تاخیر زمانی تنها در حالات سیستم در نظر گرفته شده است. ولی با استفاده از تکنیک ارائه شده، توسعه روش برای سیستم‌های که تاخیر زمانی به طور هم زمان در حالت و ورودی کنترلی سیستم وجود دارد به راحتی امکان پذیر خواهد بود.

۲- شرح مساله و مقدمات ریاضی

سیستم LTI با حالات تاخیر یافته زیر را در نظر بگیرید:

$$\begin{aligned} \dot{x}(t) &= Ax(t) + A_d x(t - d(t)) + Bu(t) + Dw(t) \\ y(t) &= Cx(t) \\ x(s) &= \phi(s), \quad \forall s \in [-d_m, 0] \end{aligned} \quad (1)$$

به طوریکه $y \in \mathcal{R}^q$ و $u \in \mathcal{R}^{m_1}$ $x \in \mathcal{R}^n$ به ترتیب عبارتند از بردار حالات سیستم، بردار ورودی کنترل و بردار خروجی اندازه‌گیری شده سیستم. بردار $W \in \mathcal{R}^{m_2}$ می‌تواند عدم قطعیت مدل، اختشاش خارجی یا حتی اثر تداخل زیر سیستم‌های مختلف در رویکرد غیر متتمرکز در سیستم‌های مقیاس وسیع باشد. لذا $w(t)$ به عنوان ورودی ناشناخته ولی دارای باند محدود مطرح است. به گونه‌ای که به ازاء تمامی مقادیر $t > 0$ داریم:

$$\|w(t)\| < \rho_1$$

که ρ_1 یک اسکالر مثبت است. تاخیر زمانی $d(t)$ در حالات سیستم به گونه‌ای است که:

$$d(t) \leq d_m, \quad \dot{d}(t) \leq \mu$$

$\phi \in C^0([-d_m, 0], \mathcal{R}^n)$ بردار شرایط اولیه سیستم است.

فرض بر این است که ماتریس‌های A , C , B , A_d , D , A , C , B , A_d , D ، ماتریس‌های ثابت و با بعد مناسب می‌باشند.

در نظر بگیرید که فرض‌های ساختاری زیر که در طراحی رویتگر مورد نیاز می‌باشند برقرار است:

$$\text{rank}([A_d | D]) = \text{rank}([A_d | D]) = r \quad A_1$$

A , تمامی صفرهای تغییر ناپذیر ($A_d | D | C$) در سمت چپ صفحه مختلط قرار دارند.

A_3 . زوج (A, C) رویتپذیر باشد. یعنی ماتریس $L \in \mathcal{R}^{n \times q}$ به گونه‌ای که مقادیر ویژه $(A-LC)$ در نیمه چپ صفحه مختلط قرار گیرند، قابل یافتن است.

از حد مشخصی کوچکتر شود. ویژگی دیگر رویتگرهای معرفی شده در این مقالات این است که طراحی رویتگر با رویکرد مستقل از تاخیر (I.O.d) انجام شده است و این مساله شرایط وجود جواب را محافظه کارانه می‌سازد.

روش دیگری که جدیداً در مراجع برای طراحی رویتگرهای تاخیر زمانی (TDO) ارائه شده است، استفاده از رویتگرهای مودلغزشی است که کاربرد آن در ابتدا با هدف طراحی رویتگرهای ورودی ناشناخته (UIO) بوده است که به تازگی برای سیستم‌های دارای تاخیر زمانی نیز توسعه داده شده اند [۷]. مزیت استفاده از رویتگرهای مودلغزشی در مقایسه با دیگر رویتگرهای مقاوم نظیر H_∞ در این است که این رویتگرهای در برابر عدم قطعیت‌های سیستم، ورودی‌های ناشناخته یا اغتشاش غیرحساس می‌باشند و این ویژگی عملأقابیلیتی بیش از مقاومت رویتگر را در اختیار قرار می‌دهد و پایداری مجانی خطای تخمین حالت را تضمین می‌کند [۹].

به طور کلی دو روش و ساختار برای رویتگرهای مودلغزشی وجود دارد [۱۰]. روش اول که توسط اُتکین (Utkin) ارائه شده است و سپس توسط ادواردز (Edwards) و اسپورژئون (Spurgeon) توسعه یافته است [۱۰], [۱۱] او در مراجع گوناگون به آن ارجاع داده شده است [۱۲], [۱۳], [۱۴] اصولاً مبتنی بر استفاده از چندین ماتریس تبدیل و تغییر متغیر حالت در حین فرآیند طراحی است که مساله طراحی رویتگر را کم و بیش مشکل می‌سازد. در روش دیگر که توسط ژاک (Zak) و والکات (Walcott) ارائه شده است از ماتریس تبدیل استفاده نمی‌شود ولی عملأمساله طراحی به مساله لیپانوف محدود شده (CLP) منجر می‌شود [۱۵], [۱۶] که برای حل این مساله و یافتن بهره‌های رویتگر به استفاده از نرم افزارهای با قابلیت حل پارامتری نیاز است [۱۰], [۱۷]. این مساله سبب شده است علی رغم سادگی روش اخیر نسبت به روش قبلی از آن کمتر استفاده شود.

البته علی رغم اشکال ذکر شده در مراجع، در مقاله حاضر اثبات می‌شود با در نظر گرفتن تمهداتی می‌توان به راحتی بهره‌های رویتگر را با استفاده از حل نامساوی‌های ماتریسی خطی (LMIs) به دست آورد و عملأ محدودیت ذکر شده در این روش را بر طرف ساخت. همچنین در این مقاله با استفاده از اصول رویتگر مودلغزشی ژاک [۱۸], [۱۷]، روش مذکور به گونه‌ای اصلاح و توسعه داده می‌شود که قابل استفاده برای سیستم‌های دارای تاخیر زمانی با مقدار تاخیر ناشناخته و متغیر باشد. ویژگی مهم و برتری رویتگر پیشنهادی نسبت به روش پیشنهاد شده در [۷] و [۸]، سادگی فرآیند طراحی و پایاده سازی این رویتگر در مقایسه با

حالات سیستم، یعنی $e(t) - \hat{x}(t)$ با گذشت زمان به طور
مجانبی به سمت صفر میل کند.

در رابطه (۳)، ضریب κ یک اسکالر است به گونه ای که $\kappa \geq \rho_1$
و داریم:

$$e_y(t) = y(t) - \hat{y}(t) = Ce(t) \quad (4)$$

در این حالت دینامیک خطای تخمین عبارت است از:

$$\dot{e}(t) = (A - LC)e(t) - DE(e, \kappa) + Dw(t) \quad (5)$$

با تعریفتابع لیاپانوف به صورت:

$$V(t) = e(t)^T P e(t) > 0 \quad (6)$$

$$P = P^T > 0$$

و با مشتق گیری از $V(t)$ خواهیم داشت:

$$\dot{V}(t) = \dot{e}(t)^T Pe(t) + e(t)^T P \dot{e}(t) = e(t)^T [(A - LC)^T P + P(A - LC)]e(t) - 2e(t)^T PD(v(t) - w(t)) \quad (7)$$

$$(7)$$

که با تعریف سطح لغزش به شکل $\sigma(e) = D^T Pe = 0$ و فرض
برقراری مساله لیاپانوف محدود شده:

$$(A - LC)^T P + P(A - LC) < 0 \quad \text{و انتخاب سیگنال } v(t) \text{ به شکل:}$$

$$v(t) = E(e, \kappa) = \kappa \frac{\sigma(e)}{\|\sigma(e)\|} = \kappa \frac{D^T Pe}{\|D^T Pe\|} \quad \text{خواهیم داشت:}$$

$$\dot{V}(t) < 0$$

همانطور که مشاهده می شود در این حالت سیگنال $v(t)$ وابسته به
قدار خطای تخمین حالت $e(t)$ خواهد بود و این در حالی است که
می دانیم بدون استفاده از اطلاعات مربوط به حالات اندازه گیری نشده،
رویتگر باید قادر به تخمین تمامی حالات سیستم باشد. لذا به منظور
استقلال $v(t)$ از حالات سیستم ووابستگی آن تنها به خطای تخمین
سیگنال خروجی باید رابطه $D^T P = FC$ نیز برقرار باشد. در این حالت
داریم:

$$v(t) = E(e_y, \kappa) = \kappa \frac{Fce}{\|Fce\|} = \kappa \frac{Fe_y}{\|Fe_y\|} \quad (8)$$

مالحظه می شود طراحی رویتگر مود لغزشی برای سیستم (۲) به فرم
(۳) به حل مساله لیاپانوف محدود شده زیر متنه می شود:

$$(A - LC)^T P + P(A - LC) < 0 \quad (9)$$

$$D^T P = FC$$

توجه داریم که برای حل (۹) و محاسبه بهره های رویتگر و نیاز
به استفاده از نرم افزارهای باقابیت حل پارامتری است. برای حل این
مساله آنگوریتم هایی در [۱۷] و [۲۱] ارائه شده است.

هدف، طراحی یک رویتگر حالت برای سیستم (۱) است به گونه ای که بدون داشتن مقدار دقیق تاخیر زمانی سیستم $d(t)$ و ورودی
ناشناخته $w(t)$ ، و تنها با اطلاع از حد بالای آنها تمامی حالات سیستم
قابل تخمین باشند. به این منظور در ادامه به عنوان مقدمات ریاضی بحث،
به بیان چند لم می پردازیم.

لم [۱۹]: مکمل شور (Schur complement) - برای ماتریس های
متقارن R و Q نامساوی های ماتریسی زیر معادل می باشند:

$$\begin{bmatrix} Q & S \\ S^T & R \end{bmatrix} > 0 \iff \begin{cases} Q - SR^{-1}S^T > 0 \\ R > 0 \end{cases}$$

لم [۲۰]: برای هر ماتریس ثابت مثبت معین و متقارن $M \in \mathbb{R}^{n \times n}$ ،
اسکالر $\gamma > 0$ و تابع برداری $\omega: [0, r] \rightarrow \mathbb{R}^n$ به گونه ای که انتگرال
آن خوش تعریف باشد داریم:

$$(\int_0^r \omega(s)ds)^T M (\int_0^r \omega(s)ds) \leq \gamma \int_0^r \omega(s)^T M \omega(s) ds$$

لم [۳]: برای هر دو بردار دلخواه $u \in \mathbb{R}^n$ و $v \in \mathbb{R}^n$ و ماتریس
مثبت معین $R \in \mathbb{R}^{n \times n}$ رابطه زیر برقرار است:
 $\mp 2u^T v \leq u^T R^{-1} u + v^T R v$

۳- طراحی رویتگر مود لغزشی برای سیستم های با ورودی ناشناخته (بدون تاخیر زمانی)

۱-۳- رویتگر ژاک برای سیستم های دارای ورودی ناشناخته
سیستم LTI بدون تاخیر زمانی و با ورودی ناشناخته زیر را در نظر
بگیرید:

$$\dot{x}(t) = Ax(t) + Bu(t) + Dw(t) \quad (2)$$

$$y(t) = Cx(t)$$

که در این سیستم زوج (A, C) آشکار پذیر می باشد و صفرهای تغییر
ناپذیر سیستم (A, D, C) سمت چپ صفحه مختلط قرار گرفته اند.
همچنین داریم:

$$\text{rank}(CD) = \text{rank}(D) = m_2$$

ژاک و والکات در [۱۵]، [۱۶]، [۱۷] نشان داده اند که
رویتگر به شکل:

$$\begin{aligned} \dot{\hat{x}}(t) &= A\hat{x}(t) + L(y(t) - \hat{y}(t)) + Bu(t) + Dw(t) \\ \hat{y}(t) &= C\hat{x}(t) \\ v(t) &= E(e_y, \kappa) = \kappa \frac{Fce}{\|Fce\|} \end{aligned} \quad (3)$$

می تواند تنها با دریافت اطلاعات مربوط به ورودی کنترلی و خروجی
قابل اندازه گیری سیستم، تمامی حالات سیستم را در حضور اختشاش
خارجی و ناشناخته $w(t)$ تخمین بزند، به گونه ای که خطای تخمین

۴- طراحی رویتگر برای سیستم دارای تاخیر متغیر با زمان و ورودی ناشناخته

در این بخش با توسعه ساختار رویتگر ژاک، رویتگر جدیدی برای تخمین حالات سیستم تاخیر دار (۱) ارائه می شود. فرض کنید رویتگر موردنظر دارای ساختاری به شکل زیر است:

$$\begin{aligned} \hat{x}(t) &= A\hat{x}(t) + A_d\hat{x}(t-\hat{\delta}) + Bu(t) + \\ L(y(t) - \hat{y}(t)) &+ Gv(t) \end{aligned} \quad (13)$$

در این رابطه $\hat{\delta}$ تنها تخمینی از تاخیر زمانی موجود می باشد و نیازی به دانستن مقدار دقیق میزان تاخیر و نحوه تغییرات آن نیست. هدف تعیین بهره رویتگر L و سیگنال $v(t)$ با ساختاری مشابه (۴) است به گونه ای که خطای تخمین $e(t)$ با گذشت زمان به طور مجانبی به سمت صفر همگرا شود. در رابطه فوق ماتریس G معلوم است که متعاقباً

تعریف می شود.

قضیه ۲: سیستم خطی با ورودی ناشناخته و دارای تاخیر با مقدار نامشخص و متغیر با زمان (۱) را به گونه ای که حد بالای تاخیر زمانی $d(t) \leq d_m$ و مشتق آن $\dot{d}(t) \leq d_m$ مشخص و به شکل $d(t) \leq d_m$ و $\dot{d}(t) \leq \mu$ فرض کنید که شرایط A_1 تا A_3 برقرار می باشد. اگر نامساوی ماتریسی خطی زیر برقرار باشد، آنگاه رویتگری مطابق رابطه (۱۳) وجود خواهد داشت که خطای تخمین حالات سیستم به صورت مجانبی به صفر همگرا شود.

$$\Omega = \begin{bmatrix} \Omega_{11} & P_5 & \Omega_{13} & -P_4^T & -d_m P_3^T & -d_m P_4^T \\ * & d_m R_1 & -P_5^T & 0 & -d_m P_5^T & 0 \\ * & * & \Omega_{33} & -P_7^T & -d_m P_6^T & -d_m P_7^T \\ * & * & * & -Q_1 & 0 & 0 \\ * & * & * & * & -d_m R_1 & 0 \\ * & * & * & * & * & -d_m R_1 \end{bmatrix} < 0$$

$$\Omega_{11} = A^T P_2 + P_2 A - C^T K - K^T C + P_3 + P_3^T + Q_1 + Q_2$$

$$\Omega_{13} = P_2^T A_d - P_3^T + P_6 + P_4^T$$

$$\Omega_{33} = -P_6^T - P_6 + P_7^T + P_7 - (1 - \mu) Q_2 \quad (14)$$

$Q_1 = Q_1^T > 0$ ، $R_1 = R_1^T > 0$ ، $P_1 = P_1^T > 0$

و $P_2 = P_1$ ، $Q_2 = Q_2^T > 0$ تا همگی ماتریس های مربعی با بعد n

$K \in \mathcal{R}^{q \times n}$ می باشد و

و در این حالت بهره های رویتگر L و همچنین سیگنال $v(t)$

مطابق زیر به دست می آیند:

$$G^T P_2 = FC ; L = P_2^{-1} K^T \quad (15)$$

$$v(t) = E(e_y, \kappa) = \kappa \frac{Fce}{\|Fce\|} = \kappa \frac{Fe_y}{\|Fe_y\|}$$

۳-۲- حل مساله CLP در طراحی رویتگر ژاک در قالب نامساوی های ماتریسی خطی

در [۲۲] و [۲۳] شرط وجود جواب برای (۹)، برقراری شرایط اساسی B_1 تا B_3 به شرح زیر ذکر شده است.

$$Rank(D) = rank(D) = m_2 \cdot B_1$$

تمامی صفرهای تغییر ناپذیر (A, D, C) در سمت چپ صفحه مختلط قرار دارند.

زوج (A, C) رویت پذیر باشد.

برای تبدیل این مساله به فرم LMI به بیان قضیه زیر می پردازیم.

قضیه ۱: با فرض برقراری شرایط B_1 تا B_3 ، مساله لیپاپنوف محدود شده (۹) برقرار است یا به عبارت دیگر رویتگر مود لغزشی به فرم (۳) برای سیستم (۲) وجود دارد اگر و تنها اگر نامساوی ماتریسی خطی زیر برقرار باشد:

$$\begin{aligned} A^T (D^\perp MD^{\perp T} + C^T NC) - C^T K \\ + (D^\perp MD^{\perp T} + C^T NC) A - K^T C < 0 \end{aligned} \quad (10)$$

که در این حالت L و F از روابط زیر حاصل می شوند:

$$F = D^T C^T N \quad L = (D^\perp MD^{\perp T} + C^T NC)^{-1} K^T \quad (11)$$

در این روابط K و $M = M^T$ و $N = N^T$ و متریس های ماتریسی هستند که متعاقباً معرفی می شوند. همچنین اپراتور \perp اشاره به مکمل معتمد ماتریس مربوطه دارد.

اثبات: واضح است که رابطه اول از (۹)، به طور همزمان بر حسب P یک نامساوی ماتریسی خطی نمی باشد. با تعریف متغیرهای K و $L = P^{-1} K^T$ و $N = N^T$ و $M = M^T$ باشد و جایگزینی آن در (۹) داریم:

$$\begin{aligned} & (A^T - C^T L^T)(D^\perp MD^{\perp T} + C^T NC) \\ & + (D^\perp MD^{\perp T} + C^T NC)(A^T - C^T L^T)^T < 0 \Rightarrow \\ & (A^T - C^T K(D^\perp MD^{\perp T} + C^T NC)^{-1})(D^\perp MD^{\perp T} + C^T NC) \\ & + (D^\perp MD^{\perp T} + C^T NC)(A^T - C^T K(D^\perp MD^{\perp T} + C^T NC)^{-1})^T < 0 \Rightarrow \\ & A^T (D^\perp MD^{\perp T} + C^T NC) - C^T K + (D^\perp MD^{\perp T} + C^T NC) A - K^T C < 0 \end{aligned}$$

همچنین می توان F را به شکل زیر محاسبه کرد:

$$\begin{aligned} FC = D^T P \Rightarrow F = D^T PC^T (CC^T)^{-1} \Rightarrow \\ F = D^T (D^\perp MD^{\perp T} + C^T NC) C^T (CC^T)^{-1} \Rightarrow \\ F = D^T C^T N \end{aligned} \quad (12)$$

حال به تعیین کاربرد رویتگر ژاک برای استفاده در سیستم های دارای تاخیر زمانی می پردازیم.

$$P = \begin{bmatrix} P_1 & 0 & 0 \\ P_2 & 0 & 0 \\ P_3 & P_5 & P_6 \\ P_4 & 0 & P_7 \end{bmatrix}$$

بر این اساس $V_1(t)$ به صورت زیر بازنویسی می شود:

$$V_1(t) = e^T(t)P_1e(t) = \eta^T(t)TP\eta(t) \quad (۲۳)$$

که در این رابطه $\eta(t) = [e(t) \quad \dot{e}(t) \quad e(t-d(t))]^T$ می باشد.

اثبات: با توجه به تفاضل (۱) و (۱۳)، دینامیک خطای تخمین مطابق عبارت زیر قابل بیان است:

$$\begin{aligned} \dot{e}(t) &= \dot{x}(t) - \hat{x}(t) = (A - LC)e(t) + \\ A_d(x(t-d(t)) - \hat{x}(t-\hat{d})) &+ Dw(t) - Gv(t) = \\ (A - LC)e(t) + A_d e(t-d(t)) &+ Dw(t) - \\ Gv(t) + A_d \zeta(t) \end{aligned} \quad (۱۶)$$

که در این رابطه:

$$\zeta(t) = \hat{x}(t-d(t)) - \hat{x}(t-\hat{d}) = \int_{t-\hat{d}}^{t-d(t)} \dot{\hat{x}}(s)ds \quad (۱۷)$$

توجه شود که به علت نا معلوم بودن مقدار دقیق $d(t)$ در هر لحظه، سیگنال ζ در رابطه (۱۶) به مثابه یک ورودی ناشناخته عمل می کند. لذا می توان رابطه (۱۶) را به شکل زیر بازنویسی کرد:

$$\begin{aligned} \dot{e}(t) &= (A - LC)e(t) + A_d e(t-d(t)) + Gw_1(t) - Gv(t) \\ Gw_1(t) &= Dw(t) + A_d \zeta(t) ; \|w_1(t)\| < \rho_2 \end{aligned} \quad (۱۸)$$

که در آن $rank(G) = rank([D \mid A_d])$ می باشد و با فرض $rank(CG) = rank(G)$ برقراری A_1 داریم $w_1(t)$ نماینده تمامی عدم قطعیت ها و ρ_2 یک اسکالر مثبت است.

حال تابعی نامزد لیپانوف-کراسوفسکی را به شکل زیر در نظر می گیریم:

$$V(t) = V_1(t) + V_2(t) + V_3(t) \quad (۱۹)$$

$$V_1(t) = e^T(t)P_1e(t) \quad (۲۰)$$

$$V_2(t) = \int_{t-d_m}^0 \int_{t+\theta}^t \dot{e}^T(s)R_1\dot{e}(s)dsd\theta \quad (۲۱)$$

$$V_3(t) = \int_{t-d_m}^t e^T(s)Q_1e(s)ds + \int_{t-d(t)}^t e^T(s)Q_2e(s)ds \quad (۲۲)$$

که در آن $Q_1 = Q_1^T > 0$ ، $R_1 = R_1^T > 0$ ، $P_1 = P_1^T > 0$ و $Q_2 = Q_2^T > 0$ است.

واضح است که به ازاء تمام $t \geq 0$ ، $V(t) \geq 0$ است. بر اساس قضیه لیپانوف-کراسوفسکی [۲۴] برای بررسی پایداری مجانبی دینامیک خطای تخمین (رابطه (۱۸)) کافی است که به ازاء تمام $t \geq 0$ ، $\dot{V}(t) \leq 0$ باشد. را تحقیق کنیم. به این منظور با استفاده از ایدهای مشابه آنچه که در [۲۵] به کار گرفته شده است، ماتریس های P و T را به شکل زیر تعریف می کیم:

$$T = \begin{bmatrix} I_{n \times n} & 0_{n \times n} & 0_{n \times n} & 0_{n \times n} \\ 0_{n \times n} & 0_{n \times n} & 0_{n \times n} & 0_{n \times n} \\ 0_{n \times n} & 0_{n \times n} & 0_{n \times n} & 0_{n \times n} \end{bmatrix},$$

با تعریف $\varepsilon(t)$ به صورت زیر:

$$\begin{aligned} \varepsilon(t) &= [e(t), \dot{e}(t), e(t-d(t)), e(t-d_m), \\ &\quad \int_{t-d(t)}^t \dot{e}(s)ds, \int_{t-d_m}^{t-d(t)} \dot{e}(s)ds]^T \end{aligned} \quad \text{داریم:}$$

$$\dot{V}_1(t) = \varepsilon(t)^T \bar{\Omega} \varepsilon(t) + 2e(t)P_2G(w_1(t) - v(t)) \quad (۲۴)$$

که در آن $\bar{\Omega}$ مطابق رابطه زیر است:

$$\bar{\Omega} = \begin{bmatrix} \bar{\Omega}_{11} & \bar{\Omega}_{12} & \bar{\Omega}_{13} & -P_4^T & -P_3^T & -P_4^T \\ * & 0 & -P_5^T & 0 & -P_5^T & 0 \\ * & * & \bar{\Omega}_{33} & -P_7^T & -P_6^T & -P_7^T \\ * & * & * & 0 & 0 & 0 \\ * & * & * & * & 0 & 0 \\ * & * & * & * & * & 0 \end{bmatrix}$$

$$\bar{\Omega}_{11} = A^T P_2 + P_2 A - C^T K - K^T C + P_3 + P_3^T$$

$$\bar{\Omega}_{12} = P_5 + P_1 - P_2^T$$

$$\bar{\Omega}_{13} = P_2^T A_d - P_3^T + P_6 + P_4^T$$

$$\bar{\Omega}_{33} = -P_6^T - P_6 + P_7^T + P_7$$

همچنین با مشتق گیری از (۲۱) بدست می آید:

$$\begin{aligned} \dot{V}_2(t) &= d_m \dot{e}^T(t) \cdot R_1 \cdot \dot{e}(t) - \int_{t-d_m}^t \dot{e}^T(s) \cdot R_1 \cdot \dot{e}(s) ds = \\ d_m \dot{e}^T(t) \cdot R_1 \cdot \dot{e}(t) &- \int_{t-d_m}^{t-d(t)} \dot{e}^T(s) \cdot R_1 \cdot \dot{e}(s) ds - \\ \int_{t-d(t)}^t \dot{e}^T(s) \cdot R_1 \cdot \dot{e}(s) ds & \end{aligned}$$

همگرایی خطای تخمین به میزان α ، در حضور ورودی ناشناخته و تاخیر زمانی، قضیه زیر مطرح می‌شود.

قضیه^{۳۰}: دینامیک خطای تخمین رویتگر بر اساس رابطه (۱۸) را در نظر بگیرید. با فرض آنکه شرایط A_1 تا A_3 برقرار باشد، آنگاه این دینامیک پایدار نمایی با نرخ α است اگر نامساوی ماتریسی خطی زیر برقرار باشد:

$$\Psi = \begin{bmatrix} \Psi_{11} & P_2 b_m A_d & P_5 & \Psi_{14} & -P_4^T & -d_m P_3^T & -d_m P_4^T \\ * & -R_2 & 0 & 0 & 0 & 0 & 0 \\ * & * & d_m R_1 & -P_5^T & 0 & -d_m P_5^T & 0 \\ * & * & * & \Psi_{44} & -P_7^T & -d_m P_6^T & -d_m P_7^T \\ * & * & * & * & -Q_1 & 0 & 0 \\ * & * & * & * & * & -d_m R_1 & 0 \\ * & * & * & * & * & * & -d_m R_1 \end{bmatrix} < 0$$

$$\begin{aligned} \Psi_{11} &= (A + \alpha I)^T P_2 + P_2 (A + \alpha I) - C^T K - K^T C + \\ &P_3 + P_3^T + Q_1 + Q_2 \\ \Psi_{14} &= P_2^T A_d b_0 - P_3^T + P_6 + P_4^T \\ \Psi_{44} &= -P_6^T - P_6 + P_7^T + P_7 - (1 - \mu) Q_2 + R_2 \quad (۲۸) \end{aligned}$$

که در آن Q_1, Q_2, R_1, P_2 ماتریس‌های متقابل مثبت معین بوده و b_m و b_0 مقادیر ثابتی هستند که طبق رابطه زیر تعریف می‌شوند:

$$e^{\alpha d(t)} = b_0 + \Delta(t) b_m ; \quad \|\Delta(t)\| < 1 \quad (۲۹)$$

$$b_0 = \frac{1+e^{\alpha d_m}}{2} \quad ; \quad b_m = \frac{-1+e^{\alpha d_m}}{2}$$

اثبات: متغیر $e_\alpha(t)$ را به شکل زیر تعریف می‌کنیم:

$$e_\alpha(t) = e^{\alpha t} e(t) \quad (۳۰)$$

با توجه به تعریف فوق بدیهی است که اگر $e_\alpha(t)$ پایدار مجانبی باشد آنگاه $e(t)$ پایدار نمایی با نرخ α خواهد بود.

با مشتق‌گیری از رابطه (۳۰) و استفاده از رابطه (۱۸) بدست می‌آوریم:

$$\dot{e}_\alpha(t) = (A + \alpha I - LC)e_\alpha(t) + e^{\alpha d(t)} A_d e_\alpha(t - d(t)) + G(w_1(t) - v(t))e^{\alpha t} \quad (۳۱)$$

از رابطه (۲۹) در (۳۱) داریم: $e^{\alpha d(t)}$ که با جایگزینی مقدار معادل

$$\dot{e}_\alpha(t) = (A + \alpha I - LC)e_\alpha(t) + (b_0 +$$

$$\Delta(t)b_m)A_d e_\alpha(t - d(t)) + G(w_1(t) - v(t))e^{\alpha t}$$

با تعریف $e_\alpha(t) = e^{\alpha t} e(t)$ به صورت زیر:

$$\begin{aligned} e_u(t) &= [e_\alpha(t), \dot{e}_\alpha(t), e_\alpha(t - d(t)), e_\alpha(t - d_m), \\ &\int_{t-d(t)}^t \dot{e}_\alpha(s) ds, \int_{t-d_m}^{t-d(t)} \dot{e}_\alpha(s) ds]^T \end{aligned}$$

و استفاده از تکیکی مشابه روش اثبات قضیه ۲ و استفاده از تابعی

لیاپانوف-کراسوفسکی مشابه و بر اساس متغیر حالت جدید بدست می-

آید:

$$\dot{V}(t) \leq e_u(t)^T \Phi e_u(t) + 2e_\alpha(t)P_2G(w_1(t) - v(t))e^{\alpha t} \quad (۳۳)$$

با استفاده از لم ۲ ارائه شده در بخش دوم مقاله داریم:

$$\begin{aligned} \dot{V}_2(t) &< d_m \dot{e}^T(t) \cdot R_1 \cdot \dot{e}(t) \\ &- \frac{1}{d_m} \left(\int_{t-d_m}^{t-d(t)} \dot{e}(s) ds \right)^T R_1 \left(\int_{t-d_m}^{t-d(t)} \dot{e}(s) ds \right) \\ &- \frac{1}{d_m} \left(\int_{t-d(t)}^t \dot{e}(s) ds \right)^T R_1 \left(\int_{t-d_m}^{t-d(t)} \dot{e}(s) ds \right) \quad (۲۵) \end{aligned}$$

ونهایتاً با مشتق‌گیری از رابطه (۲۲) داریم:

$$\begin{aligned} \dot{V}_3(t) &= e^T(t)(Q_1 + Q_2)e(t) - e^T(t - d_m)Q_1e(t - d_m) \\ &- (1 - \mu)e^T(t - d(t))Q_2e(t - d(t)) \quad (۲۶) \end{aligned}$$

با جایگزینی روابط (۲۴) تا (۲۶) در (۱۹) نتیجه می‌شود:

$$\dot{V}(t) \leq \varepsilon(t)^T \Omega \varepsilon(t) + 2e(t)P_2G(w_1(t) - v(t)) \quad (۲۷)$$

$\Omega =$

$$\bar{\Omega} + diag \left[(Q_1 + Q_2), d_m R_1, -(1 - \mu)Q_2, -Q_1, -\frac{R_1}{d_m}, -\frac{R_1}{d_m} \right]$$

لذا با استفاده از رابطه اخیر و مکمل شور (لم ۱)، رابطه (۱۴) را

خواهیم داشت.

از رابطه (۲۷) نتیجه می‌شود که اگر $\Omega > 0$ باشد و سطح لغزش

$\sigma(e) = G^T P_1 e = 0$ انتخاب شود، آنگاه با ازاء

$$P_1 = P_2 \quad ; \quad \varepsilon(t) = E(e, \kappa) = \kappa \frac{G^T P_2 e}{\|G^T P_2 e\|} ; \quad \kappa > \rho_2$$

و $\dot{V}(t) \leq 0$ بوده و دینامیک خطای تخمین

(۱۸) پایدار مجانبی خواهد بود و رویتگر مود لغزشی مورد نظر بر اساس

روابط (۱۳) و (۱۵) قابل تحقق است.

باشد تووجه شود که در طراحی رویتگر پیشنهادی و حل ذکر شده

در رابطه (۱۴) حضور ماتریس‌های Q_1, Q_2, R_1 و P_2 تا P_7 باعث

افزایش انعطاف پذیری طراحی و امکان پذیری LMI مورد نظر می‌شود.

به عنوان مثال در نظر بگیرید که اگر $P_5 = 0$ باشد، نامساوی ماتریسی

خطی (۲۷) امکان پذیر نمی‌باشد.

۵- تحلیل دینامیک رویتگر و تضمین نرخ همگرایی خطای تخمین حالت

طبق تعریف [۲۶] با فرض مقدار اسکالر $\alpha > 0$ ، دینامیک خطای تخمین (۱۸) را پایدار نمایی با نرخ α می‌نامند اگر یک اسکالر $\beta > 1$ وجود داشته باشد به گونه‌ای که به ازاء هر شرایط اولیه ϕ ، پاسخ معادله حالت خطای یا به عبارت دیگر $e(t; t_0, \phi)$ نامعادله زیر را برابر آورده سازد.

$$|e(t; t_0, \phi)| \leq \beta |\phi| e^{-\alpha(t-t_0)}$$

در رابطه اخیر t_0 زمان محدودی است که طی آن دینامیک خطای

تخمین بر روی سطح لغزش قرار می‌گیرد. به منظور تضمین نرخ

نامساوی ماتریسی خطی (۲۸) را می سازیم. از حل این نامساوی توسط نرم افزار Matlab نسخه ۷.۲ به دست می آوریم:

$$P_2 = \begin{bmatrix} 2.044 * 10^{-5} & 0 & 0 \\ 0 & 61.563 & -5.189 \\ 0 & -5.189 & 15.568 \end{bmatrix}, \quad K = \begin{bmatrix} 39.785 \\ 61.257 \\ -4.270 \end{bmatrix}^T, \quad L = \begin{bmatrix} 1.946 * 10^6 \\ 0.9999 \\ 0.0591 \end{bmatrix}, \quad F = 2.044 * 10^{-5}$$

با استفاده از مقادیر به دست آمده برای L و F و با فرض $\kappa = 50$ سیگنال (t) و نهایتاً کل ساختار رویتگر شکل می گیرد. نتایج شیوه سازی در شکل (۱) دیده می شود. همانطور که مشاهده می شود تخمین حالت سیستم به خوبی انجام می شود. در شکل مربوط به حالت اول به علت همگرایی سریع، مقدار واقعی و تخمین زده شده بر یک دیگر منطبق شده است. در شکل پایین سمت راست، خطای تخمین حالت برای هر سه حالت نشان داده شده است.

-۷ نتیجه گیری

در این مقاله یک روش طراحی رویتگر مود لغزشی جدید برای تخمین حالت سیستم های خطی دارای تأخیر زمانی با حضور ورودی ناشناخته ارائه شده است. این روش در مقایسه با روش های مقاوم دیگر نظریه H_{∞} دارای این مزیت است که پایداری مجانبی خطای تخمین حالت تضمین می شود. با استفاده از تابعی لیپاونوف-کراسوفسکی مناسب، شرایط کافی برای وجود جواب در قالب نامساوی های ماتریسی خطی ارائه شده است. همچنین برای دستیابی به دینامیک دلخواه رویتگر، مساله پایداری نمایی خطای تخمین حالت نیز مورد توجه قرار گرفته است. در پایان با ارائه یک مثال عددی، نتایج شیوه سازی موفقیت و کارایی روش را نشان می دهد.

$$\Phi = \begin{bmatrix} \Phi_{11} & P_5 & \Phi_{13} & -P_4^T & -d_m P_3^T & -d_m P_4^T \\ * & d_m R_1 & -P_5^T & 0 & -d_m P_5^T & 0 \\ * & * & \Phi_{33} & -P_7^T & -d_m P_6^T & -d_m P_7^T \\ * & * & * & -Q_1 & 0 & 0 \\ * & * & * & * & -d_m R_1 & 0 \\ * & * & * & * & * & -d_m R_1 \end{bmatrix}$$

$$\Phi_{11} = (A + \alpha I)^T P_2 + P_2 (A + \alpha I) - C^T K - K^T C + P_3 + P_3^T + Q_1 + Q_2 + P_2 b_m A_d R_2^{-1} A_d^T b_m P_2$$

$$\Phi_{13} = P_2^T A_d b_0 - P_3^T + P_6 + P_4^T$$

$$\Phi_{33} = -P_6^T - P_6 + P_7^T + P_7 - (1 - \mu) Q_2 + R_2$$

که برای آنکه $\dot{V}(t)$ همواره کوچکتر از صفر باشد باید $\Phi < 0$ باشد.

همچنین توجه داریم که جمله آخر در عبارت مربوط به Φ_{11} غیرخطی

است که باعث می شود $0 < \Phi$ یک LMI نباشد. با استفاده از مکمل

شور، نامساوی ماتریسی اخیر به فرم خطی (۲۸) در خواهد آمد.

توضیح: به هنگام محاسبات مربوط به $\dot{V}(t)$ از رابطه زیر که منتج از به

کارگیری لم ۳ است استفاده شده است:

$$\begin{aligned} 2e_{\alpha}(t)P_2 b_m \Delta(t) A_d e_{\alpha}(t) - d(t) \\ < e_{\alpha}(t)^T P_2 b_m A_d R_2^{-1} A_d^T b_m P_2 e_{\alpha}(t) \\ + e_{\alpha}(t) - d(t))^T R_2 e_{\alpha}(t) - d(t) \end{aligned}$$

۶- مثال عددی

سیستم (۱) را با مشخصات زیر در نظر بگیرید:

$$A = \begin{bmatrix} -5 & -2 & 2 \\ 1 & -1 & 0 \\ 0 & 1 & -4 \end{bmatrix}, \quad A_d = \begin{bmatrix} -2.5 & 0 & -5 \\ 0 & 0 & 0 \\ 0 & 0 & 0 \end{bmatrix}$$

$$B = \begin{bmatrix} 0.5 \\ 1 \\ 0 \end{bmatrix}, \quad D = \begin{bmatrix} 1 \\ 0 \\ 0 \end{bmatrix}, \quad C = [1 \quad 0 \quad 0]$$

$$d(t) = 0.2 + 0.5 \sin 4\pi t ;$$

$$w(t) = 0.5 \sin(2\pi t + \frac{\pi}{2}) ; \quad u(t) = \sin 2\pi t$$

مطلوب است طراحی رویتگری به فرم (۱۳) به گونه ای که دینامیک

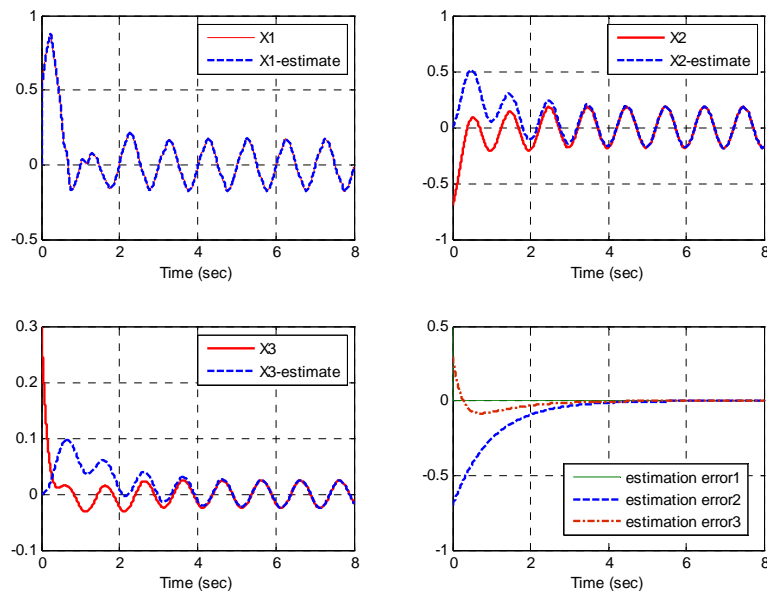
خطای تخمین حالت به طور مجانبی به صفر همگرا شود و نرخ

همگرایی بزرگتر از $1 = \alpha$ باشد. با استفاده از اطلاعات موجود

مراجع

- [5] E. Fridman, U. Shaked and L. Xie, 2003, “Robust H_{∞} filtering of linear systems with time-varying delay”, *IEEE Trans. on Automatic Control*, Vol. 48, pp. 159–165.
- [6] Z. Wang, B. Huang and H. Unbehauen, , 1999 “Robust H_{∞} observer design for uncertain time-delay systems:(I) the continuous case”, *14th IFAC World Congress*, Beijing, China, pp. 231–236.
- [7] A. Seuret, T. Floquet, J.P. Richard, S.K. Spurgeon, 2007, “A Sliding Mode Observer for Linear Systems with Unknown Time Varying Delay”, *American Control Conference*, New York City, USA .
- [8] A. Seuret, T. Floquet, J.P. Richard, S.K. Spurgeon, 2009, “Observer Design for Systems with Non Small and
- [1] J.-P. Richard, 2003, “Time Delay Systems: An overview of some recent advances and open problems”, *Automatica* Vol. 39, pp. 1667–1694.
- [2] H. H. Choi, M. J. Chung, 1996, “Observer-based H_{∞} controller design for state delayed linear systems”, *Automatica*, Vol. 32, pp. 1073–1075.
- [3] H. H. Choi and M. J. Chung, 1997, “Robust Observer-based H_{∞} controller design for linear uncertain time-delay systems”, *Automatica*, Vol. 33, pp. 1749–1752.
- [4] C.E. de Souza, R.E. Palhares and P.L.D. Peres, 1999, “Robust H_{∞} filtering for uncertain linear systems with multiple time-varying state: An LMI approach”, *38th IEEE CDC'99, Conference on Decision and Control*, Phoenix, AZ, pp. 2023–2028.

- Applied Mathematics and Computer Science*, Vol.15, No. 4, pp. 431-446.
- [18] S. Hui, S. Sudhoff and S.H. Zak, 2006, “On estimation regions of stability of estimation error of sliding mode observers for uncertain systems”, *Proceedings of American Control Conference*, USA.
- [19] C. Scherer and S. Weiland, Linear Matrix Inequalities in Control, *Delft University*, The Netherlands, DISC.
- [20] K. Gu, 2000, “An integral inequality in the stability problem of time-delay systems”, *Proceedings of the IEEE Conference Decision Control*, Sydney, Australia, pp. 2805–2810.
- [21] K. Kalsi, J. Lian and S. H. Zak, 2008, “Decentralized control of nonlinear interconnected systems”, *16th Mediterranean Conference on Control and Automation*, Ajaccio, France.
- [22] C. Edwards, X. Yan and S. K. Spurgeon, 2007, “On the solvability of the constrained Lyapunov problem, *IEEE Trans. Automatic Control*, Vol. 52, No. 10, pp. 1982-1987.
- [23] M. Corless and J. Tu, 1998, “State and input estimation for a class of uncertain systems”, *Automatica*, Vol. 34, pp. 757-764.
- [24] M. S. Mahmoud, Robust Control and Filtering for Time-Delay, *Marcel Dekker*, New York, 2000.
- [25] T. Li, L. Guo and Y. Zhang, 2008, “Delay-range-dependent robust stability and stabilization for uncertain systems with time-varying delay”, *International Journal of Robust and Nonlinear Control*, Vol. 18, No.13, pp. 1372-1387.
- [26] S-I. Niculescu, C-E. de Souza, L. Dugard and J-M. Dion, 1998, “Robust exponential stability of uncertain systems with time-varying delays”, *IEEE Trans. on Automatic Control*, Vol. 43, pp. 743–748.
- Unknown Time-Varying Delay”, *Lecture Notes in Control and Information Sciences*, Springer-Verlag, Berlin, Volume 388/2009, 233-242,
- [9] L. Fridman, A. Levant and Jorge. Davila, “High-Order Sliding-Mode Observer for Linear Systems with Unknown Inputs”, *Proceedings of the 2006 International Workshop on Variable Structure Systems*, Alghero, Italy, 2006.
- [10] Edwards C. and Spurgeon S. K., *Sliding Mode Control: Theory and Applications*, Taylor & Francis, 1998.
- [11] C. Edwards and S. K. Spurgeon, 1994, “On the development of discontinuous observers”, *International Journal of Control*, Vol. 59, pp. 1211–1229.
- [12] X. G. Yan, C. Edwards, 2007, “Sensor fault detection and isolation for nonlinear systems based on a sliding mode observer”, *International Journal of Adaptive Control and Signal Processing*, Volume 21, Issue 8, pp. 657-673.
- [13] T. Floquet, C. Edwards, S. K. Spurgeon, 2007, “On sliding mode observers for systems with unknown inputs”, *International Journal of Adaptive Control and Signal Processing*, Volume 21, pp. 638-656.
- [14] C. Edwards , S.K. Spurgeon , and R.J. Patton, 2000, “Sliding mode observers for fault detection and isolation”, *Automatica*, Vol. 36, No. 4, pp. 541-553.
- [15] B.L. Walcott and S.H. Zak, 1987, “State observation of nonlinear uncertain dynamic systems”, *IEEE Transactions on Automatic Control*, Vol. 32, No. 2, pp. 166-170.
- [16] B.L. Walcott and S.H. Zak, 1998, “Combined observer-controller synthesis for uncertain dynamical systems with applications”, *IEEE Transactions on Systems, Man and Cybernetics*, Vol. 18, No. 1, pp. 88-104.
- [17] S. Hui and S.H. Zak , 2005, “Observer design for systems with unknown input”, *International Journal of*



شکل ۱: مقدار واقعی و تخمینی برای سه حالت $(x_1(t), x_2(t), x_3(t))$ و وضعیت خطای تخمین این سه حالت

کنترل تطبیقی مدل - مرجع یک ماہواره بر انعطاف پذیر با جرم محموله سنگین

ایمان غفاری^۱، عبدالمجید خوشنود^۲، جعفر روشنی یان^۳

^۱ فارغ التحصیل کارشناسی ارشد مهندسی هوافضاء، گروه مکانیک پرواز، دانشگاه صنعتی خواجه نصیرالدین طوسی، i.ghaffari@sina.kntu.ac.ir

^۲ دانشجوی دکتری، دانشکده مهندسی مکانیک، گروه کنترل، دانشگاه صنعتی خواجه نصیرالدین طوسی، khoshnood@dena.kntu.ac.ir

^۳ دانشیار، دانشکده مهندسی هوافضاء، گروه مکانیک پرواز، دانشگاه صنعتی خواجه نصیرالدین طوسی، roshanian@kntu.ac.ir

(تاریخ دریافت مقاله ۱۳۸۹/۹/۱۹، تاریخ پذیرش مقاله ۱۶/۱۲/۱۳۸۹)

چکیده: توسعه وسائل هوافضائی و تکنولوژی آنها، منجر به تولید سازه های بزرگ انعطاف پذیر شده است که در نتیجه، سبب طراحی سیستم کنترل وسیله پرنده در حضور رفتار الاستیک آن، می گردد. بعلاوه، بسیاری از ماہواره برها بصورت یک تیر دو سر آزاد بدن در نظر گرفتن جرم محموله مدل می شوند در صورتیکه، بار محموله بر روی رفتار ارتعاشی وسیله موثر بوده و می تواند باعث کاهش فرکانس ارتعاشی در قسمت هایی از زمان پرواز و در نتیجه کاهش آشکار پایداری سیستم کنترل گردد. برای این مقاله بار محموله بصورت جرم نقطه ای و مدل غیر خطی سیستم، بصورت یک شیوه سازی هشت درجه آزادی مدل شده است. در این مقاله از یک استراتژی کنترلی بر مبنای مدل مرتعج، جهت تخمین مدل اول ارتعاشی ماہواره بر انعطاف پذیر با جرم محموله سنگین استفاده شده است. در این دیدگاه از یک فیلتر باریک شبکه ای و روش مدل مرتعج بفرم بازگشت پذیر جهت کنترل یک ماہواره بر انعطاف پذیر با جرم محموله سنگین استفاده می گردد.

کلمات کلیدی: ماہواره بر انعطاف پذیر، جرم محموله سنگین، شناسایی فرکانس ارتعاشی، فیلتر شبکه ای تطبیقی.

Model Reference Adaptive Control for a Flexible Launch Vehicle with Heavy Payload

Iman Ghaffari, Abdol Majid khoshnood, Jafar Roshanian

Abstract: Development of the aerospace flight devices and as a result of this, the growing trend towards large flexible structures leading to control systems being designed in the presence of elastic behavior. Moreover most of the launch vehicle has been modeled as the beam without considering the payload. But actually, payload influences on the vibrational effects, that can lead to decrease the bending frequency in part of the flight time and as result, this reduces the stability of the control system obviously. For this purpose the payload is idealized as point mass and a non-linear dynamic model of system is simulated by eight DOF. In this paper, a control strategy based on 'model reference adaptive approach' is applied to appraise a single vibration mode of a flexible launch vehicle with heavy payload. This approach makes of a model reference adaptive lattice notch filter which has been implemented on the flexible systems in the case of recursive form for a launching system in the presence of the heavy payload

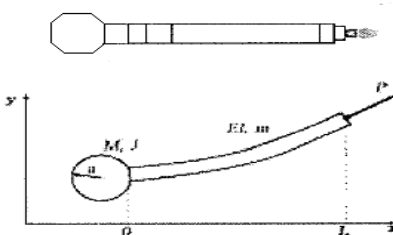
Keywords: Flexible launch vehicle, heavy payload, Vibrational frequency identification, lattice notch filter

پیشran باعث بروز بیش از پیش خواص آبروا الاستیک در آنها می شود.

اتفاقی که در اثر انعطاف پذیری سازه در اجسام پرنده عمول رخ می دهد به این ترتیب است که در اثر خیز الاستیک، سنسور های اندازه گیری دستگاه ناوبری مقادیر خطای داری را نشان می دهد و از طرف دیگر به دلیل روابط متقابل معادلات آبرودینامیکی، عملکرها و

- مقدمه

توسعه روز افزون تکنولوژی طراحی وسائل پرنده منجر به تولید سازه های انعطاف پذیر بزرگ با محموله بارهای سنگین تر شده است همچنین نیاز به سازه هایی بزرگتر با وزن کمتر و مقادیر بیشتر نیروی



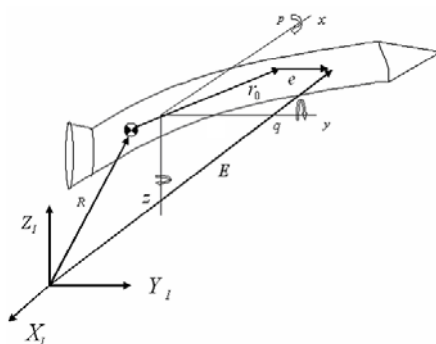
شکل (۱) مدل یک ماهواره بر انعطاف پذیر با جرم محموله

در زمینه کنترل فعال ارتعاشات، موضوع استفاده از پیزو الکترویک ها نیز بسیار مورد توجه می باشد. پیزو الکترویک ها نسبت به تنفس مکانیکی، کرنش، حرکت، فشار و ارتعاش حساسند و همین خاصیت باعث استفاده آنها در کنترل ارتعاشات می گردد [۵]. همچنین در زمینه استفاده از فیلتر های تطبیقی در زمینه کنترل وسایل پرنده مطالعات بسیاری انجام شده است. در این زمینه Randall و Gaylorand جهت پایدار سازی حلقه کنترل در برابر مود غالب فرکانس خمشی از فیلتر های تطبیقی استفاده نمودند و از دو سیستم کنترل مجزا جهت پایدار سازی مدار ارتعاش خمشی اول و دوم ماهواره بر SI-B بهره بردن [۶]. همچنین در پژوهشی دیگر Englehart و Matthew جهت کنترل یک ماهواره بر از فیلتر باریک در قسمت فیدبک حلقه کنترل استفاده نمودند [۷]. همچنین در این زمینه Choi و Bang در دو پژوهش بر روی یک موشک کاوش ابتدا با لحاظ نمودن یک مود ارتعاشی و سپس دو مود توانستند کنترلر وضعیت موشک فوق را به خوبی طراحی نمایند [۸، ۹]. آنها از الگوریتم های تطبیقی بهره گرفتند و با استفاده از فیلتر های باریک اثر ارتعاشات را به خوبی کاهش دادند. در بررسی دیگری Ra روش شناسابی در فیلتر تطبیقی را نسبت به نویزهای ورودی مقاوم نمود [۱۰]. در پژوهشی دیگر Bang و oh Park روش فیلترهای تطبیقی را بر روی یک نمونه آزمایشی از یک ماهواره بر مورد آزمایش قرار داده اند [۱۱]. پس از این فعالیت ها در پژوهش های Khoshnood و Roshanian کنترل ماهواره بر، توانستند ابتدا با لحاظ نمودن یک مود ارتعاشی و سپس دو مود کنترل وضعیت موشک را بخوبی طراحی نمایند. آنها با استفاده از روش مدل-مرجع و استفاده از فیلتر باریک اثر ارتعاشات را بخوبی کاهش دادند [۱۲، ۱۳].

در تمام فعالیت های گذشته طراحی سیستم کنترل بدون توجه به اثر بار محموله که نقش بسزایی در کاهش فرکانس ارتعاش خمشی و به دنبال آن افزایش دامنه ارتعاشات دارد، طراحی شده است که در این مقاله سعی خواهد شد که این موارد بر روی سیستم کنترل کننده بررسی گردد. همچنین در این مقاله از فیلتر باریک شبکه ای جهت حذف فرکانس ارتعاش خمشی استفاده می شود. این مقاله شامل چهار بخش اصلی می باشد. همانگونه که مشاهده شد در فصل اول مقدمه ای از کلیت موضوع، تاریخچه تحقیقات انجام شده و هدف از این تحقیق بیان گردید. دربخش دوم استخراج معادلات لاغرانژ و شیوه سازی مدل ۸

سیستم کنترل، سیستم حلقه بسته کنترلی مستقیما در مواجهه با این اثرات دچار عملکرد نامطلوب می گردد که می بایست این مشکل را با لحاظ نمودن معادلات انعطاف پذیری در سیستم دینامیکی جسم پرنده و روش های کنترل آن تا حد ممکن به حالت مطلوب رسانید. اگرچه معیارهای مطرح شده از لحاظ تئوری به طور نسبی محدوده الاستیک بودن یا نبودن یک سازه را مشخص می نماید، بدین شک مساله انعطاف پذیری در مورد سازه های ماهواره ها و فضایماها که از حجم و نیروی پیشان بسیار بالایی برخوردارند، بیش از سایر اجسام پرنده مورد توجه می باشد. در این میان بحث ترکیب معادلات آبرو دینامیک و انعطاف پذیری به نوبه خود از پیچیده ترین محاسبات و تحلیل های ریاضی برخوردار است. در این مقاله ماهواره بر به صورت یک تیر دو سر آزاد اول- برنولی و بار محموله به صورت یک جرم متمرکز نقطه ای مطابق شکل (۱) در نظر گرفته می شود. سپس اثر مدل سازی بار محموله روی ارتعاشات IMU بررسی می گردد و نتایج مدل سازی بار محموله بر روی دامنه ارتعاشات نشان داده می شود. مشاهده می گردد که با افزایش جرم محموله، به علت کاهش فرکانس و همچنین نیروی محوری ناشی از بار مدل سازی، نوسانات و ارتعاشات سازه و عملکرگها افزایش می یابد. لذا برای جلوگیری از این مشکل یکی از بهترین استراتژی ها حذف تحریک با استفاده از فیلتر تطبیقی در فرآیند حذف فعال ارتعاشات می باشد. بدین ترتیب می توان از حداکثر بار محموله مجاز برای سازه بهره برد و اثر مخرب آن را با بهره گیری از فیلترهای تطبیقی کاهش داد. در زمینه دینامیک سیستم های انعطاف پذیر، موشک ها و ماهواره ها و قطعات هوایپاما را می توان به راحتی به تیرها مدل نمود. بسیاری از مسائل پایداری موشک ها بر اساس تحلیل تیر های خطی اولر برنولی یا تیر های تیموشینکو حل شده اند، اما روش های خطی در واقع نتوانسته اند رفاره های غیر خطی سازه را به خوبی نشان دهند. محققان بسیاری پایداری تیرهای دو سر آزاد با مود تمرکز را مورد مطالعه قرار دادند [۱]. در این زمینه اوشیما و سوگی یاما آنالیز پایداری یک تیر دو سر آزاد با جرم محموله سنگین را مورد بررسی قرار داده اند [۲]. همچنین کیم و چو پایداری یک تیر تیموشینکو دو سر آزاد با جرم محموله متمرکز و نیروی تعقب کننده ایمپالسی را بررسی نمودند [۳]. در فعالیت جدید D.Roy Mahapatra و M.Trikha [۴] و پایداری سازه ای یک وسیله پرنده باریک و طویل را بررسی نمودند که در آن به توسعه مدل جهت آنالیز نایابی داری دینامیکی پرداخته شده است همچنین در این پژوهش جفت شدگی مدهای صلب، مدهای ارتعاشی طولی و مدهای ارتعاشی معکوس به علت متقارن بودن وسیله پرنده، در نظر گرفته شده است. در میان همه فعالیت های انجام شده، هنوز شیوه سازی جامعی که تمامی منابع ارتعاشی از جمله اثرات نیروی آبرو دینامیک، نیروی جاذبه و نیروهای کنترلی را بررسی نماید به چشم نمی خورد.

$$\begin{aligned} \dot{U} &= \frac{F_x}{m_s} + RV - QW \\ \dot{V} &= \frac{1}{m_s} (F_y + \dot{m} X_{out} R) + PW - RU \\ \dot{W} &= \frac{1}{m_s} (F_z + \dot{m} X_{out} Q) + QU - PV \\ \dot{P} &= \frac{1}{(I_x + \sum(\eta_i^2 + \zeta_i^2))} [M_x - \sum(\eta_i \ddot{\zeta}_i - \ddot{\eta}_i \zeta_i) - 2P \sum(\zeta_i \dot{\zeta}_i + \eta_i \dot{\eta}_i) \\ &\quad + (Q^2 - R^2) \sum \eta_i \zeta_i + QR \sum (\zeta_i^2 - \eta_i^2)] \\ \dot{Q} &= \frac{1}{(I_y + \sum \zeta_i^2)} [M_y + PR(I_y - I_x) - PR \sum \zeta_i^2 + (\dot{R} - P Q) \sum \eta_i \zeta_i \\ &\quad + 2R \sum \zeta_i \dot{\eta}_i - 2Q \sum \zeta_i \dot{\zeta}_i] \\ \dot{R} &= \frac{1}{(I_z + \sum \eta_i^2)} [M_z + P Q (I_x - I_z) + P Q \sum \eta_i^2 + (\dot{Q} + P R) \sum \eta_i \zeta_i \\ &\quad + 2Q \sum \eta_i \dot{\zeta}_i - 2R \sum \eta_i \dot{\eta}_i] \\ \dot{\eta}_i &= Q_{\eta_i} - 2\mu_i \alpha_i \dot{\eta}_i + (P^2 + R^2 - \alpha_i^2) \eta_i + 2P \dot{\zeta}_i + (-QR + \dot{P}) \zeta_i \\ \dot{\zeta}_i &= Q_{\zeta_i} - 2\mu_i \alpha_i \dot{\zeta}_i + (P^2 + Q^2 - \alpha_i^2) \zeta_i - 2P \dot{\eta}_i - (\dot{P} + QR) \eta_i \end{aligned} \quad (5)$$



شکل (۲) موقعیت بردارهای تعریف شده

۳- روش مدل مرجع برای شناسایی فرکانس

در این روش مطابق معادلات زیر ، خطای بین سیستم اصلی و سیستم مرجع که مطلوب ماست به صورت یکتابع اتنا لاف تعریف شود

$$e = y_m - y$$

$$j(\theta) = \frac{1}{2} e^2 \quad (6)$$

برای کوچک کردن J ، پارامترها را در جهت گرادیان منفی J ، تغییر می دهیم. در نتیجه:

$$\frac{d\theta}{dt} = -\gamma \frac{\partial j}{\partial \theta} \Rightarrow \frac{d\theta}{dt} = -\gamma e \frac{\partial e}{\partial \theta} \quad (7)$$

درجه آزادی غیر خطی ماهواره بر با جرم محموله سنتگین می پردازیم. در بخش سوم جزئیات کنترل پیشنهادی، تشریح می گردد و نهایتا در بخش چهارم آزمایش روش شناسایی پارامترهای ارتعاشی و فیلتر کردن اثرات ناطلوب آنها بر روی مدل خطی و پیاده سازی بر روی مدل اصلی غیر خطی مورد بررسی قرار خواهد گرفت.

۲ - معادلات الاستیک

برای بدست آوردن معادلات حرکت الاستیک ماهواره بر فرض می کنیم تغییر شکل تنها در جهت x و y ناشی از خمش می باشد. بنابراین تغییر شکل الاستیک ماهواره بر را در امتداد شکل مودهای مشخصی فرض می کنیم. به این روش برای تغییر شکل های الاستیک روش مودهای جمع شده گفته می شود. ماهواره بر متقاض است، شکل مودهای ارتعاشی در جهات y و z مشابه است و آن را با $\phi_i(x)$ برای مود i ام نشان می دهیم [۱۴ و ۱۵]. بنابراین داریم:

$$(1) \quad \overline{e(x,t)} = \begin{cases} 0 \\ \sum_{i=1}^n \eta_i(t) \phi_i \\ \sum_{i=1}^m \zeta_i(t) \phi_i(x) \end{cases}$$

که در آن η_i و ζ_i بخش های زمانی مربوط به خمش سازه در کانال های یاو و پیچ و ϕ_i شکل مود است . برای سادگی فرض می کنیم $n = m$. برای بدست آوردن معادلات حرکت از روش لاگرانژ استفاده می شود. علت انتخاب این روش سادگی در به دست آوردن معادلات حرکت الاستیک می باشد.. برای بدست آوردن معادلات ارتعاشی پرواز با بهره گیری از دستگاه نشان داده شده در شکل (۲) و استفاده از معادلات لاگرانژ خواهیم داشت:

$$\vec{E} = \vec{R} + \vec{r} \quad (2)$$

$$\vec{r} = \vec{r}_0 + \vec{e} \quad (3)$$

$$\frac{d}{dt} \left(\frac{\partial T}{\partial \dot{\eta}_i} \right) - \frac{\partial T}{\partial \dot{\eta}_i} + \frac{\partial U}{\partial \eta_i} + \frac{\partial D}{\partial \eta_i} = Q_{\eta_i} \quad (4)$$

که در آن \vec{R} و \vec{E} به ترتیب بردارهای مکان مرکز ثقل و نقطه ای از موشک تغییر شکل یافته نسبت به مختصات اینرسی می باشد. \vec{r}_0 و \vec{e} به ترتیب بردارهای موقعیت نقطه های از موشک قبل و بعد از تغییر شکل نسبت به دستگاه مختصات بدنی هستند. همچنین T انرژی جنبشی کل موشک، U انرژی پتانسیل کرنشی در موشک، D انرژی استهلاکی و Q_{η_i} نیروهای تعیین یافته در جهت مختصات تعیین یافته η_i می باشد. از آنجاکه معادلات مربوط به روند استخراج انرژی ها در مراجع مختلف آمده است در اینجا به آنها اشاره نمی کنیم و تنها نتایج آنها را بیان خواهیم نمود که به قرار زیر است .

$$\frac{\Delta k_0}{\Delta t} = -\gamma(y - y_m) \frac{\Delta e}{\Delta k_0} \quad (11)$$

در شکل استاندارد معادلات گستته و با میانگیری از سیگنال‌های ورودی با فرض پله واحد داریم:

$$\begin{aligned} \frac{\Delta e}{\Delta k_0} &= \frac{e(n+1) - e(n)}{k_0(n+1) - k_0(n)} = \\ &= \frac{x(n+1) + 2k_0(n+1)x(n) + x(n-1) - x(n) - 2k_0(n)x(n-1) - x(n-2)}{k_0(n+1) - k_0(n)} \\ &\equiv 2x(n-1) \end{aligned} \quad (12)$$

با جایگذاری رابطه (12) در معادله (11) و بازنویسی y در حالت گستته، خواهیم داشت:

$$\begin{aligned} k_0(n+1) - k_0(n) &= \\ &= -\frac{1}{2}(1+\beta)x(n) + 2k_0(n)x(n-1) + x(n-2) - y_m(2x(n-1)) \end{aligned} \quad (13)$$

به این ترتیب یک معادله بر حسب تخمین گام به گام پارامتر قابل تنظیم به دست آمده است که می‌توان هر لحظه آن را به فیلتر باریک به عنوان ورودی ارائه نمود. به کمک این الگوریتم که ترکیبی از مدل مرجع و تخمین‌گر و فیلتر می‌باشد می‌توانیم ارتعاشات خمسی را از سیگنال اصلی رفع نماییم. برای بررسی پایداری الگوریتم فوق از روش‌های تطبیقی در واقع روند همگرایی مقدار پارامتر قابل تنظیم k_0 را مورد توجه قرار می‌دهیم. اگر معادله (11) را بفرم استاندارد یک معادله فضایی حالت در سیستم‌های گستته بنویسیم:

$$\begin{aligned} k_0(n+1) + \gamma(4x^2(n-1) - 1)k_0(n) &= \\ &= \gamma(-x(n-2) + y_m - x(n))(2x(n-1)) \end{aligned} \quad (14)$$

با در نظر گرفتن شرایط پایداری سیستمهای گستته خواهیم داشت

$$\begin{aligned} |\gamma(4x^2(n-1) - 1)| &< 1 \\ \Rightarrow 0 < \gamma &< \frac{1}{2x^2(n-1)} \end{aligned} \quad (15)$$

با توجه به رابطه (15) مشاهده می‌شود که پایداری به مقدار متوسط نهایی (حالت پایدار) $x(t)$ بستگی دارد که با توجه به این نمونه ماهواره بر:

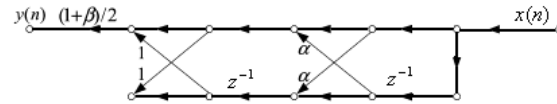
$$\Rightarrow 0 < \gamma < 2.3 \quad (16)$$

این نتیجه را می‌توان با شبیه‌سازی نرم افزاری نیز مورد تایید قرار داد.

۴- شبیه‌سازی

در این بخش تاثیر بار محموله بر روی حلقه کنترلی مورد بررسی قرار می‌گیرد. مطابق شکل (5) به علت کاهش فرکانس و بار محوری ناشی ازبار محموله، دامنه ارتعاشات با افزایش جرم محموله افزایش می‌یابد. در ادامه در اشکال (6) و (7) عملکرد مجموعه حلقه کنترل با در نظر گرفتن الگوریتم و فیلتر و بدون استفاده از آن بر مدل خطی شده را

که در اینجا θ پارامتر قابل تنظیم سیستم می‌باشد. با توجه به آنکه عملکرد مطلوب بر حسب مدل مرجعي که به سیگنال فرمان پاسخ مطلوب می‌دهد بیان می‌شود لذا برای اینکه بتوانیم رفتار سیستم را به رفتار حالت صلب آن معطوف نماییم به عنوان یک استراتژی در زمینه حذف فرکانس ارتعاش خمسی مدل صلب سیستم ماهواره بر را به عنوان مدل مرجع انتخاب می‌نماییم برای این کار از یک الگوریتم که در واقع شناسایی و فیلتر نمودن را با هم ترکیب کرده است بهره گرفته‌ایم. در شکل (3) پیکربندی یک فیلتر باریک شبکه‌ای به تصویر کشیده می‌شود [16].



شکل (3) فیلتر باریک شبکه‌ای

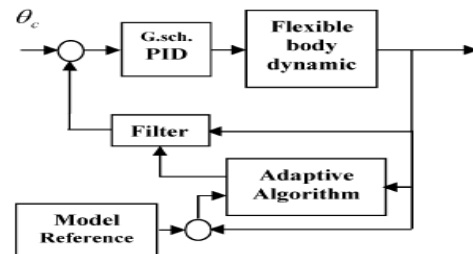
یک فیلتر باریک شبکه‌ای را می‌توان به فرم ساده‌شده زیر در نظر گرفت [16]:

$$H(z) = \frac{N(z)}{D(z)} = \frac{1}{2}(1+\beta) \frac{1+2k_0z^{-1}+z^{-2}}{1+k_0(1+\beta)z^{-1}+\beta z^{-2}} \quad (8)$$

که در آن K معرف یک بخش کسینوسی از فرکانس مرکزی فیلتر می‌باشد. و بصورت زیر تعریف می‌گردد [8].

$$k_0 = -\cos(\Delta T \omega_0) \quad (9)$$

که در آن ΔT زمان نمونه برداری و ω_0 فرکانس طبیعی دینامیک صلب می‌باشد. همچنین β پارامتر اصلی کنترل پهنه‌ای باند فیلتر باریک می‌باشد که جهت پایداری الگوریتم باستی کوچکتر از واحد انتخاب گردد. در شکل (4) بلوك دیاگرام روش کنترلی اتخاذ شده به تصویر کشیده شده است.



شکل (4) دیاگرام بلوکی الگوریتم تطبیقی و فیلتر شبکه‌ای

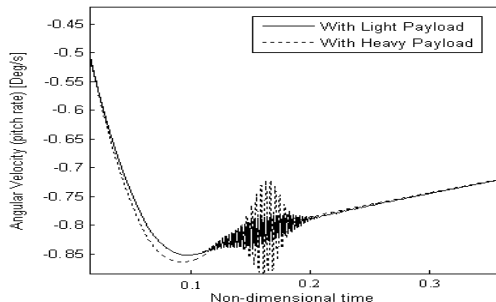
برای اینکه بتوانیم از روش MIT استفاده نماییم فرم ورودی خروجی فیلتر را به صورت زیر در نظر می‌گیریم:

$$x(n) = \frac{1}{D(z)} u(n) \quad (10)$$

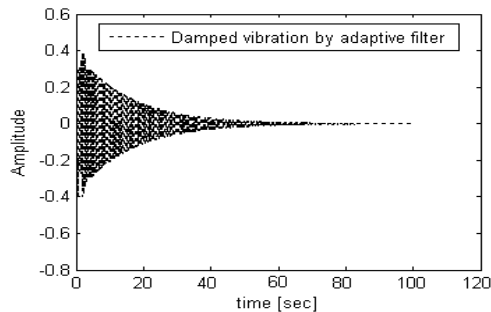
$$y(n) = \frac{1}{2}(1+\beta)[x(n) + 2k_0x(n-1) + x(n-2)]$$

اگر از معادلات فوق $y(n)$ را در معادله (7) در حالت گستته قرار دهیم و پارامتر قابل تنظیم را K در نظر بگیریم و معادلات را در قالب تفاضلی نگاه کنیم داریم:

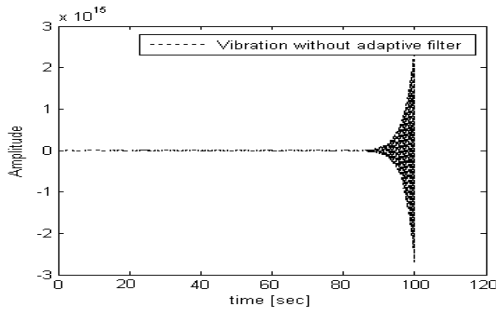
حالیست که از هیچ گونه تغییرات سخت افزاری مطابق روش‌های مشابه کنترل ارتعاشات بهره برده نشده است لذا با استفاده از این الگوریتم تطبیقی، حمل محموله‌های سنگین‌تر که پیش از این به دلیل ارتعاشات نامطلوب عملی نبود، امکان پذیر می‌گردد.



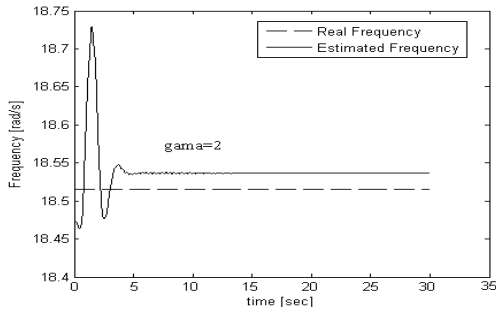
شکل (۵) تأثیرات جرم محموله بر روی سرعت زاویه‌ای کانال فراز بر حسب زمان



شکل (۶) عملکرد مجموعه الگوریتم و فیلتر در بر طرف نمودن اثر ارتعاش خمی



شکل (۷) عملکرد حلقه کنترل بدون استفاده از فیلتر تطبیقی



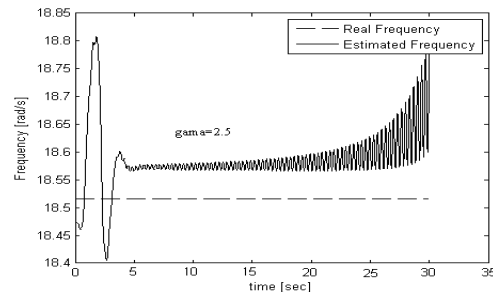
شکل (۸) بررسی پایداری الگوریتم مدل مرجع بر حسب محدوده پارامتر ثابت ۲ در مقدار ۲

بررسی می‌نماییم. همانگونه که مشاهده می‌شود بدون استفاده از الگوریتم مدل مرجع و فیلتر، سیستم ناپایدار می‌شود. حال آنکه با استفاده از این متد تطبیقی، بعلت حذف اثر ارتعاشات در سیستم اندازه گیری، سیستم پایدار شده است..در بخش ۳ ، محدوده ای را برای پارامتر ثابت ۷، جهت بررسی پایداری الگوریتم مدل مرجع بدست آورده‌یم که در ادامه صحبت این ادعا در همگرایی الگوریتم در محدوده فوق و اگرایی آن در خارج از آن در اشکال (۸) و (۹) نشان داده شده است. همچنین شکل (10) شناسایی فرکانس ارتعاشات غالب خمی را با استفاده از الگوریتم فیلتر شده مدل مرجع بازگشتی نشان می‌دهد. این شکل نشان می‌دهد که الگوریتم فوق فرکانس ارتعاشی غالب سیستم را به خوبی شناسایی می‌نماید. در شکل (11) به بررسی خروجی کانال فراز با استفاده از الگوریتم تطبیقی و بدون استفاده از آن می‌پردازیم در ادامه برای اینکه عملکرد نامطلوب حلقه کنترل، پس از اضافه کردن فیلتر نشان داده شود تغییرات عملکرد فرکانس ارتعاشی غالب از الگوریتم کنترلی و بدون استفاده از آن در شکل (12) به تصویر کشیده شده است.

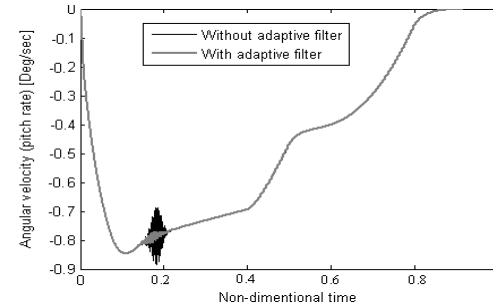
۵- نتیجه گیری

در این مقاله، اثرات انعطاف پذیری بر روی یک ماهواره بر انعطاف پذیری جرم محموله سنگین به صورت متمرکز (نقطه‌ای) مورد تحلیل واقع گردید. نتایج شبیه سازی نشان دهنده آنست که تأثیرات ایجاد شده بوسیله انعطاف پذیری، باعث آثار نامطلوب بر روی حلقة کنترل می‌گردد. وجود فرکانس اول خمی در خروجی‌ها محسوس می‌باشد اما فرکانس‌های بالاتر مودهای ارتعاشی به دلیل فرکانس بالا و دامنه کم دیده نمی‌شود، همچنین باز محموله سنگین باعث کاهش فرکانس مودهای ارتعاشی گردید که منجر به افزایش دامنه ارتعاشات می‌شود. برای کاهش این تأثیرات، ارتعاشات خمی با رفتار یک تیر با ۲ مود ارتعاشی مدلسازی شده است. یک سیستم کنترل تطبیقی بر مبنای شناسایی فرکانس ارتعاشات خمی و فیلتر باریک شبکه‌ای تطبیقی با فرکانس مرکزی متغیر طراحی شده است تا بتواند تأثیرات نامطلوب ارتعاشات را از سیستم اندازه گیری حذف نماید. نکته حائز اهمیت دیگر آنست که در الگوریتم‌های تطبیقی مساله همگرایی الگوریتم بسیار مهمتر از مساله دقت شناسایی می‌باشد چرا که اگر الگوریتم همگرایی نشود باعث ناپایداری سیستم خواهد شد اما خطای شناسایی تنها عملکرد را نامطلوب خواهد کرد. لذا معیار پایداری در این طراحی، همگرایی الگوریتم تطبیقی قرار داده شده است. نتایج شبیه سازی این تأثیرات بر روی مدل غیر خطی و متغیر با زمان ماهواره بر انعطاف پذیر نشان دهنده آنست که الگوریتم پیشنهادی که در فعالیت‌های گذشته بر روی سیستم ماهواره بر تیر گونه بدون در نظر گرفتن جرم محموله به خوبی عمل کرده در این بررسی، بر روی سیستم ماهواره بر تیر گونه با اثر بار محموله نیز، به خوبی توانسته ارتعاشات نامطلوب خمی را از سیستم اندازه گیری بر طرف نماید و کاهش دهد. و این در

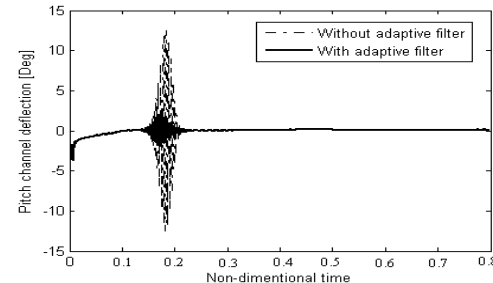
- mathematical modeling", International Journal of Mechanical Sciences, Volume 52, Issue 7, July 2010, Pages 937-951.
- [5] A.Suleman, P.Costa, "Adaptive control of an aeroelastic flight vehicles using piezoelectric actuators", Computer&structures,pp.1303-1314, 2004.
- [6] Gaylor, Randall, "An Adaptive Tracking Filter For The Stabilization Of Bending Modes In Flexible Vehicles", AIAA/JACC Guidance and Control Conference, SEATTLE, WASH ; United States; 15-17 Aug. 1966.
- [7] Englehart, Matthew J., "An adaptive control concept for flexible launch vehicles", AIAA-1992-4622.
- [8] H.D. Choi, H. Bang, "An adaptive control approach to the attitude control of a flexible rocket", Control engineering practice 8,P.P. 1003-1010, 2000.
- [9] N.L, Cho, S.U.Lee, "On the adaptive lattice notch filter for the detection of sinusoids". IEEE, pp. 405-414. 1993.
- [10] W.s. Ra, "Practical adaptive notch filter of missile bending mode rejection". IEEE Electronic letters, Vol.41, No.5, 2005.
- [11] C. S. oh, H.Bang,C. S. Park, "Attitude control of a flexible launch vehicle using an adaptive notch filter: Ground experiment", Control engineering practice, 2008.
- [12] A.M. Khoshnood, J. Roshanian, "Model reference adaptive control for a flexible launch vehicle", Proc. IMechE Vol. 222 Part I: J. Systems and Control Engineering, 2008
- [13] A.M. Khoshnood, J. Roshanian, "Simultaneous estimation of two bending vibration frequencies for attitude control of a flexible launch vehicle", Proc. IMechE Vol. 223 Part I: J. Systems and Control Engineering, 2009
- [14] S.H. Pourtakdoust, N.Assadian, "Investigation of thrust effect on the vibrational characteristics of flexible guided missiles", Journal of Sound and Vibration 272 (2004) 287-299
- [۱۵] جعفر روشنی یان، علی خاکی صدیق، عبدالجید خوشنود، "کنترل تطبیقی یک ماهواره بر انعطاف پذیر" پایان نامه کارشناسی ارشد، دانشگاه صنعتی خواجه نصیرالدین طوسی، ۱۳۸۶
- [16] Junli Liang, Bangjie Ji, "Recursive Least Squares-Like algorithms for the adaptive second-order Lattice notch filter", Digital Signal Processing 18 (2008)



شکل (۹) بررسی پایداری الگوریتم مدل مرجع بر حسب محدوده پارامتر ثابت γ در مقدار ۲.۵



شکل (۱۰) مقایسه سرعت زاویه ای کاتال فراز با استفاده از الگوریتم تطبیقی و بدون استفاده از آن



شکل (۱۱) تغییرات زاویه عملگر با حضور الگوریتم ترکیبی و بدون آن در کاتال فراز

مراجع

- [1] J.A Euler, S.E. khadem, "Dynamic stability of flexible spinning missiles, part III: Vibration ans Stability analysis of a structurally damped controlled free-free Timoshenko beam, as a model for flexible missile".AIAA-92-2457-CP, pp.2077-2084, 1992.
- [2] T.ohshima, Y.sugiyama," Stability of a jointed free beam subjected to end rocket thrust and carrying a heavy payload at its nose" ,IEEE Journal,pp.1115-1120,2003.
- [3] Kim, J-H, Choo, Y.-S., "Dynamic Stability of a Free-free Timoshenko beam subjected to a pulsating follower force" Journal of Sound and Vibration, Vol, 216, No, 4, Oct. 1998, pp. 623-636.
- [4] D. Roy Mahapatra, M. Trikha, "Structural stability of slender aerospace vehicle:

علائم اختصاری و نمادها

دیمانسیون	توضیح	پارامتر
-	نیروهای تعیین یافته مود ۱ام	Q_{η_i}, Q_{ζ_i}
-	مختصات تعیین یافته مود ۱ام	η_i, ζ_i
-	شکل مود ۱ام	$\phi_i(x)$
rad/s	فرکانس مرکزی فیلتر باریک	k_0
-	ثابت فیلتر باریک	β
Kgm^2 / s^2	انرژی جنبشی و پتانسیل و استهلاکی ماهواره بر	T, U, D
N	نیروهای خارجی در دستگاه بدنی در راستای X و Y و Z	F_x, F_y, F_z
N.m	گشتاورهای خارجی در دستگاه بدنی در راستای X و Y و Z	M_z, M_y, M_x
Kg	جرم ماهواره بر	m_s
-	خطا	e
m	جابجایی الاستیک سازه ماهواره بر	$e(x, t)$
m	بردار موقعیت نقطه ای از جسم در دستگاه بدنی	r
m	بردار موقعیت نقطه ای از جسم در دستگاه اینرسی	E

ارائه روش‌هایی جدید برای تعیین عمق بیهوشی

تکتم ذوقی^۱، رضا بوستانی^۲

^۱ فارغ‌التحصیل کارشناسی ارشد مهندسی کامپیوتر، دانشکده مهندسی برق و کامپیوتر، دانشگاه شیراز، tzoughi@cse.shirazu.ac.ir

^۲ دانشیار، دانشکده مهندسی کامپیوتر، دانشکده مهندسی برق و کامپیوتر، دانشگاه شیراز boostani@shirazu.ac.ir

(تاریخ دریافت مقاله ۱۰/۱۰/۱۳۸۹، تاریخ پذیرش مقاله ۱۲/۸/۱۳۸۹)

چکیده: تعیین و کنترل عمق بیهوشی در حین عمل جراحی مساله بسیار مهم و حیاتی است. روش‌های متعددی برای ارائه یک شاخص کمی جهت ارزیابی عمق بیهوشی ارائه شده است. در این مطالعه روش‌های موجود تحلیل سیگنالهای مغزی، مورد بررسی قرار می‌گیرند. علاوه بر آن جهت ارائه شاخصی مقاوم به منظور تعیین دقیق تر عمق بیهوشی، روشها و پیش‌پردازش‌های متفاوتی برای تحلیل سیستم غیرخطی متغیر با زمان ارائه می‌شود. دو روش ارائه شده در این مطالعه و روش‌های موجود، بر روی ۱۸۷۰ ثانیه از سیگنال مغزی بیماران مختلف اعمال شده است و در نهایت با اندیس BIS مقایسه شده اند. نتایج تجربی نشان می‌دهد روش‌های پیشنهادی با دقت مناسبی قادر به جداسازی حالات مختلف عمق بیهوشی می‌باشند.

کلمات کلیدی: تعیین عمق بیهوشی، تحلیل موجک، تابع خود همبسته، سیگنال مغزی.

Proposing New Methods to Determine Depth of Anesthesia

Toktam Zoughi, Reza Boostani

Abstract: – In each surgical operation, monitoring the depth of anesthesia is vital for anesthesiologists. Several methods have been suggested to determine quantitative indices for depth of anesthesia. In this study, to make the index more robust, a beneficial EEG signal preprocessing method and also two efficient methods have been proposed to estimate the depth index during the surgery. To validate the introduced index, the proposed methods are applied to EEG signals of 22 people (1870 epochs) during the surgery and their determined indices are compared to BIS index which is now a reference in anesthesia monitoring. Experimental results showed that the proposed methods can precisely classify the different anesthesia levels of 1870 epochs. Moreover, the results were compared with BIS which shows highly correlated to the Bispectral index (BIS).

Keywords: determining depth of anesthesia, wavelet analysis, autocorrelation, EEG signal.

اتفاق عمل با استفاده از علامت کلینیکی از قبیل: فشار خون، ضربان قلب، حرکت اندامهای بدن و تنفس بیمار کنترل می‌شود. در حین عمل علاوه بر داروهای بیهوشی، داروهایی از قبیل شل کننده عضلاتی، قطع کننده تنفس، ضد درد و خواب آور استفاده می‌شود. این امر باعث می‌شود تفسیر علامت بیهوشی سخت تر شود بعلاوه شاهد هوشیاری بیمار در حین عمل جراحی باشیم [۱۶ و ۱۴]. به علت اینکه مهمترین عامل بیهوشی در مغز قرار دارد، بیشتر توجه محققان به سمت آنالیز فعالیت الکتریکی مغز (EEG) متمرکز شده است [۱۸].

- مقدمه

بیهوشی در اثر تزریق داروی بیهوشی حاصل می‌شود، که از طریق علائمی چون خواب آلوگی و احساس بی دردی قابل تشخیص می‌باشد. امروزه عمق بیهوشی به صورت کاهش پیوسته عملکرد سیستم عصبی مرکزی و کاهش پاسخ به محرکها قابل بیان می‌باشد [۱۹]. تزریق مقدار مناسبی داروی بیهوشی به بیمار همواره مساله مهمی برای متخصصان بیهوشی بوده است. متخصصان درصدند در ضمن اطمینان از گردش خون بیمار، عمق بیهوشی افزایش یابد و بهبودی بیمار در مدت زمان کوتاهی تضمین شود [۱۱ و ۸]. امروزه عمق بیهوشی در

حین بیهوشی نمایش داده شده است. شکل ۱-الف سیگنال EEG می باشد، شکل ۱-ب ضرایب تقریب این سیگنال را نمایش می دهد و شکل ۱-ج و ۱-د ضرایب جزئیات سیگنال EEG می باشند.

۲-۱- طیف مرتبه بالا

برای محاسبه طیفهای مرتبه بالا ابتدا باید آمارگان مرتبه بالا محاسبه شود. برای محاسبه آمارگان مرتبه سوم از فرمول زیر استفاده می شود:

$$R(\tau_1, \tau_2) = \text{EXP}\{x(t)x(t+\tau_1)x(t+\tau_2)\} \quad (1)$$

با فرض ایستا بودن سیگنال، طیف مرتبه سوم به صورت زیر محاسبه می شود:

$$Bis(f_1f_2) = PSD\{R(\tau_1, \tau_2)\} \quad (2)$$

که PSD تخمین طیف سیگنال است. در عمل بدليل طول محدود سیگنال و حجم محاسبات زیاد برای محاسبه طیف دوگانه می توان از زننده ها استفاده می شود. برای محاسبه طیف دوگانه می توان از روشهای تخمین سنتی (مبتنی بر تبدیل فوریه) و روشهای تخمین پارامتری (مدلهای ARMA و MA) استفاده کرد. در شکل ۲-۱-الف سیگنال EEG بیمار در حین بیهوشی خفیف و در قسمت (ب) طیف دوگانه این سیگنال رسم شده است.

۲-۲- تابع خود همبسته^۱

تابع خود همبسته یک سیگنال، نشان دهنده ارتباط آن سیگنال با خودش می باشد و یک روش ریاضی برای یافتن الگوهای تکراری و پریودیک سیگنال می باشد بخصوص زمانی که سیگنال با نویز همراه باشد. برای سیگنال $f(t)$ تابع همبستگی پیوسته $R_{ff}(\tau) = f(t)f^*(t-\tau)$ تا خیر به صورت زیر تعریف می شود:

$$R_{ff}(\tau) = \bar{f}(-\tau) * f(\tau) = \int_{-\infty}^{\infty} f(t + \tau) \bar{f}(t) dt = \int_{-\infty}^{\infty} f(t) \bar{f}(t - \tau) dt \quad (3)$$

که \bar{f} نشان دهنده *complex conjugate* و $*$ نشان دهنده *convolution* می باشد.

با توجه به غیر ایستا بودن سیگنال EEG، یک ثانیه از سیگنال برای آنالیز انتخاب می شود که می توان آن را ایستا در نظر گرفت. بعضی ویژگیهای تابع خود همبستگی باعث توصیف مناسب خصوصیات سیگنال می شود. تابع خود همبستگی در اطراف صفر متقارن می باشد، بنابراین بررسی نصف این ضرایب برای آنالیز کافی است. این تابع در صفر به ماکریم مقدار خود می رسد، چون هر سیگنال بیشترین شباهت با خودش را دارد.

دستگاه های جدید ثبت عمق بی هوشی فقط از یک یا دو کanal EEG که از پیشانی بیمار ثبت می شود، بهره برداری می کنند امروزه سه روش کاربردی برای تعیین عمق بیهوشی استفاده می شود که این سه روش به شرح زیر است: *auditory evoked potentials* (AEP) که میزان تحريك پذیری بیمار به محرك صدا را اندازه گیری می کند [۷ و ۹]. *BIS Bispectral index* (BIS) که میزان جفت شدگی بین فرکانسهاي مختلف در دامنه فرکانسي را بررسی می کند. رنج *BIS* بین ۱۰۰-۰ می باشد که ۰ نشان دهنده بیهوشی عمیق و نشان دهنده هوشیاری کامل بیمار می باشد [۱۲ و ۱۷]. *Narcotrend* (از شرکت MonitorTechnik of Bad Branstedt آلمان) که بر اساس کلاسه بندی *kugler* عمل می کند و برای آنالیز حالات مختلف خواب ارائه شده است.

روشهای انتقال به دامنه زمان- فرکانسی به دو دسته کلی انتقال خطی و انتقال غیر خطی تقسیم می شود. روشهای انتقال خطی مانند تحلیل موجک محتویات فرکانسی سیگنال را در مقیاسهای متفاوت و با شدتهای گوناگون نمایش می دهد [۳]. از طرفی سیگنال به *EEG* شدت غیر خطی و نامنظم می باشد بنابراین روشهای غیر خطی توزیع انرژی سیگنال در دامنه زمان- فرکانس را بهتر نمایش می دهد [۱].

در بخش ۲ به معرفی و بررسی تعدادی از روشهای استخراج ویژگی سیگنال EEG خواهیم پرداخت. در بخش ۳ روش پیشنهادی اول که بر اساس نوسانات تابع خود همبستگی می باشد را مورد بررسی قرار می دهیم. در بخش ۴، روشهای بر مبنی تحلیل موجک ارائه می شود و مورد ارزیابی قرار می گیرد و در بخش ۵ روشهای بیان شده نتیجه گیری می شود.

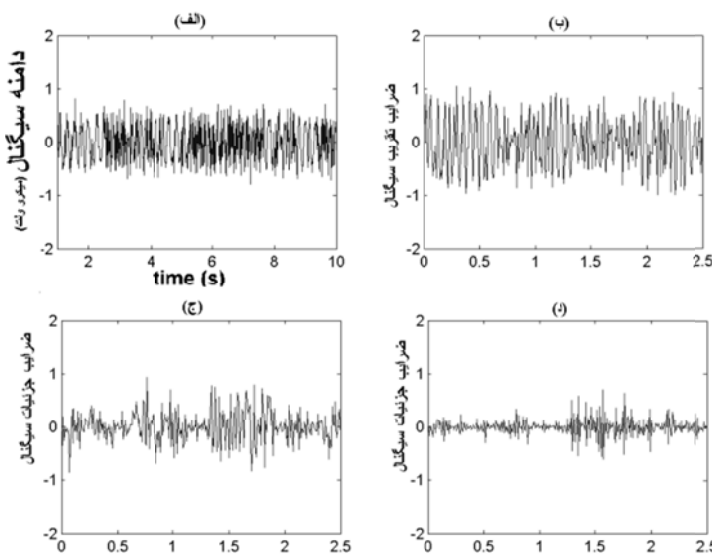
۲- تشریح صورت مسئله

برای بازنمایی بهتر سیگنال باید ویژگیهای موجود در سیگنال استخراج شوند. در این قسمت روشهای استخراج ویژگی از سیگنال و روشهای اساسی پردازش سیگنال که برای کنترل بیهوشی کاربرد دارند، بررسی می شوند.

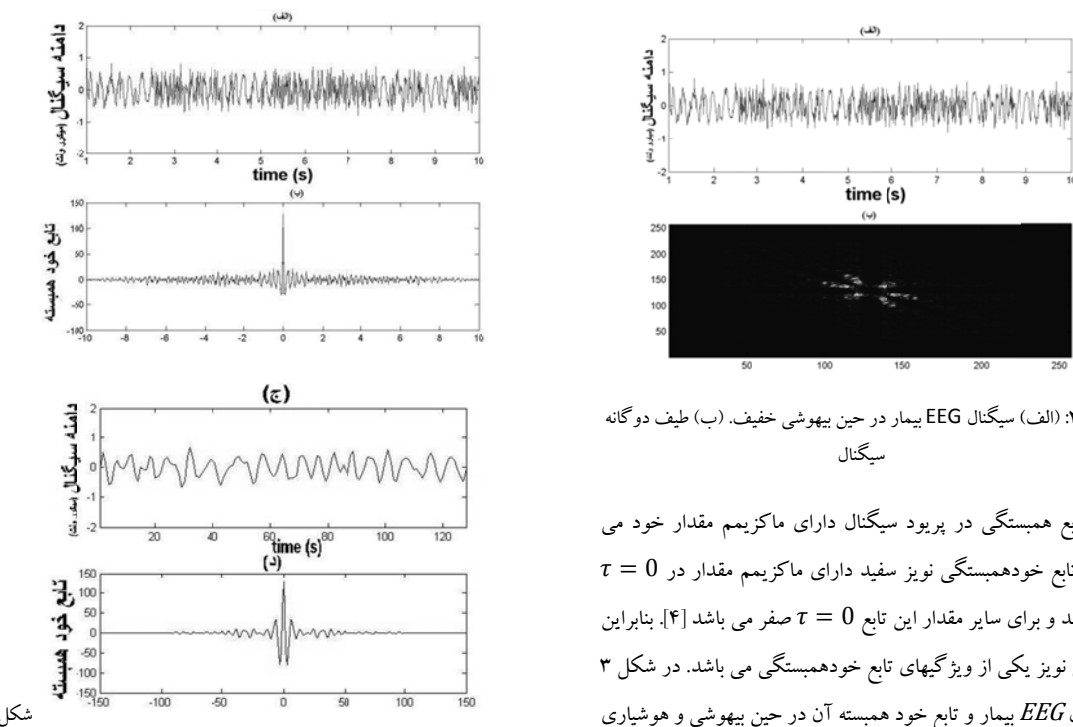
۲-۱- تحلیل موجک

ویژگی بارز تبدیل موجک آنالیز سیگنال در دامنه زمان و فرکانس می باشد. تابع پایه تحلیل موجک دارای آزادی عمل در انتخاب دو پارامتر انتقال و مقیاس می باشند. این مطلب تحلیل موجک را قادر می سازد سیگنال را به صورت ترکیب موجهای کوچک آنالیز و سنتر کند. آنالیز سیگنال در مقیاسهای مختلف و با دقتهاي متفاوت، آنالیز چندگانه نام دارد. در شکل ۱ تبدیل موجک برای ۱۰ ثانیه از سیگنال مغز بیمار در

^۱ autocorrelation



شکل ۱: قسمت (الف) ۱۰ ثانیه از سیگنال EEG بیمار در حین عمل، (ب) ضرایب تقریب سیگنال با استفاده از دویشز نوع ۳ در 3^3 سطح (ج) و (د) ضرایب جزئیات سیگنال EEG



۳. (الف) سیگنال EEG بیمار در حین بیهوشی خفیف. (ب) تابع خود همبسته سیگنال EEG در حین بیهوشی خفیف. (ج) سیگنال EEG بیمار در حین هوشیاری. (د) تابع خود همبسته سیگنال EEG در حین هوشیاری

۴-۲- بعد فرکتالی پتروشن^۱

شکل ۲: (الف) سیگنال EEG بیمار در حین بیهوشی خفیف. (ب) طیف دوگانه سیگنال

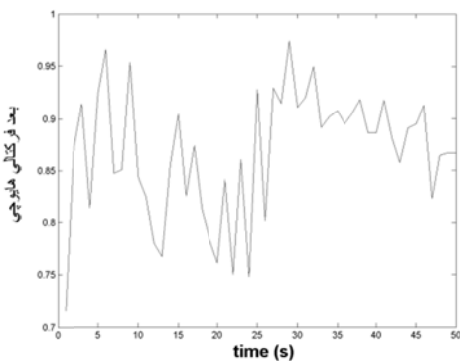
تابع همبستگی در پریود سیگنال دارای ماکریتم مقدار خود می باشد. تابع خود همبستگی نویز سفید دارای ماکریتم مقدار در $\tau = 0$ می باشد و برای سایر مقدار این تابع $\tau = 0$ صفر می باشد [۴]. بنابراین کاهش نویز یکی از ویژگیهای تابع خود همبستگی می باشد. در شکل ۳ سیگنال EEG بیمار و تابع خود همبسته آن در حین بیهوشی و هوشیاری بیمار نمایش داده شده است.

در کنار بعد همبستگی بعد های فرکتالی نیز وجود دارند که نشان دهنده خواص هندسی بستر جذب می باشند ولی سرعت محاسبه بالایی دارند. برای محاسبه ابعاد فرکتالی روش‌های مختلفی وجود دارد. روش پتروشن برای محاسبه بعد بسیار ساده و سریع می باشد. این بعد به صورت زیر تعریف می شود:

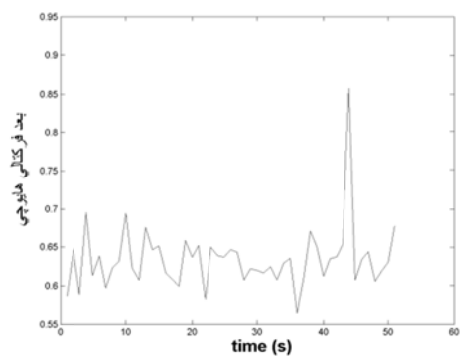
^۱ Petrosian fractal dimension

$$L(k) = \sum_{m=1}^k L_m(k) \quad (7)$$

طول میانگین کل برای مقیاس K می باشد و به صورت $L(k)$ توانی، $L(k) \propto k^{-D}$ ، قابل نمایش می باشد که D نشان دهنده بعد فرکتال هایوجی می باشد. شبیه بهترین خط تقریب زده شده با روش کمترین مربع خطای برای منحنی $\ln(L(k))$ بر اساس $\ln(1/k)$ تخمینی از بعد فرکتال می باشد [۲]. در شکل ۴ و ۵ بعد فرکتال هایوجی برای ۵۰ ثانیه از سیگنال EEG بترتیب در حین هوشیاری و بیهوشی عمیق نشان داده شده است.



شکل ۴: بعد فرکتال هایوجی برای ۵۰ ثانیه از سیگنال EEG در حین هوشیاری



شکل ۵: بعد فرکتال هایوجی برای ۵۰ ثانیه از سیگنال EEG در حین بیهوشی عمیق

آنتروپی یا پراکندگی، میزان در هم ریختگی سیگنال را نشان می دهد که به روش‌های مختلفی قابل بیان می باشد، در ادامه به چند مورد از آن اشاره می کنیم.

۶-۲-آنتروپی شanon^۲

این روش میزان خود اطلاعی متغیر تصادفی x_i را نشان می دهد:

$$H(\bar{X}) = E\{I(\bar{X})\} = -\sum_i^N p(x_i) \log p(x_i) \quad (8)$$

$$PFD = \frac{\log_{10} N}{\log_{10} N + \log_{10} \left(\frac{N}{N+0.4 N_\Delta} \right)} \quad (9)$$

که N طول سری زمانی می باشد و N_Δ تعداد تغییر علامت در مشتق سیگنال می باشد. چون سیگنال گسته است تفاضل متواالی عناصر سری زمانی محاسبه می شود.

در مقایسه بعد های فرکتال باید به این نکته اشاره کرد که روش همبستگی احتیاج به تعداد نمونه زیاد برای محاسبه ابعاد بالاتر از روی یک سری زمانی دارد. برای سیگنال هایی که شرط ایستایی در طول زمان را ندارند بکار گیری این روش مناسب نیست زیرا فرض براین است که سیگنال به بستر جذب خود رسیده است و در آن در حال حرکت است. علاوه براین، مشکل زمان بر بودن این روش، کارایی آن را کاهش می دهد. در مقایسه با این روش، روش های بعد فرکتال بسیار سریعتر می باشند و با حجم کم دادها نیز کار می کنند. این باعث می شود که از داده هایی با طول کمتر که فرض ایستایی روی آنها برقرار است بتوان استفاده کرد. محققان از این ویژگی های غیر خطی برای بررسی کاتیک بودن سیگنال EEG و بررسی تغییرات سیگنال در حالت صرع، خواب و فعالیت های ذهنی استفاده کرده اند.

۵-۲-بعد فرکتال هایوجی^۱

برای محاسبه بعد فرکتال، این روش از سایر روشها از لحاظ زمان برتر است. سری زمانی $x(1), x(2), x(3), \dots, x(N)$ را برای آنالیز در نظر می گیریم. سری زمانی جدید به صورت زیر ساخته می شود:

$$x_m(k) = \{x(m), x(m+k), x(m+k+1), \dots, x(m+\lfloor \frac{N-m}{k} \rfloor k)\}, \text{ for } m = 1, 2, \dots, k \quad (5)$$

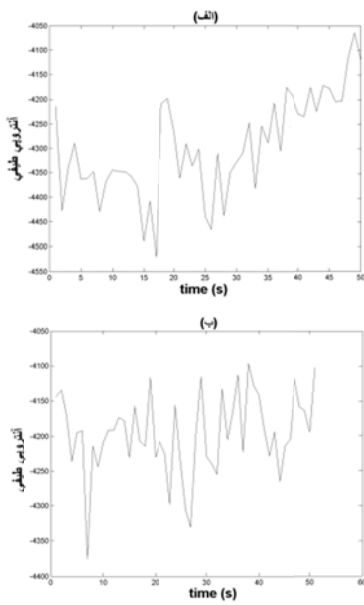
که k و m مقدار صحیح می باشند و به ترتیب نشان دهنده زمان اولیه و فاصله بین نقاط می باشند و $[a]_k$ قسمت صحیح a می باشد. طول $L_m(k)$ برای هر منحنی یا سری زمانی $x_m(k)$ به صورت زیر محاسبه می شود:

$$L_m(k) = \frac{\sum_{i=1}^{\lfloor \frac{N-m}{k} \rfloor} |x(m+ik) - x(m+(i-1)k)|^{(N-1)}}{\lfloor \frac{N-m}{k} \rfloor k} \quad (6)$$

که $(N-1)/[(N-m)/k]k$ ضریب نرمالیزاسیون و طول کل سری X می باشد. میانگین طول برای تمام سریهای زمانی که دارای مقیاس یکسان K می باشند، محاسبه می شود. این روال به تعداد k_{max} بار از ۱ تا k_{max} تکرار می شود. که میانگین طول آن برای هر K به صورت زیر محاسبه می شود:

² shannon entropy

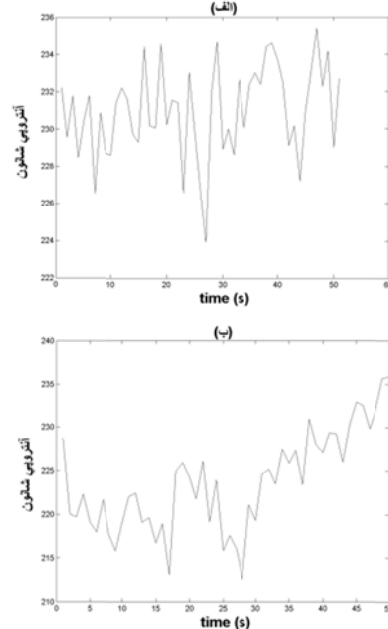
¹ Higuchi fractal dimension



شکل ۷: (الف) آنتروپی طیفی برای ۵۰ ثانیه از سیگنال EEG در حین هوشیاری.
ب) آنتروپی طیفی برای ۵۰ ثانیه از سیگنال EEG در حین بیهوشی عمیق

در این معادله $p(x_i)$ نشان دهنده احتمال متغیر x_i می‌باشد. شکل

- ۶- (الف و ب) نشان دهنده آنتروپی شانون ۵۰ ثانیه از سیگنال EEG
برتریب در حین هوشیاری و بیهوشی عمیق می‌باشد.



شکل ۸: (الف) آنتروپی شانون برای ۵۰ ثانیه از سیگنال EEG در حین هوشیاری.
ب) آنتروپی شانون برای ۵۰ ثانیه از سیگنال EEG در حین بیهوشی عمیق

۳- روش پیشنهادی اول: تحلیل نوسانات تابع خود همبستگی سیگنال EEG به منظور تعیین عمق بیهوشی

۱-۳- روشها و متدها

با توجه به نویزی بودن محیط اطراف، قبل از پردازش سیگنال باید نویز سیگنال حذف شود و پس از پردازش سیگنال پردازش‌هایی به منظور بهبود نتایج که شرح آن داده خواهد شد، انجام می‌شود.

۱-۱-۳- پیش پردازش سیگنال

مرحله ۱: به منظور کاهش نویز و تاثیر دامنه بر روی امواج مغزی در ابتدا با کم کردن میانگین کل داده‌ها (در پنجه‌های یک ثانیه‌ای) از مقدار هر داده، گرایش ۳ داده‌ها را از بین می‌بریم و سپس این مقدار را با انرژی سیگنال نرمالیزه می‌کنیم:

$$Z_i = \frac{x_i - \bar{x}}{\sqrt{\sum_{i=0}^M |x_i|^2}} \quad (10)$$

با توجه به تاثیر کم دامنه در تعیین عمق بیهوشی اگر روشی بر روی سیگنال اعمال کنیم که تاثیر دامنه را مینمیم کند پردازش سیگنال بهبود خواهد یافت. برای این منظور ابتدا سیگنال را به فاصله‌های یک ثانیه‌ای تقسیم می‌نماییم و سپس این فواصل را جداگانه نرمالایز می‌نماییم.

۷-۲- آنتروپی طیفی^۱

چگالی طیف توان^۲ مشابه تابع چگالی احتمال می‌باشد. پس از نرمالیزه کردن چگالی طیف توان هر باند فرکانسی، p_k احتمال وقوع آن فرکانس در سیگنال می‌باشد. آنتروپی طیفی به صورت زیر حاصل می‌شود:

$$SpEn = -\sum_k^N p_k \log p_k \quad (9)$$

آنتروپی طیفی به صورت نسبی نیز قابل تعریف می‌باشد. آنتروپی طیفی اولین بار برای آنالیز سیگنال EEG مورد استفاده قرار گرفت. یکی از این کاربردهای آن مطالعه در مورد فعالیت صرع بیماران و ناهمانگی سیگنال مغزی در حین فعالیت مغزی ریاضی است [۶]. در این دو تحقیق ثابت شد که آنتروپی طیفی معیار مناسبی برای اندازه‌گیری بی نظمی و ناهمانگی سیگنال می‌باشد. در شکل ۷- (الف و ب) آنتروپی طیفی ۵۰ ثانیه از سیگنال EEG برتریب در حین هوشیاری و بیهوشی عمیق نمایش داده می‌شود.

¹ spectral entropy

² power spectral density

³ trend

می دهد. بررسی خصیصه های مختلف پردازش سیگنال نشان داده است که هیچ خصیصه ای از سیگنال به تنها بیان قادر به تخمین تمام حالات عمق بیهوشی نمی باشد. بنابراین نتایج حاصل از این دو بعد فرکتالی توسط روشهای فاری با یکدیگر ترکیب می شوند. این روش را بعد هایوچی و پتروشنین تابع خود همبستگی و یا $PHDA^3$ می نامیم. برای ترکیب این دو بعد نیاز به دو تابع عضویت می باشد. این دو تابع عضویت مرزهای استفاده از بعدهای فرکتالی را معین می کنند. به عبارت دیگر مقادیر این دو تابع عضویت تعیین کننده میزان استفاده از بعدهای فرکتالی می باشند. همان طور که در شکل ۹ نشان داده شده است دو ذوزنقه به عنوان تابع عضویت در نظر گرفته شده است. همانطور که دیده می شود این دو تابع عضویت در فاصله ۰.۶ و ۰.۸ PDA یکدیگر را قطع می کنند که در نتیجه از این نقطه به بعد تاثیر کاهش می یابد و تاثیر HDA افزایش می یابد [۲۱-۲۲].

۳-۱-۳- پس پردازش

در روش ارائه شده یک ثانیه از سیگنال برای آنالیز انتخاب می شود که این مطلب باعث نوسانات شدید اندیس حاصل خواهد شد. برای حل این مساله میانگین هر ۱۰ اندیس بدست آمده از آنالیز سیگنال که هر اندیس آن نتیجه آنالیز یک ثانیه از سیگنال می باشد را به عنوان اندیس نهایی عمق بیهوشی اعلام می نماییم. این روال باعث می شود اندیسهای بدست آمده با نتیجه BIS قابل مقایسه باشد.

همانطور که در بالا ذکر شد الگوریتم ارائه شده از تابع خود همبستگی و بعدهای فرکتالی هایوچی و پتروشنین استفاده می کند. محاسبه این تابع از لحاظ زمانی و محاسباتی کم هزینه است. این مساله باعث می شود روش $PHDA$ به صورت یالدرنگ پیاده سازی شود. که این مطلب منجر به کاربردی شدن آن در دستگاه های ثبت می شود. در قسمت بعد بهبود نتایج حاصل از اعمال الگوریتم پیشنهادی اول ملاحظه می شود.

۲-۳- نتایج

در این قسمت نتایج حاصل از اعمال الگوریتم $PHDA$ بر روی ۱۸۷ ثانیه از سیگنال EEG نشان داده است. این سیگنالها از بیمارانی که برای تمام آنها داروی *isoflurane* جهت بیهوشی استفاده شده، ثبت گردیده است. برای ثبت سیگنال EEG از ابزاری بنام $BIS-XP$ با نرخ سمپل برداری ۱۲۸ هرتز استفاده شده است.

بنابراین بدون اینکه در محتوى فرکانسی سیگنال خلی وارد شود، تاثیر دائمه سیگنال مینیم خواهد شد. در این مرحله قسمتهایی از سیگنال که مقدار انرژی آن بیش از ۳ میکرو ولت باشد نرمال می شوند. در بیهوشی های عمیق، مقدار انرژی کمتر از ۳ میکرو ولت می باشد بنابراین مخرج کسر معادله ۱۳ به صفر نزدیک خواهد شد که این امر باعث تقویت نویز خواهد شد. در نتیجه به این حالات بیهوشی، اندیس صفر نسبت می دهیم.

مرحله ۲: قسمت عمدۀ نویز سیگنال مغزی ثبت شده از پیشانی در حین عمل جراحی، در اثر فعالیت ماهیچه ها و حرکت چشم می باشد. که این نویز باعث ناپایدار شدن اندیس تخمین زده شده به خصوص در هنگام هوشیاری فرد خواهد شد. عموما حرکات سر و چشم فرکانسهای ۰ تا ۱۶ هرتز سیگنال مغزی را مخدوش می کند. این نویز انرژی سیگنال را تحت تاثیر قرار می دهد به همین دلیل کل سیگنال از آن متاثر خواهد شد. برای کاهش نویز در سیگنال مغزی از فیلتر بالاگذر و با فرکانس قطع ۱۶ هرتز استفاده می شود. انتقال از حالت هوشیار به بیهوشی بسیار سریع انجام می شود بنابراین احتمال حضور امواج دلتا بالا فاصله پس از تزریق داروی بیهوشی زیاد است. امواج دلتا همانند سیگنال تولید شده در اثر حرکت چشم، دائمه بالا و فرکانس کمی دارد. در نتیجه حذف نویز باعث از بین رفتن پاره ای از ویژگیهای سیگنال خواهد شد. بنابراین در هنگام ظهور این امواج باید حذف نویز متوقف شود.

مرحله ۳: نویز برق شهری که در اثر استفاده از وسائل الکتریکی مختلف در اتاق عمل ایجاد می شود توسط فیلتر ناچ با فرکانس ۵۰ هرتز حذف می شود [۲۰]. پس از مرحله فیلتر کردن، سیگنال حاصل توسط دو الگوریتم پیشنهادی ما که شرح آن در بخش ۳.۱.۲ و ۴.۱ بیان شده است، پردازش می شود.

۲-۱-۳- روش پیشنهادی

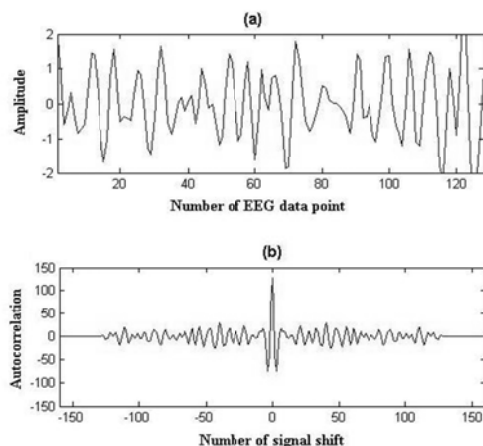
در روش پیشنهادی اول در ابتدا تابع خود همبستگی سیگنال EEG برای هر ثانیه از این سیگنال محاسبه می شود. نتیجه حاصل از این مرحله به صورت جداگانه توسط بعدهای فرکتالی هایوچی و پتروشنین آنالیز می شود. همان طور که در شکل ۸-الف نشان داده شده بیهوشی عمیق و عمومی توسط روش پتروشنین اعمال شده بر روی تابع خود همبستگی که از این پس آن را PDA^1 می نامیم، به خوبی قابل جداسازی است. در شکل ۸-ب بعد هایوچی تابع خود همبستگی که از این پس آن را HDA^2 می نامیم، در حالات هوشیار جداسازی قابل قبولی را نمایش

³ Petrosian and Higuchi Dimensions of Autocorrelation (PHDA)

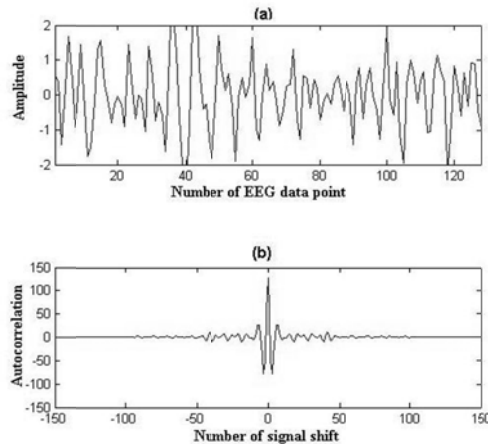
¹ Petrosian Dimension of Autocorrelation (PDA)

² Higuchi Dimension of Autocorrelation (HAD)

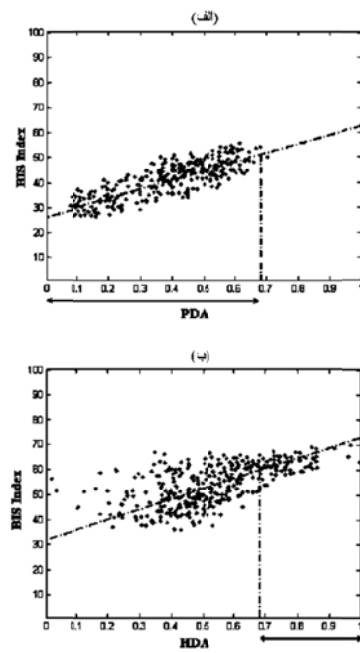
از این دو بعد فرکتال توسط تابع عضویت فازی با یکدیگر ترکیب می‌شوند. در حالات بیهوشی عمیق، سیگنال EEG نسبت به هوشیاری پریودیکتر می‌باشد، بنابراین تابع خود همبستگی آن بیشتر از حالت هوشیاری به ماکریتم مقدار خود می‌رسد. از طرف دیگر الگوریتم پتروشین بر اساس تغییر علامت مشتق سیگنال عمل می‌کند بنابراین توصیف کننده مناسبی برای بیهوشی عمیق می‌باشد. در حالات هوشیار و بیهوشی‌های خفیف که اندیس BIS آن بین ۶۰ و ۱۰۰ تغییر می‌کند، نوسانات تابع خود همبستگی نزدیک به هم می‌باشد بنابراین پتروشین قادر به تحلیل این مقادیر نمی‌باشد. در هنگام انتقال از بیهوشی‌های خفیف به حالت هوشیار تفاوت دامنه تابع خود همبستگی افزایش می‌یابد که اباعث می‌شود الگوریتم هایوچی مقادیر بیشتری برای حالات هوشیار تولید نماید.



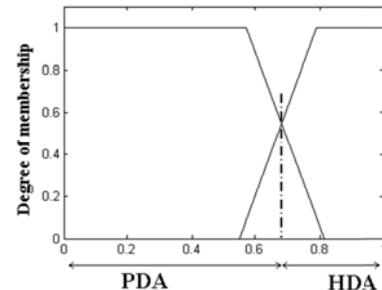
شکل ۱۰: (a) یک ثانیه از سیگنال خام مغز در حین بیهوشی عمیق. (b) تخمین تابع خود همبستگی این سیگنال



شکل ۱۱: یک ثانیه از سیگنال خام مغز در حین هوشیاری. (b) تخمین تابع خود همبستگی این سیگنال



شکل ۹: (الف) بیهوشی عمومی و عمیق با روش PDA از هم تفکیک شده‌اند.
(ب) جداسازی خوبی برای حالات هوشیار توسط روش HDA انجام شده است.



شکل ۹: دو تابع عضویت ذوزنقه‌ای که با یکدیگر همپوشانی دارند.

همانطور که در قسمت قبل ذکر شد بر روی سیگنالهای بدست آمده، ابتدا پیش پردازش‌هایی جهت حذف نویز انجام می‌شود و سپس تابع خود همبستگی بر روی سیگنال حذف نویز شده اعمال می‌شود. نتایج حاصل از اعمال این روال بر روی یک ثانیه، سیگنال ثبت شده از یک بیمار در شکل ۱۰ نشان داده شده است. اندیس ثبت شده توسط دستگاه BIS برای این بیمار برابر ۱۹ می‌باشد که این اندیس نشان دهنده بیهوشی عمیق است. در شکل ۱۱(a) محور افقی نشان دهنده زمان و محور عمودی نشان دهنده دامنه سیگنال می‌باشد. در شکل ۱۱(b) تخمین تابع خود همبستگی نشان داده شده است. شکل ۱۱ مشابه شکل ۱۰ سیگنال خام و تخمین تابع خود همبستگی آن برای یک ثانیه از ۱۰ سیگنال خام داده شده است. شکل ۱۱ نشان داده شده است که این اندیس نشان دهنده هوشیاری بیمار می‌باشد. ویژگیهای تابع خود همبستگی توسط بعد فرکتال پتروشین و بعد فرکتال هایوچی استخراج می‌شود. نتایج حاصل

$E_j^{(k)}$ جمع مربع انرژی ضرایب موجک در مقیاس \mathcal{Z} می باشد.
برای محاسبه انرژی کل در زمانها و مقیاسهای مختلف از رابطه زیر استفاده می نمائیم:

$$E_{tot} = \sum_j \sum_k |C_j(k)|^2 \quad (12)$$

انرژی نسبی تحلیل موجک، که احتمال توزیع در مقیاس \mathcal{Z} ام و با طول پنجه k می باشد توسط رابطه زیر بیان می شود:

$$p_j^{(k)} = \frac{E_j^{(k)}}{E_{tot}} = \frac{|C_j(k)|^2}{\sum_k |C_j(k)|^2} \quad (13)$$

همان طور که واضح است رابطه $1 = \sum_k \sum_j p_j^{(k)}$ به علت مجموع احتمالها برقرار است. آنتروپی زیرفضای تحلیل موجک در تمام زمانها و مقیاسها که $WCEE$ نامیده می شود از رابطه زیر بدست می آید:

$$H_{WT} = - \sum_j \sum_k p_j^{(k)} \cdot \log_2 [p_j^{(k)}] \quad (14)$$

همان طور که در بالا ذکر شد H_{WT} تخمینی از میزان بی نظمی سیگنال می دهد. در این قسمت اندیسی به نام H_{WT} برای هر ثانیه از سیگنال بدست می آید. مقدار اندیس بست آمده، همانند اندیس BIS حاصل بین 0 و 100 می باشد و این اندیس نشان دهنده عمق بیهوشی یا حالت بیمار در حین بیهوشی می باشد. این اندیس تخمین خوبی از عمق بیهوشی را بدست می دهد. پس از اعمال $WCEE$ ، پس پردازش ارائه شده در بخش ۳ بر روی نتایج انجام می شود. در قسمت بعد بهبود نتایج حاصل از اعمال الگوریتم $WCEE$ ملاحظه می شود.

۲-۴- نتایج

در این قسمت نتایج حاصل از اعمال روش ارائه شده بر روی 1870 ثانیه از سیگنال EEG که توسط دستگاه $BIS-XP$ ثبت شده اند، نشان داده شده است. ابتدا پیش پردازشایی جهت حذف نویز سیگنال چشم و سیگنال قلب بر روی سیگنالهای EEG انجام می شود و سپس آنتروپی انرژی ضرایب موجک توسط روش ارائه شده برای این سیگنالها محاسبه می شود. در نهایت پردازشایی بر روی نتایج حاصل از این مرحله به منظور قابل مقایسه شدن آن با الگوریتمهای موجود و همچنین کاهش نوسانات نتایج اعمال می شود. در شکل ۱۳ چهار BIS سیگنال که با روش $WCEE$ تحلیل شده اند در مقایسه با اندیس $WCEE$ نشان داده شده اند. همان طور که مورد انتظار ماست در بیهوشی های عمیق، کاهش بی نظمی منجر به کاهش پراکندگی ضرایب تحلیل موجک می شود و این امر کاهش آنتروپی این ضرایب را در بی دارد.

برای ارزیابی روش ارائه شده در شکل ۱۲، به مقایسه روش PHDA با اندیس BIS برای ۶ بیمار می پردازیم. در قسمت الف این اشکال اندیس BIS شش بیمار بر حسب زمان و در قسمت ب این اشکال، اندیس $PHDA$ بر حسب زمان نمایش داده شده است. همان طور که در این اشکال دیده می شود ارتباط نسبتاً خوبی بین BIS و $PHDA$ وجود دارد.

۴- روش پیشنهادی دوم: روشی کارا بر مبنی تحلیل موجک جهت تعیین عمق بیهوشی

در این بخش به منظور آماده سازی سیگنال، پیش پردازشایی بیان شده در بخش ۳.۱.۱ بر روی آن اعمال می شود سپس روش پیشنهادی دوم به شرح ذیل بیان می شود.

۴-۱- الگوریتم اصلی

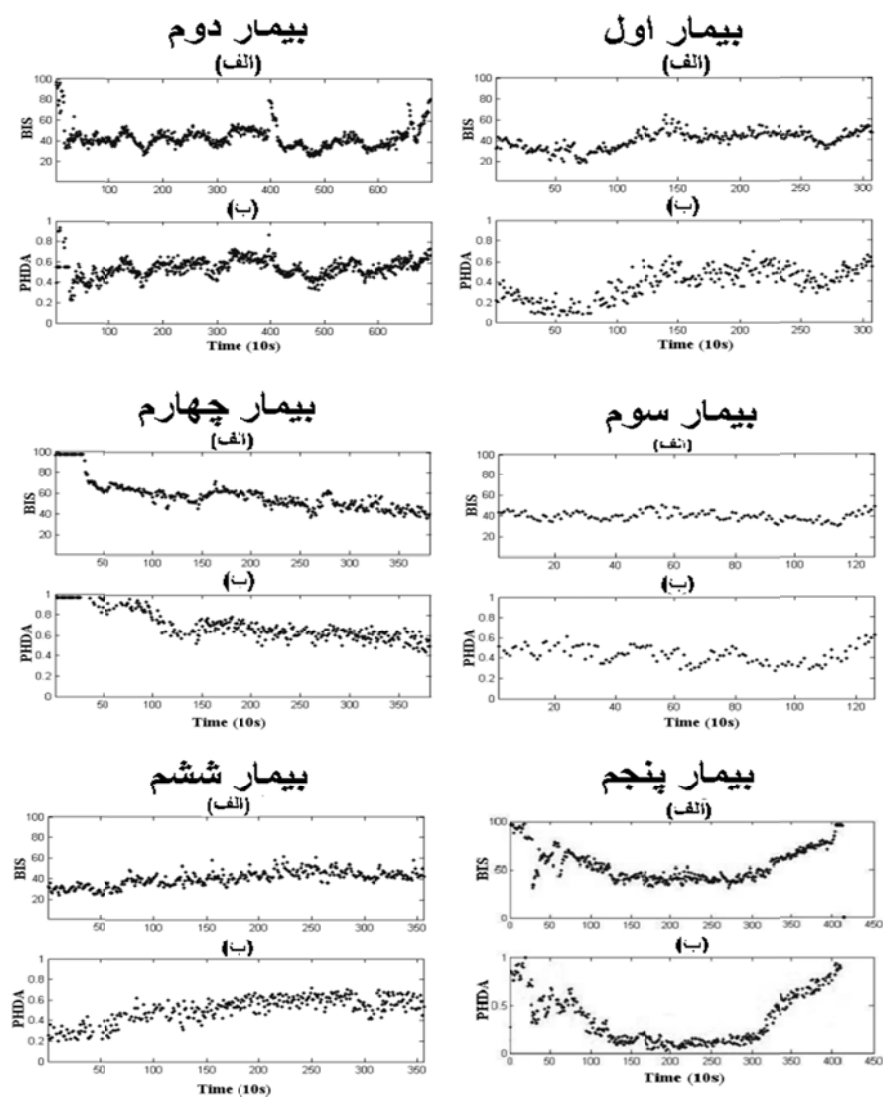
تحلیل موجک به علت داشتن ویژگی هایی چون نمایش زمان- فرکانس و همچنین استخراج ویژگی در مکان های خاصی از زمان و در مقیاسهای متفاوتی، ابزار مناسب برای پردازش سیگنال محسوب می شود. با استفاده از این خصلتها می توان ویژگی های زمان و مکان سیگنال EEG را استخراج نمود. تحلیل موجک قادر است سیگنال را به باندهای دلخواه تجزیه نماید که این مساله برای آنالیزهای بعدی سیگنال مفید خواهد بود. برای مثال با انتخاب مقیاس 3 برای تحلیل موجک، سیگنال به سه باند فرکانسی $8-10$ هرتز و $16-32$ هرتز تجزیه می شود. این بازه های فرکانسی مشابه باند تا و آلفا و بتا می باشند.

در این بخش معیاری برای تخمین کتی عمق بیهوشی براساس آنتروپی موجک ارائه شده است که این روش را آنتروپی انرژی ضرایب موجک^۱ می نامیم. روشهای مشابه ای در سایر مطالعات مانند بررسی بی نظمی یا منظم بودن سیگنال EEG [۱۳] و صرع [۵] و [۱۰] بکار برده شده اند.

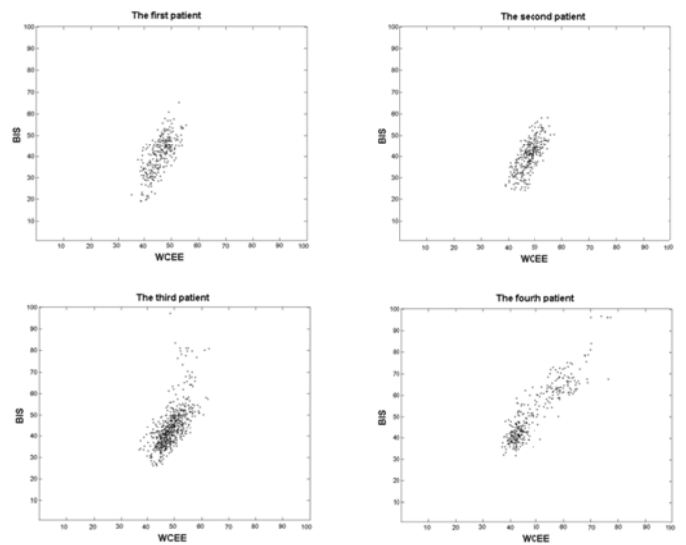
برای محاسبه آنتروپی انرژی ضرایب موجک، در ابتدا ضرایب سیگنال $C_j(k)$ در مقیاس \mathcal{Z} محاسبه می شود که در این روش \mathcal{Z} برابر 5 در نظر گرفته نی شود. برای تجربه سیگنال به مقیاسهای فرکانسی متفاوت از تبدیل موجک ایستا استفاده می کنیم. انرژی در مقیاس \mathcal{Z} ام با کمک رابطه زیر محاسبه می شود:

$$E_j^{(k)} = |C_j(k)|^2 \quad (11)$$

^۱ Wavelet Coefficient Energy Entropy (WCEE)

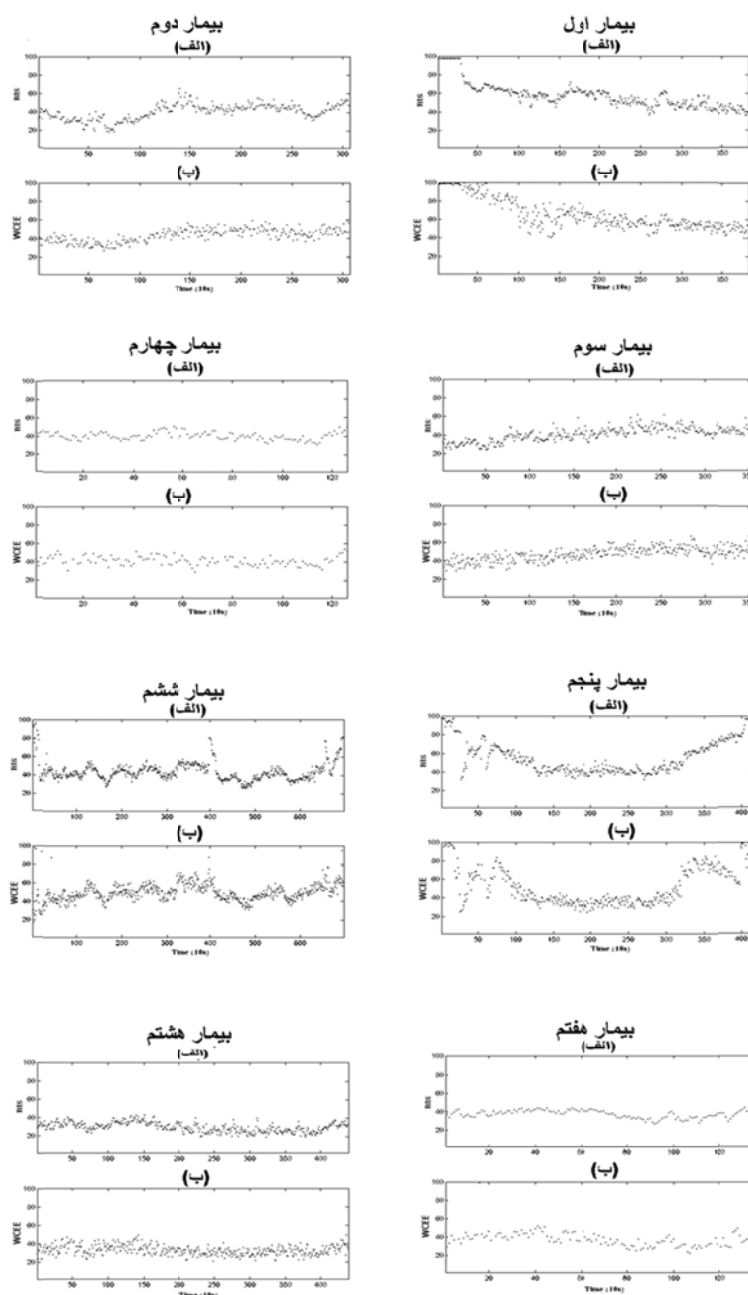


شکل ۱۲: اندیس BIS شش بیمار نسبت به زمان در مقایسه با PHDA



شکل ۱۳: مقایسه اندیس BIS و روش ارائه شده

های مختلف بیهوشی نتایج نزدیک به اندیس *BIS* بدست می‌دهد. برای ارزیابی روش ارائه شده در شکل ۱۴، به مقایسه روش *WCEE* با اندیس *BIS* برای ۸ بیمار می‌پردازیم. در قسمت الف این اشکال، اندیس *BIS* شش بیمار بر حسب زمان و در قسمت ب این اشکال، اندیس *WCEE* بر حسب زمان نمایش داده شده است. همان‌طور که در این اشکال دیده می‌شود ارتباط نسبتاً خوبی بین *BIS* و *WCEE* وجود دارد.



شکل ۱۴: اندیس *BIS* هشت بیمار نسبت به زمان در مقایسه با روش ارائه شده

بنابراین روش ارائه شده برای این حالت بیماری، اندیس با مقدار کم نسبت می‌دهد. برای حالات هوشیاری عکس این مطلب صادق است، به عبارتی برای این حالات به علت افزایش بی نظمی، مقدار اندیس اختصاص یافته به آن افزایش می‌یابد. در شکل ۱۶-الف اندیس *BIS* بیمار اول تا بیمار هشتم بر حسب زمان نمایش داده شده است و در قسمت (ب) اندیس *WCEE* بیمار اول تا هشتم بر حسب زمان نشان داده شده است. همان‌طور که دیده می‌شود اندیس *WCEE* در عمق

تابع خود همبستگی می باشد، ارائه شدن. روشهای ارائه شده برای استخراج ویژگیهای مفید سیگنال EEG مناسب می باشد. روش PHDA با ترکیب دو بعد فرکتال نتایج پایداری برای تخمین عمق بیهوشی فراهم می کند. در روش PHDA بعد پتروشین برای بیهوشی های عمیق و بعد هایوچی برای حالات هوشیار مورد استفاده قرار می گیرد. علاوه بر این روش توانایی تحلیل موجک برای تجزیه سیگنال به باندهای فرکانسی مختلف، آن را ابزاری کارا برای توصیف سیگنال EEG ساخته است. هر سطح بیهوشی شامل باندهای فرکانسی بخصوصی است که ارتباط بین این باندها توصیف کننده خوبی برای عمق بیهوشی می باشد. بنابراین میزان پراکندگی این ضرایب، اندیس WCEE، استفاده از آنروپی ضرایب تحلیل موجک به شیوه جدیدی برای تعیین عمق بیهوشی و همچنین بدست آوردن نتایج مقاومتری می باشد.

نتایج حاصل نشان می دهد روش پیش پردازش ارائه شده تاثیر نویز ماهیچه های سیگنال چشم، برق شهر و سایر وسائل الکترونیکی موجود در اتاق عمل را کاهش می دهد. علاوه دو الگوریتم ارائه شده تخمین خوبی از عمق بیهوشی بدست می دهد، همچنین نتایج حاصل سازگاری خوبی با اندیس BIS دارد. دو روش ارائه شده در کاربردهای دیگر پزشکی، نظری تشخیص صرع توسط سیگنال EEG و تشخیص حرکت توسط رابط بین کامپیوتر و مغز انسان^۱ نیز قابل اعمال است.

مراجع

- [1] Acharya, U. R., Faust, O., Kannathal, N., Chua, T., Laxminaryan, S. (2005). "Nonlinear analysis of EEG signals at various sleep stages", *Computer Methods and Programs in Biomedicine*, Vol. 80, 37-45.
- [2] Bosch, V., Mecklinger, A., Friederici, A. D. (2001) "Slow Cortical Potentials during Retention of Object, Spatial, and Verbal Information", *Cognitive Brain Research*, Vol. 10, 219-237.
- [3] Flandrin, P. (1999) *Time-Frequency/Time-Scale Analysis*, London, U.K.: Academic.
- [4] Harmony, T., Fernandez, T. (1996) " EEG Delta Activity: an Indicator of Attention to Internal Processing during Performance of Mental Tasks" *International Journal of Psychophysiology*, Vol. 24, 161-171.

¹ Brain Computer Interface (BCI)

در جدول ۱ و ۲ روشهای مختلف پیاده سازی شده در مقایسه با BIS برای ۹ بیمار آورده شده است. ستون اول شماره بیماران که از ۱ تا ۹ شماره گذاری شده است را نشان می دهد و سایر ستونها ضریب همبستگی روش مطرح شده در تیتر آن ستون با BIS را نشان می دهد. هر سطر ضریب همبستگی ۱۰ روش پیاده سازی شده با BIS را برای یک بیمار خاص نشان می دهد.

جدول ۱: ضریب همبستگی روشهای مختلف با BIS

Patient's number	PDA	PHDA	آنروپی طیفه مردم	آنروپی ضرایب موجک
(۱)	۰.۵۰۸۷	۰.۸۵۰۵	۰.۵۳۶۳	۰.۵۰۰۸
(۲)	۰.۸۱۵۹	۰.۸۸۶۰	۰.۶۴۲۳	۰.۷۸۳۰
(۳)	۰.۵۹۰۳	۰.۷۱۲۸	۰.۳۲۲۰	۰.۱۲۳۸
(۴)	۰.۳۶۳۰	۶۰۲۴	۰.۳۷۳۰	۰.۱۶۵۹
(۵)	۰.۴۴۸۲	۰.۸۰۲۰	۰.۴۹۵۳	۰.۲۲۳۳
(۶)	۰.۵۹۴۴	۰.۵۰۸۵	۰.۵۳۸۰	۰.۳۴۳۴
(۷)	۰.۵۰۵۹	۰.۶۴۵۶	۰.۴۵۷۰	۰.۲۷۷۴
(۸)	۰.۲۶۰۴	۰.۸۵۰۲	۰.۶۸۰۰	۰.۷۳۶۷
(۹)	۰.۵۸۳۰	۰.۸۰۶۶	۰.۶۰۸۳	۰.۴۰۳۱

جدول ۲: ضریب همبستگی روشهای مختلف با BIS

Patient's number	بعد فرکتالی پتروشین	آنروپی شانون	آنروپی طیفی	WCEE
(۱)	۰.۲۳۸۴	۰.۲۷۳۱	۰.۲۶۵۱	۰.۶۵۲۷
(۲)	۰.۸۸۸۱	۰.۸۱۵۷	۰.۷۳۴۱	۰.۷۹۱۸
(۳)	۰.۳۹۴۲	۰.۳۳۹۵	۰.۲۸۷۹	۰.۸۲۱۰
(۴)	۰.۱۴۹۹	۰.۲۰۳۷	۰.۱۷۵۵	۰.۶۰۹۳
(۵)	۰.۲۷۳۱	۰.۲۹۱۶	۰.۲۳۱۶	۰.۷۳۷۸
(۶)	۰.۵۰۲۲	۰.۲۵۷۹	۰.۱۸۸۱	۰.۶۱۳۳
(۷)	۰.۶۶۰	۰.۰۲۲۷	۰.۲۸۰	۰.۵۴۹۲
(۸)	۰.۷۱۳	۰.۲۴۷۹	۰.۲۳۸۴	۰.۸۰۳۱
(۹)	۰.۶۲۸۸	۰.۶۱۸۶	۰.۵۶۲۹	۰.۹۰۹۵

۵- نتیجه گیری

در این تحقیق به بررسی روشهای اساسی پردازش سیگنال به منظور کنترل بیهوشی پرداختیم. علاوه بر آن دو روش کارا برای تعیین عمق بیهوشی بنام PHDA و WCEE که به ترتیب، بر مبنی تبدیل موجک و

- [16] Shao-hua, L., Wei, W., Guan-nan, D., Jing-dong, K., Fang-xiao, H., Ming, T. (2009). "Relationship between depth of anesthesia and effect-site concentration of propofol during induction with the target-controlled infusion technique in elderly patients" *Chinese Medical Journal*, Vol. 122, No. 8: 935-940.
- [17] Sigl, J. C. and Chamoun, N. G. (1994). "An introduction to Bispectral analysis for the EEG" *Journal Clinical Monitoring*, Vol. 10, 392-404.
- [18] Stanski, D. R., (1994). *Monitoring depth of anesthesia*, R. D. Miller, Ed. New York: Churchill Livingstone.
- [19] TaskForce. 2006. "Practice advisory for intraoperative awareness and brain function monitoring." *Anesthesiology*, 104, No. 4: 847-864.
- [20] Zikov T, Bibian S, Dumont GA, Huzmezan M, Ries CR, Quantifying Cortical Activity During General Anesthesia Using Wavelet Analysis, IEEE Trans. On biomedical engineering 2006; 53.
- [21] Zoughi, T., Boostani, S. (2010) "Analyzing Autocorrelation Fluctuation of EEG Signal for Estimating Depth of Anesthesia", *IEEE conference ICEE2010 (Isfahan)*.
- [22] تکم ذوقی، رضا بوستانی، پیمان گیفانی (۱۳۸۸). "روشی نوین جهت بهبود توزیع Smoothed pseudo Wigner-Ville به منظور تعیین عمق بیهوشی"، پانزدهمین کنفرانس سالانه انجمن کامپیوتر ایران- تهران.
- [5] Hornero, R., Abasolo, D. E., Espino, P. (2003). "Use of wavelet entropy to compare the EEG background activity of epileptic patients and control patients" in *Proc. 7th International Symposium*, Vol. 2, 5-8.
- [6] Inouye, T., Shinotsaki, K., Sakamoto, H., Toi, S., Ukai, S., Iyama, A., Katsuda, Y. and Hirano, M. (1992). "Abnormality of background EEG determined by the entropy of power spectra in epileptic patients" *Electroencephalography and Clinical Neurophysiology*, Vol.82, No. 3: 203-207.
- [7] Jensen, E. W., Lindholm, P. and Henneberg, S. (1996). "Auto regressive modeling with exogenous input of auditory evoked potentials to produce an on-line depth of anaesthesia index" *Methods Inf. Med.*, Vol. 35, 256-260.
- [8] Kaul, H.L., Bharti, N. (2002). "monitoring depth of anesthesia" *Indian Journal Anesthesia*, Vol. 46, No. 4: 323-332.
- [9] Litvan, H., Jensen, E. W., Galan, J., Lund, J., Rodriguez, B. E., Henneberg, S. W., Caminal, P. and Villar Landeira, J. M. (2002). "Comparison of conventional averaged and rapid averaged, autoregressive-based extracted auditory evoked potentials for monitoring the hypnotic level during propofol induction" *Anesthesiology*, Vol. 97, No. 2: 351-358.
- [10] Mikaili, M., Hashemi, S. (2002). "Assessment of the complexity/regularity of transient brain waves (EEG) during sleep, based on wavelet theory and the concept of entropy" *Iranian J. of science and Technology*, Vol. 26, 639-646.
- [11] Orser, B. A. (2008). "Depth of Anesthesia Monitor and the Frequency of Intraoperative Awareness" *The New England Journal of Medicine*, Vol. 358, No. 11: 1189-1191.
- [12] Rampil, I. J. (1998). "A primer for EEG signal processing in anesthesia" *Anesthesiology*, Vol. 89, No. 4: 981-1001.
- [13] Rosso, O. A., Blanco, S., Rabinowicz, A. (2003). "Wavelet analysis of generalized tonic-clonic epileptic seizures" *Signal Processing*, Vol. 83, No. 6: 1275-1289.
- [14] Sebel, P. S., Bowdle, T. A., Ghoneim, M. M., Rampil, I. J., Padilla, R. E., Gan, T. J. and Domino, K. B. (2004). "The incidence of awareness during anesthesia: A multicenter United States study" *Anesthesia and Analgesia*, Vol. 99, No. 3: 833-839.
- [15] Shannon, C.E. and Weaver, W. (1949). *The Mathematical Theory of Communication*. University of Illinois Press, Urbana and Chicago, IL, USA, 1998 edition.

طراحی کنترل تطبیقی مقاوم به روش کلیدزنی با سرپرستی مبتنی بر نظریه فیدبک کمی و انتقال بدون پرش

امید نمکی شوشتاری^۱، علی خاکی صدیق^۲

^۱ دانشجوی دکترا مهندسی برق، گروه کنترل، دانشگاه صنعتی خواجه نصیرالدین طوسی، onamakis@dena.kntu.ac.ir

^۲ استاد دانشکده مهندسی برق و کامپیوتر، گروه کنترل، دانشگاه صنعتی خواجه نصیرالدین طوسی، sedigh@kntu.ac.ir

(تاریخ دریافت مقاله ۱۰/۱۱/۱۳۸۹، تاریخ پذیرش مقاله ۱۲/۱۴/۱۳۸۹)

چکیده: استفاده از کلیدزنی و سرپرستی و تلفیق آن با طراحی فیدبک کمی (QFT) برای فرایندهایی که گستره نامعینی وسیعی دارند، در این مقاله پیشنهاد شده است. در این راهکار مجموعه نامعینی به بازه‌های کوچکتری که به هر کدام یک فرایند (مدل) نامی اختصاص می‌یابد، تقسیم شود. با فرض اینکه مساله کنترل مقاوم را برای هر کدام از این بازه‌ها می‌توان با توری فیدبک کمی حل کرد، در ساختار پیشنهادی از یک تصمیم‌ساز رده بالا (سرپرست) برای کلیدزنی بین اجزای این بانک کنترل کننده‌ها استفاده می‌شود. سرپرست با بررسی ورودی - خروجی‌های فرایند نامعین و اعمال آن‌ها به مدل‌های نامی گردآوری شده در بانک مدل، کنترل کننده مناسب را وارد حلقه فیدبک می‌کند. برای تضمین پایداری سیستم کلی از منطق کلیدزنی هیسترزیس جهت کند کردن کلیدزنی استفاده می‌شود. با بکارگیری مثالهای معروف QFT بهبود عملکرد سیستم حلقه‌بسته نشان داده شده، همچنین کنترل مقاوم فرایندهای نامعینی وسیعی که علامت بهره (در فرایندهای تک‌ورودی-تک‌خروجی) و یا جفت مناسب ورودی - خروجی (در فرایندهای چندمتغیره) تغییر می‌کند و با یک کنترل کننده مقاوم QFT قابل انجام نیستند، حل می‌شود. همچنین بمنظور انتقال بدون پرش ناشی از کلیدزنی ایده اشتراک حالت بکار می‌رود.

کلمات کلیدی: کنترل مبتنی بر کلیدزنی و با سرپرستی، کنترل مقاوم، تئوری فیدبک کمی، انتقال بدون پرش.

Design of Supervisory Based Switching QFT Controllers with Bumpless Transfer

O. Namaki-Shoushtari, A. Khaki Sedigh

Abstract: In this paper, the problem of supervisory based switching Quantitative Feedback Theory (QFT) control is proposed for the control of highly uncertain plants. In the proposed strategy, the uncertainty region is divided into smaller regions with a nominal model. It is assumed that a QFT controller-prefilter exists for robust stability and performance of the smaller uncertainty subsets. The proposed control architecture is made up by these local controllers, which commute among themselves in accordance with the decision of a high level decision maker called the supervisor. The supervisor compares the candidate local model behaviors with the one of the real plant and selects the controller corresponding to the best fitted model. A hysteresis switching logic is used to slow down switching for stability reasons. It is shown that this strategy improves closed loop performance, and can also handle the uncertainty sets that cannot be tackled by a single QFT robust controller. The multirealization technique to implement a family of controllers is employed to achieve bumpless transfer. Simulation results show the effectiveness of the proposed methodology.

Keywords: Switching Supervisory Adaptive Control, Robust Control, QFT, Bumpless Transfer.

بگیرید که در آن کاربر با درنظر گرفتن تغییرات شرایط کاری متناسب با

۱- مقدمه

یکی از راهکارهای کنترلی سیستم‌های پیچیده ترکیب منطق با دینامیک‌های پیوسته است. برای مثال یک محیط صنعتی را در نظر

یکی از مزایای بالقوه کنترل با سرپرستی نسبت به نگرش سنتی کنترل تطبیقی سرعت تعابق است؛ بدلیل اینکه فرایند یادگیری محدود به تغییرات پیوسته نیست، تعابق بر روی خط در مقابل تغییرات ناگهانی در فرایند یا اهداف کنترلی، می‌تواند سریعتر انجام شود. تعابق سریع در مواردی که فرایند محتتملاً دستخوش تغییرات ناگهانی خواهد شد (مثلًا در اثر خارجی یا تداخلات خارجی) از اهمیت ویژه‌ای برخوردار است، چرا که ممکن است باعث ناپایداری سیستم شود یا عملکرد را بشدت کاهش دهد. یکی دیگر از ویژگی‌های دیدگاه کنترل با سرپرستی پیمانه‌ای بودن^۴ آن است [۱]. اصولی که طراحی مقاوم کلیدزنی، تخمین‌زن‌ها و کنترل کننده‌های کاندیدا بر اساس آن‌ها نهاده می‌شود، متقابلاً مستقلند. بنابراین می‌توان از قوانین کنترلی مختلفی بهره برد. بر این اساس، در [۳] از PID در طراحی یک ساختار تطبیقی مدل‌های چندگانه برای کنترل pH استفاده شده است. در [۴] ساختار کنترل تطبیقی مبتنی بر مدل‌های چندگانه با تلفیق طراحی مقاوم (ونه تطبیقی) «سنتر لم مخلوط» و مفهوم آزمون فرض تصادفی معروفی شده است. ایده تلفیق کلیدزنی و طراحی فیدبک کمی با هدف غلبه بر محدودیت‌های کنترل کننده‌های خطی QFT در [۵] مطرح شده است. تئوری فیدبک کمی (QFT) یک راهکار قدرتمند طراحی مقاوم ارایه می‌نماید که در آن طراح در روند طراحی کنترل، بطور شفاف مصالحه‌های بین اهداف عملکردی و محدودیت‌های موجود را (که غالباً در تعارض با هم قرار دارند) تجربه می‌کند. در تئوری فیدبک کمی، هدف طراحی جبرانسازی با کمترین هزینه فیدبک (پنهانی باند سیستم حلقه بسته) است که مشخصات پایداری و کارایی مورد نظر را با وجود نامعینه‌های موجود در مدل فرایند و اغتشاشات بیرونی (بطور مقاوم) برآورده کند [۶ و ۷]. در [۵] از طریق تلفیق کلیدزنی با طراحی مقاوم QFT سرعت پاسخ سیستم بواسطه تعابق سریع پارامترهای کنترل کننده در حین پاسخ گذرا و (صرفًا) بر اساس اندازه‌گیری دامنه خطأ (ردیابی) بهبود داده شده است. در این مقاله، با تلفیق ایده‌های کلیدزنی و سرپرستی در روند طراحی فیدبک کمی روش طراحی تطبیقی مقاومی معروفی می‌شود. در این روش، بازه (واسع) نامعینه به زیربازه‌های کوچکتری تفکیک می‌شود. برای فرایند نامی هر زیر بازه و نامعینی متناظر، مساله برآورده کردن مشخصه‌های پایداری و عملکرد مقاوم از طریق کنترل کننده حل QFT می‌شود. انتخاب کنترل کننده مناسب توسط یک

وروودی مبنای یک رشته کنترل کننده‌های PID را تنظیم می‌کند. در این حالات می‌توان کاربر را عنصری از حلقه فیدبک در نظر گرفت که دینامیک‌های پیوسته را با قواعد مبتنی بر منطق تنظیم می‌کند. مساله اساسی در این مقاله کنترل سیستم‌های پیچیده‌ای است که بواسطه گستره نامعینی وسیع، روش‌های استاندارد و مرسوم کنترل مقاوم مبتنی بر طراحی کنترل کننده‌ای واحد برای این سیستم‌ها عملکرد رضایت‌بخشی فراهم نمی‌آورند. در این حالت می‌توان از یک ساختار کنترل سلسه مراتبی مرکب از چند-کنترل کننده (بانک کنترل کننده) و یک سرپرست که با کلیدزنی، کنترل کننده مناسب را در حلقه فیدبک قرار می‌دهد، بهره گرفت [۱].

در کنترل مبتنی بر کلیدزنی گستره وسیع نامعینی به زیربازه‌های کوچکتر که هریک با یک فرایند نامی همراه با نامعینی (کمتر) بیان می‌شوند، تفکیک می‌شود. با فرض اینکه برای حل مساله کنترل مقاوم مربوط به این زیربازه‌ها بتوان کنترل کننده‌ای طراحی کرد، بانکی از کنترل کننده‌های کاندیدا ایجاد شده، یک تصمیم ساز رده بالا (سرپرست) بر اساس اندازه‌گیری‌هایی که بهصورت بروی خط^۱ از ورودی و خروجی فرایند انجام می‌گیرد، بین آنها کلیدزنی می‌کند. واحد سرپرستی از یک بانک مدل (فرایندهای نامی متناظر با زیربازه‌های کوچکتر نامعینی)، «مولد سیگنال پایش^۲» (که از سیگنال‌های اندازه‌گیری برای تعیین کارایی کنترل کننده کاندیدای در حال کار و کارایی بالقوه سایر کنترل کننده‌ها استفاده می‌کند) و منطق کلیدزنی تشکیل می‌شود. در هر لحظه از زمان، سرپرست کنترل کننده مناسب را در حلقه فیدبک فعال می‌کند [۲]. مشابه با نگرش کلاسیک کنترل تطبیقی، زمانی که تخمین جدیدی از پارامترهای فرایند بدست آمد (براساس اندازه‌گیری‌های انجام شده)، یکی از مدل‌ها به فرایند واقعی نزدیکتر تشخیص داده شد، پارامترهای کنترل کننده توسط سرپرست بروز می‌شوند (کنترل کننده طراحی شده بر اساس این مدل وارد حلقه فیدبک می‌شود)، با این توضیح که این کار در زمان‌های مجزایی انجام می‌شود. برخلاف کنترل تطبیقی مرسوم، مکانیزم تعابق بصورتی گستره و با کلیدزنی محقق می‌شود و به بیان دیگر روند شناسایی و کنترل بطور پیوسته روی هم اثری ندارند و تنها در زمان‌های کلیدزنی و در صورت لزوم، کنترل کننده بر اساس مدلی که به فرایند (نامعین) واقعی شبیه‌تر تخمین زده شده، اصلاح می‌شود.

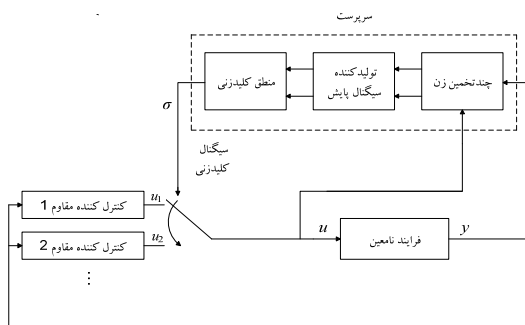
⁴ Modularity
⁵ Quantitative Feedback Theory

¹ Set-point
² Online Monitoring Signal Generator

۳- مقدمات طراحی

۳-۱- کنترل مبتنی بر کلیدزنی و سرپرستی

در این قسمت به اختصار ساختار کنترل با کلیدزنی و سرپرستی را که به نوعی از روش‌های تطبیقی برای کنترل فرایندهای با نامعینی زیاد بشمار می‌رود، مرور می‌کنیم (شکل ۱ را ببینید). برای جزئیات بیشتر به [۱] و [۲] و مراجع آنها مراجعه شود.



شکل ۱- معماری کنترل مبتنی بر کلیدزنی و سرپرستی

فرایند خطی نامعین M_p را که توسط پارامتر p پارامتریزه شده در نظر بگیرید. چنانچه $*M_p$ مقدار واقعی ولی نامعلوم p باشد، تحقق متناظر با M_p بصورت زیر است:

$$\mathcal{M}_{p^*} : \begin{cases} \dot{x} = A_{p^*}x + B_{p^*}u \\ y = C_{p^*}x \end{cases} \quad (1)$$

که در آن $x \in \mathbb{R}^{nx}$ بردار متغیرهای حالت، $u \in \mathbb{R}^{nu}$ بردار ورودی و $y \in \mathbb{R}^{ny}$ بردار خروجی سیستم است. پارامتر $p^* \in \mathbb{R}^{np}$ نیز به مجموعه متناهی $\{p_1, \dots, p_m\} = \mathcal{P}$: تعلق دارد. همچنین فرض می‌شود که برای هر $p \in \mathcal{P}$ زوج (A_p, B_p) پایداری پذیر و (A_p, C_p) آشکاری پذیر است. معماری کنترل تطبیقی با سرپرستی همانطور که در شکل ۱ نمایش داده شده است، مشتمل بر خانواده‌ای از کنترل کننده‌ها و سرپرست است. سرپرست نیز از چند-تخمین زن (بانک مدل)، واحد مولد سیگنال پایش و منطق کلیدزنی تشکیل شده که با تولید سیگنال کلیدزنی در هر لحظه از زمان تعیین می‌کند که کدام کنترل کننده فعال باشد.

چند-تخمین زن: این قسمت برای ارزیابی این که کدام مدل مجاز با فرایند واقعی همخوانی بیشتری دارد، بکار می‌رود. چند-تخمین زن شامل مجموعه‌ای از مدل‌ها است که هر کدام متناظر با یک مقدار ثابت پارامتر $p \in \mathcal{P}$ در نظر گرفته می‌شود. از طریق اعمال ورودی فرایند u و خروجی آن y ، به مجموعه مدل‌ها، مجموعه‌ای از خروجی‌های \mathcal{P} ، y_p بدست می‌آید. چند-تخمین زن باید بگونه‌ای

ساختار سرپرستی و بر اساس سیگنال‌های پایش انجام می‌شود. برای تضمین پایداری سیستم کلی (دارای کلیدزنی)، با منطق هیسترزیس [۸] کلیدزنی کنده می‌شود. با بکارگیری مثالهای معروف QFT بهبود عملکرد سیستم حلقه‌بسته نشان داده می‌شود. همچنین حل مسائلی که با یک کنترل کننده مقاوم QFT قابل انجام نیست، نظریه کنترل مقاوم فرایندهای با نامعینی وسیعی که علامت بهره (در فرایندهای تک‌ورودی-تک‌خروجی) و یا جفت مناسب ورودی-خروجی (در فرایندهای چندمتغیره) تغییر می‌کند، با روش پیشنهادی انجام می‌شود. بهمنظور انتقال بدون پرش ناشی از کلیدزنی بین کنترل کننده‌ها ایده «چند-تحقیقی»^۱ بکار می‌رود. طراحی کنترل کننده کلیدزن تک‌ورودی-تک‌خروجی با کنترل کننده‌های مقاوم QFT در [۹] و حالت چندمتغیره آن در [۱۰] آورده شده است. این مقاله چارچوب واحدی برای طراحی کنترل کننده‌های کلیدزنی QFT با انتقال بدون پرش ارایه می‌کند.

در ادامه، بیان مسأله در بخش ۲ آورده شده است. در بخش ۳، مقدمات لازم برای طراحی به روش پیشنهادی شامل کنترل مبتنی بر کلیدزنی و طراحی فیدبک کمی به اختصار مرور می‌شود. ساختار پیشنهادی تطبیقی مقاوم در بخش ۴ ارایه و مزایای آن با شیوه‌سازی‌های بخش ۵ نشان داده شده است. در بخش پایانی نتیجه‌گیری ارایه می‌شود.

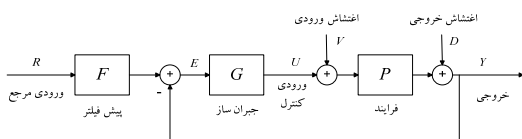
۲- بیان مسأله

در این مقاله سیستم‌های خطی را که توابع تبدیل آنها (اعم از اسکالر یا ماتریس تابع تبدیل) دارای پارامترهای نامعینی است و نیز در معرض اغتشاش قرار دارند در نظر می‌گیریم. البته در اینجا فرض بر این است که محدوده تغییرات پارامترها (باذه نامعینی) مشخص است. همچنین بدليل گستره وسیع نامعینی استفاده از یک کنترل کننده ثابت عملکرد رضایت‌بخشی را فراهم نمی‌آورد. لذا استفاده از ساختار سرپرستی و کلیدزنی بین چند کنترل کننده برای بهبود عملکرد سیستم حلقه‌بسته پیشنهاد می‌شود. برای حل مسأله رديابی مقاوم با وجود نامعینی و در حضور اغتشاش از تئوری فیدبک کمی (QFT) بهره می‌گیریم. به بیان دیگر، در ساختار پیشنهادی سرپرست از بین تعدادی کنترل کننده QFT، کنترل کننده مناسب را تعیین می‌کند. در بخش بعد، به مرور روند طراحی کنترل با کلیدزنی و طراحی فیدبک کمی می‌پردازیم.

که در آن $h > 0$ که ثابت هیسترزیس خوانده می‌شود، یک پارامتر طراحی است که از کلیدزنی زیاد جلوگیری می‌کند. هم از نظر تئوری (تضیین پایداری) و هم بدلیل محدودیت‌های عملی مطلوب است که کلیدزنی با سرعت کمتری انجام شود. استفاده از ثابت هیسترزیس در جهت تامین این خواسته است. بدین ترتیب ورودی کنترل اعمالی به فرایند سیگنال $u(t) = u_0(t)$ است (۵) سیگنال کلیدزنی است.

۲-۳- طراحی فیدبک کمی

تئوری فیدبک کمی (QFT) یک ابزار قدرمند در طراحی کنترل مقاوم برای سیستم‌های نامعین است. این دیدگاه کمی روشهای روشی را برای طراحی معروفی می‌کند که این امکان را برای طراح فراهم می‌آورد که در روند طراحی مصالحه‌های لازم و محدودیتها را بصورت شفاف تجربه کند ([۷]). این راهکار از یک ساختار دو درجه آزادی که در شکل ۲ نمایش داده شده، بهره می‌برد و بوسیله برای فرایندهای چندمتغیره، طراحی غیرمت مرکز QFT از یک جبران‌ساز قطعی با ماتریس‌های $G(s)$ و یک پیش‌فلتر $F(s)$ برای دستیابی به اهداف عملکردی سیستم حلقه‌بسته شکل ۲ بهره می‌گیرد. در شکل ۲ $P(s)$ فرایند نامعین (چندمتغیره) است. در ادامه مرور سریعی بر طراحی کنترل مقاوم خواهیم داشت.



شکل ۲- ساختار دو درجه آزادی طراحی فیدبک کمی

سیستم‌های تک‌ورودی-تک‌خروجی؛ طراحی براساس QFT که در حوزه فرکانس انجام می‌گیرد، ارتباط نزدیکی با طراحی‌های کلاسیک بر مبنای نمودارهای «بودی» دارد. برخی از مشخصه‌های عملکردی مطلوب معمول در QFT که به صورت قیدهایی بر اندازه توابع انتقال متاظر بیان می‌شوند، بقرار زیر است. مطلوب این است که این اهداف با وجود نامعینی و در حضور اغتشاش براورده شوند.

- پایداری مقاوم (حاشیه بهره و فاز)

$$\left| F \frac{PG}{1+PG} \right| \leq WS_1$$

- مسئله ردیابی با ساختار دو درجه آزادی

$$WS_{2a} \leq \left| F \frac{PG}{1+PG} \right| \leq WS_{2b}$$

طراحی شود که همواره برای یکی از مقادیر پارامتر $\mathcal{P} \in \hat{\mathcal{P}}$ شرط اطمیاق زیر برای هر $t \geq t_0$ و هر ورودی u براورده شود:

$$(2) |y_{\hat{p}}(t) - y(t)| \leq c_e e^{-\lambda_e(t-t_0)} |y_{\hat{p}}(t_0) - y(t_0)|$$

که در آن $c_e \geq 0$ و $\lambda_e > 0$ است. یک چند-تخمین زن مناسب برای فرایند (۱) که شرط فوق را دارا باشد، را می‌توان بصورت زیر با بردار متغیرهای حالت $(\hat{x}_1, \dots, \hat{x}_n) = \hat{x}_E$ درنظر گرفت:

$$(3) \dot{\hat{x}}_p = A_p \hat{x}_p + B_p u + L_p (y_p - y), \\ y_p = C_p \hat{x}_p,$$

که در آن $p \in \mathcal{P}$ است و شرط (۲) برای $p^* = \hat{p}$ برقرار می‌شود اگر ماتریس‌های L_p بگونه‌ای باشد که ماتریس $(A_p + L_p C_p)$ (برای هر $p \in \mathcal{P}$) هرویتر باشد. (توجه کنید که از رابطه (۳) برای $p^* = \hat{p}$ نتیجه می‌شود که $y = C_{p^*} x$ و $(d/dt)(x_{p^*} - x) = (A_{p^*} + L_{p^*} C_{p^*})(x_{p^*} - x)$).

باتک کنترل کننده: این قسمت از مجموعه‌ای از کنترل کننده‌های کاندیدا تشکیل شده که توابع تبدیل آنها بصورت $\{G_p\}$ است. این کنترل کننده‌ها بگونه‌ای طراحی شده‌اند که هریک برای یک $p \in \mathcal{P}$ اهداف مطلوب کنترلی را برای سیستم حلقه‌بسته فراهم می‌آورند. (در اینجا G_p از طریق طراحی فیدبک کمی بگونه‌ای طراحی می‌شود که مشخصات پایداری و عملکرد مقاوم را تامین کند).

سیگنال‌های پایش: این سیگنال‌ها ($\mu_p, p \in \mathcal{P}$) بصورت نرم انگرالی خطاهای تخمین $(y_p - y)$ تعریف می‌شوند. در این کار سیگنال‌های پایش بصورت زیر درنظر گرفته شده‌اند:

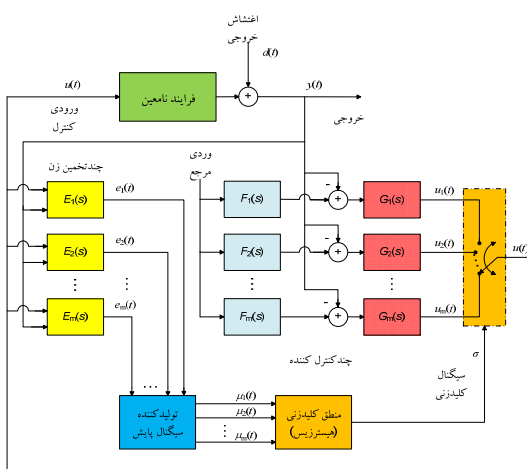
$$(4) \mu_p := \mathcal{E}_0 + \int_0^t e^{-\lambda(t-s)} \gamma \|y_p(s) - y(s)\|^2 ds$$

که در آن $0 < \gamma, \lambda < \lambda_0$ بوده، $(0, \lambda_0)$ است. نرم برداری است و مقادیر \mathcal{E}_0 و λ پارامترهای طراحی هستند. مقدار λ نیز به مقادیر ویژه سیستم حلقه‌بسته مربوط است (برای جزئیات بیشتر به [۲] مراجعه شود). شایان توجه است که تداخلات بین خروجی‌های سیستم چندمتغیره نیز در بردار خطای تخمین درنظر گرفته می‌شود.

منطق کلیدزنی: سیگنال کلیدزنی که کنترل کننده فعل را در هر لحظه از زمان مشخص می‌نماید، از طریق منطق کلیدزنی تولید می‌شود. در اینجا از منطق کلیدزنی «هیسترزیس مستقل از مقیاس» بصورت زیر ([۱۱]) استفاده می‌شود.

$$(5) \sigma(t) := \begin{cases} \arg \min_{q \in \mathcal{P}} \mu_q(t) & \text{if } \exists q \in \mathcal{P} \text{ such that} \\ (1+h) \mu_q(t) \leq \mu_{\sigma(t^-)}(t) \\ \sigma(t^-) & \text{else,} \end{cases}$$

از کنترل کننده دوم استفاده می‌شود که پنهانی باند را به منظور تضعیف اثر نویز کاهش می‌دهد و با افزایش بهره فرکانس پایین موجب کاهش خطای ردیابی می‌شود. در این کار با هدف استفاده از معیار گرافیکی پیشنهادی برای تضمین پایداری سیستم حلقه‌بسته، هر دو کنترل کننده قطب‌های یکسانی باید داشته باشند که این قید عملکرد سیستم حلقه‌بسته را محدود می‌کند. در ادامه بدون درنظر گرفتن این قید، از QFT برای طراحی بانک کنترل کننده مورد استفاده در ساختار کلیدزنی و سربرستی (شکل ۳) بهره می‌گیریم و برای تضمین پایداری سیستم کلی دارای کلیدزنی، منطق هیسترزیس را بکار می‌بریم. همچون روند طراحی QFT، ابتدا طراحی برای سیستم تک‌خروجی-تک‌خروجی انجام شده، سپس به سیستم‌های چندمتغیره گسترش می‌یابد.



شکل ۳- ساختار پیشنهادی برای تلفیق ایده‌های کلیدزنی و سربرستی و طراحی فیدبک کمی

در مورد سیستم‌هایی که نامعینی پارامتری گسترهای دارند دو حالت مختلف امکان وجود دارد:

- ۱- برای کل مجموعه نامعینی یک پاسخ کنترل QFT وجود دارد، ولی عملکرد سیستم حلقه‌بسته به حد مطلوب رضایت‌بخش نیست.
- ۲- بدليل نامعینی زیاد سیستم آنچنان پیچیده است که با یک ساختار ثابت QFT (شکل ۲) نمی‌توان پایداری و عملکرد مقاوم را تأمین کرد. برای مثال دو حالت در اینجا مورد توجه قرار می‌گیرد: (الف) تغییر علامت بهره فرایند (در فرایندهای تک‌خروجی-تک‌خروجی) و (ب) تغییر جفت مناسب ورودی- خروجی (در فرایندهای چندمتغیره) بواسطه نامعینی گستره فرایند.

در این مقاله برای فرایندهای تک‌خروجی-تک‌خروجی هر دو حالت و برای فرایندهای چندمتغیره حالت دوم درنظر گرفته می‌شود.

• تضعیف اغتشاش اعمال شاهد در خروجی فرایند

$$\left| F \frac{1}{1+PG} \right| \leq W_{S_3}$$

• تضعیف اغتشاش اعمال شاهد در ورودی فرایند

$$\left| F \frac{P}{1+PG} \right| \leq W_{S_4}$$

که در آن W_{S_i} مشخصه مطلوب بر روی اندازه تابع انتقال مربوطه را نشان می‌دهد.

سیستم‌های چندخروجی-چندخروجی: برای حل یک مساله طراحی چندمتغیره $n \times n$ به روش غیرمت مرکز، مساله به n مساله طراحی تک‌خروجی (چندخروجی-تک‌خروجی) تبدیل می‌شود که برای هر یک نامعینی‌های پارامتری، اغتشاش‌های بیرونی و اهداف مطلوب از روی مساله (چندمتغیره) اصلی نتیجه می‌شود. همچنین تداخلات بین زیرسیستم‌های چندخروجی-تک‌خروجی به صورت اغتشاش درنظر گرفته می‌شود. هدف طراحی می‌تواند دنبال کردن ورودی مبنای توسط خروجی‌ها باشد. به بیان دیگر سیستم حلقه‌بسته پایدار بوده و قیدهای زیر را ارضاء نماید.

$$\begin{aligned} |t_{ij}(j\omega)| &\leq b_{ij}(\omega), \quad i \neq j, \\ 0 \leq a_{ii}(\omega) &\leq |t_{ii}(j\omega)| \leq b_{ii}(\omega), \end{aligned} \quad (6)$$

که در آن $[t_{ij}(s)] = T(s)$ ماتریس نسبت کترلی (تابع تبدیل چندمتغیره) است. عبارت $D_i / r_i = y_i$ ارتباط بین خروجی y_i و ورودی r_i را بیان می‌کند. ماتریس‌های $[a_{ij}(s)] = B(s)$ و $[A(s)] = [a_{ij}(s)]$ نیز به ترتیب، کران‌های مطلوب پایینی و بالایی برای ردیابی مساله چندخروجی-چندخروجی اند.

۴- استفاده از کلیدزنی و سربرستی در طراحی فیدبک کمی

تلفیق ایده‌های کلیدزنی در طراحی فیدبک کمی با انگیزه غله بر محدودیت‌های کنترل QFT، در [۵] پیشنهاد شده است. در این کار در هر لحظه از زمان، بسته به حالت فرایند برخی مشخصه‌ها بر سایرین اولویت داده می‌شوند. کنترل کننده مناسب با توجه به دامنه خطای کلیدزنی فعل می‌شود. از دو کنترل کننده استفاده شده که یکی سرعتر، پایدارتر (با حاشیه فاز و بهره بیشتر) ولی با دقت کمتر است و در مواردی بکار گرفته می‌شود که دامنه خطای (ردیابی) زیاد است و خروجی از ورودی مرجع دور است. زمانی که دامنه خطای کوچک باشد،

فضای حالت برای آن سیستم مطرح است، مسأله چند-تحقیقی را می‌توان به صورت یافتن یک نمایش فضایی حالت با پارامترهای قابل تنظیم برای یک مجموعه از توابع تبدیل مطرح نمود. در [۱۳ و ۱۴]، این مسأله برای سیستم‌های کنترل چندمتغیره (اکیدا سره)، با استفاده از صورت پوپوف برای ماتریس‌های چندجمله‌ای با چند-تحقیقی به صورت مسأله است. در [۱۶] راه حل جدیدی با استفاده از ماتریس چندجمله‌ای به صورت هرمیت برای مسأله چند-تحقیقی به صورت $\{A_0 + L_i C_0, B_i, C_0\}$ حل شده است. در [۱۷] راه حل جدیدی با استفاده از ماتریس چندجمله‌ای از ماتریس‌های تابع تبدیل ارایه شده است که بسیار آسان‌تر از روش قبلی است و از مزایای دیگری همچون سادگی پیاده‌سازی نسبت به روش قبلی برخوردار است. در این چند-تحقیقی A_0 ماتریسی پایدار و زوج (رویت‌پذیر است. در شبیه‌سازی‌های بخش بعدی به منظور بهبود پاسخ‌ها از روش اخیر برای پیاده‌سازی بانک کنترل کننده (جبران‌سازها و پیش‌فیلترهای کنترل QFT) بهره گرفته می‌شود. همچنین جهت سهولت، از این ایده می‌توان در پیاده‌سازی تخمین‌زن‌ها (بانک مدل) نیز استفاده کرد.

۵- مطالعات شبیه سازی

در این بخش از یک فرایند نامعین تک‌وروودی- تک‌خرسچی و یک فرایند چندمتغیره برای بررسی کارایی روش پیشنهادی استفاده می‌شود. لازم به تذکر است که این دو مثال بارها در مقالات مختلف برای طراحی‌های فیدبک کمی به کار گرفته شده‌اند (برای مثال به [۷ و ۱۷] مراجعه شود).

۱-۵- سیستم‌های نامعین تک‌وروودی- تک‌خرسچی

نخست فرایند نامعین زیر را در نظر بگیرید:

$$\mathcal{M}_1(s) = \frac{ka}{s(s+\alpha)},$$

برای نشان دادن دو حالت جداگانه‌ای که در بخش قبل ذکر شد، نامعینی این فرایند به دو صورت در نظر گرفته می‌شود:
حالت ۱: نامعینی فرایند به صورت $k \in [1, 10]$ ، $a \in [1, 10]$. مشخصه‌های مطلوب سیستم حلقه‌بسته (با وجود نامعینی و در حضور اختشاش) عبارتند از:

- پایداری مقاوم (حاشیه بهره و فاز): با قید $\left| \frac{L_f}{1+L_f} \right| \leq 1.2$ ، $\omega > 0$
- ردیابی مقاوم:

فرایند مورد بررسی یک سیستم خطی نامعین با ورودی u و خروجی z است که در مععرض اختشاش (خرسچی) d قرار دارد. سیستم پایداری‌پذیر و آشکاری‌پذیر فرض می‌شود. همچنین فرض بر این است که (ماتریس) تابع تبدیل فرایند متعلق به دسته‌ای مشخص از توابع تبدیل مجاز به صورت زیر است:

$$\mathcal{M} := \bigcup_{p \in \mathcal{P}} \mathcal{M}_p$$

که در آن پارامتر p در مجموعه متناهی \mathcal{P} مقدار اختیار می‌کند. مجموعه فرایند \mathcal{M}_p نیز شامل یک فرایند نامی v_p و دینامیک‌های مدل‌نشده بصورت زیر است:

$$\mathcal{M}_p := \{v_p(1 + \delta_m) + \delta_a : \|\delta_m\|_{\infty, \lambda} \leq \epsilon, \|\delta_a\|_{\infty, \lambda} \leq \epsilon\},$$

که در آن $\epsilon > 0$ و $\lambda \geq 0$ مقدادر دلخواه هستند، $\|\cdot\|_{\infty, \lambda}$ بیانگر \mathcal{H}_{∞} وزن‌دهی شده با $e^{\lambda t}$ (ماتریس) تابع تبدیل است. $\bar{\sigma}(v) := \sup_{t \in \mathbb{R}} \|v(t)\|_{\infty, \lambda}$ برای ماتریس تابع تبدیل که (.) پیک مقدار تکین بیشینه است. بدین ترتیب، کل فضای نامعینی فرایند به نواحی کوچکتری افزار می‌شود که هریک با مقداری از پارامتر p و مدل \mathcal{M}_p بیان می‌شوند. با در نظر گرفتن نامعینی و اختشاش متناظر با هر کدام از این نواحی کوچکتر، یک کنترل کننده QFT برای دستیابی به پایداری و ردیابی مقاوم طراحی می‌شود. (برای فرایند چندمتغیره با تعیین جفت ورودی- خروجی مناسب از کنترل غیرمتتمرکز QFT (کنترل کننده قطری) استفاده می‌شود).

همچنین در بخش بانک مدل از تخمین‌زن‌هایی به شکل زیر استفاده می‌شود که در آن $p \in \mathcal{P}$ و A_E ماتریسی پایدار است.

$$\dot{x}_E = A_E x_E + L_E y + B_E u, \quad y_p = C_p x_E, \quad e_p = y_p - y, \quad (7)$$

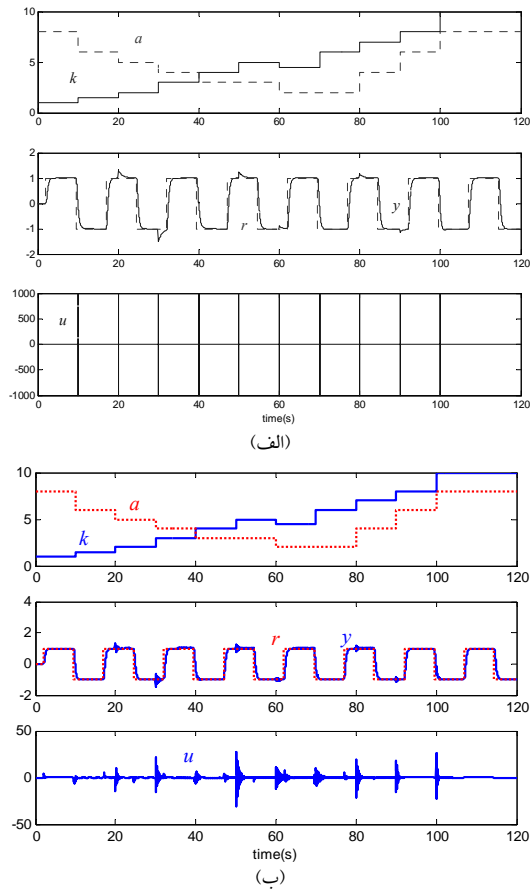
۱-۶- انتقال بدون پرش

یکی از مشکلات مهم در پیاده‌سازی روش‌های کنترلی مبتنی بر کلیدزنی، پرش‌های خرسچی (سیگال کنترل) در لحظه کلیدزنی است. حل این موضوع که به مسأله «انتقال بدون پرش» معروف است و پاسخ گذرای سیستم کنترل را بهبود می‌دهد، مورد توجه قرار گرفته است ([۱۴ - ۱۵]).

روش چند-تحقیقی به عنوان یک روش اشتراک‌گذاری حالت یکی از روشنایی است که برای حل مسأله انتقال بدون پرش ارائه شده است. مسأله چند-تحقیقی را می‌توان مشابه مسأله تحقیق دانست. همان‌طور که مسأله تحقیق برای یک سیستم به صورت یافتن یک نمایش

برای ارزیابی مقاومت سیستم حلقه بسته، مقادیر پارامترهای نامعین k و a در طول مدت شبیه‌سازی تغییر داده می‌شوند. از مقایسه نتایج شبیه‌سازی مشاهده می‌شود که دامنه سیگنال کنترل در ساختار مبتنی بر کلیدزنی نسبت به پاسخ QFT بطور قابل ملاحظه‌ای کاهش می‌یابد.

(شکل ۴)



شکل ۴- تغییرات پارامترهای فرایند نامعین و سیگنال‌های ورودی و خروجی سیستم حلقه بسته

(الف) کنترل QFT با ساختار ثابت (ب) کنترل QFT مبتنی بر کلیدزنی

حالت ۲: نامعینی فرایند به صورت $k \in [-10, -1] \cup [1, 10]$ ، $a \in [1, 10]$. در اینحالت اهداف عملکردی مطلوب همانند حالت ۱ است. با توجه به اینکه علامت بهره k نامعلوم است، نمی‌توان با یک کنترل کننده ثابت این مساله را حل کرد. در اینجا، با تفکیک مجموعه نامعینی‌ها بصورت زیر، با استفاده از ساختار کلیدزنی پیشنهادی می‌توان مساله را حل کرد:

$$\text{أ. } 1 \leq k \leq 10, \quad 1 \leq a \leq 10.$$

$$\text{ب. } -10 \leq k \leq -1, \quad 1 \leq a \leq 10.$$

$$\frac{8400}{(s+3)(s+4)(s+10)(s+70)} \leq T_r \leq \frac{0.6584(s+30)}{s^2+4s+19.75}$$

برای بازه فرکانسی $\omega_h = 10$ rad/s، که در آن $T_r = F \frac{PG}{1+PG}$ تابع تبدیل از ورودی مرجع به خروجی است.

$$T_D(s) = \frac{s(s+70)}{s^2+140s+5225} \quad \bullet$$

(تابع انتقال اغتشاش خروجی به خروجی در بازه فرکانسی اشاره شده در قسمت قبل از مدل T_D کوچکتر باشد).

در این حالت با استفاده از ساختار کنترلی دو درجه آزادی QFT می‌توان برای کل حوزه نامعینی پاسخی برای مساله بدست آورد. اما در اینجا، برای بهبود عملکرد سیستم ساختار مبتنی بر کلیدزنی پیشنهادی بکار گرفته می‌شود.

به این منظور مجموعه نامعینی‌ها به صورت زیر به مجموعه‌های کوچکتری تفکیک می‌شود:

$$\text{أ. } 1 \leq k \leq 2, \quad 1 \leq a \leq 10.$$

$$\text{ب. } 2 \leq k \leq 5, \quad 1 \leq a \leq 10.$$

$$\text{ج. } 5 \leq k \leq 10, \quad 1 \leq a \leq 10.$$

برای این سیستم مشابه [12] یک چند-تخمین زن با ایده اشتراک حالت از طریق چند-تحقیقی زیر بکار می‌رود:

$$\dot{x}_E = \begin{bmatrix} A_E & 0 \\ 0 & A_E \end{bmatrix} x_E + \begin{bmatrix} b_E \\ 0 \end{bmatrix} y + \begin{bmatrix} 0 \\ b_E \end{bmatrix} u$$

$$y_p = c_p x_E$$

که در آن A_E ماتریسی پایدار، زوج (A_E, b_E) پایداری پذیر و مستقل از پارامتر نامعین p است و چند-تحقیقی $M_1(s) = \left\{ \begin{bmatrix} A_E & 0 \\ 0 & A_E \end{bmatrix} + \begin{bmatrix} b_E \\ 0 \end{bmatrix} c_p, \begin{bmatrix} 0 \\ b_E \end{bmatrix}, c_p \right\}$

است. برای سادگی می‌توان (A_E, b_E) را بصورت تحقق کاتونیکال کنترل کننده با چندجمله‌ای مشخصه $s^2 + \omega_1 s + \omega_2$ انتخاب کرد. در اینصورت بردار c_p به صورت $c_p = [\omega_1 \ \omega_2 - a \ ka \ 0]$ به دست می‌آید. برای تولید سیگنال‌های پایش عملکرد μ_p ، $p \in \mathcal{P}$ نیز می‌توان مشابه [۲۰] و [۱۲] از ایده اشتراک حالت استفاده کرد. حال برای هر کدام از نواحی نامعینی (کوچکتر) یک جبران‌ساز و پیش‌فیلتر QFT طراحی می‌شود. برای این کار، مراحل مختلف طراحی و کران‌ها در قالب یک مساله بهینه‌سازی مقید فرموله‌بندی شده و از الگوریتم ژنتیک برای حل این مساله بهینه‌سازی استفاده می‌شود ([۱۸]). در نهایت مشابه معماری شکل ۳، کنترل کننده مناسب بر اساس مقادیر سیگنال‌های پایش توسط سرپرست در حلقه فیدبک فعال می‌شود.

جدول ۱: پارامترهای فرآیند مربوط به مثال چند ورودی-چند خروجی

No.	γ_{11}	γ_{22}	γ_{12}	γ_{21}	δ_{11}	δ_{22}	δ_{12}	δ_{21}
1	1	2	0.5	1	1	2	2	3
2	1	2	0.5	1	0.5	1	1	2
3	1	2	0.5	1	0.2	0.4	0.5	1
4	1	2	4	5	2	3	1	2
5	1	2	4	5	1	2	0.5	1
6	1	2	4	5	0.5	1	0.2	0.4
7	10	8	2	4	1	2	2	3
8	10	8	2	4	0.5	1	1	2
9	10	8	2	4	0.2	0.4	0.5	1
10	5	8	16	20	2	3	1	2
11	5	8	16	20	1	2	0.5	1
12	5	8	16	20	0.5	1	0.2	0.4

مشخصه‌های مطلوب عملکردی برای سیستم حلقه‌بسته بصورت زیر درنظر گرفته می‌شوند:

(الف) ردیابی مقاوم: مشخصه ردیابی $Tl_{ij} \leq |T_{C/R}(j\omega)|_{ij} \leq Tu_{ij}$ بر روی کاتال‌های ورودی- خروجی ($i, j = 1, 2$) با تأکید بر تضعیف تداخلات سیستم چندمتغیره، برای بازه فرکانسی $\omega \leq \omega_h = 10 \text{ rad/s}$ با کران‌های زیر درنظر گرفته می‌شود:

$$\text{روی قطر (ردیابی): } Tl_{ii}(\omega) = \left| \frac{4}{s^2 + 4.4s + 4} \right|_{s=j\omega} \quad \text{و} \quad Tu_{ii}(\omega) = \left| \frac{25}{s^2 + 6s + 25} \right|_{s=j\omega}$$

خارج قصر (حذف تداخلات): $Tl_{ij}(\omega) = 0$ و $Tl_{ij} = 0.1$

(ب) پایداری مقاوم: بصورت قید $|1/(1+L_i)| \leq 3.5 \text{ dB}$ برای همه فرایندها (با وجود نامعینی) درنظر گرفته می‌شود. که در آن L_i بهره حلقه نام است. بدین ترتیب حدبهره 9.6 dB و حدفاز 39 درجه تامین می‌شود

.[۱۹]

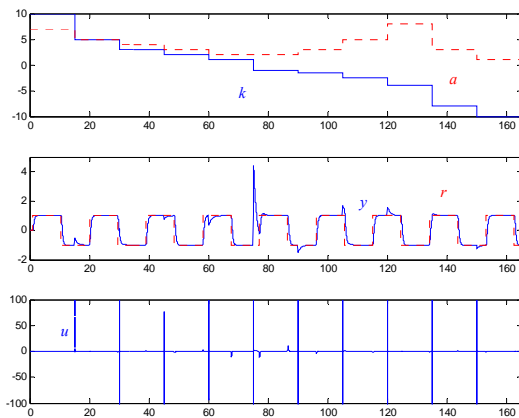
فرایند ۲ $\times 2$ نامعین (s) را می‌توان بصورت زیر متناظر با مدل فضای حالت (۱)، تحقق داد.

$$A_p = \begin{pmatrix} 0 & -\frac{1}{\delta_{11}\delta_{12}} & 0 & 0 \\ 1 & -\left(\frac{1}{\delta_{11}} + \frac{1}{\delta_{12}}\right) & 0 & 0 \\ 0 & 0 & 0 & -\frac{1}{\delta_{21}\delta_{22}} \\ 0 & 0 & 1 & -\left(\frac{1}{\delta_{21}} + \frac{1}{\delta_{22}}\right) \end{pmatrix}, \quad B_p = \begin{pmatrix} 0 & 0 \\ 1 & 0 \\ 0 & 0 \\ 0 & 1 \end{pmatrix}$$

$$C_p = \begin{pmatrix} \frac{\gamma_{11}}{\delta_{11}\delta_{21}} & \frac{\gamma_{11}}{\delta_{11}} & \frac{\gamma_{12}}{\delta_{12}\delta_{22}} & \frac{\gamma_{12}}{\delta_{12}} \\ \frac{\gamma_{21}}{\delta_{11}\delta_{21}} & \frac{\gamma_{21}}{\delta_{21}} & \frac{\gamma_{22}}{\delta_{12}\delta_{22}} & \frac{\gamma_{22}}{\delta_{22}} \end{pmatrix}$$

یکی از معیارهای سنجش تداخلات در فرایندهای چندمتغیره «آرایه بهره نسبی» (RGA) است [۲۰]، که کاربرد زیادی در تعیین جفت ورودی- خروجی مناسب برای طراحی‌های غیرمت مرکز دارد.

از پاسخ بهینه طراحی شده در [۱۸] می‌توان برای هریک از نواحی نامعینی استفاده کرد. (برای ناحیه «ب» بهره کنترل کننده قرینه شود.) توجه شود که تغییر پارامترهای فرایند را می‌توان بصورت یک اغتشاش خروجی درنظر گرفت که در طراحی QFT مورد توجه بود. نتایج شبیه‌سازی در شکل ۵ آمده است.



شکل ۵- کنترل QFT مبتنی بر کلیدزنی برای فرایند نامعینی که علامت بهره‌اش متغیر است

۵- سیستم‌های نامعین چند ورودی- چند خروجی

در این قسمت تنها حالتی مورد توجه است که بواسطه نامعینی زیاد فرایند، نمی‌توان برای مساله طراحی از تئوری فیدبک کمی بدون کلیدزنی استفاده کرد. در این مثال فرض بر این است که از کنترل غیرمت مرکز QFT استفاده شود در حالیکه جفت مناسب ورودی- خروجی فرایند (بدلیل نامعینی زیاد) می‌تواند تغییر کند.

فرایند دو ورودی- دو خروجی زیر را درنظر بگیرید:

$$M_2(s) = \begin{bmatrix} \frac{\gamma_{11}}{1+s\delta_{11}} & \frac{\gamma_{12}}{1+s\delta_{12}} \\ \frac{\gamma_{21}}{1+s\delta_{21}} & \frac{\gamma_{22}}{1+s\delta_{22}} \end{bmatrix}$$

حالات‌های دوازده گانه متناظر با پارامترهای نامعین این فرایند در جدول ۱ آمده است. پیچیدگی مساله کنترل غیرمت مرکز این سیستم در این نکته نهفته است که جفت ورودی- خروجی مناسب با تغییر مقادیر پارامترهای آن، تغییر می‌یابد.

برای هر کدام از نواحی فوق یک طراحی فیدبک کمی غیرمتتمرکز که اهداف مطلوب پایداری و عملکرد مقاوم را با وجود نامعینی تامین کند، انجام می‌شود. جبران‌سازها و پیش‌فیلترهای منتجه بشرح زیر است:

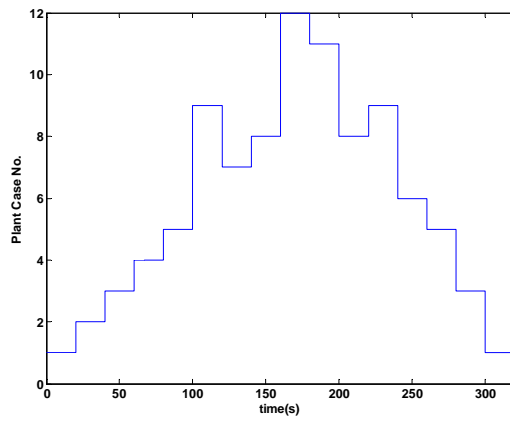
$$G_1(s) = \begin{pmatrix} \frac{185(s+1.1)}{s(s+13.5)} & 0 \\ 0 & \frac{10(s+1.4)}{s(s+5.3)} \end{pmatrix}, F_1(s) = \begin{pmatrix} \frac{6}{s+6} & 0 \\ 0 & \frac{5.8}{s+5.8} \end{pmatrix}$$

$$G_2(s) = \begin{pmatrix} 0 & \frac{58(s+3)}{s(s+22)} \\ \frac{38.4(s+1.7)}{s(s+72)} & 0 \end{pmatrix}, F_2(s) = \begin{pmatrix} 0 & \frac{2.7}{s+2.7} \\ \frac{6.5}{s+6.5} & 0 \end{pmatrix}$$

$$G_3(s) = \begin{pmatrix} \frac{23(s+1)}{s(s+16.3)} & 0 \\ 0 & \frac{18.6(s+6)}{s(s+84.8)} \end{pmatrix}, F_3(s) = \begin{pmatrix} \frac{2.1}{s+2.1} & 0 \\ 0 & \frac{1.9}{s+1.9} \end{pmatrix}$$

$$G_4(s) = \begin{pmatrix} 0 & \frac{96(s+2.5)}{s(s+83.3)} \\ \frac{25(s+1.2)}{s(s+99.8)} & 0 \end{pmatrix}, F_4(s) = \begin{pmatrix} 0 & \frac{1.7}{s+1.7} \\ \frac{1.8}{s+1.8} & 0 \end{pmatrix}$$

همانگونه که اشاره شد در ساختار مبتنی بر کلیدزنی و سربرستی پیشنهادی (شکل ۳) کنترل کننده غیرمتتمرکز مناسب توسط سربرست وارد حلقه فیدبک می‌شود. برای ارزیابی مقاومت سیستم حلقه‌بسته، مقادیر پارامترهای نامعین فرایند در شبیه‌سازی‌های این قسمت مطابق شکل ۶ تغییر داده شده‌اند.



شکل ۶- تغییرات پارامترهای فرایند 2×2 نامعین (s)

ماتریس آرایه بهره نسبی Λ برای فرایند (s) بصورت $\Lambda = M_2(0)$ می‌باشد. $M_2(0)$ است که در آن نشان ستاره * حاصل ضرب شر (عنصر به عنصر) و T -معکوس ترانهاده ماتریس را نشان می‌دهد. براحتی می‌توان نشان داد که در ماتریس Λ مجموع عناصر هر دیگر و هر ستون برابر یک است. بنابراین برای یک فرایند 2×2 RGA با عنصر اسکالر $\lambda = \Lambda_{11}$ مشخص می‌شود. پیشنهاد شده است که ورودی-خروجی‌ها بگونه‌ای جفت شوند که $0.67 < \lambda < 1.5$ باشد و بویژه برای $0 < \lambda < 0.67$ کنترل غیرمتتمرکز بسیار مشکل است ([۲۱]). برای فرایند (s) عناصر RGA را می‌توان از روی $\lambda = \frac{\gamma_{11}\gamma_{22}}{\gamma_{11}\gamma_{22} - \gamma_{12}\gamma_{21}}$ بدست آورد. برای حالات‌های ۱ تا 3 $\lambda = 1.33$ است لذا جفت کردن ورودی-خروجی در راستای قطره پیشنهاد می‌شود. در حالات‌های ۴ تا 6 با تغییر پارامترهای فرایند، تغییرات ساختاری در فرایند رخ می‌دهد بگونه‌ای که $\lambda = -0.11$ است و در این مورد بهتر است جفت‌های ورودی-خروجی بصورت $y_1 - u_1 / y_2 - u_2$ انتخاب شود. در صورتی که از یک ساختار کنترلی ثابت (کنترل مقاوم) استفاده شود، برای حالات ۴ تا 6 استفاده از جفت ورودی-خروجی قبلی ($y_2 - u_2 / y_1 - u_1$) می‌تواند بسادگی منجر به ناپایداری سیستم حلقه‌بسته شود. در حالیکه با استفاده از ساختار مبتنی بر کلیدزنی پیشنهادی (شکل ۳)، تغییرات ماتریس RGA که ناشی از تغییر پارامترهای فرایند است (شکل ۶) توسط سربرست تشخیص داده می‌شود (به شکل ۷ توجه کنید). بدین ترتیب با تغییر پارامترهای فرایند، جفت ورودی-خروجی مناسب انتخاب می‌شود. شکل ۸ نشان می‌دهد که ساختار طراحی QFT مبتنی بر کلیدزنی پیشنهادی با وجود تغییر ساختار فرایند بخوبی عمل می‌کند. ورودی‌های کنترلی نیز در شکل ۹ نمایش داده شده‌اند. بطور مشابه، برای حالات ۷ تا 9 $\lambda = 1.11$ و متاظر با حالات‌های ۱۰ تا 12 $\lambda = -0.14$ است و در ترتیجه جفت مناسب ورودی خروجی در موارد ذکر شده بترتیب بصورت $y_1 - u_1 / y_2 - u_2$ و $y_2 - u_1 / y_1 - u_2$ است.

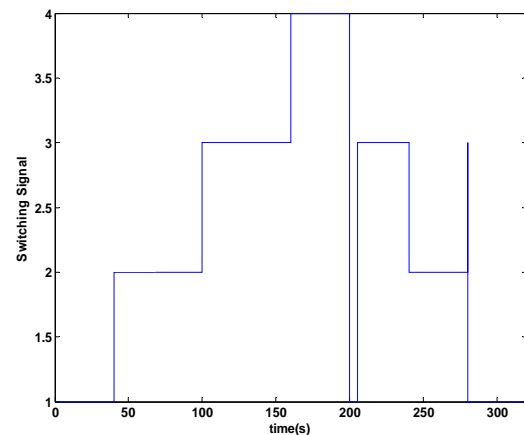
بهمنظور طراحی سیستم کنترل غیرمتتمرکز QFT مبتنی بر کلیدزنی پیشنهادی و با توجه به ماتریس RGA، نامعینی‌های فرایند به نواحی کوچکتر زیر تفکیک می‌شود:

- أ. حالات‌های ۱، ۲ و ۳
- ب. حالات‌های ۴، ۵ و ۶
- ج. حالات‌های ۷، ۸ و ۹
- د. حالات‌های ۱۰، ۱۱ و ۱۲

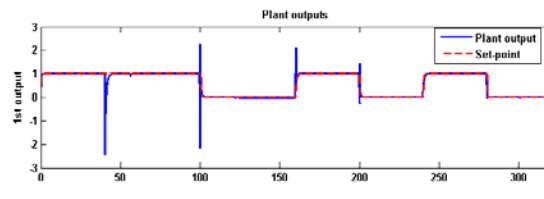
یک کنترل کننده مقاوم QFT عملکرد مطلوب موردنظر را تامین نمی‌کند، استفاده شد. ساختار پیشنهادی مشکل است از مجموعه‌ای از جبران‌سازها (بانک کنترل کننده) که با ایده اشتراک حالت برای انتقال بدون پرش تحقق داده شدند و یک سپرست که در هر لحظه کنترل کننده مناسب را در حلقه کلید می‌زند. هریک از کنترل کننده‌های مقاوم بگونه‌ای طراحی شدند که پایداری و عملکرد مقاوم را در محدوده‌ای کوچکتر از محدوده نامعینی کلی فرایند تامین کنند. سپرست نیز شامل مجموعه‌ای از تخمین‌زن‌ها (که بصورت چندتحقیقی پیاده‌سازی شدند)، مولد سیگنال پایش و منطق کلیدزنی هیسترزیس است. کنترل کننده متأثر با مدلی که بر اساس داده‌های اندازه‌گیری پیشترین انطباق را با فرایند (نامعین) واقعی دارد، توسط سپرست در حلقه فیدبک فعال می‌شود. با استفاده از شبیه‌سازی‌ها کارایی روش پیشنهادی برای فرایندات با گستره نامعینی زیاد که در مواردی حتی با کنترل مقاوم QFT پاسخی برای کل مجموعه نامعینی وجود ندارد، نشان داده شد.

مراجع

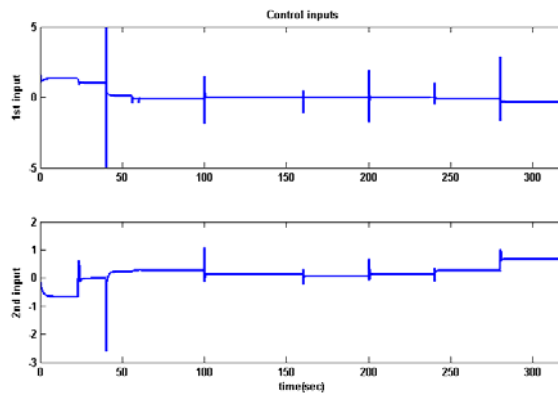
- [1] J. P. Hespanha, D. Liberzon, and A. S. Morse, "Overcoming the limitations of adaptive control by means of logic-based switching," *Syst. Contr. Lett.*, vol. 49, no. 1, pp. 49–65, Apr. 2003.
- [2] D. Liberzon, *Switching in Systems and Control*, Birkhäuser, Boston, MA, 2003.
- [3] J. M. Böling, D. E. Seborg, and J. P. Hespanha, "Multi-model adaptive control of a simulated pH neutralization process," *Control Engineering Practice*, vol. 15, no. 6, pp. 663–672, June 2007.
- [4] S. Fekri, M. Athans, and A. Pascoal, "Issues, progress and new results in robust adaptive control," *Int. J. Adapt. Control Signal Process.*, vol. 20, pp. 519–579, 2006.
- [5] M. Garcia-Sanz, and J. Elso, "Beyond the linear limitations by combining Switching & QFT: Application to Wind Turbines Pitch Control Systems," Special Issue: "Wind Turbines: New Challenges and Advanced Control Solutions". *International Journal of Robust and Nonlinear Control*, vol. 19, no. 1, pp. 40–58, 2009.
- [6] I. Horowitz, "Survey of quantitative feedback theory (QFT)," *International Journal of Control*; vol. 53, no. 2, pp. 255–291, 1991. Also in *International Journal of Robust and Nonlinear Control*, vol. 11, pp. 887–921, 2001.
- [7] C. H. Houpis, S. J. Rasmussen, and M. Garcia-Sanz, *Quantitative Feedback Theory: Fundamentals and Applications* (2nd edition). A CRC Press Book, Taylor & Francis: Florida, 2006.
- [8] J. P. Hespanha, D. Liberzon, A. S. Morse, B. D. O. Anderson, T. S. Brinsmead, and F. de Bruyne, "Multiple model adaptive control, part 2: switching," *Int. J. of Robust and Nonlinear Control Special*



شکل 7- سیگنال کلیدزنی، توجه کنید که تغییرات آرایه بهره نسبی فرایند توسط سپرست تشخیص داده می‌شود



شکل 8- خروجی‌های سیستم حلقه بسته کنترل QFT مبتنی بر کلیدزنی (کنترل کننده‌ها برای داشتن انتقال بدون پرش با ایده اشتراک حالت پیاده‌سازی شده‌اند).



شکل 9- ورودی‌های کنترلی ساختار کنترل QFT مبتنی بر کلیدزنی (کنترل کننده‌ها برای داشتن انتقال بدون پرش با ایده اشتراک حالت پیاده‌سازی شده‌اند).

۶- نتیجه‌گیری

در این مقاله از تئوری فیدبک کمی (QFT) در کنترل تطبیقی مقاوم مبتنی بر کلیدزنی برای سیستم‌های با نامعینی زیاد که استفاده از

- systems,” *IEEE Trans. on Automatic Control*, vol. 51, no.4, pp. 690–695, April 2006.
- [15] S. W. Su, B. D. O. Anderson, W. Chen, and H. Nguyen. “Multi-realization of nonlinear systems,” in Proceedings of the 48th IEEE Conference on Decision and Control, Shanghai, China, Dec 2009, pp. 5901–5905.
- [16] هادی صادقی شرامین، «اشتراک گذاری حالت در سیستم‌های چندمتغیره و کاربرد آن در کنترل کلیدزنی»، پایان‌نامه کارشناسی ارشد، تهران، دانشگاه صنعتی خواجه نصیرالدین طوسی، ۱۳۸۹.
- [17] I. Horowitz. “Quantitative synthesis of uncertain multiple input-output feedback systems,” *International Journal of Control*; vol. 30, no. 1, pp.81-106, 1979.
- [18] A. Khaki-Sedigh, and C. Lucas “Optimal design of robust quantitative feedback controllers using random optimization techniques,” *International Journal of Systems Science*; vol. 31, no.8, pp. 1043-1052, 2000.
- [19] O. Yaniv, *Quantitative Feedback Design of Linear and Nonlinear Control Systems*. Kluwer Academic Publishers: Dordrecht, MA, U.S.A., 1999.
- [20] E. Bristol, “on a new measure of interaction for multivariable process control,” *IEEE Trans. Automat. Contr.*, vol. 11, p. 133-134, 1966.
- [21] S. Skogestad, I. Postlethwaite, *Multivariable Feedback Control Analysis and Design*, second ed., John Wiley & Sons, 2005.
- [9] O. Namaki-Shoushtari, A. Khaki Sedigh “Design of Supervisory Based Switching QFT Controllers for Improved Closed Loop Performance” in Proceedings of the 18th Iranian Conference on Electrical Engineering, ICEE 2010, Isfahan, Iran, May 2010, pp. 599 – 604.
- [10] O. Namaki-Shoushtari, A. Khaki Sedigh “Design of decentralized supervisory based switching QFT controller for uncertain multivariable plants,” in Proceedings of the 48th IEEE Conference on Decision and Control, Shanghai, China, Dec 2009, pp. 934 - 939.
- [11] J. P. Hespanha, D. Liberzon, and A. S. Morse, “Bounds on the number of switchings with scale independent hysteresis: Applications to supervisory control,” in Proceedings of the 39th Conference on Decision and Control, Sydney, Australia, Dec 2000, pp. 3622–3627.
- [12] A. S. Morse, Control using logic-based switching. In A. Isidori, editor, *Trends in Control: An European Perspective*, pp. 69–113, Springer-Verlag, London, 1995.
- [13] B. D. O. Anderson, S. W. Su, and T. S. Brinsmead. “Multirealisation of linear systems,” *IEEE Trans. on Circuits and Systems II: Express Briefs Part II*, vol. 52, pp. 442–446, Aug. 2005.
- [14] S. W. Su, B. D. O. Anderson, and T. S. Brinsmead. “Minimal multirealisation of MIMO linear
- Issue on Hybrid Systems in Control*, vol. 11, no. 5, pp. 479–496, Apr. 2001.

کنترل لغزشی - تطبیقی سیستم فوق آشوب لورنز با در نظر گرفتن عدم قطعیت، اغتشاش، ورودی‌های کنترلی غیرخطی و ناشناخته بودن پارامترهای سیستم

علی ابوبی^۱، محمدرضا جاهد مطلق^۲، محمد مهدی عارفی^۳، زهرا رحمانی چراتی^۴

^۱ فارغ‌التحصیل کارشناسی ارشد، دانشکده مهندسی برق، دانشگاه علم و صنعت ایران، aliabooee@elec.iust.ac.ir

^۲ دانشیار، دانشکده مهندسی کامپیوتر، دانشگاه علم و صنعت ایران، jahedmr@iust.ac.ir

^۳ دانشجوی دکتری، دانشکده مهندسی برق، دانشگاه علم و صنعت ایران، arefi@iust.ac.ir

^۴ استادیار، دانشکده مهندسی برق، دانشگاه صنعتی نوشیروانی بابل، Rahmaniz@nit.ac.ir

(تاریخ دریافت مقاله ۱۰/۱۰/۱۳۸۹، تاریخ پذیرش مقاله ۲۳/۱۲/۱۳۸۹)

چکیده: در این مقاله، ابتدا مدل دینامیکی سیستم فوق آشوب لورنز به طور مختصر معرفی می‌گردد. در ادامه کنترل کننده‌های مد لغزشی-تطبیقی چنان طراحی می‌شوند که سیستم فوق آشوب لورنز با وجود عوامل ناخواسته‌ای همچون عدم قطعیت، اغتشاش، ورودی‌های کنترلی غیرخطی پایدار گردد. فرض می‌شود کران‌های بالای عدم قطعیت، اغتشاش و پارامترهای سیستم لورنز نامعلوم باشند. برای طراحی کنترل کننده‌های لغزشی-تطبیقی از دو سطح لغزشی-تطبیقی و قوانین تطبیق برای پارامترهای نامعلوم استفاده شده است. پایداری دینامیک مد لغزشی سیستم فوق آشوب و شرط رسیدن به سطح لغزشی-تطبیقی، با استفاده از قسمیه پایداری لیاپانوف به اثبات می‌رسد. جهت برطرف کردن سوئیچینگ‌های فرکانس بالای سیگنال‌های کنترلی نایپوسته، از جایگزینی یک تابع پیوسته (شیوه به تابع علامت) با تابع علامت استفاده می‌شود تا هموار شدن سیگنال‌های کنترلی از بروز پدیده وزوز در عمل جلوگیری شود. نتایج شیوه‌سازی کامپیوتری با استفاده از نرم‌افزار MATLAB نشان می‌دهد کنترل کننده‌های طراحی شده قادر به پایدارسازی سیستم لورنز در حضور عوامل ناخواسته ذکر شده، می‌باشد.

کلمات کلیدی: سیستم فوق آشوب، کنترل مد لغزشی، عدم قطعیت، پدیده وزوز، ورودی کنترلی غیرخطی، سطح لغزشی-تطبیقی.

Adaptive-Sliding Mode Control of Lorenz Hyperchaotic System Considering Uncertainties, External Disturbances, Nonlinear Inputs and Unknown Parameters

A. Abooe, M.R. Jahed-Motlagh, M.M. Arefi, Z. Rahmani

Abstract: In this paper, the dynamical model of the Lorenz hyperchaotic system is briefly introduced. An adaptive-sliding mode control scheme is proposed to stabilize the Lorenz hyperchaotic system in the presence of uncertainties, external disturbances, nonlinearity in the control inputs while parameters of the Lorenz system and the bounds of uncertainties and external disturbances are unknown. The mentioned control scheme is composed of two adaptive-sliding surfaces and adaptation laws for unknown parameters. The Lyapunov stability theorem is used to prove the stability of sliding mode dynamics and guarantee the reaching condition. High frequency switching of control inputs is removed by substituting the sign function with a continuous sign-like function. Numerical simulations based on MATLAB software are used to verify the feasibility and effectiveness of the proposed controllers.

Keywords: Hyperchaotic system, Sliding mode control, Uncertainty, Chattering phenomenon, Nonlinear control inputs, Adaptive-sliding surfaces.

واکنش شیمیایی بود [۲۲]. در ادامه سیستم‌های فوق آشوب دیگری توسط دانشمندان و محققان علوم مختلف معرفی شدند [۱۱-۱۶، ۲۶-۲۲]. تاکنون روش مشخص و سیستماتیکی برای ایجاد یک سیستم فوق آشوب ارایه نشده است اما با توجه به مقالاتی که سیستم‌های فوق آشوب جدید را معرفی کردند می‌توان به دو روش کلی زیر برای طراحی یک سیستم فوق آشوب رسید.

- ۱- اضافه کردن یک متغیر حالت جدید به سیستم‌های آشوب معمولی و افزایش بعد سیستم از نظر تعداد متغیرهای حالت. به عنوان نمونه برای این حالت می‌توان به مقالات [۱۱-۶] اشاره کرد.
- ۲- ایجاد تحریک سینوسی در یکی از پارامترهای ثابت سیستم آشوب معمولی. در این حالت بعد سیستم از نظر تعداد متغیرهای حالت افزایش نمی‌یابد اما سیستم از حالت خود مختار^۷ به غیر خود مختار تبدیل می‌شود و با این کار، پتانسیل به وجود آمدن پدیده فوق آشوب در یک سیستم آشوب معمولی با سه متغیر حالت فراهم می‌شود به عنوان نمونه برای این حالت می‌توان به مقالات [۶-۲۴] اشاره کرد.

حساسیت شدیدتر به تغییرات اندک در شرایط اولیه، پیچیدگی بیشتر و افزایش عدم قابلیت پیش‌بینی طولانی مدت سیستم‌های فوق آشوب نسبت به سیستم‌های آشوب بعد پایین باعث شده است که در برخی از کاربردها این سیستم‌ها جایگزین سیستم‌های آشوب بعد پایین شوند [۸]. و مسئله کنترل پدیده فوق آشوب اهمیت خاصی پیدا کند. به عنوان یک نمونه شاخص می‌توان از جایگزینی سیگنال‌های آشوب معمولی با سیگنال‌های فوق آشوب در مخابرات امن و رمزگاری نام برد [۱].

متناظر با افزایش کاربردهای پدیده فوق آشوب در مواردی همچون اسیلاتورهای کلپیتس^۸ [۲] و مدارهای غیر خطی [۳]، روش‌های زیادی برای کنترل این پدیده توسعه داده شدند. به عنوان نمونه می‌توان به روش گام به عقب^۹ [۱۴]، فیدبک خطی و فیدبک سرعت^{۱۰} [۱۵]، کنترل H ^{۱۱} [۱۶]، کنترل تصلیقی^{۱۲} [۱۷] و کنترل مد لغزشی^{۱۳} [۱۸-۲۱] اشاره کرد. اغلب مقالاتی که در مورد کنترل و حذف پدیده فوق آشوب ارائه شده است [۱۸-۱۴، ۲۰]، به دو مسئله مهم توجه نکرده‌اند. مسئله اول عدم قطعیت، اغتشاش و نامعلوم بودن پارامترهای سیستم است که در کاربردهای عملی و فیزیکی (جهان واقعی) به طور ناخواسته با آن روبرو هستیم. بنابراین لازم است که در حین فرآیند طراحی کنترل کننده‌ها به این مسئله توجه شده و کنترل کننده‌ها با در نظر

۱- مقدمه

با توجه به کاربردهای گسترده و فراوان پدیده آشوب در علوم مختلف از جمله مخابرات امن [۱]، مدارهای غیر خطی [۲]، واکنش‌های شیمیایی [۳]، الکترونیک قدرت [۴]، لیزر [۵]، مطالعه و تحقیق در مورد ویژگی‌های ذاتی این پدیده و کنترل آن اهمیت خاصی پیدا کرده است. شاید بتوان یکی از دلایل توجه خاص دانشمندان به پدیده غیر خطی آشوب را ویژگی‌های ذاتی و منحصر به فرد این پدیده از جمله حساسیت سیار شدید به تغییرات خیلی کوچک در شرایط اولیه، طیف فرکانسی پهن و گسترده و جاذب عجیب^۱ دانست [۶]. مطالعات و تحقیقات ارائه شده در مورد آشوب را می‌توان در یک تقسیم‌بندی کلی به دو دسته تقسیم کرد. دسته اول مقالاتی هستند که توجه خود را به بررسی ماهیت پدیده آشوب، ویژگی‌های ذاتی آن، معرفی سیستم‌های آشوبناک جدید، کاربردهای عملی و فیزیکی آشوب معطوف ساخته‌اند [۱۱-۶]. دسته دوم مقالاتی هستند که تمرکز خود را بر روی موضوع کنترل آشوب و توسعه روش‌های کنترلی قابل اعمال به سیستم‌های آشوبناک، قرار داده‌اند [۲۰-۱۲]. با دقت در این دسته مقالات می‌توان دریافت که دو هدف عمده برای کنترل آشوب قابل تصور است. هدف اول از کنترل آشوب، خارج کردن سیستم آشوبناک از حالت آشوبی و همگرا ساختن این سیستم به سمت نقطه تعادل یا یک مدار پایدار متناوب^۲ (سیکل حدی) می‌باشد و هدف دوم، آشوبی سازی سیستم آشوبناک و طراحی کنترل کننده به گونه‌ای است که سیستم وارد ناحیه آشوبی خود شده و در این حالت باقی بماند [۲۱].

مقالات مرتبط با دسته اول، از دیدگاه پیچیدگی، سیستم‌های آشوبناک را به سه دسته آشوب معمولی (بعد پایین)، فوق آشوب^۳ (آشوب بعد بالا) و آشوب فضای زمانی^۴ تقسیم می‌کنند. ساده‌ترین تعریفی که در اغلب مراجع [۶، ۸، ۱۰، ۱۱]، برای یک سیستم فوق آشوب ارائه شده است بدین صورت است که "یک سیستم غیرخطی که دارای حداقل دو نمای لیپانوف مثبت باشد را فوق آشوب می‌نامند." در واقع وجود حداقل دو نمای لیپانوف مثبت، مهم ترین و اصلی‌ترین شاخص تمایز‌دهنده میان پدیده آشوب بعد پایین و پدیده فوق آشوب در یک سیستم غیر خطی می‌باشد. اولین و ساده‌ترین سیستم فوق آشوب^۵ را راسلر^۶ در سال ۱۹۷۹ ارائه داد که توصیفی از یک

¹ Strange Attractor

² Stable Periodic Orbit

³ Hyperchaos

⁴ Spatiotemporal

⁵ Hyperchaotic System

⁶ Rössler

⁷ Autonomous

⁸ Colpitts Oscillators

⁹ Backstepping Method

¹⁰ Linear and Speed Feedback Control

فرض کرده است که سیستم راسلر تحت اغتشاش کراندار با کران معلوم و غیرخطی بودن ورودی هاست و تمام پارامترهای سیستم فوق آشوب راسلر معلوم بوده و هیچ گونه عدم قطعیتی در معادلات دینامیکی سیستم وجود ندارد. مقاله [۳۰]، با استفاده از روش کنترل مد لغزشی، مسئله سنکرون سازی دو سیستم فوق آشوب غیرخطی راسلر و چن را با وجود ورودی های کنترلی غیرخطی مورد بررسی قرار داده است، اما باید توجه داشت که مسایلی همچون عدم قطعیت، اغتشاش و پارامترهای نامعلوم را لحاظ نکرده است. ما در این مقاله، مسئله کنترل سیستم فوق آشوب لورنر را با وجود ورودی های کنترلی غیرخطی، اغتشاش کراندار، عدم قطعیت کراندار و نامعلوم بودن پارامترهای سیستم مورد توجه قرار می دهیم و فرض می کنیم کران های عدم قطعیت و اغتشاش نامعلوم هستند. برای طراحی کنترل کننده جهت پایدارسازی سیستم فوق آشوب لورنر از روش کنترل مد لغزشی- تطبیقی استفاده می شود. روش کنترل لغزشی- تطبیقی ارایه شده در این مقاله، از ترکیب سطوح لغزشی- تطبیقی همراه با قوانین تطبیق تشکیل شده است که قوانین تطبیق برای تخمین پارامترهای نامعلوم طراحی می شوند. همچنین با تغییر اندازی در سیگنال های کنترلی لغزشی- تطبیقی، سونیچنگ های فرکانس بالای سیگنال های کنترلی تا حد زیادی کاهش می بینند. ساختار کلی این مقاله بدین صورت است که معادلات سیستم فوق آشوب لورنر، توصیف عدم قطعیت، اغتشاش و ورودی های کنترلی غیرخطی در بخش های دوم و سوم آورده شده اند. بخش چهارم به طراحی کنترل کننده های لغزشی- تطبیقی و اثبات پایداری سیستم فوق آشوب حلقه بسته اختصاص یافته است. نتایج شبیه سازی کامپیوتری و نتیجه گیری کلی از مقاله به ترتیب در بخش های پنجم و ششم ارائه گردیده است.

۲- معرفی معادلات دینامیکی سیستم فوق آشوب لورنر

در سال ۲۰۰۷، جیا^۱، سیستم فوق آشوبی را با ۴ متغیر حالت بر اساس سیستم آشوبناک لورنر ارائه داد [۶]. این سیستم با اضافه کردن معادله دیفرانسیل چهارم به سیستم آشوبناک لورنر ساخته شده است که رابطه (۱)، معادلات توصیف کننده این سیستم را نشان می دهد.

گرفتن موارد ذکر شده طراحی شوند. مسئله دوم بدین گونه می باشد که اغلب فرض شده است ورودی های کنترلی به صورت خطی قابل اعمال به سیستم هستند [۲۰-۱۸، ۱۴]. اما در تحقق عملی و جهان واقعی با غیرخطی بودن ورودی های کنترلی رو برو هستیم که ناشی از محدودیت های عملگرها می باشد. این غیرخطی شدن به این مفهوم است که ممکن است توانیم سیگنال های کنترلی را به صورت خطی و مستقیم به سیستم اعمال کنیم و در واقع توابع غیرخطی از سیگنال های کنترل طراحی شده به سیستم اعمال شوند. به عنوان نمونه ای از غیرخطی شدن ورودی های کنترلی، می توان به وجود محدودیت هایی همچون اشباع، ناحیه مرده^۲ backlash اشاره کرد. از آنجایی که سیستم های فوق آشوب دارای حساسیت زیادی به هر نوع تغییرات در پارامترهای سیستم هستند، وجود عوامل غیرخطی ساز در مسیر ورودی- های کنترلی باعث می شود که کارایی کنترل کننده های طراحی شده برای این سیستم ها، تا حد زیادی کاهش پیدا کند و حتی در مواردی این کنترل کننده ها کارایی خود را به طور کامل از دست بدنهند و این مسئله منجر به ناپایداری سیستم فوق آشوب حلقه بسته همراه با کنترل کننده شود. باید توجه داشت که تعداد محدودی از مقالات مرتبط با کنترل آشوب نیز مسئله ورودی های کنترلی غیرخطی، عدم قطعیت و اغتشاش را مورد بررسی و توجه قرار داده اند که به عنوان نمونه می توان به [۱۹]، [۲۷-۳۰] اشاره کرد. مقاله [۱۹]، کنترل کننده مد لغزشی را برای سیستم آشوبناک یکپارچه با وجود ورودی های کنترلی غیرخطی و عدم قطعیت مورد بررسی قرار داده است. اما [۱۹]، به اغتشاش های خارجی توجه نداشته و همچنین فرض کرده است که تمام پارامترهای سیستم و کران عدم قطعیت معلوم و ثابت هستند. مقاله [۲۷]، برای سنکرون سازی دو سیستم فوق آشوب با وجود ورودی های کنترلی غیرخطی از روش کنترل مد لغزشی استفاده کرده است. در [۲۷]، عدم قطعیت و اغتشاش خارجی برای دو سیستم فوق آشوب مورد مطالعه، منظور نشده و تمام پارامترهای سیستم های آشوبناک معلوم و مشخص هستند. مقاله [۲۸]، روش کنترل مد لغزشی را برای کنترل دسته های خاصی از سیستم های آشوب مورد استفاده قرار داده که سیستم مورد مطالعه، تحت عدم قطعیت و غیرخطی بودن ورودی های کنترلی است. همانند مقالات [۱۹]، [۲۷]، مقاله [۲۸] نیز پارامترهای سیستم آشوبناک و کران بالای عدم قطعیت را معلوم و ثابت فرض کرده است. مقاله [۲۹]، روش کنترل مد لغزشی را برای پایدار سازی سیستم فوق آشوب راسلر به کار برد و

$$\begin{aligned}\dot{x}_1 &= -10(x_1 - x_2) + x_4 \\ \dot{x}_2 &= -x_1 x_3 + \beta x_1 - x_2 + \Delta f_1 + d_1(t) + \phi_1(u_1) \\ \dot{x}_3 &= x_1 x_2 - \frac{8}{3} x_3 \\ \dot{x}_4 &= -x_1 x_3 + \eta x_4 + \Delta f_2 + d_2(t) + \phi_2(u_2)\end{aligned}\quad (۲)$$

در رابطه (۲)، $d_i(t), \Delta f_i(x_1, x_2, x_3, x_4), i = 1, 2$

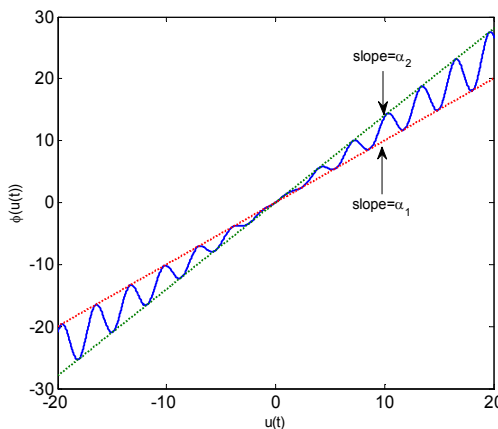
$\phi_i(u_i(t))$ به ترتیب بیانگر عدم قطعیت، اغتشاش و ورودی‌های کنترلی غیرخطی می‌باشند. همچنین فرض می‌کنیم که دو پارامتر سیستم یعنی β, η نامعلوم‌اند. عدم قطعیت و اغتشاش در محدودیت‌های رابطه (۳) و توابع غیرخطی از ورودی‌های کنترلی در محدودیت‌های رابطه (۴) صدق می‌کنند.

$$\begin{aligned}|\Delta f_i(x_1, \dots, x_4)| &\leq \delta_i, \quad i = 1, 2 \\ |d_i(t)| &\leq \zeta_i, \quad i = 1, 2\end{aligned}\quad (۳)$$

در رابطه (۳)، ثابت‌های حقیقی مثبت $\delta_1, \delta_2, \zeta_1, \zeta_2$ ، به ترتیب نشان دهنده‌ی کران‌های بالای عدم قطعیت و اغتشاش هستند که فرض می‌شود این پارامترها نامعلوم باشند. $\phi_i(u_i(t))$ ، توابع غیرخطی از ورودی‌های کنترلی هستند که شرایط رابطه (۴) را برآورده می‌کنند. [۳۰]، [۲۹]

$$\begin{aligned}\phi_i(0) &= 0, \quad i = 1, 2 \\ \alpha_1 u_1^2(t) &\leq \phi_1(u_1(t)).u_1(t) \leq \alpha_2 u_1^2(t), \quad \alpha_1, \alpha_2 > 0 \\ \gamma_1 u_2^2(t) &\leq \phi_2(u_2(t)).u_2(t) \leq \gamma_2 u_2^2(t), \quad \gamma_1, \gamma_2 > 0\end{aligned}\quad (۴)$$

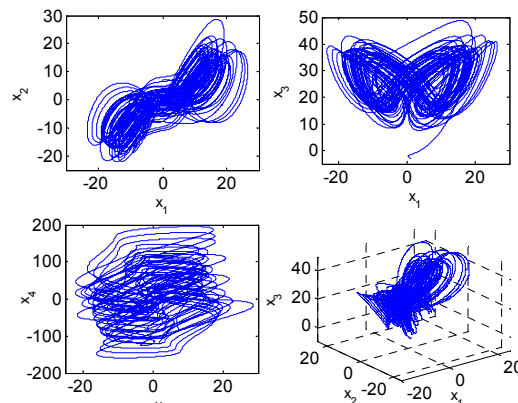
شکل (۲)، نمایش تصویری از شرط دوم رابطه (۴) را ارائه می‌دهد.



شکل ۲: شماتیک فرضی از شرط دوم رابطه (۴). [۳۰]، [۲۹]

$$\begin{aligned}\dot{x}_1 &= 10(x_2 - x_1) + x_4 \\ \dot{x}_2 &= -x_1 x_3 + \beta x_1 - x_2 \\ \dot{x}_3 &= x_1 x_2 - \frac{8}{3} x_3 \\ \dot{x}_4 &= -x_1 x_3 + \eta x_4\end{aligned}\quad (۱)$$

در رابطه (۱)، $x_i, i = 1, 2, 3, 4$ ، بیانگر متغیرهای حالت و پارامترهای ثابت سیستم می‌باشند. چنانچه پارامترهای ثابت به صورت $\beta = 28, \eta = 1.3$ ، انتخاب شوند، سیستم (۱) رفتاری فوق آشوبی با دو نمای لیپانوف مثبت $L_1 = 0.398, L_2 = 0.248$ از خود نشان می‌دهد. در این مقاله، سیستم (۱)، به عنوان محک ارزیابی برای پایه‌سازی روش ارائه شده، مورد استفاده قرار می‌گیرد. شکل (۱)، تعدادی از تصاویر جاذب فوق آشوبی این سیستم را در صفحه‌های دو بعدی $x_1 - x_2, x_1 - x_3, x_1 - x_4$ و فضای سه بعدی $x_1 - x_2 - x_3$ نشان می‌دهد.



شکل ۱: تصاویر جاذب فوق آشوبی سیستم رابطه (۱) در فضاهای دو بعدی و سه بعدی در ادامه، فرض می‌کنیم که سیستم فوق آشوب رابطه (۱)، تحت چهار عامل ناخواسته ۱- عدم قطعیت کراندار با کران نامعلوم ۲- اغتشاش کراندار با کران نامعلوم ۳- ورودی‌های کنترلی غیرخطی و ۴- نامعلوم بودن دو پارامتر ثابت β, η ، قرار دارد. کنترل کننده‌های لغزشی- تطبیقی را به گونه‌ای طراحی می‌کنیم که سیستم فوق آشوب لورنر با وجود این عوامل ناخواسته، پایدار شده و به سمت نقطه تعادل خود همگرا شود.

۳- توصیف سیستم فوق آشوب لورنر همراه با ورودی‌های کنترلی غیرخطی، اغتشاش، عدم قطعیت و پارامترهای نامعلوم

رابطه (۲)، سیستم فوق آشوب لورنر را همراه با در نظر گرفتن ورودی‌های کنترلی غیرخطی، اغتشاش، عدم قطعیت و پارامترهای نامعلوم β, η نشان می‌دهد.

$$\begin{aligned} \dot{S}(t) = 0 &\Rightarrow \begin{cases} \dot{s}_1(t) = 0 \\ \dot{s}_2(t) = 0 \end{cases} \Rightarrow \\ &\Rightarrow \begin{cases} \dot{x}_2(t) + \dot{n}_1(t) = 0 \\ \dot{x}_4(t) + \dot{n}_2(t) = 0 \end{cases} \Rightarrow \\ &\Rightarrow \begin{cases} \dot{x}_2(t) = -10x_1 - x_1 x_3 - \mu_1 x_2 \\ \dot{x}_4(t) = -x_1 - \mu_2 x_4 \end{cases} \end{aligned} \quad (7)$$

با جایگذاری رابطه (7) در رابطه (۱)، دینامیک مدل لغزشی سیستم فوق آشوب لورنر به صورت رابطه (۸)، نتیجه می‌شود.

$$\begin{aligned} \dot{x}_1 &= 10(x_2 - x_1) + x_4 \\ \dot{x}_2 &= -10x_1 - x_1 x_3 - \mu_1 x_2 \\ \dot{x}_3 &= x_1 x_2 - \frac{8}{3}x_3 \\ \dot{x}_4 &= -x_1 - \mu_2 x_4 \end{aligned} \quad (8)$$

برای اثبات پایداری دینامیک مدل لغزشی رابطه (۸)، قضیه (۱) و اثبات آن در زیر ارائه می‌گردد.
قضیه (۱): دینامیک مدل لغزشی سیستم فوق آشوب رابطه (۸)، با توجه به سطوح لغزشی- تطبیقی تعریف شده در رابطه‌های (۵) و (۶)، پایدار می‌باشد. این بدان معنی است که چنانچه متغیرهای حالت سیستم بر روی سطوح لغزشی- تطبیقی قرار گیرند، سیستم فوق آشوب پایدار خواهد بود.

اثبات قضیه (۱): تابع لیپانوف را به صورت $V(t) = \sum_{i=1}^4 x_i^2(t)$ در نظر می‌گیریم که یک تابع مثبت معین می‌باشد. با توجه به قضیه پایداری لیپانوف، برای اثبات پایداری دینامیک مدل لغزشی رابطه (۸)، باید نشان دهیم که مشتق زمانی تابع لیپانوف، مقداری منفی است که رابطه (۹) این موضوع را نشان می‌دهد.

$$\begin{aligned} \dot{V} &= \sum_{i=1}^4 x_i \dot{x}_i = x_1 [10(x_2 - x_1) + x_4] + \\ &+ x_2 [-10x_1 - x_1 x_3 - \mu_1 x_2] + \end{aligned} \quad (9)$$

$$\begin{aligned} &+ x_3 [x_1 x_2 - \frac{8}{3}x_3] + x_4 [-x_1 - \mu_2 x_4] \\ &\Rightarrow \dot{V} = -10x_1^2 - \mu_1 x_2^2 - \frac{8}{3}x_3^2 - \mu_2 x_4^2 \end{aligned}$$

از آنجایی که دو پارامتر μ_1, μ_2 در اختیار طراح بوده و بزرگ‌تر از صفر انتخاب می‌شوند، همواره \dot{V} ، مقدار منفی است. در ادامه پارامتر ω را به صورت $\omega = \min(\frac{8}{3}, \mu_1, \mu_2)$ تعریف می‌کنیم. بنابراین با توجه به رابطه (۹) و تعریف پارامتر ω ، نامساوی رابطه (۱۰) نتیجه می‌شود.

۴- طراحی کننده‌های مدل لغزشی با تعریف دو سطح لغزشی- تطبیقی

کنترل مدل لغزشی یکی از روش‌های کنترل مقاوم برای سیستم‌های دارای عدم قطعیت می‌باشد که دارای ویژگی‌های ذاتی مانند تحقق ساده و آسان، پاسخ سریع، عدم حساسیت به تغییر در پارامترهای سیستم و اختشاش‌های خارجی است [۱۸]. با توجه به این نکته، برای کنترل سیستم فوق آشوب رابطه (۲)، روش کنترل مدل لغزشی با تعریف دو سطح لغزشی- تطبیقی، انتخاب شده است. طراحی کنترل کننده لغزشی از دو مرحله تشکیل شده است که در مرحله اول، سطوح لغزشی- تطبیقی تعریف می‌گردد و پایداری دینامیک مدل لغزشی سیستم رابطه (۲) (پایداری سیستم، هنگامی که حالت‌های سیستم بر روی سطوح لغزشی- تطبیقی قرار گرفته‌اند) با استفاده از قضیه پایداری لیپانوف به اثبات می‌رسد. در مرحله دوم، بردار سیگنال‌های کنترلی طراحی می‌گردد که از دو سیگنال کنترل متناسب با هر کدام از سطوح‌های لغزشی- تطبیقی تشکیل شده است. شرط رسیدن به سطوح لغزشی- تطبیقی به صورت تحلیلی و با استفاده از قضیه (۲) اثبات می‌شود.

۴-۱- تعریف سطوح لغزشی- تطبیقی و اثبات پایداری دینامیک مدل لغزشی سیستم فوق آشوب لورنر

بردار سطوح لغزشی- تطبیقی را به صورت $S(t) = [s_1(t), s_2(t)]^T$ ، در نظر می‌گیریم که دو سطح لغزشی- تطبیقی $(s_1(t), s_2(t))$ به صورت رابطه (۵) تعریف می‌شوند.

$$\begin{aligned} s_1(t) &= x_2(t) + n_1(t) \\ s_2(t) &= x_4(t) + n_2(t) \end{aligned} \quad (5)$$

در رابطه (۵)، $n_1(t), n_2(t)$ دو تابع پیوسته از متغیرهای حالت سیستم فوق آشوب لورنر می‌باشند که رابطه (۶) نحوه ارتباط این دو تابع را با متغیرهای حالت سیستم فوق آشوب نشان می‌دهد.

$$\begin{aligned} \dot{n}_1(t) &= 10x_1 + x_1 x_3 + \mu_1 x_2 \\ \dot{n}_2(t) &= x_1 + \mu_2 x_4 \end{aligned} \quad (6)$$

در رابطه (۶)، μ_1, μ_2 دو ثابت حقیقی مثبت هستند که در اختیار طراح قرار دارند. چنانچه متغیرهای حالت سیستم بر روی سطوح لغزشی- تطبیقی قرار گیرند، دو شرط $\dot{S}(t) = 0, \ddot{S}(t) = 0$ برقرار خواهد شد که از برقراری این دو شرط، رابطه (۷) نتیجه می‌شود.

با استفاده از قانونهای تطبیق برای پارامترهای نامعلوم $\beta, \eta, \delta_1, \delta_2, \zeta_1, \zeta_2$ تعیین می‌شوند که این قانونهای تطبیق در رابطه (۱۶) آورده شده است.

$$\begin{aligned} \dot{\hat{\beta}} &= |s_1| |x_1|, \quad \hat{\beta}(0) = \hat{\beta}_0 \\ \dot{\hat{\delta}}_1 &= |s_1|, \quad \hat{\delta}_1(0) = \hat{\delta}_{l_0} \\ \dot{\hat{\zeta}}_1 &= |s_1|, \quad \hat{\zeta}_1(0) = \hat{\zeta}_{l_0} \\ \dot{\hat{\delta}}_2 &= |s_2|, \quad \hat{\delta}_2(0) = \hat{\delta}_{l_0} \\ \dot{\hat{\zeta}}_2 &= |s_2|, \quad \hat{\zeta}_2(0) = \hat{\zeta}_{l_0} \end{aligned} \quad (16)$$

$$\dot{\hat{\eta}} = |x_4| |s_2|, \quad \hat{\eta}(0) = \hat{\eta}_0$$

در ابطه (۱۶)، $\hat{\beta}_0, \hat{\delta}_{l_0}, \hat{\zeta}_{l_0}, \hat{\delta}_{l_0}, \hat{\zeta}_{l_0}$ و $\hat{\eta}_0$ به ترتیب مقادیر اولیه مثبت، برای $\hat{\beta}, \hat{\delta}_1, \hat{\zeta}_1, \hat{\delta}_2, \hat{\zeta}_2$ و $\hat{\eta}$ می‌باشد.

در ادامه نشان می‌دهیم که سیگنال‌های کنترلی ارائه شده در رابطه (۱۶) تا (۱۸)، توانایی رساندن متغیرهای حالت سیستم به سطوح لغزشی - تطبیقی $s_1(t), s_2(t)$ را دارند و با وجود این دو سیگنال کنترلی، شرط رسیدن^۲ برآورده می‌شود. برای این منظور قضیه (۲) و اثبات آن در زیر آورده شده است.

قضیه (۲): سیستم فوق آشوب لورنر رابطه (۲) را با اختشاش، عدم قطعیت، ورودی‌های کنترلی غیرخطی و پارامترهای نامعلوم β, η در نظر بگیرید. با تعریف سطوح لغزشی - تطبیقی به صورت رابطه (۵) و سیگنال‌های کنترلی به صورت رابطه‌های (۱۴) تا (۱۶)، سیستم فوق آشوب لورنر به سطوح لغزشی - تطبیقی همگرا خواهد شد.

اثبات قضیه (۲): برای اثبات از قضیه پایداری لیپاونوف استفاده می‌کنیم. بدین منظور متغیرهای θ_1 تا θ_6 را به صورت رابطه (۱۷) تعریف می-

کنیم:

$$\begin{aligned} \theta_1 &= \hat{\beta} - |\beta| \Rightarrow \dot{\theta}_1 = \dot{\hat{\beta}} \\ \theta_2 &= \hat{\delta}_1 - \delta_1 \Rightarrow \dot{\theta}_2 = \dot{\hat{\delta}}_1 \\ \theta_3 &= \hat{\zeta}_1 - \zeta_1 \Rightarrow \dot{\theta}_3 = \dot{\hat{\zeta}}_1 \\ \theta_4 &= \hat{\delta}_2 - \delta_2 \Rightarrow \dot{\theta}_4 = \dot{\hat{\delta}}_2 \\ \theta_5 &= \hat{\zeta}_2 - \zeta_2 \Rightarrow \dot{\theta}_5 = \dot{\hat{\zeta}}_2 \\ \theta_6 &= \hat{\eta} - |\eta| \Rightarrow \dot{\theta}_6 = \dot{\hat{\eta}} \end{aligned} \quad (17)$$

در رابطه (۱۷)، $\beta, \eta, \delta_1, \delta_2, \zeta_1, \zeta_2$ پارامترهای ثابت و نامعلوم می‌باشند.تابع لیپاونوف را به صورت رابطه (۱۸)، در نظر می-گیریم که یکتابع مثبت معین است.

$$\begin{aligned} \dot{V} &= -10x_1^2 - \mu_1 x_2^2 - \frac{8}{3}x_3^2 - \mu_2 x_4^2 \\ \Rightarrow \dot{V} &\leq -\omega \|x\|_2^2 \end{aligned} \quad (10)$$

با انتگرال گیری از رابطه (۱۰)، رابطه (۱۱) بدست می‌آید.

$$\begin{aligned} V(t) &\leq V(0) - \omega \int_0^t \|x\|_2^2 d\tau \Rightarrow \\ \Rightarrow V(0) &\geq V(t) + \omega \int_0^t \|x\|_2^2 d\tau \geq \omega \int_0^t \|x\|_2^2 d\tau \end{aligned} \quad (11)$$

در ادامه با میل دادن متغیر t به سمت بینهایت ($t \rightarrow \infty$)، نامساوی رابطه (۱۱) به نامساوی رابطه (۱۲) تبدیل می‌شود.

$$\lim_{t \rightarrow \infty} \{\omega \int_0^t \|x\|_2^2 d\tau\} \leq V(0) < \infty \quad (12)$$

بنابراین با توجه به لم باربالات^۱، می‌توان رابطه (۱۳) را نتیجه گرفت.

$$\begin{aligned} \lim_{t \rightarrow \infty} \{\omega \|x(t)\|_2^2\} &= \\ &= \lim_{t \rightarrow \infty} \omega \{x_1^2 + x_2^2 + x_3^2 + x_4^2\} \rightarrow 0 \end{aligned} \quad (13)$$

با توجه به رابطه (۱۳)، زمانی که t به سمت بینهایت ($t \rightarrow \infty$) می‌کند، متغیرهای حالت سیستم فوق آشوب به سمت صفر می‌خواهند کرد ($x_i(t) \rightarrow 0, i = 1, 2, 3, 4$). \square

۲-۴- طراحی بودار سیگنال‌های کنترلی لغزشی -

تطبیقی و اثبات شرط رسیدن

بردار سیگنال‌های کنترلی لغزشی - تطبیقی به صورت $u^T = [u_1(t) \ u_2(t)]^T$ در نظر گرفته شده است که رابطه (۱۴)، دو سیگنال کنترلی $(u_1(t), u_2(t))$ را نشان می‌دهد.

$$\begin{aligned} u_1(t) &= -\lambda_1 \Omega_1 \text{sign}(s_1), \quad \lambda_1 > \frac{1}{\alpha_1} \\ u_2(t) &= -\lambda_2 \Omega_2 \text{sign}(s_2), \quad \lambda_2 > \frac{1}{\gamma_1} \end{aligned} \quad (14)$$

در رابطه (۱۴)، λ_1, λ_2 دو ثابت حقیقی مثبت در اختیار طراح می-باشند و به گونه‌ای انتخاب می‌شوند که دو شرط $\lambda_1 > \frac{1}{\alpha_1}$ و $\lambda_2 > \frac{1}{\gamma_1}$ برآورده شود. α_1, γ_1 ، دو ثابت حقیقی و مثبت ارایه شده در رابطه (۴) بوده و Ω_1, Ω_2 ، توابع مثبت از متغیرهای حالت سیستم فوق آشوب هستند که در رابطه (۱۵) نشان داده شده‌اند.

$$\begin{aligned} \Omega_1 &= (\hat{\beta} + 10) |x_1| + |\mu_1 - 1| |x_2| + \hat{\delta}_1 + \hat{\zeta}_1 \\ \Omega_2 &= |x_1| + |x_1 x_3| + (\mu_2 + \hat{\eta}) |x_4| + \hat{\delta}_2 + \hat{\zeta}_2 \end{aligned} \quad (15)$$

²Reaching Condition

¹Barbalat's Lemma

$$\left. \begin{array}{l} \alpha_1 \lambda_1 \Omega_1 s_1^2 \operatorname{sign}^2(s_1) \leq -s_1^2 \operatorname{sign}(s_1) \cdot \phi_1(u_1) \\ s_1 \operatorname{sign}(s_1) = |s_1| \end{array} \right\} \Rightarrow \alpha_1 \lambda_1 \Omega_1 |s_1|^2 \leq -s_1 |s_1| \phi_1(u_1) \Rightarrow s_1 \phi_1(u_1) \leq -\alpha_1 \lambda_1 \Omega_1 |s_1|$$

(۲۲)

رابطه (۲۲) نشان می‌دهد که نامساوی $s_1 \phi_1(u_1) \leq -\alpha_1 \lambda_1 \Omega_1 |s_1|$

برقرار است. به طور مشابه می‌توان نشان داد که نامساوی $s_2 \phi_2(u_2) \leq -\gamma_1 \lambda_2 \Omega_2 |s_2|$ و $s_2 \phi_2(u_2) \leq -\gamma_1 \lambda_2 \Omega_2 |s_2|$ و $s_1 \phi_1(u_1) \leq -\alpha_1 \lambda_1 \Omega_1 |s_1|$ همچنین رابطه (۲۰)، رابطه (۲۳) نتیجه می‌شود.

$$\dot{V} \leq |s_1| \Omega_1 (1 - \alpha_1 \lambda_1) + |s_2| \Omega_2 (1 - \gamma_1 \lambda_2) \quad (۲۳)$$

با توجه به دو شرط $\lambda_2 > \frac{1}{\gamma_1}$ و $\lambda_1 > \frac{1}{\alpha_1}$ ، نامساوی رابطه (۲۴) حاصل می‌شود.

$$\dot{V} \leq -\{|s_1| \Omega_1 (\alpha_1 \lambda_1 - 1) + |s_2| \Omega_2 (\gamma_1 \lambda_2 - 1)\} \quad (۲۴)$$

با صورت $g(t) = |s_1| \Omega_1 (\alpha_1 \lambda_1 - 1) + |s_2| \Omega_2 (\gamma_1 \lambda_2 - 1)$ نامساوی رابطه (۲۴)، به رابطه (۲۵) خواهیم رسید.

$$\begin{aligned} V(t) &\leq V(0) - \int_0^t |g(\tau)| d\tau \Rightarrow \\ &\Rightarrow V(0) \geq V(t) + \int_0^t |g(\tau)| d\tau \geq \int_0^t |g(\tau)| d\tau \end{aligned} \quad (۲۵)$$

برای طرفین نامساوی رابطه (۲۵)، $t \rightarrow \infty$ میل داده، نامساوی رابطه (۲۶) نتیجه می‌گردد.

$$\lim_{t \rightarrow \infty} \int_0^t |g(\tau)| d\tau \leq V(0) < \infty \quad (۲۶)$$

با توجه به لم باریالت، رابطه (۲۷) بدست می‌آید.

$$\begin{aligned} \lim_{t \rightarrow \infty} |g(t)| &= \\ &= \lim_{t \rightarrow \infty} \{|s_1| \Omega_1 (\alpha_1 \lambda_1 - 1) + |s_2| \Omega_2 (\gamma_1 \lambda_2 - 1)\} \rightarrow 0 \end{aligned} \quad (۲۷)$$

از آنجایی که برای همه زمان‌های $t > 0$ $(\gamma_1 \lambda_2 - 1) > 0$ و $(\alpha_1 \lambda_1 - 1) > 0$ همواره $\Omega_2 > 0$ ، $\Omega_1 > 0$ می‌باشد، با توجه به رابطه (۲۷) می‌توان نتیجه گرفت برای زمانی که t به

سمت بی‌نهایت $t \rightarrow \infty$ میل می‌کند، $s_1(t), s_2(t)$ به سمت صفر میل خواهند کرد ($s_1(t), s_2(t) \rightarrow 0$) .

به علت وجود تابع علامت و در نتیجه ناپیوستگی سیگنال‌های کنترلی رابطه (۱۴)، زمانی که متغیرهای حالت سیستم به سطوح لغزشی-تطبیقی برسند، سیگنال کنترلی اول $u_1(t)$ بین مقادیر $(\hat{\delta}_1 + \hat{\zeta}_1)$ و $(-\hat{\lambda}_1 + \hat{\zeta}_1)$ و سیگنال کنترلی دوم $u_2(t)$ بین مقادیر

$$V(t) = \frac{1}{2} (S^T S + \sum_{i=1}^6 \theta_i^2) \quad (۱۸)$$

برای اثبات شرط رسیدن به سطوح لغزشی-تطبیقی، کافی است نشان دهیم که مشتق تابع لیپانوف مقداری منفی است که رابطه‌های (۱۹) تا (۲۷) این موضوع را به اثبات می‌رسانند.

(۱۹)

$$\begin{aligned} \dot{V}(t) &= s_1 \dot{s}_1 + s_2 \dot{s}_2 + \sum_{i=1}^6 \theta_i \dot{\theta}_i \Rightarrow \\ \dot{V}(t) &= s_1 (\dot{x}_2 + \dot{n}_1) + s_2 (\dot{x}_4 + \dot{n}_2) + \sum_{i=1}^6 \theta_i \dot{\theta}_i \\ \dot{V} &= s_1 [-x_1 x_3 + \beta x_1 - x_2 + \Delta f_1 + d_1(t) + \\ &+ \phi_1(u_1(t)) + 10x_1 + x_1 x_3 + \mu_1 x_2] + \\ &+ s_2 [-x_1 x_3 + \eta x_4 + \Delta f_2 + d_2(t) + \\ &+ \phi_2(u_2(t)) + x_1 + \mu_2 x_4] + \sum_{i=1}^6 \theta_i \dot{\theta}_i \\ \dot{V}(t) &= s_1 [(\beta + 10)x_1 + (\mu_1 - 1)x_2 + \\ &+ \Delta f_1 + d_1(t) + \phi_1(u_1(t))] + \\ &+ s_2 [x_1 - x_1 x_3 + (\eta + \mu_2)x_4 + \\ &+ \Delta f_2 + d_2(t) + \phi_2(u_2(t))] + \sum_{i=1}^6 \theta_i \dot{\theta}_i \\ \dot{V}(t) &\leq \{|s_1| |\beta + 10| |x_1| + |s_1| |\mu_1 - 1| |x_2| + |s_1| |\delta_1| + \\ &+ |s_1| |\zeta_1| + s_1 \phi_1(u_1(t)) + |s_2| |x_1| + |s_2| |x_2| + |s_2| |x_1 x_3| + \\ &+ |s_2| |\eta + \mu_2| |x_4| + |s_2| |\delta_2| + |s_2| |\zeta_2| + s_2 \phi_2(u_2(t)) \\ &+ \sum_{i=1}^6 \theta_i \dot{\theta}_i + \Omega_1 |s_1| - \Omega_1 |s_1| + \Omega_2 |s_2| - \Omega_2 |s_2|\} \\ \Rightarrow \dot{V}(t) &\leq \{|s_1| |\beta| + |s_1| |\hat{\beta}| + |s_1| (\delta_1 - \hat{\delta}_1) + |s_1| (\zeta_1 - \hat{\zeta}_1) + \\ &+ |s_2| |\eta| + |s_2| (\hat{\eta}) + |s_2| (\delta_2 - \hat{\delta}_2) + |s_2| (\zeta_2 - \hat{\zeta}_2) + \\ &+ \sum_{i=1}^6 \theta_i \dot{\theta}_i + \Omega_1 |s_1| + s_1 \phi_1(u_1(t)) \\ &+ \Omega_2 |s_2| + s_2 \phi_2(u_2(t))\} \end{aligned}$$

با جایگذاری رابطه (۱۷) در رابطه (۱۹)، رابطه (۲۰) حاصل می‌شود.

$$\dot{V}(t) \leq \{\Omega_1 |s_1| + s_1 \phi_1(u_1(t)) + \Omega_2 |s_2| + s_2 \phi_2(u_2(t))\} \quad (۲۰)$$

در ادامه با استفاده از رابطه‌های (۲۱) و (۲۲) نشان می‌دهیم که دو نامساوی $s_2 \phi_2 \leq -\gamma_1 \lambda_2 \Omega_2 |s_2|$ و $s_1 \phi_1 \leq -\alpha_1 \lambda_1 \Omega_1 |s_1|$ برقرار است.

$$\begin{aligned} \left\{ \begin{array}{l} \alpha_1 u_1^2(t) \leq \phi_1(u_1).u_1(t) \leq \alpha_2 u_1^2(t) \\ u_1 = -\lambda_1 \Omega_1 \operatorname{sign}(s_1) \end{array} \right. &\Rightarrow \\ \alpha_1 \lambda_1^2 \Omega_1^2 \operatorname{sign}^2(s_1) &\leq -\lambda_1 \Omega_1 \operatorname{sign}(s_1) \cdot \phi_1(u_1) \quad (۲۱) \\ \Rightarrow \alpha_1 \lambda_1 \Omega_1 \operatorname{sign}^2(s_1) &\leq -\operatorname{sign}(s_1) \cdot \phi_1(u_1) \\ \text{با ضرب طرفین رابطه (۲۱) در } s_1^2(t) &\text{ به رابطه (۲۲) خواهیم رسید.} \end{aligned}$$

$$\begin{cases} \alpha u_1^2(t) \leq \phi_1(u_1)u_1(t) \leq \alpha_2 u_1^2(t) \\ u_1(t) = -\lambda_1 \Omega_1^2 \frac{s_1}{\Omega_1 |s_1| + \varepsilon_1(t)} \end{cases} \Rightarrow \alpha_1 \lambda_1^2 \Omega_1^4 \frac{s_1^2}{(\Omega_1 |s_1| + \varepsilon_1(t))^2} \leq -\lambda_1 \Omega_1^2 \frac{s_1}{\Omega_1 |s_1| + \varepsilon_1(t)} \phi_1(u_1) \quad (30)$$

$$s_1 \phi_1(u_1) \leq -\alpha_1 \lambda_1 \Omega_1^2 \frac{s_1^2}{\Omega_1 |s_1| + \varepsilon_1(t)}$$

به طور مشابه با رابطه (۳۰) می‌توان نشان داد که نامساوی $s_2 \phi_2(u_2) \leq -\gamma_1 \lambda_2 \Omega_2^2 \frac{s_2^2}{\Omega_2 |s_2| + \varepsilon_2(t)}$ نیز برقرار است. با جایگذاری دو نامساوی ذکر شده در رابطه (۲۹)، رابطه (۳۱) نتیجه می‌شود.

$$\begin{aligned} \dot{V}(t) &\leq \{\Omega_1 |s_1| + \Omega_2 |s_2| - \alpha_1 \lambda_1 \Omega_1^2 \frac{s_1^2}{\Omega_1 |s_1| + \varepsilon_1(t)} \\ &\quad - \gamma_1 \lambda_1 \Omega_2^2 \frac{s_2^2}{\Omega_2 |s_2| + \varepsilon_2(t)}\} \\ \dot{V}(t) &\leq \left\{ \frac{\Omega_1^2 |s_1|^2 (1 - \alpha_1 \lambda_1)}{\Omega_1 |s_1| + \varepsilon_1(t)} + \frac{\Omega_2^2 |s_2|^2 (1 - \gamma_1 \lambda_2)}{\Omega_2 |s_2| + \varepsilon_2(t)} \right. \\ &\quad \left. + \frac{\Omega_1 |s_1| \varepsilon_1(t)}{\Omega_1 |s_1| + \varepsilon_1(t)} + \frac{\Omega_2 |s_2| \varepsilon_2(t)}{\Omega_2 |s_2| + \varepsilon_2(t)} \right\} \end{aligned} \quad (31)$$

با در نظر گرفتن نامساوی $\frac{ab}{a+b} \leq a$, for $a, b \geq 0$ ، می-

توان دو نامساوی رابطه (۳۲) را نتیجه گرفت.

$$\begin{cases} \frac{\Omega_1 |s_1| \varepsilon_1(t)}{\Omega_1 |s_1| + \varepsilon_1(t)} \leq \varepsilon_1(t) \\ \frac{\Omega_2 |s_2| \varepsilon_2(t)}{\Omega_2 |s_2| + \varepsilon_2(t)} \leq \varepsilon_2(t) \end{cases} \quad (32)$$

در ادامه با توجه به رابطه‌های (۳۱) و (۳۲)، رابطه (۳۳) حاصل می- شود.

$$\begin{aligned} \dot{V}(t) &\leq \left\{ -\frac{\Omega_1^2 |s_1|^2 (\alpha_1 \lambda_1 - 1)}{\Omega_1 |s_1| + \varepsilon_1(t)} + \right. \\ &\quad \left. - \frac{\Omega_2^2 |s_2|^2 (\gamma_1 \lambda_2 - 1)}{\Omega_2 |s_2| + \varepsilon_2(t)} + \varepsilon_1(t) + \varepsilon_2(t) \right\} \end{aligned} \quad (33)$$

$$h(t) = \frac{\Omega_1^2 |s_1|^2 (\alpha_1 \lambda_1 - 1)}{\Omega_1 |s_1| + \varepsilon_1(t)} + \frac{\Omega_2^2 |s_2|^2 (\gamma_1 \lambda_2 - 1)}{\Omega_2 |s_2| + \varepsilon_2(t)} \quad \text{با انتخاب}$$

انتگرال‌گیری از نامساوی رابطه (۳۳)، به رابطه (۳۴) خواهیم رسید.

$(\hat{\delta}_1 + \hat{\delta}_2) \lambda_1$ و $(\hat{\delta}_1 + \hat{\delta}_2) \lambda_2$ با فرکانس خیلی بالا سوئیچ خواهد کرد. این سوئیچینگ فرکانس بالا باعث به وجود آمدن پدیده وزوز^۱ می‌شود که در عمل باعث آسیب دیدن و کاهش عمر مفید عملگرها خواهد شد. برای غلبه بر این مشکل می‌توان تابع علامت را با تابعی پیوسته و مشابه با تابع علامت جایگزین کرد. رابطه (۲۸)، سیگنال‌های کنترلی رابطه (۱۴) را با این توابع پیوسته جدید نشان می‌دهد.

$$\begin{aligned} u_1(t) &= -\lambda_1 \Omega_1^2 \frac{s_1}{\Omega_1 |s_1| + \varepsilon_1(t)}, \quad \lambda_1 > \frac{1}{\alpha_1} \\ u_2(t) &= -\lambda_2 \Omega_2^2 \frac{s_2}{\Omega_2 |s_2| + \varepsilon_2(t)}, \quad \lambda_2 > \frac{1}{\gamma_1} \end{aligned} \quad (28)$$

در رابطه (۲۸)، $\varepsilon_1(t), \varepsilon_2(t)$ دو تابع همواره مثبت با شرط

$$\int_0^\infty \varepsilon_i(t) dt < \infty, \quad i = 1, 2$$

طرح می‌باشد. قضیه (۳)، نشان می‌دهد که انتخاب این دو تابع در اختیار تطبیقی ارائه شده در رابطه (۲۸)، توانایی رساندن متغیرهای حالت سیستم به سطوح لغزشی- تطبیقی $s_1(t), s_2(t)$ را دارند. قضیه (۳): سیستم فوق آشوب لورنر رابطه (۲) را با اختشاش، عدم قطعیت، ورودی‌های کنترلی غیرخطی و پارامترهای نامعلوم β, η در نظر بگیرید. با تعریف سطوح لغزشی- تطبیقی به صورت رابطه (۵) و سیگنال کنترلی به صورت رابطه (۲۸)، متغیرهای حالت سیستم فوق آشوب لورنر به سطوح لغزشی- تطبیقی همگرا خواهند شد.

اثبات قضیه (۳): اثبات این قضیه، مشابه با قضیه (۲) می‌باشد. بنابراین با در نظر گرفتن تابع لیپاونوف مطرح شده در اثبات قضیه (۲)، نامساوی رابطه (۲۹) نتیجه می‌گردد.

$$\begin{aligned} \dot{V}(t) &\leq \{\Omega_1 |s_1| + s_1 \phi_1(u_1(t)) + \\ &\quad + \Omega_2 |s_2| + s_2 \phi_2(u_2(t))\} \end{aligned} \quad (29)$$

در ادامه با استفاده از رابطه (۳۰) نشان می‌دهیم که دو نامساوی $s_1 \phi_1 \leq -\alpha_1 \lambda_1 \Omega_1^2 \frac{s_1^2}{\Omega_1 |s_1| + \varepsilon_1}$ و $s_2 \phi_2 \leq -\gamma_1 \lambda_2 \Omega_2^2 \frac{s_2^2}{\Omega_2 |s_2| + \varepsilon_2}$ است.

^۱Chattering Phenomenon

$$\begin{cases} \phi_1(u_1(t)) = [1.4 + 0.2 \sin(u_1(t))]u_1(t) \\ \phi_2(u_2(t)) = [1.3 + 0.2 \cos(u_2(t))]u_2(t) \end{cases} \quad (39)$$

$$\Rightarrow \begin{cases} \alpha_1 = 1.2, \alpha_2 = 1.6 \\ \gamma_1 = 1.1, \gamma_2 = 1.5 \end{cases}$$

پارامترهای λ_1, λ_2 با توجه به شرط‌های $\lambda_1 > 1/\alpha_1$ و $\lambda_2 > 1/\gamma_2$ انتخاب شده‌اند. پارامترهای μ_1, μ_2 و توابع $\varepsilon_1(t), \varepsilon_2(t)$ که در اختیار طراح قرار دارند به صورت $\varepsilon_1(t) = \varepsilon_2(t) = 0.1e^{-0.1t}$ و $\mu_1 = 3, \mu_2 = 0.5$ منظور شده‌اند. در ادامه با در نظر گرفتن رابطه‌های (۱۴) و (۲۸)، سیگنال‌های کنترل به صورت رابطه‌های (۴۰) و (۴۱) نتیجه می‌شوند.

$$u_1(t) = -\{(\hat{\beta} + 10)|x_1| + 2|x_2| + \hat{\delta}_1 + \hat{\zeta}_1\} \operatorname{sign}(s_1) \quad (40)$$

$$u_2(t) = -\{|x_1| + |x_1 x_3| + (0.5 + \hat{\eta})|x_4| + \hat{\delta}_2 + \hat{\zeta}_2\} \operatorname{sign}(s_2)$$

$$u_1(t) = -\Omega_1^2 \frac{s_1}{\Omega_1 |s_1| + 0.1e^{-0.1t}}, \quad (41)$$

$$\Omega_1 = (\hat{\beta} + 10)|x_1| + 2|x_2| + \hat{\delta}_1 + \hat{\zeta}_1$$

$$u_2(t) = -\Omega_2^2 \frac{s_2}{\Omega_2 |s_2| + 0.1e^{-0.1t}},$$

$$\Omega_2 = |x_1| + |x_1 x_3| + (0.5 + \hat{\eta})|x_4| + \hat{\delta}_2 + \hat{\zeta}_2$$

در رابطه‌های (۴۰) و (۴۱)، متغیرهای $\hat{\beta}, \hat{\delta}_1, \hat{\zeta}_1, \hat{\delta}_2, \hat{\zeta}_2$ و

$\hat{\eta}$ با توجه به قانون‌های تطبیق رابطه (۱۶) تعیین می‌شوند و مقادیر اولیه در نظر گرفته شده برای این پارامترها در رابطه (۴۲) آورده شده است.

$$\begin{aligned} \hat{\beta}_0 &= 3, \hat{\delta}_{1_0} = 1.5, \hat{\zeta}_{1_0} = 0.5 \\ \hat{\delta}_{2_0} &= 1.8, \hat{\zeta}_{2_0} = 2, \hat{\eta}_0 = 2 \end{aligned} \quad (42)$$

۵- نتایج شبیه‌سازی با استفاده از سیگنال‌های

کنترلی رابطه (۴۰)

شکل (۳)، پاسخ زمانی متغیرهای حالت سیستم فوق آشوب لورنر را با شرایط اولیه $X(0) = [0.1, 2, 3, -3]^T$ و اعمال سیگنال‌های کنترلی رابطه (۴۰) نشان می‌دهد که متغیرهای حالت به سمت نقطه تعادل خود همگرا شده‌اند. شکل‌های (۴) تا (۶) به ترتیب نمودار سطوح لغزشی-تطبیقی، نمودار سیگنال‌های کنترل و پاسخ زمانی پارامترهای نامعلوم را نشان می‌دهند. همان طوری که انتظار می‌رفت، به علت استفاده ازتابع علامت، سیگنال‌های کنترلی این قسمت از

$$\begin{aligned} V(t) &\leq V(0) - \int_0^t h(\tau) d\tau + \int_0^t (\varepsilon_1 + \varepsilon_2) d\tau \\ \Rightarrow V(t) + \int_0^t h(\tau) d\tau &\leq V(0) + \int_0^t (\varepsilon_1 + \varepsilon_2) d\tau \end{aligned} \quad (34)$$

$$\Rightarrow \int_0^t h(\tau) d\tau \leq V(0) + \int_0^t (\varepsilon_1 + \varepsilon_2) d\tau$$

برای طرفین نامساوی رابطه (۳۴)، t را به سمت بینهایت ($t \rightarrow \infty$) میل داده و با در نظر گرفتن فرض $\int_0^\infty \varepsilon_i(t) dt < \infty, i = 1, 2$.

$$\lim_{t \rightarrow \infty} \int_0^t h(\tau) d\tau < \infty \quad (35)$$

در ادامه با توجه به لم باریالت، به رابطه (۳۶) می‌رسیم.

$$\begin{aligned} \lim_{t \rightarrow \infty} h(t) &= \lim_{t \rightarrow \infty} \left\{ \frac{\Omega_1^2 |s_1|^2 (\alpha_1 \lambda_1 - 1)}{\Omega_1 |s_1| + \varepsilon_1(t)} + \right. \\ &\quad \left. + \frac{\Omega_2^2 |s_2|^2 (\gamma_1 \lambda_2 - 1)}{\Omega_2 |s_2| + \varepsilon_2(t)} \right\} \rightarrow 0 \end{aligned} \quad (36)$$

از آنجایی که برای همه زمان‌های $t > 0$ همواره $(\gamma_1 \lambda_2 - 1) > 0$ و $(\alpha_1 \lambda_1 - 1) > 0$ ، $\Omega_1 > 0, \Omega_2 > 0$ هستند، با توجه به رابطه (۳۶) می‌توان نتیجه گرفت برای زمانی که t به سمت بینهایت ($t \rightarrow \infty$) میل می‌کند، $(s_1(t), s_2(t))$ به سمت صفر میل خواهد کرد $(s_1(t), s_2(t) \rightarrow 0)$. \square

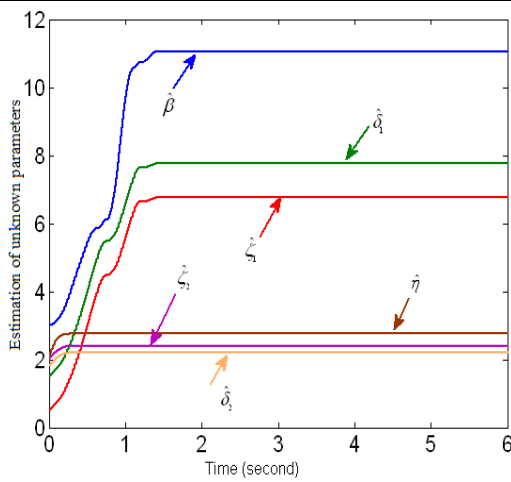
۵- نتایج شبیه‌سازی

در این بخش، شبیه‌سازی‌ها با استفاده از نرم افزار MATLAB انجام شده است. عدم قطعیت و اختشاش‌ها به صورت رابطه‌های (۳۷) و (۳۸) انتخاب شده‌اند.

$$\begin{cases} \Delta f_1 = 0.3 \prod_{i=1}^4 \sin(i \pi x_i) \Rightarrow |\Delta f_1| \leq 0.3 = \delta_1 \\ \Delta f_2 = 0.2 \prod_{i=1}^4 \sin(i \pi x_i) \Rightarrow |\Delta f_2| \leq 0.2 = \delta_2 \end{cases} \quad (37)$$

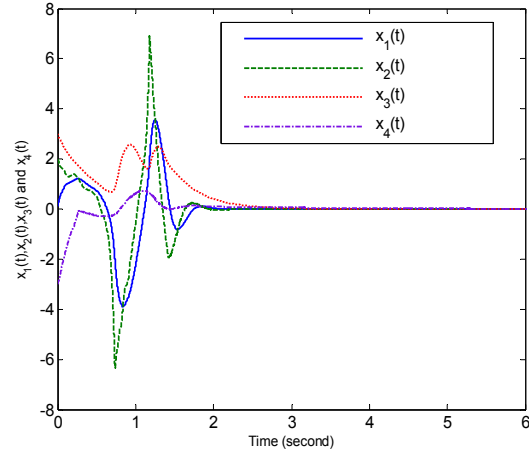
$$\begin{cases} d_1(t) = 0.15 \sin(5t) \Rightarrow |d_1(t)| \leq 0.15 = \zeta_1 \\ d_2(t) = 0.1 \sin(7t) \Rightarrow |d_2(t)| \leq 0.1 = \zeta_2 \end{cases} \quad (38)$$

همچنین ورودی‌های کنترلی غیرخطی به صورت رابطه (۳۹) منظور شده‌اند.



شکل ۶: پاسخ زمانی پارامترهای نامعلوم با در نظر گرفتن قوانین تطبیق

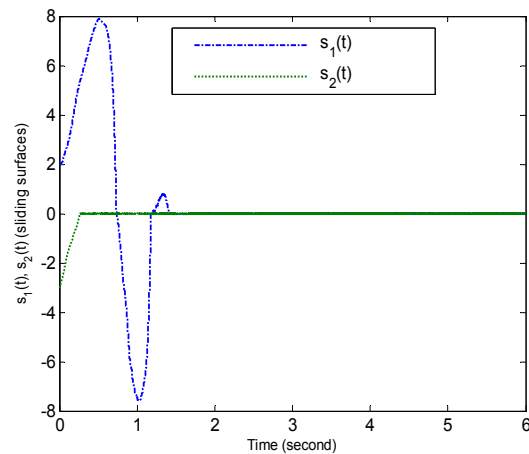
سوئیچینگ فرکانس بالایی برخوردارند که در پیاده سازی عملی مشکلاتی را به وجود می آورند.



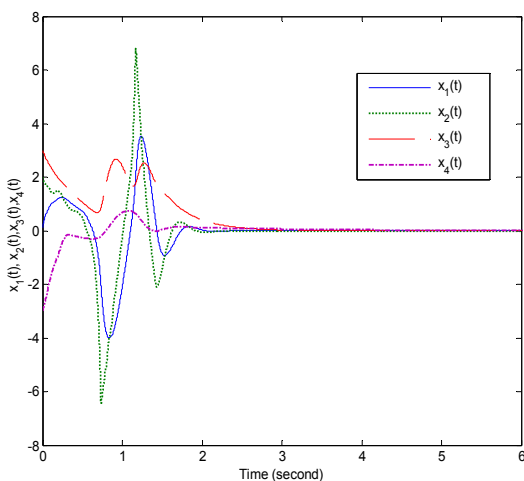
شکل ۳: پاسخ زمانی متغیرهای سیستم فوق آشوب با اعمال کنترل کننده رابطه (۴۰)

کنترل رابطه (۴۱)

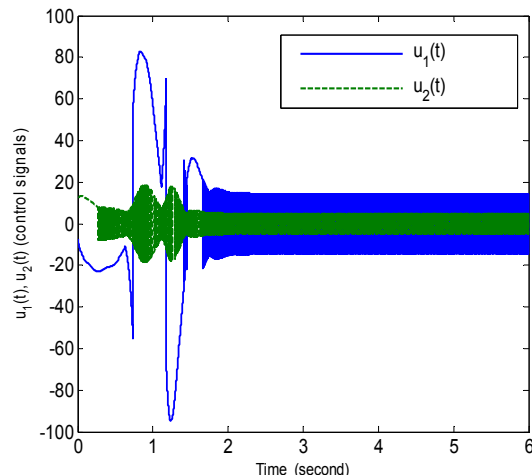
پاسخ زمانی متغیرهای حالت سیستم فوق آشوب لورنر با شرایط اولیه $X(0) = [0.1, 2, 3, -3]^T$ و اعمال کنترل کننده‌های رابطه (۴۱) در شکل (۷)، آورده شده است. شکل‌های (۸) تا (۱۰) به ترتیب نمودار سطوح لغزشی - تطبیقی، نمودار سیگنال‌های کنترل و پاسخ زمانی پارامترهای نامعلوم مرتبط با این قسمت را نشان می‌دهند. در شکل (۹) به خوبی دیده می‌شود که سوئیچینگ‌های فرکانس بالای سیگنال‌های کنترل تا حد بسیار زیادی از بین رفته‌اند.



شکل ۴: نمودار دو سطح لغزشی $s_1(t), s_2(t)$



شکل ۷: پاسخ زمانی متغیرهای سیستم فوق آشوب با اعمال کنترل کننده رابطه (۴۱)



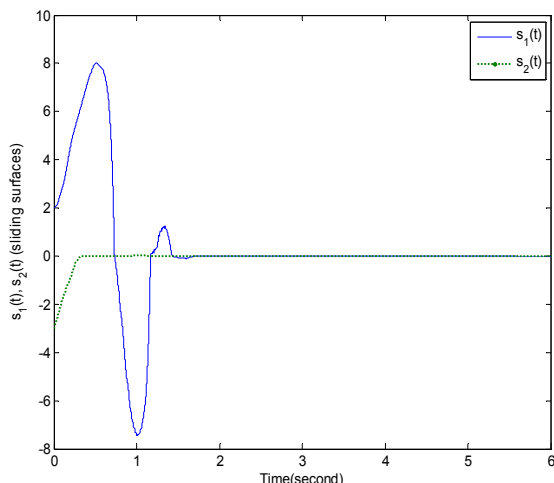
شکل ۵: نمودار سیگنال‌های کنترلی رابطه (۴۰)

۶- نتیجه‌گیری

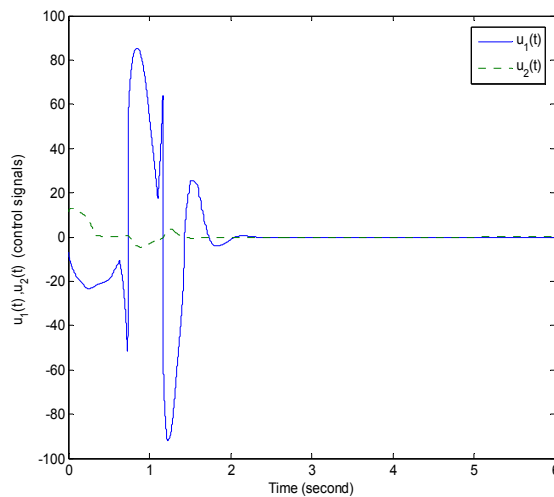
در این مقاله، پس از معرفی و بررسی مختصر رفتار دینامیکی سیستم فوق آشوب لورنر، برای پایدارسازی این سیستم، کنترل کننده‌های لغزشی-تطیقی در حضور عوامل ناخواسته‌ای همچون عدم قطعیت، اختشاش، ورودی‌های کنترلی غیرخطی و نامعلوم بودن پارامترهای سیستم، طراحی شدند. از سطوح لغزشی-تطیقی و قانون‌های تطیقی در طراحی این کنترل کننده‌ها استفاده شد. با استفاده از قضیه پایداری لیپاونوف، پایداری دینامیک مد لغزشی سیستم فوق آشوب و شرط رسیدن به دو سطح لغزشی-تطیقی اثبات شد. برای حذف سویچینگ‌های فرکانس بالای سیگنال‌های کنترل و در نتیجه کاهش پدیده وزوز، از جایگزینیتابع علامت با یک تابع پیوسته استفاده شد. نتایج شبیه‌سازی با استفاده از نرم افزار MATLAB نشان داد که کنترل کننده‌های طراحی شده، قادر به حذف پدیده فوق آشوب و همگرا ساختن سیستم به سمت نقطه تعادل می‌باشد. همچنین با جایگزینی تابع علامت با یک تابع پیوسته، سویچینگ‌های فرکانس بالای سیگنال‌های کنترلی تا حد بسیار زیادی کاهش یافت.

مراجع

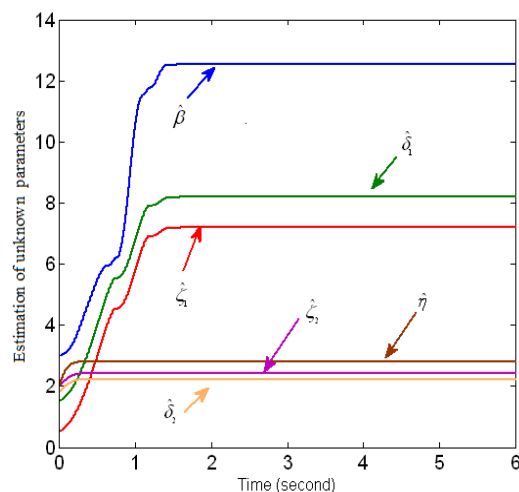
- [1] Perez, G., Cerdeira, H.A., 1995, "Extracting messages masked by chaos", *Physical Review Letters*, 74, 1970-1973.
- [2] Enys, A.C., Tamas'evic'ius, A., Baziliauskas, A., 2003, "Hyperchaos in coupled Colpitts oscillators", *Chaos, Solitons Fractals*, 17, 349-353.
- [3] Kiss, I. Z., Wang, W., 2001, "Forcing Coupling and Feedback of Chaotic electrochemical Oscillators in Experimental Chaos", *6th Experimental chaos Conference*, Potsdam, Germany, 622, pp. 3-11.
- [4] Jing, Z., Xu, D., Chang, Y., Chen, L., 2003, "Bifurcations, chaos, and system collapse in a three node power system", *Electrical Power and Energy Systems*, 25, 443-461.
- [5] Goedgebuer, J.P., Larger, L., Porle, H., 1998, "Optical cryptosystem based on synchronization of hyperchaos generated by a delayed feedback tunable laser diode", *Physical Review Letters*, 80, 2249-2252.
- [6] Jia, Q., 2007, "Hyperchaos generated from the Lorenz chaotic system and its control", *Physics Letters A*, 366, 217-222.
- [7] Sparrow, C., *The Lorenz equation: bifurcation, chaos and strange attractors*, Springer, New York, 1982.



شکل ۸: نمودار دو سطح لغزشی $s_1(t), s_2(t)$

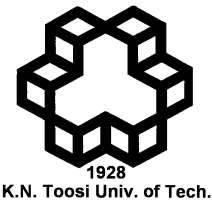


شکل ۹: نمودار سیگنال‌های کنترلی رابطه (۴۱)



شکل ۱۰: پاسخ زمانی پارامترهای نامعلوم با در نظر گرفتن قوانین تطیق

- [۲۱] سارا دادرس، تابستان ۱۳۸۷، " طراحی کنترل کننده بر پایه مد لغزشی برای سیستم‌های آشوبناک "، پایان نامه کارشناسی ارشد، دانشکده فنی و مهندسی، دانشگاه تربیت مدرس.
- [22] Rössler, O.E., 1979, "An equation for hyperchaos", *Physics Letters A*, 71, 155-157.
- [23] Wang, C., Zhang, X., Zheng, Y., Li, Y., 2006, "A new modified hyperchaotic Lü system", *Physica A: Statistical Mechanics and its Applications*, 371, 260-272.
- [24] Li, Y., Chen, G., Tang, W.K.S., 2005, "Controlling a unified chaotic system to hyperchaotic", *IEEE Transaction Circuit System II*, 52, 204-207.
- [25] Tam, L.M., Chen, J.H., Chen, H.K., Tou, W.M.S., 2008, "Generation of hyperchaos from the Chen-Lee system via sinusoidal perturbation", *Chaos, Solitons and Fractals*, 38, 826-839.
- [26] Wu, X., Lu, J.A., Iu, H.C., Wong, S.C., 2007, "Suppression and generation of chaos for a three-dimensional autonomous system using parametric perturbations", *Chaos, Solitons and Fractals*, 31, 811-819.
- [27] Yau, H.T., Yan, J.J., 2008, "Chaos synchronization of different chaotic systems subjected to input nonlinearity", *Applied Mathematics and Computation*, 197, 775-788.
- [28] Yan, J.J., 2004, "Design of robust controllers for uncertain chaotic systems with nonlinear input", *Chaos, Solitons and Fractals*, 19, 541-547.
- [29] Yau, H.T., Yan, J.J., 2007, "Robust controlling hyperchaos of the Rössler system subject to input nonlinearities by using sliding mode control," *Chaos, Solitons and Fractals*, 33, 1767-1776.
- [30] Kuo, C.L., Wang, C.C., Pai, N.S., 2009, "Design of variable structure synchronization controller for two different hyperchaotic systems containing nonlinear inputs", *Journal of Applied Sciences*, 9, 2635-2639.
- [31] Yan, J.J., 2004, " H_∞ controlling hyperchaos of the Rössler system with input nonlinearity", *Chaos, Solitons and Fractals*, 21, 283-293.
- [8] Wu, W., Chen, Z., Yuan, Z., 2009, "The evolution of a novel four-dimensional autonomous system: Among 3-torus, limit cycle , 2-torus, chaos and hyperchaos", *Chaos, Solitons and Fractals*, 39, 2340-2356.
- [9] Chen, Z., Yuang, Y., Qi, G., Yuan, Z., 2007, "A novel hyperchaos system only with one equilibrium", *Physics Letters A*, 36, 696-701.
- [10] Gao, T., Chen, Z., Gu, Q., Yuan, Z., 2008, "A new hyper-chaos generated from generalized Lorenz system via nonlinear feedback", *Chaos, Solitons and Fractals*, 35, 390-397.
- [11] Ge, Z. M., Yang, G. H., 2009, "Hyperchaos of four state autonomous system with three positive lyapunov exponents", *Physics Letters A*, 373, 349-353.
- [12] Ott, E., Grebogi, C., Yorke, J.A., 1990, "Controlling chaos", *Physical Review Letters*, 64, 1196-1199.
- [13] Andrevskii, B.R., Fradkov, A.L., 2003, "Control of chaos: Methods and Application", *Automation and Remote Control*, 64, 675-718
- [14] Laoye, J.A., Vincent, U.E., Kareem, S.O., 2009, "Chaos control of 4D chaotic systems using recursive backstepping nonlinear controller", *Chaos, Solitons and Fractals*, 39, 356-362.
- [15] Dou, F.Q., Sun, J.A., Duan, W.S., Lü, K.P., 2009, "Controlling hyperchaos in the new hyperchaotic system", *Communications in Nonlinear Science and Numerical Simulation*, 14, 552-559.
- [16] Hou, Y.Y., Liao, T.L., Yan, J.J., 2007, " H_∞ synchronization of chaotic systems using output feedback control design", *Physica A: Statistical Mechanics and its Applications*, 379, 81-89.
- [17] Jiang, W., Qiao, G. G., Bin, D., 2005, " H_∞ variable universe adaptive fuzzy control for chaotic system", *Chaos, Solitons and Fractals*, 24, 1075-1086.
- [18] Wang, H., Han, Z.Z., Xie, Q.Y., Zhang, W., 2009, "Sliding mode control for chaotic systems based on LMI", *Communications in Nonlinear Science and Numerical Simulation*, 14, 1410-1417.
- [19] Chiang, T.Y., Hung, M. L., 2007, "Sliding mode control for uncertain unified chaotic systems with input nonlinearity", *Chaos, Soliton and Fractals*, 34, 437-442.
- [20] Dadras, S., Momeni, H.R., Majd, V.J., 2009, "Sliding mode control for uncertain new chaotic dynamical system", *Chaos, Solitons and Fractals*, 41, 1857-1862.



Journal of Control

(ISSN 2008-8345)

A Joint Publication of the Iranian Society of Instrumentation and Control Engineers and the K.N. Toosi University of Technology, Vol. 4, No. 4, Winter 2011.

Publisher: Iranian Society of Instrumentation and Control Engineers

Managing Director: Prof. Iraj Goodarznia

Editor-in-Chief: Prof. Ali Khaki-Sedigh

Tel: 84062317

Email: sedigh@kntu.ac.ir

Assistant Editor: Dr. Hamid Khaloozadeh, Dr. Alireza Fatehi

Executive Director: Dr. Hamid Khaloozadeh

Editorial Board:

Prof. A. Khaki-Sedigh, Prof. I. Goodarznia, Dr. H. Khaloozadeh (Associate Prof.), Prof. P. Jabedar-Maralani, Prof. A. Ghafari, Dr. H.R. Momeni (Associate Prof), Prof. S.K. Nikravesh, Prof. M. Shafiee, Prof. B. Moshiri.

Advisory Board:

Dr. H.R. Momeni, Prof. B. Moshiri, Prof. M. Shafiee, Prof. A. Khaki-Sedigh, Prof. P. Jabedar-Maralani, Prof. A. Ghaffari, Dr. H. Khaloozadeh, Dr. H.R. Taghirad, Dr. K. Masroori, Dr. M.T. Bathaei, Dr. M.T. Hamidi-Beheshti, Dr. F. Jafarkazemi, Dr. R. Amjadifard, Dr. S.A. Mousavian, Dr. M. Teshnelab, Prof. M. Haeri, Dr. S.A. Safavi, Prof. H. Seifi, Dr. A. Kazemi, Dr. A. Fatehi, Dr. M.R. Akbarzadeh-Toutounchi, Dr. M. Golkar, Dr. N. Pariz, Dr. M. Javadi, Dr. J. Heirani-Nobari, Prof. F. Hossein-Babaei, Dr. B. Moaveni, Dr. M. Aliari-Shourehdeli, Dr. M. Arvan , Dr. M. Tavakoli-Bina.

The ISICE Board of Director:

Abbas. Sheri-Moghadam, Prof. Masoud Shafiee., Dr. Hamid Reza Momeni, Dr. Hamid Khaloozadeh, Dr. Mehrdad Javadi, Dr. Davod Karimzadegan, Ali Kiani.

Address: Room 241, 2nd floor, No.71, Mousavi Ave. Ferdowsi Sq. Enghelab St. Tehran, Iran.
P.O. Box: 15815-3595 Tel: (+9821) 88813002 Fax: (+9821) 88324979
<http://www.isice.ir>



**A Joint Publication of the Iranian Society of Instrument and Control
Engineers and the K.N. Toosi University of Technology**

Vol. 4, No. 4, Winter 2011

Contents

Distributed Control of a Class Collective Behaviors in Multi-Agent Networks	1
Shahram Nosrati, Masoud Shafiee	
Exponential Nonlinear Observer Design Based on Differential State-Dependent Riccati Equation	14
Hossein Beikzadeh, Hamid Reza D. Taghirad	
A New Sliding Mode Observer Design for Linear System with Unknown Input and Time-varying Delay	24
Ali Ashraf Modarres, Hamid Reza Momeni	
Model Reference Adaptive Control for a Flexible Launch Vehicle with Heavy Payload	32
Iman Ghaffari, Abdol Majid khoshnood, Jafar Roshanian	
Proposing New Methods to Determine Depth of Anesthesia	39
Toktam Zoughi, Reza Boostani	
Design of Supervisory Based Switching QFT Controllers with Bumpless Transfer	51
Omid Namaki Shoushtari, Ali Khaki Sedigh	
Adaptive-Sliding Mode Control of Lorenz Hyperchaotic System Considering Uncertainties, External Disturbances, Nonlinear Inputs and Unknown Parameters	62
Ali Abooe, Mohammad Reza Jahed Motlagh, Mohammad Mehdi Arefi, Zahra Rahmani Charati	